

INSTITUTUL POLITEHNIC "TRAIAN VUIA"
TIMISOARA
FACULTATEA DE ELECTROTEHNICA

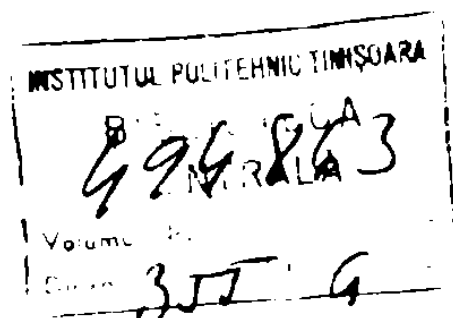
Ing. PÂNTANA NICOLAE LAURENTIU

CALCULUL CÂMPULUI MAGNETIC ȘI AL FORTELOR
ELECTRODINAMICE LA CIRCUITELE SPECIFICE APARATELOR
ȘI MASINILOR ELECTRICE UNIPOLARE

TEZA DE DOCTORAT

BIBLIOTECA CENTRALĂ
UNIVERSITATEA "POLITEHNICA"
TIMIȘOARA

Conducător științific
Prof.dr.ing.DORDEA TOMA



1985

C U P R I N S

	pag. -
1. INTRODUCERE, OBIECTIVE	1
1.1. Bibliografie la capitolul 1.....	3
2. CIMPUL MAGNETIC SI FORTELE ELECTRODINAMICE PRODUSE DE CAI DE CURENT FILIFORME.....	5
2.1. Aproximarea căii de curent filiforme cu un contur poligonal.....	5
2.2. Cale de curent filiformă descrisă de o curbă arbitrară.....	6
2.2.1. Cale de curent spațială.....	6
2.2.2. Cale de curent plană.....	8
2.3. Calculul potențialului magnetic vector produs de o cale de curent oarecare, filiformă, spațială.....	9
2.4. Calculul forțelor electrodinamice și a inducti- vităților mutuale în cazul unor căi de curent cu traseu spațial oarecare	10
2.4.1. Calculul forțelor electrodinamice.....	10
2.4.1.1. Cazul general al unor căi de curent filiforme.....	10
2.4.1.2. Calculul forțelor electrodinamice în cazul unui grup de "p" conduc- toare rectilinii și filiforme.....	12
2.5. Calculul inductivităților mutuale pentru circuite filiforme.....	14
2.6. Bibliografie la capitolul 2	16
3. CIMPUL MAGNETIC SI FORTELE ELECTRODINAMICE LA CAI DE CURENT MASIVE.....	17
3.1. Cîmpul magnetic produs de bare masive, ca părți ale unei căi de curent.....	17
3.1.1. Metodă de calcul a cîmpului magnetic la bare masive de lungime finită.....	17
3.1.1.1. Formularea problemei.....	17
3.1.1.2. Bară paralelipipedică scurtă.....	19
3.1.1.3. Bară de lungime infinită și secțiune dreptunghiulară.....	21

	pag
3.1.1.4. Bară paralelipipedică de lungime finită	22
3.1.1.5. Bară cu capete oblice plane.....	23
3.1.1.6. Bară generalizată.....	28
3.1.2. Metodă de calcul al cîmpului magnetic produs de o cale de curent masivă, spațială cu traseu oarecare.....	32
3.2. Forțe electrodinamice la căi de curent masive....	34
3.2.1. Forțe electrodinamice între bare cu poziție spațială arbitrară.....	34
3.2.1.1. Formularea problemei și stadiul cunoscut.....	34
3.2.1.2. Metodă de calcul al forțelor electrodinamice între două bare masive cu poziție spațială arbitrară.....	37
3.2.1.2.1. Bară elementară.....	37
3.2.1.2.2. Bară prismatică "pană", parcursă de curent.....	42
3.2.1.2.3. Forța electrodinamică între două bare cu capete oblice.....	45
3.2.2. Forțe electrodinamice la căi de curent cu traseu spațial complex.....	46
3.2.2.1. Căi de curent masive.....	46
3.2.2.2. Căi de curent evasinate.....	48
3.3. Cîmpul magnetic produs de bobine.....	50
3.3.1. Metodă de calcul al cîmpului magnetic produs de un segment de bobină.....	50
3.3.2. Bobine circulare.....	56
3.3.3. Calculul cîmpului magnetic produs de grupuri de bobine.....	58
3.3.4. Bobine cu densitate de curent neuniformă și secțiune de formă oarecare.....	61
3.4. Forțe electrodinamice la bobine.....	63
3.4.1. Forțe electrodinamice în regim staționar..	63
3.4.1.1. Forțe specifice.....	63
3.4.1.2. Forțe totale la bobine.....	65
3.4.2. Forțe electrodinamice la bobine în regim tranzitoriu. Metoda coeficienților de forță	70

	pag
3.5. Bibliografie la capitolul 3	74
4. CALCULE NUMERICE SI VERIFICARI EXPERIMENTALE	76
4.1. Calcule numerice privind cîmpul magnetic produs de bare masive.....	76
4.1.1. Programul de calcul al cîmpului magnetic produs de \bullet cale de curent masivă, spațială cu traseu oarecare.....	76
4.1.2. Rezultate calculate privind cîmpul magnetic produs de bare masive.....	77
4.2. Calcule numerice privind forțele electrodinamice la căi de curent masive.....	86
4.2.1. Programe de calcul ale forțelor electrodinamice la conductoare masive.....	86
4.2.2. Rezultate calculate privind forțele electrodinamice la conductoare masive.....	90
4.3. Calcule numerice privind cîmpul magnetic produs de bobine.. ..	101
4.3.1. Programul de calcul al cîmpului magnetic... ..	101
4.3.2. Rezultate calculate privind cîmpul magnetic produs de bobine.....	103
4.4. Calcule numerice privind forțele electrodinamice la bobine.....	114
4.4.1. Programe de calcul al forțelor la bobine masive.... ..	114
4.4.2. Rezultate calculate privind forțele electrodinamice la bobine în regim staționar și tranzitoriu.	116
4.5. Determinarea cîmpului magnetic și a forțelor electromagnetice la sistemul de bobine specific mașinilor unipolare tambur.....	124
4.5.1. Unele aspecte privind problema analizată... ..	124
4.5.2. Instalația experimentală pentru măsurarea cîmpului magnetic.....	125
4.5.3. Măsurări de cîmp și compararea cu rezultatele calculate.....	128
4.5.4. Instalație experimentală pentru măsurarea forțelor electrodinamice la bobine.....	136
4.5.5. Măsurări de forțe și compararea cu rezultate calculate	139

	pag
4.6. Verificări experimentale calitative, privind forțele electrodinamice, la un separator de foarte înaltă tensiune	140 140
4.6.1. Precizări privind problema abordată.....	140
4.6.2. Instalația experimentală.....	140
4.6.3. Determinări experimentale și compararea cu rezultatele calculate.....	145
4.7. Bibliografie la capitolul 4.....	158
5. CONCLUZII.....	160
ANEXA 1.....	163
ANEXA 2.....	164
ANEXA 3.....	165
ANEXA 4.....	166

1. INTRODUCERE. OBIECTIVE

Tendința de creștere neîntreruptă a puterii mașinilor electrice, a echipamentelor electrice din sistemele energetice sau a celor din fizica energiilor înalte, atât la cele aflate la temperaturi normale cât și la temperaturi criogenice, are ca urmare creșterea însemnată a curentului și a forțelor electrodinamice.

Cunoașterea câmpului magnetic și a forțelor electrodinamice, este indispensabilă unei proiectări eficiente a unui echipament. Există și cazuri, de ex. instalațiile montate deja în sistemele energetice, unde puterea instalată și deci și curentul de scurtcircuit cresc și unde este necesară verificarea echipamentului pentru noua valoare a curentului de scurtcircuit, posibil în rețea.

Astfel la proiectarea cât și la verificarea care se face, din punct de vedere al forțelor electrodinamice, trebuie analizate două probleme importante : 1. determinarea valorii, direcției, sensului și distribuției spațiale a forțelor electrodinamice care acționează asupra echipamentului analizat ; 2. calculul solicitărilor mecanice produse de forțele electrodinamice.

Deși s-au făcut eforturi deosebite în direcția rezolvării acestor probleme, nu este cunoscută în momentul de față o rezolvare mulțumitoare a acestora în cazul general. Aceasta, datorită geometriei tridimensionale complicate a căii de curent, conținând bobine și bare paralele, a distribuției spațiale a forțelor electrodinamice și de multe ori și a variației complicate în timp a acestora, care conduce la vibrații mecanice complexe.

Numeroase lucrări se înscriu pe linia calculului forțelor electrodinamice. Pot fi amintite lucrările fundamentale ale lui Ampère A.M. /1.1/, Dwight, H.B. /1.2/, Frick, C.W., /1.3/, Abegg K. /1.4/, Lehmann W. /1.5/, Schick W. /1.6/, Metha P.R. și Swart R.L. /1.7/, Ballus H. /1.8/, Hosemann G. /1.9/, Deter O. /1.10/, Tsanakas D. /1.11/ Lehmann W., Lilien J.L., Orkisz J. /1.12/ în domeniul forțelor electrodinamice între conductoare.

Se remarcă abordarea calculului pentru : conductoare paralele filiforme infinite, masive infinite, filiforme de lungime finită, filiforme formând diferite unghiuri între ele, unul dintre ele fiind infinit /1.1/.../1.4/, calculul solicitărilor dinamice ale unor

conductoare paralele sub acțiunea unor forțe variabile în timp /1.5/, /1.6/, calculul forțelor pentru conductoare filiforme fără puncte comune /1.7/, calculul forțelor pentru bare formând caturi /1.8/, precum și eforturi de a calcula și solicitările mecanice ale izolatoarelor suport în instalații cu bare rigide /1.9/.../1.11/, respectiv pentru cazul căilor de curent din stațiile de înaltă tensiune, utilizând programe complexe pentru calculul mecanic /1.12/.

În același context, se înscriu și lucrările privind calculul câmpului magnetic și al forțelor electrodinamice la bobine. Dintre lucrările de referință în acest domeniu sînt amintite cele ale lui Montgomery, D.B./1.13/, Brechna, H./1.14/, Newhouse V.L./1.15/, Sternin, V.G. și Karpenskii A.K./1.16/, Hart, P.J./1.17/, Preis, H./1.18/, Timotin Al., Mărieș V./1.19/, Melkes P./1.20/ și /1.21/, Whiston J.C. /1.22/, Pawzi T.H./1.23/, Sackett S.J./1.24/, Gray H. și Ballou J.K. /1.25/, Arp V./1.26/. De remarcat calculul solenoidelor, detaliat în /1.13/, abordarea unor probleme pentru bobine supraconductoare și cu miez de fier /1.14/, elaborarea unor tabele și nomograme pentru calculul câmpului și al forțelor electrodinamice /1.16/, /1.17/ utilizarea la calculul câmpului magnetic a modelării cîmii de curent cu un mînușchi de conductoare filiforme /1.18/, respectiv cu pinze de curent /1.19/, calculul câmpului produs de bobine circulare și cadre dreptunghiulare parcurse de curent /1.20/ și /1.21/, calculul pentru bobine necirculare /1.22/, calculul pentru bobine cilindrice infinite subțiri /1.23/, elaborarea unui program de calcul pentru câmp și forțe /1.24/, precum și calculul eforturilor mecanice din bobine circulare omogene sau anizotrope /1.25/ și /1.26/.

Simultan cu perfecționarea metodelor de calcul, se observă o tendință tot mai pronunțată de utilizare a metodelor numerice și a tehnicii moderne de calcul, atât în activitatea de cercetare cît și în cea de proiectare, Dordea T. /1.27/, /1.28/. Elaborarea și punerea la dispoziția proiectantului a unor programe performante, ușor de mînuș și suficient de rapide, permite concentrarea acestuia asupra analizei problemei tehnice propriuzise, asupra analizei variantei optime. Avantajele deosebite se reflectă în economii de material, energie, manoperă și nu în ultimul rînd, de timp. Utilizînd un echipament adecvat, unele rezultate obținute pot fi folosite la realizarea imediată a desenelor de execuție, în cadrul a ceea ce se denușește proiectarea asistată de calculator.

Pornind de la aceste considerente și de la legile și teoremele fundamentale ale electrotehnicii, în lucrare se elaborează unele metode de calcul numerice, unele programe de calcul cu aplicabilitate

pentru inginerii de curenți tari. Metodele și programele sînt utile celor care proiectează mașini și echipamente electrice de mare putere, conținînd bobine, grupuri de bobine și căi de curent cu distribuție spațială arbitrară, în absența materialelor feromagnetice.

Investigarea acestor probleme pornește de la metodele de calcul ale inducției magnetice și ale forțelor electrodinamice ($\vec{F} = \vec{J} \times \vec{B}$) pe volumele considerate. De asemenea, abordarea în lucrare, a problemelor este de la simplu la complex : de la conductoare filiforme la conductoare masive, de la bobine la grupuri de bobine și de la cazul de regim staționar la regim tranzitoriu.

Metodele generale prezentate și programele elaborate, verificate atât pe cale teoretică cît și experimental, au o largă aplicabilitate practică, înscriindu-se în tendința actuală de utilizare a tehnicilor de calcul numeric și a proiectării asistate de calculator.

1.1. Bibliografie la capitolul 1

- /1.1/ Ampère A.M., Théorie des phénomènes électro-dynamiques, uniquement déduite de l'expérience, Ed. Mequignon, Paris 1826
- /1.2/ Dwight H.B., Electrical coils and conductors, Mc.Graw-Hill, New York, 1945
- /1.3/ Frick C.W., Electromagnetic forces on conductors with bends, short lengths and cross-overs, General Electric Review, Bd.36, Nr.5, 1933
- /1.4/ Abegg K., Beitrag zur Berechnung der Kraftwirkung zwischen zwei stromdurchflossenen geraden Leitern in beliebiger räumlichen Lage, Bull. Oerlikon, 1964, H.359, p.10
- /1.5/ Lehmann W., Elektrodynamische Beanspruchung paralleler Leiter, ETZ-A, Bd.76, 1955, H.14, S.481
- /1.6/ Schick W., Differentialgleichung der statischen Stromkräfte in Bündelseilen, Dissertation Karlsruhe, 1968
- /1.7/ Metha P.R., Swart R.L., Generalized formulation for electromagnetic forces on current-carrying conductors, AIEE - Trans., vol.PAS-86, 1967, nr.2, p.155
- /1.8/ Ballus H., Ein Beitrag zur Berechnung elektromagnetischer Kräfte zwischen stromführenden Leitern, Dissertation, Darmstadt, 1970
- /1.9/ Hosemann G., Deter O., Methods of calculating the forces to which support insulators are subjected during short circuits, Electra, No.12, march 1970, p.74
- /1.10/ Deter O., Berechnung der Kurzschlussbeanspruchung von Anlagen mit biegesteifen Stromleitern und elastischen Stützpunkten. Dissertation Darmstadt, 1974
- /1.11/ Tsanakas D., Beitrag zur Berechnung der elektromagnetischen Kurzschlusskräfte und der dynamischen Beanspruchung von Schaltanlagen. Dissertation, Darmstadt, 1976
- /1.12/ Lehmann W., Lilien J.L., Orkisz J., Les conséquences mécaniques des courants de court-circuit dans les postes de haute-tension, C.I.G.R.E., WG-23-00, 1-9 sept. 1982

- /1.13/ Montgomery, D.B., Solenoid magnet design, J.Wiley, New York 1969
- /1.14/ Brechna H., Superconducting magnet systems, Springer V., 1973
- /1.15/ Newhouse V.L., Applied superconductivity, vol.II, Academic Press, New York, 1975
- /1.16/ Sternin V.I., Karpenskii A.K., Tokoogranicivaiușcie reaktori, Is.Energia, Moscova, 1965
- /1.17/ Hart P.J., Universal tables for magnetic fields of filamentary and distributed currents, AEPC, New York, 1967
- /1.18/ Preis H., Berechnung des magnetischen Feldes, der magnetischen Kräfte und des Betriebsverhaltens grosser Spulensysteme für Fusionsexperimente. Dissertation TV München, 1976
- /1.19/ Timotin Al., Mărieș V.A., Calculul câmpului magnetic și a forțelor electromagnetice asupra unui bobinaj supraconductor, Sesiune de comunicări științifice, Inst.Politehnic București, 24-25 oct. 1980
- /1.20/ Melkes P., Magnetické pole skupiny obdelníkových cívek, Elektrotechnický časopis, XXIV, nr.5, 1973, p.280
- /1.21/ Melkes P., Vypočet magnetického pole kruhových cívek, Elektrotechnický časopis, XXIV, nr.7, 1973, p.455
- /1.22/ Whiston J.C., Van Rij W.I., Magnetic field due to a uniformly wound, untwisted flat coil of rectangular cross section, J. Appl. Physics, vol.47, no.7, July 1976, p.329
- /1.23/ Pawzi T.H., Gohar W.K., Abdel Aal F., The accurate computation of forces between circular coils, IEEE Trans on Magnetics, no.6, nov., 1979, p.1491
- /1.24/ Sackett St.J., EPFI - Users manual, UCID - 17621, 1977
- /1.25/ Gray H., Ballou J.K., Electromechanical stress analysis in transversely isotropic solenoids, J.Appl. Physics, vol.48 no.7, 1977 p.3100
- /1.26/ Arp V., Stresses in superconducting solenoids, J.Appl.Physics, vol.48, no.5, 1977, p.2026
- /1.27/ Dordea T., Tendințe actuale în proiectarea mașinilor electrice, Ses.de comunicări științifice ELECTROMOTOR, vol.I, p.4. 17-18 febr.1984
- /1.28/ Dordea T., Proiectarea și construcția mașinilor electrice, vol.I, Inst. Politehnic Timișoara, 1982

2. CIMPUL MAGNETIC SI PORTELE ELECTRODINAMICE
PRODUSE DE CAI DE CURENT FILIFORME

2.1. Aproximarea căii de curent filiforme cu un contur poligonal

Această metodă de calcul implică două aproximații. Prima este legată de înlocuirea pentru calcul a căii de curent reale cu un conductor filiform, fără dimensiuni, iar cea de-a doua de aproximarea traseului circuitului filiform cu un traseu poligonal, fig. 2.1.

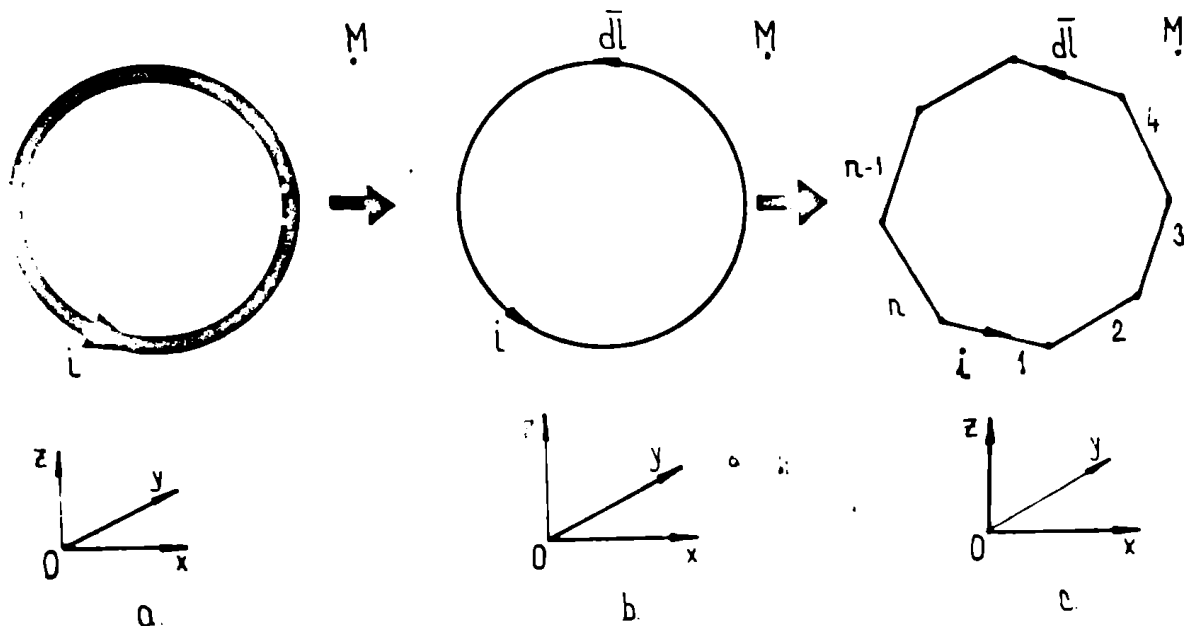


Fig.2.1. Aproximarea căii de curent masive cu un contur poligonal: a. cale de curent masivă, b. conductor filiform, c. contur poligonal.

Cîmpul magnetic într-un punct **M** se calculează considerînd însumarea contribuțiilor la cîmpul magnetic a tuturor celor "n" segmente filiforme, de lungime finită, care formează conturul poligonal. Contribuția la cîmpul magnetic total ale unui astfel de segment din calea de curent, utilizînd notațiile din fig.2.2, /2.1/, /2.2/, /2.3/, este:

$$(\vec{H}_M)_k = (i_k (\cos \alpha_{1k} - \cos \alpha_{2k}) / 4\pi d_k) \vec{v}_k \quad (2.1)$$

unde d_k este distanța din **M** pînă la dreapta suport a segmentului $A_{1k} A_{2k}$ iar \vec{v}_k versorul lui $(\vec{H}_M)_k$.

Astfel pentru cazul desenat în fig. 2.1c cîmpul magnetic total în punctul **M** se calculează, prin super_ poziție, /2.6/, cu relația :

$$\vec{H}_M = \sum_{k=1}^n (i_k (\cos \alpha_{1k} - \cos \alpha_{2k}) / 4 \pi \bar{r}_k) \vec{v}_k \quad (2.2)$$

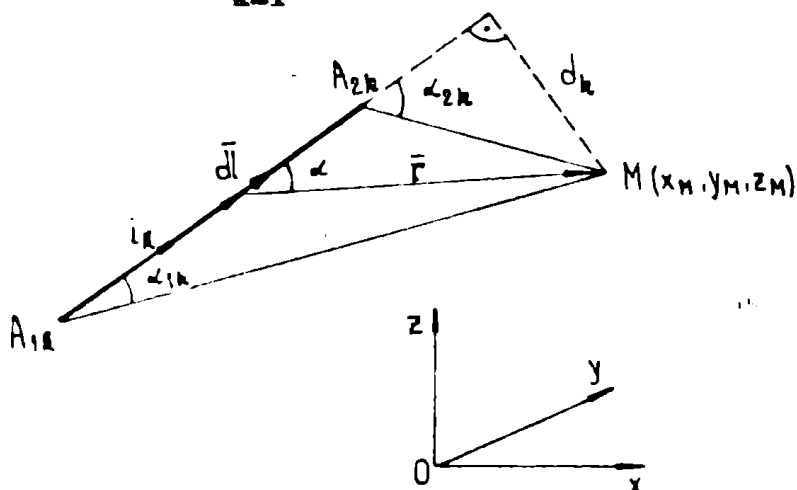


Fig.2.2. Conductor filiform de lungime finită. Desen explicativ.

Aplicarea metodei se face practic numai cu folosirea calculatorului numeric, când se pot găsi componentele lui \vec{H}_M după axele unui sistem de referință $xOyz$, atunci când se dau coordonatele punctelor $A_{1k}(x_{1k}, y_{1k}, z_{1k})$, $A_{2k}(x_{2k}, y_{2k}, z_{2k})$ și $M(x_M, y_M, z_M)$ precum și

valoarea curentului prin segmentul k .

Valorile lui d_k precum și valorile pentru cosinusuri, se găsesc folosind relațiile :

$$d_k = | \overline{A_{1k}A_{2k}} \times \overline{A_{1k}M} | / | \overline{A_{1k}A_{2k}} | \quad (2.3)$$

$$\cos \alpha_{ik} = (\overline{A_{1k}A_{2k}} \cdot \overline{A_{1k}M}) / (| \overline{A_{1k}A_{2k}} | \cdot | \overline{A_{1k}M} |) \quad (2.4)$$

unde $i=1,2$.

Metoda prezintă avantajul de a permite un calcul aproximativ, pentru orice geometrie, plană sau spațială a căii de curent. Particularizarea pentru fiecare caz analizat constă în furnizarea coordonatelor segmentelor și a punctelor unde se dorește calcularea câmpului.

2.2. Cale de curent filiformă descrisă de o curbă arbitrară.

2.2.1. Cale de curent spațială.

Se consideră o cale de curent filiformă, parcursă de curentul i , descrisă de o curbă spațială oarecare, cunoscută într-un sistem de axe ortogonale $xOyz$, fig.2.3, prin ecuațiile parametriche :

$$\begin{aligned} x &= x(t) \\ y &= y(t) \\ z &= z(t) \end{aligned} \quad (2.5)$$

Cele trei funcții de parametrul t reprezintă totodată componentele după axe ale vectorului de poziție $r(t)$, care descrie calea de curent.

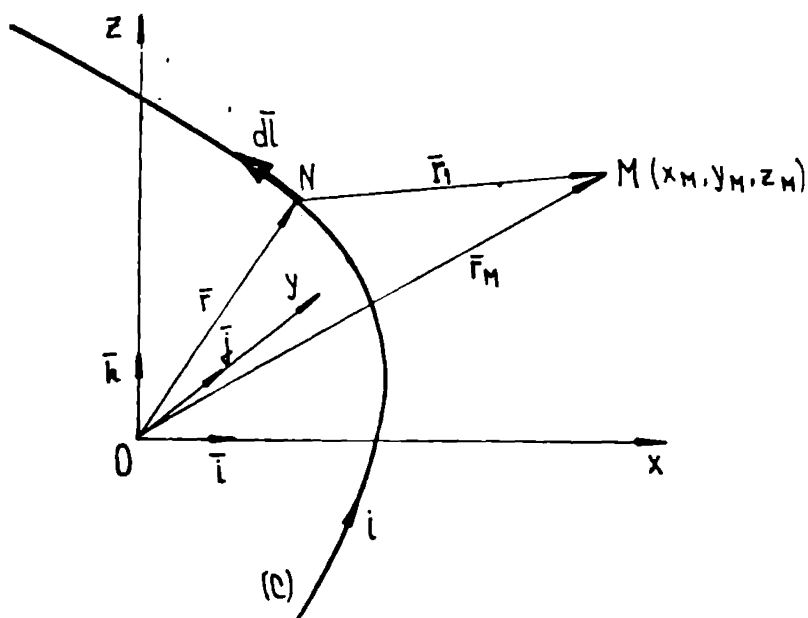


Fig.2.3. Cale de curent spațială și notațiile folosite

$y' = y'(t) = dy/dt$, $z' = z'(t) = dz/dt$. Componentele după axe ale intensității cîmpului magnetic în punctul M, se determină după efectuarea integralelor :

$$(H_x)_M = \frac{i}{4\pi} \int_{t_1}^{t_2} \frac{(y'(z_M - z) - z'(y_M - y)) dt}{((x_M - x)^2 + (y_M - y)^2 + (z_M - z)^2)^{3/2}} \quad (2.10)$$

$$(H_y)_M = \frac{i}{4\pi} \int_{t_1}^{t_2} \frac{(z'(x_M - x) - x'(z_M - z)) dt}{((x_M - x)^2 + (y_M - y)^2 + (z_M - z)^2)^{3/2}} \quad (2.11)$$

$$(H_z)_M = \frac{i}{4\pi} \int_{t_1}^{t_2} \frac{(x'(y_M - y) - y'(x_M - x)) dt}{((x_M - x)^2 + (y_M - y)^2 + (z_M - z)^2)^{3/2}} \quad (2.12)$$

În relațiile (2.10)-(2.12), limitele de integrare, t_1 și t_2 , se aleg astfel încît să descrie curba spațială închisă dorită, sau numai o porțiune a acesteia. Integrarea după parametrul t se efectuează utilizînd metode numerice.

Utilizarea unei metode numerice de integrare, permite extinderea aplicabilității metodei și în cazul în care pentru ecuațiile curbei spațiale nu se cunosc expresii analitice. În acest caz

Intensitatea cîmpului magnetic în punctul M, fig.2.3 se calculează pornind de la formula lui Biot-Savart :

$$\vec{H}_M = \oint_C i(\vec{dl} \times \vec{r}_1) / (4\pi r_1^3) \quad (2.6)$$

Se notează :

$$\vec{r}_1 = \vec{r}_M - \vec{r} \quad (2.7)$$

$$\vec{r}(t) = x(t)\vec{i} + y(t)\vec{j} + z(t)\vec{k} \quad (2.8)$$

$$d\vec{r} = d\vec{r} = (x'(t)\vec{i} + y'(t)\vec{j} + z'(t)\vec{k}) dt \quad (2.9)$$

unde $\vec{i}, \vec{j}, \vec{k}$ sînt versorii axelor, iar $x' = x'(t) = dx/dt$

valorile pentru $x(t)$, $y(t)$, $z(t)$ și $x'(t)$, $y'(t)$, $z'(t)$ trebuie determinate prin metode numerice în timpul efectuării integralelor.

2.2.2. Cale de curent plană

O cale de curent filiformă, plană, poate fi analizată similar cazului general, considerând una din ecuațiile (2.5) egală cu zero. Pentru cazul unei curbe din planul xOy , $z(t)=0$, iar ecuațiile (2.10), (2.11), (2.12) devin :

$$(H_x)_M = \frac{i}{4\pi} \int_{t_1}^{t_2} \frac{y' z_M \cdot dt}{N} \tag{2.13}$$

$$(H_y)_M = \frac{i}{4\pi} \int_{t_1}^{t_2} \frac{-x' z_M \cdot dt}{N} \tag{2.14}$$

$$(H_z)_M = \frac{i}{4\pi} \int_{t_1}^{t_2} \frac{(x'(y_M - y) - y'(x_M - x)) dt}{N} \tag{2.15}$$

unde: $N = ((x_M - x)^2 + (y_M - y)^2 + z_M^2)^{3/2}$

Pentru o cale de curent plană, descrisă de o curbă în coordonate polare $r=r(\theta)$, se pot deduce, de asemenea, relațiile de calcul a intensității câmpului magnetic, pornind de la formula Biot-Savart (2.6) și utilizând notațiile din fig. 2.4. S-a notat: \vec{t} versorul tangentei la curbă, w - unghiul format de raza vectorie $\vec{r}(\theta)$ cu tangenta într-un

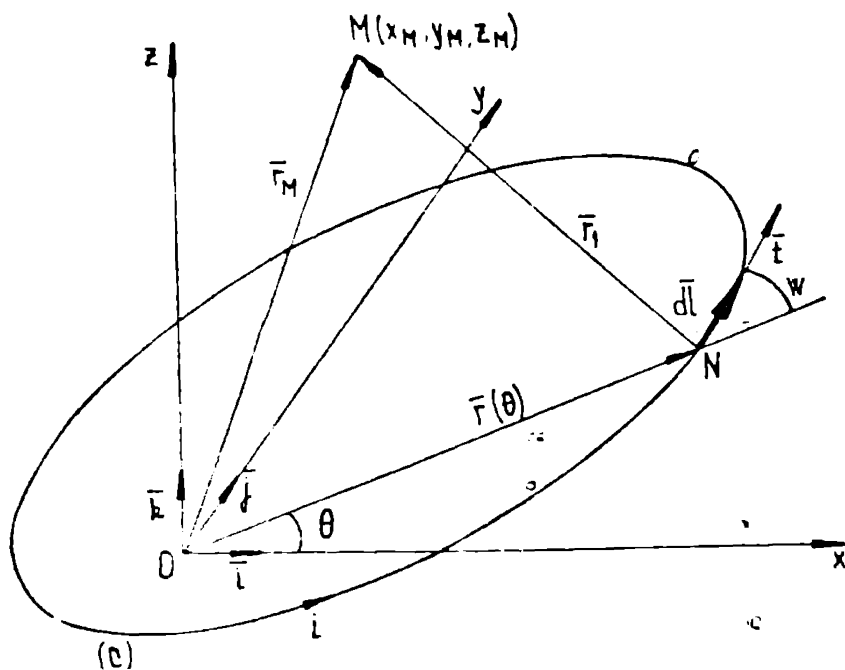


Fig. 2.4. Calea de curent plană (C)

punct la curbă, $d\vec{l}$ vector elementar al curbei (C). O modalitate similară de abordare, ca cea prezentată a fost folosită și pentru bobine masive, la descrierea traseului curentului în bobină. Cu notațiile folosite se pot scrie relațiile:

$$d\vec{I} = dl \cdot \vec{f} \quad ; \quad dl = r(\theta) \cdot d\theta / \sin w \quad (2.16)$$

$$\vec{f} = \vec{I} \cos(\theta+w) + \vec{J} \sin(\theta+w) \quad (2.17)$$

$$w = \arctg(r(\theta)/r'(\theta)) \quad ; \quad r'(\theta) = dr/d\theta \quad (2.18)$$

Din (2.16), (2.17) și (2.18) se calculează $d\vec{I}$, obținându-se :

$$d\vec{I} = \vec{f} \cdot dl = ((r' \cos\theta - r \sin\theta)\vec{I} + (r' \sin\theta + r \cos\theta)\vec{J}) d\theta \quad (2.19)$$

Ținând cont că :

$$\vec{F}_1 = \vec{r}_M - \vec{r} = (x_M - r \cos\theta)\vec{I} + (y_M - r \sin\theta)\vec{J} + z_M \vec{K} \quad (2.20)$$

și înlocuind (2.19) și (2.20) în relația (2.6) se obține pentru componentele lui \vec{H} relațiile :

$$(H_M)_x = \int_{\theta_1}^{\theta_2} (i \cdot z_M \cdot (r' \sin\theta + r \cos\theta) / (4\pi r_1^3)) d\theta \quad (2.21)$$

$$(H_M)_y = - \int_{\theta_1}^{\theta_2} (i \cdot z_M \cdot (r' \cos\theta - r \sin\theta) / (4\pi r_1^3)) d\theta \quad (2.22)$$

$$(H_M)_z = \int_{\theta_1}^{\theta_2} (i \cdot ((y_M - r \sin\theta)(r' \cos\theta - r \sin\theta) - (x_M - r \cos\theta) \cdot (r' \sin\theta + r \cos\theta)) / (4\pi r_1^3)) d\theta \quad (2.23)$$

unde $r_1 = ((x_M - r \cos\theta)^2 + (y_M - r \sin\theta)^2 + z_M^2)^{1/2}$, iar θ_1, θ_2 , limitele de integrare, delimitează porțiunea din calea de curent filiformă pentru care se calculează câmpul. Efectuarea integralelor (2.21)... (2.23) se face prin metode numerice.

2.3. Calculul potențialului magnetic vector produs de o cale de curent oarecare, filiformă, spațială.

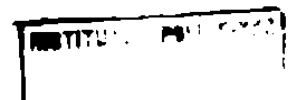
Se consideră o cale de curent spațială (C) figura 2.3 pentru care se cunosc ecuațiile parametriche (2.5), parcursă de un curent i constant sau variabil în timp. Vectorul de poziție al unui punct N pe curbă este :

$$\vec{r} = x(t)\vec{I} + y(t)\vec{J} + z(t)\vec{K} \quad (2.24)$$

Pentru o cale de curent filiformă, considerând permeabilitatea (a) constantă în tot spațiul, potențialul magnetic vector se calculează cu relația, (2.3):

$$\vec{A} = \mu \frac{i}{4\pi} \int_{(C)} \frac{d\vec{I}}{r_1} \quad (2.25)$$

unde: $r = ((x_M - x)^2 + (y_M - y)^2 + (z_M - z)^2)^{1/2}$,



iar $d\vec{I} = ((x'(t)\vec{i} + y'(t)\vec{j} + z'(t)\vec{k}) dt$.

Componentele după axele sistemului de coordonate $xOyz$, ale potențialului magnetic vector, se vor calcula din relațiile :

$$A_x = \frac{\mu_0 i}{4\pi} \int_{t_1}^{t_2} \frac{x' dt}{((x_M - x)^2 + (y_M - y)^2 + (z_M - z)^2)^{1/2}}, \quad (2.26)$$

$$A_y = \frac{\mu_0 i}{4\pi} \int_{t_1}^{t_2} \frac{y' dt}{((x_M - x)^2 + (y_M - y)^2 + (z_M - z)^2)^{1/2}}, \quad (2.27)$$

$$A_z = \frac{\mu_0 i}{4\pi} \int_{t_1}^{t_2} \frac{z' dt}{((x_M - x)^2 + (y_M - y)^2 + (z_M - z)^2)^{1/2}}, \quad (2.28)$$

Integralele din relațiile (2.26) - (2.28) se pot efectua practic pentru orice curbă (C), folosind metode numerice, cu ajutorul calculatorului electronic.

2.4. Calculul forțelor electrodinamice și a inductivităților mutuale în cazul unor căi de curent cu traseu spațial oarecare

2.4.1. Calculul forțelor electrodinamice

2.4.1.1. Cazul general al unor căi de curent filiforme

Se consideră două căi de curent spațiale distincte de formă și poziție reciprocă arbitrară și se adoptă notațiile din fig.2.5.

Pentru cele două căi de curent filiforme sînt cunoscute ecuațiile parametrice :

$$\begin{aligned} x_1 &= x_1(t) & x_2 &= x_2(s) \\ (C_1) \quad y_1 &= y_1(t) & (C_2) \quad y_2 &= y_2(s) & (2.29); & (2.30) \\ z_1 &= z_1(t) & z_2 &= z_2(s) \end{aligned}$$

Calcularea forței electrodinamice produsă de (C_1) parcursă de i_1 , asupra lui (C_2) parcursă de i_2 , se face pornind de la expresia forței electrodinamice exercitată asupra unui element dintr-un conductor, parcurs de curent, avînd lungimea $d\vec{l}$, plasat într-un loc unde inducția magnetică este $\vec{B} / 2.l/$:

$$d\vec{F} = i(d\vec{l} \times \vec{B}). \quad (2.31)$$

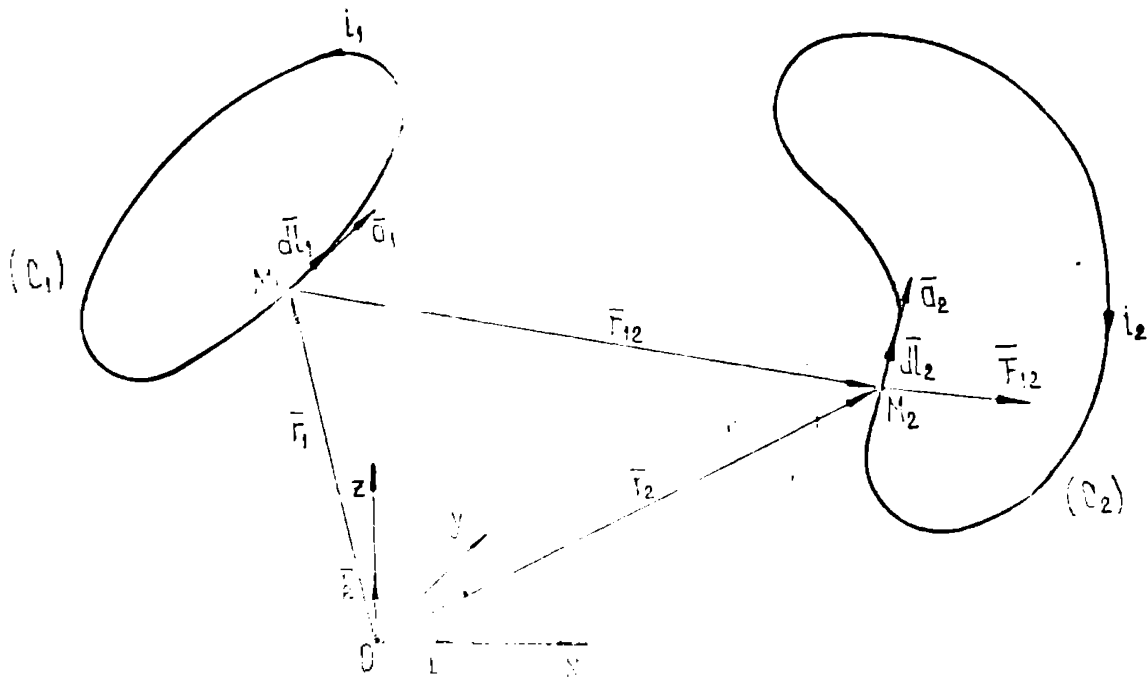


Fig.2.5. Căi de curent filiforme, spațiale. Notațiile folosite.

Notând $d\bar{l}_1$, $d\bar{l}_2$ vectorii elementari ai curbelor (C_1) și respectiv (C_2) , \bar{a}_1 , \bar{a}_2 versorii tangențelor la cele două curbe, \bar{r}_1 , \bar{r}_2 vectorii de poziție a punctelor curente M_1 și M_2 , fig.2.5, se pot scrie relațiile :

$$d\mathcal{P}_{12} = i_2(d\bar{l}_2 \times \bar{H}_{12}) , \quad (2.32)$$

unde: $d\bar{l}_2 = d\bar{r}_2 = (x_2'(s)\bar{i} + y_2'(s)\bar{j} + z_2'(s)\bar{k})ds , \quad (2.33)$

$$d\bar{l}_2 = \bar{a}_2 \cdot ds , \quad (2.34)$$

$$\bar{H}_{12} = \mu \frac{i_1}{4\pi} \int_{(C_1)} \frac{d\bar{l}_1 \times \bar{r}_{12}}{r_{12}^3} \quad (2.35)$$

iar : $d\bar{l}_1 = (x_1'(t)\bar{i} + y_1'(t)\bar{j} + z_1'(t)\bar{k})dt \quad (2.36)$

$$d\bar{l}_1 = \bar{a}_1 \cdot dt \quad (2.37)$$

$$r_{12} = ((x_2(s) - x_1(t))^2 + (y_2(s) - y_1(t))^2 + (z_2(s) - z_1(t))^2)^{1/2} \quad (2.38)$$

Forța elementară $d\mathcal{P}_{12}$ poate fi scrisă astfel încît să fie evidențiată forța specifică $\mathcal{P}_{s12}/N \cdot m^{-1}$:

$$d\mathcal{P}_{12} = \mathcal{P}_{s12} \cdot ds , \quad (2.39)$$

care împreună cu relațiile (2.32) și (2.34) conduce la :

$$\mathcal{P}_{s12} = i_2(\bar{a}_2 \times \bar{H}_{12}) . \quad (2.40)$$

Din relațiile (2.33) și (2.34) se obține

$$\bar{a}_2 = x_2'(s)\bar{I} + y_2'(s)\bar{J} + z_2'(s)\bar{K} \quad (2.41)$$

iar \bar{B}_{12} rezultă din (2.35)...(2.38).

Forța electrodinamică totală asupra căii de curent (C_2) se calculează cu una din relațiile :

$$F_{12} = \mu \int_{(C_2)} i_2 (d\bar{l}_2 \times \frac{i_1}{4\pi} \int_{(C_1)} \frac{d\bar{l}_1 \times \bar{r}_{12}}{r_{12}^3}) \quad (2.42)$$

$$F_{12} = \mu \int_{s_1}^{s_2} i_2 (\bar{a}_2 \times \frac{i_1}{4\pi} \int_{t_1}^{t_2} \frac{(\bar{a}_1 \times \bar{r}_{12}) dt}{r_{12}^3}) ds \quad (2.43)$$

$$F_{12} = \mu \int_{s_1}^{s_2} i_2 (\bar{a}_2 \times \bar{B}_{12}) ds = \int_{s_1}^{s_2} \bar{F}_{s12} ds \quad (2.44)$$

Așa cum s-a arătat la paragraful 2.2 pentru calculul lui B_{12} este necesară o integrare numerică pe (C_1) deci cu limitele t_1 și t_2 iar pentru calculul forței electrodinamice este necesară încă o integrare numerică cu limitele de integrare s_1 și s_2 .

Deci pentru calculul forțelor electrodinamice între două căi de curent filiforme cu poziție spațială și formă arbitrară este necesară în general efectuarea a două integrale numerice.

2.4.1.2. Calculul forțelor electrodinamice în cazul unui grup de "p" conductoare rectilinii și filiforme.

Se consideră "p" conductoare rectilinii și filiforme, de lungime finită, cu poziție spațială arbitrară, fără puncte comune, plasate într-un mediu cu permeabilitate constantă, considerate părți ale unor căi de curent, fig.2.6.

Un conductor oarecare "k" se află în câmpul magnetic al celorlalte p-1 conductoare și asupra lui sînt exercitate forțe electrodinamice. Forța totală exercitată asupra lui "k" se poate calcula prin suprapunerea efectelor.

Forța între două conductoare filiforme, de lungime finită se poate calcula după cum urmează.

Conductorul k, fig.2.6 asupra căruia se calculează forța, se împarte în segmente scurte Δl_k și fie A -mijlocul unui astfel de segment.

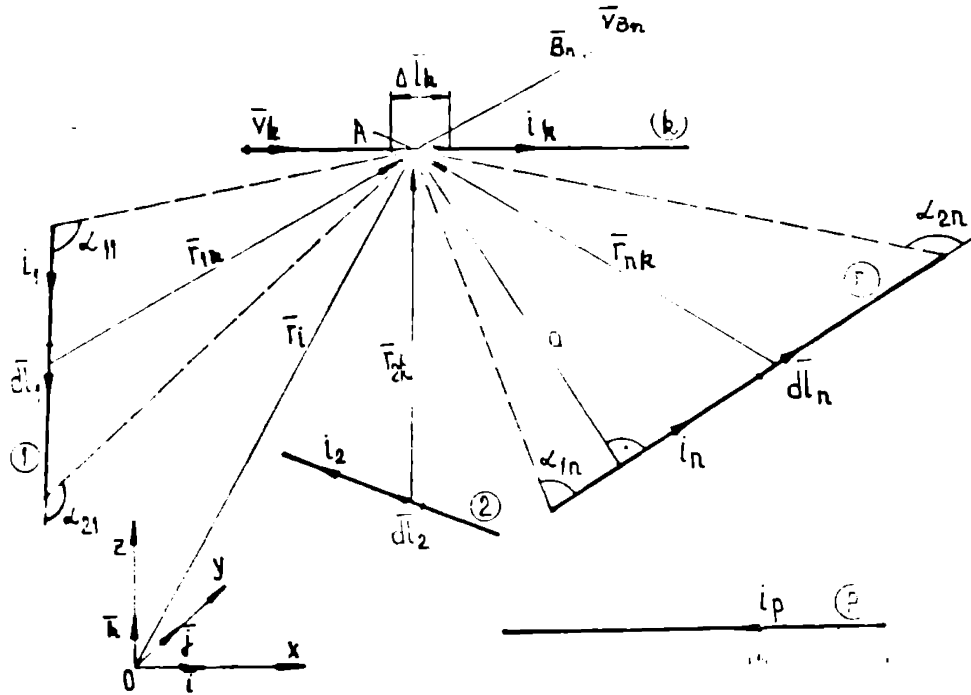


Fig.2.6. Conductoarele filiforme analizate și notațiile folosite.

Segmentul $d\vec{I}_n$ al conductorului n contribuie la producerea în punctul A , al conductorului k , conform formulei Biot-Savart, a inducției:

$$(d\vec{B})_n = (\mu/4\pi) i_n (d\vec{I}_n \times \vec{r}_{nk}) / r_{nk}^3 \quad (2.45)$$

În relația (2.45) s-au folosit notațiile din fig.2.6 unde i_n - intensitatea curentului electric în conductorul n , \vec{r}_{nk} - vectorul orientat de la $d\vec{I}_n$ spre A , iar μ - permeabilitatea absolută.

Întregul conductor n produce în punctul A inducția :

$$\vec{B}_n = \int_n (\mu/4\pi) i_n (d\vec{I}_n \times \vec{r}_{nk}) / r_{nk}^3 \quad (2.46)$$

$$\vec{B}_n = ((\mu i_n / 4\pi) (\cos \alpha_{1n} - \cos \alpha_{2n}) / a) \vec{v}_{Bn} = B_n \cdot \vec{v}_{Bn} \quad (2.47)$$

unde a - este distanța punctului A de conductorul n , α_{1n} și α_{2n} unghiurile din fig.2.6, iar \vec{v}_{Bn} versorul inducției \vec{B}_n .

Forța electrodinamică produsă de conductorul n asupra segmentului $\Delta \vec{I}_k$ se poate scrie :

$$(\vec{F}_A)_n = i_k (\Delta \vec{I}_k \times \vec{B}_{nm}) = i_k \cdot B_{nm} \cdot \Delta l_k \cdot (\vec{v}_k \times \vec{v}_{Bn}) \quad (2.48)$$

unde: $\Delta \vec{I}_k = \Delta l_k \cdot \vec{v}_k$, \vec{v}_k este versorul conductorului k , considerat în sensul curentului i_k , iar B_{nm} este valoarea medie a inducției magnetice în lungul segmentului elementar Δl_k produsă de conductorul n .

Contribuția la forța specifică, f_s , pe porțiunea Δl_k , datorită conductorului "n", se scrie din (2.48):

$$(\vec{F}_A)_n = (\vec{F}_A)_{\vec{r}} / \Delta l_k = I_k \cdot B_{nm} \cdot (\vec{v}_k \times \vec{v}_{Bn}) . \quad (2.49)$$

Forța în A, asupra segmentului Δl_k , datorată tuturor conductoarelor analizate se poate scrie :

$$\vec{F}_A = \sum_{\substack{n=1 \\ n \neq k}}^P (\vec{F}_A)_n = \vec{I}(f_A)_x + \vec{J}(f_A)_y + \vec{K}(f_A)_z . \quad (2.50)$$

Totalitatea forțelor \vec{F}_A , oricare ar fi conductorul k, formează un sistem spațial complex, forțele avînd punctul de aplicație pe conductor iar direcția, sensul precum și mărimea variabilă în lungul conductorului. Componentele după x, respectiv y și z, ale forțelor de pe segmentele elementare ale unui conductor k, formează un sistem de forțe paralele, neuniform distribuite în lungul conductorului. Se poate determina pentru fiecare componentă, /2.4/, o forță rezultantă, F_{kx} , F_{ky} , F_{kz} - pentru conductorul k :

$$F_{kx} = \sum_{(k)} (f_A)_x \dots (2.51); \quad F_{ky} = \sum_{(k)} (f_A)_y \dots (2.52); \quad F_{kz} = \sum_{(k)} (f_A)_z \dots (2.53)$$

și respectiv punctul de aplicație al acestora. Vectorul de poziție \vec{r}_c al punctului de aplicație ale forțelor rezultante F_{kx} , F_{ky} , F_{kz} , se determină din relațiile vectoriale, /2.4/, :

$$\vec{r}_{ca} = \sum_{(k)} (f_A)_a \cdot \vec{r}_1 / \sum_{(k)} (f_A)_a \quad (2.54)$$

unde a = x, y, z, $(f_A)_x$, $(f_A)_y$, $(f_A)_z$ sînt cele din relația (2.50) iar \vec{r}_1 este vectorul de poziție al punctului A (fig.2.6), pentru fiecare segment elementar Δl_k , al barei k.

În cazul în care se folosesc forțele specifice, forțele totale asupra conductorului k pot fi determinate prin integrare numerică:

$$F_{ka} = \int_a^{l_k} f_{sa} \cdot dl_k , \quad (2.55)$$

unde a = x, y, z iar l_k lungimea conductorului k.

2.5. Calculul inductivităților mutuale pentru circuite filiforme

Formule aproximative sau tabele pentru calculul inductivităților mutuale pentru cazuri cu geometrie simplă sau reducibile la forme geometrice simple sînt cunoscute în literatură /2.5/. Se prezintă în continuare o metodă generală, utilizabilă cu calculatorul, care permite găsirea valorii inductivității mutuale între două circuite filiforme distincte plasate arbitrar în spațiu.

Se consideră aceleași date pentru circuite ca în paragraful 2.4.1, inclusiv figura 2.5.

Conform /2.1/ se poate scrie fluxul, ϕ_{12} , care străbate circuitul (C_2) și este produs de curentul care străbate (C_1) :

$$\phi_{12} = \int_{(C_2)} \bar{A}_1 \cdot d\vec{I}_2 \quad , \quad (2.56)$$

$$\text{unde } \bar{A}_1 = \frac{\mu i_1}{4\pi} \int_{(C_1)} \frac{d\vec{I}_1}{r_{12}} \quad . \quad (2.57)$$

\bar{A}_1 este potențialul magnetic vector produs în punctul M_2 , fig.2.5, al curbei (C_2) de curentul din circuitul (C_1). Potențialul magnetic vector, \bar{A}_1 , se calculează, așa cum s-a arătat în paragraful 2.3, printr-o integrare numerică. Elementul $d\vec{I}_1$ este dat de relația (2.36).

Notând A_{1x} , A_{1y} , A_{1z} componentele după axele sistemului xOyz ale potențialului magnetic vector și folosind relația (2.33), relația (2.56) devine :

$$\phi_{12} = \int_{s_1}^{s_2} (A_{1x} \cdot x_2'(s) + A_{1y} \cdot y_2'(s) + A_{1z} \cdot z_2'(s)) ds. \quad (2.58)$$

Determinarea fluxului ϕ_{12} se face prin două integrări numerice succesive : prima pentru calculul potențialului magnetic vector în diverse puncte M_2 de pe curba (C_2), iar a doua conform relației (2.58).

După efectuarea calculelor numerice, se determină inductivitatea mutuală :

$$L_{12} = \frac{\phi_{12}}{i_1} \quad , \quad (2.59)$$

a celor două circuite.

2.6. Bibliografie la capitolul 2

- /2.1/ De Sabata, I., "Bazele electrotehnicii", vol. II
Institutul Politehnic Timișoara, 1974
- /2.2/ Sora, C., "Bazele electrotehnicii", Editura Didactică și
Pedagogică, București, 1982
- /2.3/ Simonyi, K., "Bazele electrotehnicii" Editura Tehnică
București, 1974
- /2.4/ Silag, Gh., Groșanu, I., "Mecanică", Editura Didactică și
Pedagogică, București, 1981
- /2.5/ Kalanttarov, P.L., Teitlin, L., "Calculul inductanțelor,
Editura Tehnică, București, 1958
- /2.6/ Răduleț, R. , "Bazele electrotehnicii", Probleme, vol. I,
Editura Didactică și Pedagogică, București,
1970.

3. CIMPUL MAGNETIC SI FORTELE ELECTRODINAMICE

LA CAI DE CURENT MASIVE

3.1. Cimpul magnetic produs de bare masive, ce pãrți ale unei cãi de curent.

3.1.1. Metodã de calcul a cimpului magnetic la bare masive de lungime finitã.

3.1.1.1. Formulara problemei.

Se considerã o porțiune dintr-o cale de curent, avînd o secțiune dreptunghiularã, parcursã de curent paralel cu una din laturi, fig. 3.1, avînd curentul uniform distribuit pe toatã secțiunea conductorului, iar bara din calea de curent cît și mediul care o înconjoarã, nu au proprietãți feromagnetice.

Se cautã componentele intensitãții cimpului magnetic într-un punct M.

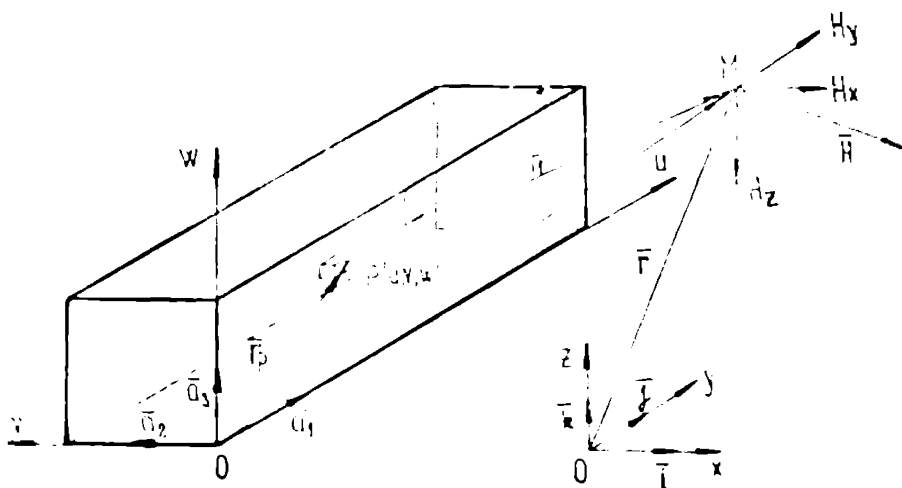


Fig. 3.1. Barã paralelipipedicã, porțiune a unei cãi de curent și notațiile folosite.

Pentru o barã filiformã infinit lungã, respectiv masivã, infinit lungã cu secțiune dreptunghiularã, și pentru cazul cînd bara se poate aproxima cu un conductor filiform, de lungime finitã, se cunosc relații de calcul pentru intensitatea cimpului magnetic /3.1/, /3.2/.

De asemenea, în /3.3/ autorii propun o metodã la care, se deduc formule analitice pentru inducția magneticã creatã de o pînzã (planã) de curent de forma unui trapez și pentru un element de forma unui tub prismatic, iar uneori, /3.4/, se aproximeazã conductorul real cu un mãmunchi de conductoare filiforme paralele de lungime finitã.

494863
3559

Calculul cîmpului pentru bara analizată se face pornind de la formula lui Biot-Savart, considerînd c  fiecare element al barei ar contribui la c mpul total in M, /3.13/, cu :

$$d\vec{H} = \frac{\vec{J} \times \vec{r}_1}{4\tilde{\mu}r_1^3} dV \quad (3.1)$$

In rela ia (3.1) $d\vec{H}$ este contribu ia la intensitatea c mpului magnetic in punctul M, produs  de elementul infinitesimal de volum dV , parcurs de densitatea de curent \vec{J} , volum care con ine punctul P, fig.3.1.

In afara sistemului de referin  general $xOyz$, fig.3.1, av nd versorii axelor \vec{i} , \vec{j} , \vec{k} , se consider  un sistem triortogonal de axe de coordonate ata at barei analizate, $Ouvw$, av nd versorii axelor nota i \vec{a}_1 pentru Ou , \vec{a}_2 pentru Ov  i respectiv \vec{a}_3 pentru Ow .

Consider nd $M(u_M, v_M, w_M)$  i $P(u, v, w)$ se poate scrie :

$$\vec{r}_M = u_M \cdot \vec{a}_1 + v_M \cdot \vec{a}_2 + w_M \cdot \vec{a}_3 \quad (3.2)$$

$$\vec{r}_P = u \cdot \vec{a}_1 + v \cdot \vec{a}_2 + w \cdot \vec{a}_3 \quad (3.3)$$

$$\vec{r}_1 = \vec{r}_M - \vec{r}_P = (u_M - u) \vec{a}_1 + (v_M - v) \vec{a}_2 + (w_M - w) \vec{a}_3. \quad (3.4)$$

Densitatea de curent \vec{J} este considerat  paralel  cu Ou

$$\vec{J} = J \cdot \vec{a}_1 \quad (3.5)$$

 i  in nd cont de rela ia (3.4) se poate scrie :

$$\vec{J} \times \vec{r}_1 = \begin{vmatrix} \vec{a}_1 & \vec{a}_2 & \vec{a}_3 \\ J & 0 & 0 \\ u_M - u & v_M - v & w_M - w \end{vmatrix} \quad (3.6)$$

Cu aceasta rela ia (3.1) devine :

$$d\vec{H} = \vec{a}_2 \cdot \frac{-J \cdot (w_M - w)}{4\tilde{\mu}r_1^3} dV + \vec{a}_3 \cdot \frac{J \cdot (v_M - v)}{4\tilde{\mu}r_1^3} dV \quad (3.7)$$

Intensitatea c mpului magnetic produs in M de toate elementele infinit mici care formeaz  bara se ob ine  in nd cont c  $dV = du \cdot dv \cdot dw$ iar integrala se efectueaz  pe volumul parcurs de curent:

$$\vec{H} = \vec{a}_2 \int_V \frac{-J \cdot (w_M - w)}{4\tilde{\mu}r_1^3} dV + \vec{a}_3 \int_V \frac{J \cdot (v_M - v)}{4\tilde{\mu}r_1^3} dV \quad (3.8)$$

Față de sistemul de referință legat de bară, intensitatea câmpului magnetic are componentele :

$$H_u = 0 \quad (3.9)$$

$$H_v = \frac{1}{4\pi} \int_{u_1}^{u_2} \int_{v_1}^{v_2} \int_{w_1}^{w_2} \frac{-J(u_M - u) du dv dw}{((u_M - u)^2 + (v_M - v)^2 + (w_M - w)^2)^{3/2}} \quad (3.10)$$

$$H_w = \frac{1}{4\pi} \int_{u_1}^{u_2} \int_{v_1}^{v_2} \int_{w_1}^{w_2} \frac{J(v_M - v) du dv dw}{((u_M - u)^2 + (v_M - v)^2 + (w_M - w)^2)^{3/2}} \quad (3.11)$$

unde s-a ținut cont că în general, baza este limitată de u_1, u_2 după Ou , v_1, v_2 după Ov respectiv w_1, w_2 după Ow .

Se disting 3 cazuri care permit calculul componentelor intensității câmpului magnetic pornind de la relațiile (3.10) și (3.11) :

1. Bară paralelipedică scurtă
2. Bară de lungime infinită și secțiune dreptunghiulară
3. Bară de lungime finită.

Deși cazul al 3-lea are cea mai mare generalitate, deducerea celorlalte relații poate fi de interes.

3.1.1.2. Bară paralelipedică scurtă

Pentru un punct M în care se dorește calcularea intensității câmpului magnetic produs de o bară paralelipedică, porțiune a unei căi de curent, aceasta poate fi considerată scurtă dacă se poate neglija u față de u_M , adică :

$$u_M - u \approx u_M \quad (3.12)$$

oricare ar fi $P(u, v, w)$, fig. 3.1, din interiorul barei analizate.

Înlocuind relația (3.12) în relațiile (3.10) și (3.11) și notînd lungimea barei după axa Ou cu l_u , se obține :

$$H_v = -\frac{J}{4\pi} \cdot l_u \cdot \int_{v_1}^{v_2} \int_{w_1}^{w_2} \frac{(u_M - u) dv dw}{(u_M^2 + (v_M - v)^2 + (w_M - w)^2)^{3/2}} \quad (3.13)$$

$$H_w = \frac{J}{4\pi} \cdot l_u \cdot \int_{v_1}^{v_2} \int_{w_1}^{w_2} \frac{(v_M - v) dv dw}{(u_M^2 + (v_M - v)^2 + (w_M - w)^2)^{3/2}} \quad (3.14)$$

unde s-a considerat integrala dură "u" ca și integrala unei constante.

Integrând relația (3.13) prima dată după u, iar (3.14) după v, se obține :

$$H_v = - \frac{J}{4\pi} \cdot 1_u \cdot \int_{v_1}^{v_2} \left\{ (u_M^2 + (v_M - v)^2 + (u_M - u)^2)^{-1/2} \right\} \Big|_{u_1}^{u_2} dv, \quad (3.15)$$

$$H_u = \frac{J}{4\pi} \cdot 1_v \cdot \int_{u_1}^{u_2} \left\{ (u_M^2 + (v_M - v)^2 + (u_M - u)^2)^{-1/2} \right\} \Big|_{v_1}^{v_2} du. \quad (3.16)$$

Expresiile de sub semnul integrală conțin doi termeni,

notația $\left| \begin{matrix} u_2 \\ u_1 \end{matrix} \right.$ respectiv $\left| \begin{matrix} v_2 \\ v_1 \end{matrix} \right.$, în dreapta unei expresii, avînd semnificația de la integralele definite

$$\left. (u_M^2 + (v_M - v)^2 + (u_M - u)^2)^{1/2} \right|_{u_1}^{u_2} = (u_M^2 + (v_M - v)^2 + (u_M - u_2)^2)^{1/2} - (u_M^2 + (v_M - v)^2 + (u_M - u_1)^2)^{1/2} \quad (3.17)$$

Această notație a fost folosită și în continuare pentru a scrie relațiile de calcul relativ compact.

Effectuarea celei de a doua integrări, (3.15), (3.16), conduce, pentru componentele intensității cîmpului magnetic, produs de un paralelipiped scort într-un sistem de referință legat de acesta, și izînd notațiile precizate mai sus, la :

$$H_v = + \frac{J}{4\pi} \cdot 1_u \cdot \left\{ s_v(v, u) \right\} \Big|_{u_1}^{u_2} \Big|_{v_1}^{v_2}, \quad (3.18)$$

unde $s_v(v, u) = \ln \left| \frac{v_M - v + (u_M^2 + (v_M - v)^2 + (u_M - u)^2)^{1/2}}{v_M - v} \right|$.

$$H_u = - \frac{J}{4\pi} \cdot 1_v \cdot \left\{ s_u(v, u) \right\} \Big|_{v_1}^{v_2} \Big|_{u_1}^{u_2}, \quad (3.19)$$

unde $s_u(v, u) = \ln \left| \frac{u_M - u + (u_M^2 + (v_M - v)^2 + (u_M - u)^2)^{1/2}}{u_M - u} \right|$.

Expresiile din relațiile (3.18) și (3.19), ținând cont și de notația din (3.17), se dezvoltă sub forma :

$$\left\{ E_v(v, w) \begin{vmatrix} v_2 \\ w_1 \end{vmatrix} \begin{vmatrix} v_2 \\ v_1 \end{vmatrix} = E_v(v, w_2) \begin{vmatrix} v_2 \\ v_1 \end{vmatrix} - E_v(v, w_1) \begin{vmatrix} v_2 \\ v_1 \end{vmatrix} = \right. \\ \left. E_v(v_2, w_2) - E_v(v_1, w_2) - E_v(v_2, w_1) + E_v(v_1, w_1) \right. \quad (3.20)$$

și în mod similar cu (3.20) și expresia $E_w(v, w) \begin{vmatrix} v_2 \\ v_1 \end{vmatrix} \begin{vmatrix} w_2 \\ w_1 \end{vmatrix}$.

3.1.1.3. Bară de lungime infinită și secțiune dreptunghiulară

Pentru cazul că $u_1 \rightarrow -\infty$ și $u_2 \rightarrow +\infty$, relațiile (3.10) și (3.11), se vor scrie :

$$H_v = \frac{1}{4\bar{\mu}} \int_{-\infty}^{+\infty} du \int_{v_1}^{v_2} \int_{w_1}^{w_2} \frac{-J(w_1 - w) dv dw}{((u_M - u)^2 + (v_M - v)^2 + (w_M - w)^2)^{3/2}}, \quad (3.21)$$

$$H_w = \frac{1}{4\bar{\mu}} \int_{-\infty}^{+\infty} du \int_{v_1}^{v_2} \int_{w_1}^{w_2} \frac{J(v_M - v) dv dw}{((u_M - u)^2 + (v_M - v)^2 + (w_M - w)^2)^{3/2}}, \quad (3.22)$$

Pentru integrarea după u a relației (3.21) acestea se pun sub forma :

$$H_v = \frac{-J}{4\bar{\mu}} \int_{v_1}^{v_2} dv \int_{w_1}^{w_2} (w_M - w) dw \int_{-\infty}^{+\infty} \frac{du}{((u_M - u)^2 + (v_M - v)^2 + (w_M - w)^2)^{3/2}}. \quad (3.23)$$

$$\text{Notînd: } a^2 = (v_M - v)^2 + (w_M - w)^2, \quad (3.24)$$

$$u_M - u = t \quad (3.25)$$

integrala după u devine :

$$I_u = \int_{-\infty}^{+\infty} \frac{du}{((u_M - u)^2 + (v_M - v)^2 + (w_M - w)^2)^{3/2}} = \int_{-\infty}^{+\infty} \frac{-dt}{(t^2 + a^2)^{3/2}}. \quad (3.26)$$

Efectuînd integrala (3.26) și trecînd la limită cînd $t \rightarrow \pm\infty$, se obține :

$$I_u = \frac{-t}{a^2(t^2+a^2)^{1/2}} \Big|_{-\infty}^{+\infty} = -\frac{2}{a^2} \quad (3.27)$$

Din relațiile (3.24), (3.27), (3.23) și (3.22) se găsesc pentru H_v și H_w expresiile :

$$H_v = \frac{J}{2\tilde{h}} \int_{v_1}^{v_2} \int_{w_1}^{w_2} \frac{(w_M - w) dv dw}{(v_M - v)^2 + (w_M - w)^2} \quad (3.28)$$

$$H_w = \frac{-J}{2\tilde{h}} \int_{v_1}^{v_2} \int_{w_1}^{w_2} \frac{(v_M - v) dv \cdot dw}{(v_M - v)^2 + (w_M - w)^2} \quad (3.29)$$

Relațiile obținute sînt identice cu cele cunoscute din literatură /3.1/, /3.5/.

3.1.1.4 Bară paralelipipedică de lungime finită

Se consideră expresiile (3.10) și (3.11) pentru componentele H_v și H_w . Efectuînd integrarea acestora după v și w , similar pușc-tului 3.1.1.2 și folosind notațiile (3.17) și (3.20) se obține :

$$H_v = \frac{J}{4\tilde{h}} \int_{u_1}^{u_2} \left\{ D_v(u, v, w) \Big|_{w_1}^{w_2} \right\} \Big|_{v_1}^{v_2} du \quad (3.30)$$

unde: $D_v(u, v, w) = \ln \left| v_M - v + ((u_M - u)^2 + (v_M - v)^2 + (w_M - w)^2)^{1/2} \right|$,

respectiv :

$$H_w = \frac{-J}{4\tilde{h}} \int_{u_1}^{u_2} \left\{ D_w(u, v, w) \Big|_{v_1}^{v_2} \right\} \Big|_{w_1}^{w_2} du \quad (3.31)$$

unde: $D_w(u, v, w) = \ln \left| w_M - w + ((u_M - u)^2 + (v_M - v)^2 + (w_M - w)^2)^{1/2} \right|$.

Expresiile de sub semnul integrală se dezvoltă conform exepmlu-lui din relația (3.20), ținînd cont că u , din $D_w(u, v, w)$, rămîne neafectat obținîndu-se patru termeni. Asupra acestora va trebui efec-tuată integrarea între limitele u_1 și u_2 , metodele folosite fiind cele numerice.

3.1.1.5. Bară cu capete oblice plane

Se consideră o porțiune dintr-o cale de curent, având secțiune dreptunghiulară, lungime finită, și capetele tăiate oblic de două plane, (I_1, I_2, I_3) și (J_1, J_2, J_3) , perpendiculare pe planul laturii (I_2, I_3, J_2, J_3) , fig.3.2.

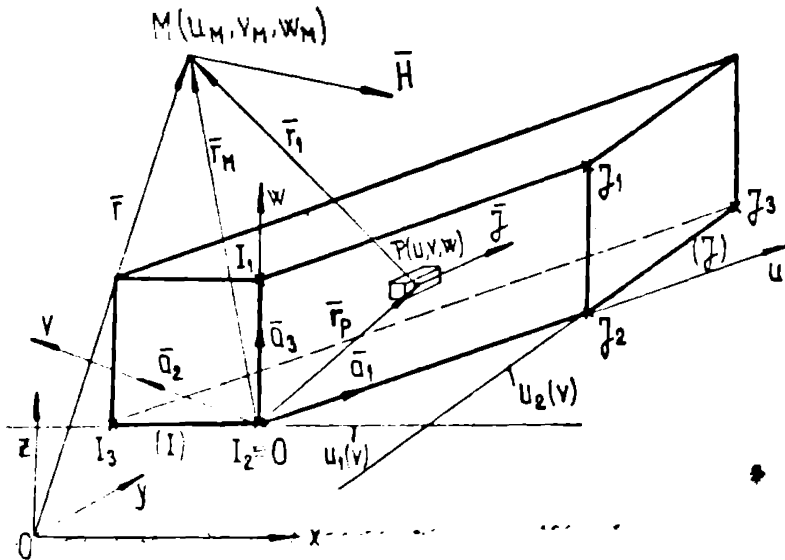


Fig.3.2. Bară cu capete oblice, plane și secțiune dreptunghiulară.

În fig.3.2 s-au notat cu I_1, I_2, I_3 respectiv J_1, J_2, J_3 colțurile de la capetele notate I și J ale barei. Densitatea de curent J se consideră uniformă în secțiunea barei și la fel în orice secțiune a acesteia.

Dreptele (I_2, I_3) și (J_2, J_3) aflate în planul uOv pot fi descrise de două ecuații $u_1(v)$ și respectiv $u_2(v)$

Calculul componentelor câmpului magnetic se face pornind de la relațiile (3.10) și (3.11), alegând ordinea de integrare, astfel încât ultima integrală care va fi efectuată, să fie după v :

$$H_V = \frac{-J}{4\tilde{h}} \int_{v_1}^{v_2} \int_{u_1(v)}^{u_2(v)} \int_{w_1}^{w_2} \frac{(w_M - w) \cdot dv \, du \, dw}{((u_M - u)^2 + (v_M - v)^2 + (w_M - w)^2)^{3/2}} \quad (3.32)$$

$$H_w = \frac{J}{4\tilde{h}} \int_{v_1}^{v_2} \int_{u_1(v)}^{u_2(v)} \int_{w_1}^{w_2} \frac{(v_M - v) \cdot dv \, du \, dw}{((u_M - u)^2 + (v_M - v)^2 + (w_M - w)^2)^{3/2}} \quad (3.33)$$

Efectuarea integralelor (3.32) și (3.33) nu este îngreunată de faptul că limitele de integrare u_1 și u_2 sînt funcții de v , integrarea după v fiind efectuată numeric.

Cu notațiile adoptate (3.17) și (3.20), expresiile finale ale câmpului magnetic produs de o bară cu capete oblice, plane, sînt :

$$H_v = \frac{J}{4\pi} \int_{v_1}^{v_2} G_v(v) dv \quad (3.34)$$

unde: $G_v(v) = \left\{ K_v(u, v, w) \right\}_{w_1}^{w_2} \left| \begin{matrix} u_2(v) \\ u_1(v) \end{matrix} \right.$, (3.35)

iar $K_v(u, v, w) = \ln \left| \frac{u_M - u(v) + ((u_M - u(v))^2 + (v_M - v)^2 + (w_M - w)^2)^{1/2}}{u_M - u(v)} \right|$,

respectiv:

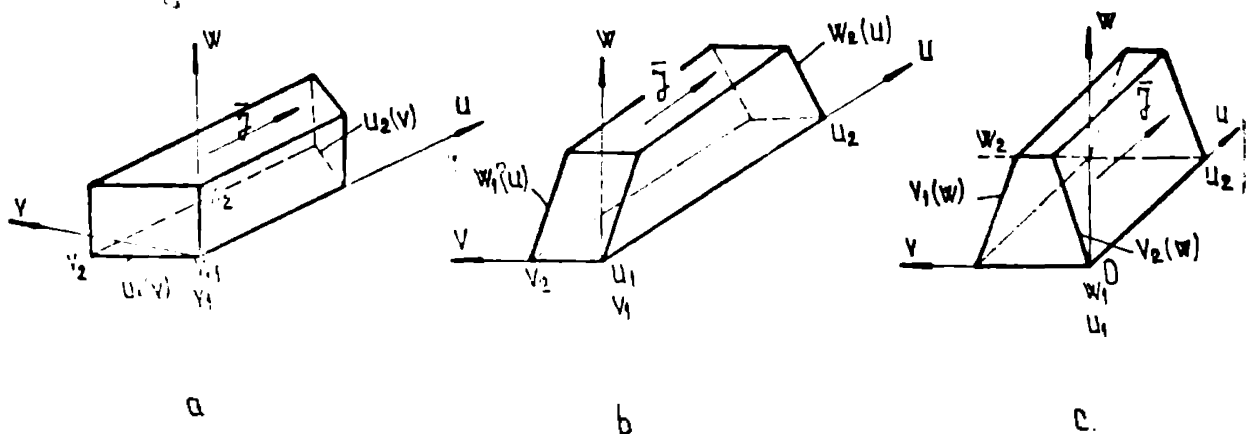
$$H_w = \frac{J}{4\pi} \int_{v_1}^{v_2} G_w(v) dv, \quad (3.36)$$

unde $G_w(v) = \left\{ K_w(u, v, w) \right\}_{w_1}^{w_2} \left| \begin{matrix} u_2(v) \\ u_1(v) \end{matrix} \right.$,

iar

$$K_w(u, v, w) = \text{arctg} \frac{(u_M - u(v))(w_M - w)}{(v_M - v)((u_M - u(v))^2 + (v_M - v)^2 + (w_M - w)^2)^{1/2}} \quad (3.37)$$

Determinarea valorilor lui H_v și H_w se face prin integrarea numerică a relațiilor (3.34) și (3.36).



Funcții	$u_1(v), u_2(v)$	$w_1(u), w_2(u)$	$v_1(w), v_2(w)$
Constante	w_1, w_2	v_1, v_2	u_1, u_2
Integrare după	v	u	w
cu limitele	$v_1 \dots v_2$	$u_1 \dots u_2$	$w_1 \dots w_2$

Fig.3.3. Cazuri de bare cu două fețe oblice plane și limitele de integrare

Procedând ca mai sus, pot fi deduse relații similare cu (3.34)... (3.37) pentru barele avînd 2 din cele 6 fețe oblice : cazurile a, b, și c din fig.3.3.

Relațiile (3.34)...(3.37) sînt valabile pentru cazul a) fig.3.3
Relațiile de calcul corespunzătoare cazului b) sînt :

$$H_V = \frac{J}{4\tilde{\mu}} \int_{u_1}^{u_2} \left\{ E_V(u, v, w) \right\} \left. \begin{array}{l} w_2(u) \\ v_2 \\ w_1(u) \\ v_1 \end{array} \right| du \quad (3.38)$$

$$\text{unde : } E_V(u, v, w) = \ln \left| v_M - v + ((u_M - u)^2 + (v_M - v)^2 + (w_M - w(u))^2)^{1/2} \right| ,$$

$$H_W = \frac{-J}{4\tilde{\mu}} \int_{u_1}^{u_2} \left\{ E_W(u, v, w) \right\} \left. \begin{array}{l} v_2 \\ w_2(u) \\ v_1 \\ w_1(u) \end{array} \right| du , \quad (3.39)$$

$$\text{unde : } E_W(u, v, w) = \ln \left| w_M - w + ((u_M - u)^2 + (v_M - v)^2 + (w_M - w(u))^2)^{1/2} \right| ,$$

iar notațiile folosite sînt cele din (3.20) și (3.17)

Similar pentru cazul c), utilizînd aceleași notații se obține :

$$H_V = - \frac{J}{4\tilde{\mu}} \int_{w_1}^{w_2} \left\{ L_V(u, v, w) \right\} \left. \begin{array}{l} u_2 \\ v_2(w) \\ u_1 \\ v_1(w) \end{array} \right| dw \quad (3.40)$$

$$\text{unde : } L_V(u, v, w) = \text{arctg} \frac{(u_M - u)(v_M - v(w))}{(w_M - w)((u_M - u)^2 + (v_M - v(w))^2 + (w_M - w)^2)^{1/2}}$$

$$H_W = \frac{-J}{4\tilde{\mu}} \int_{w_1}^{w_2} \left\{ L_W(u, v, w) \right\} \left. \begin{array}{l} v_2(w) \\ u_2 \\ v_1(w) \\ u_1 \end{array} \right| dw \quad (3.41)$$

$$\text{unde : } L_W(u, v, w) = \ln \left| u_M - u + ((u_M - u)^2 + (v_M - v(w))^2 + (w_M - w)^2)^{1/2} \right| .$$

Pentru situația cînd una din fețele laterale, mărginită de cele oblice este infinit mică, adică devine o linie dreaptă, se obține un caz limită, așa numita pară, parcursă de curent.

În fig. 3.4, se reprezintă un astfel de caz, la care $I_3 = J_3$ iar curentul este după axa Ou.

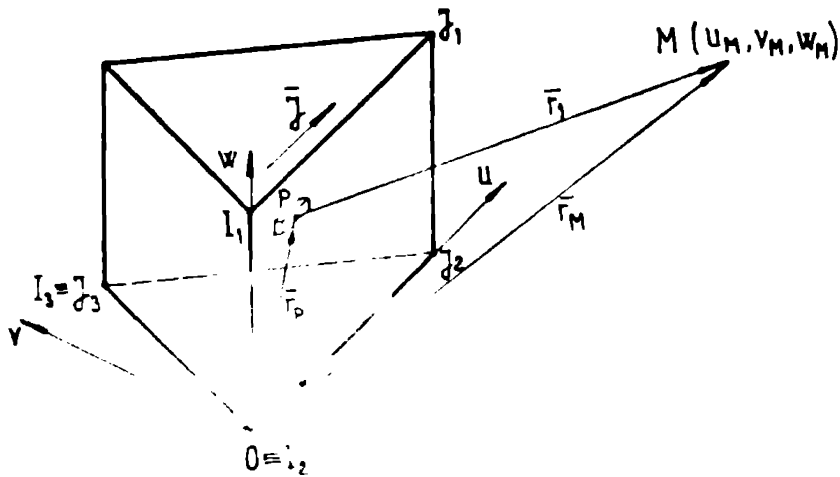


Fig.3.4. Pana parcursă de curent. Caz particular al unei bare cu 2 fețe oblice.

Pana poate fi considerată o bară cu fețe oblice și în consecință, vor putea fi aplicate relațiile și metoda stabilită mai sus.

Pentru cazul din fig.3.4, se utilizează relațiile (3.34) ... (3.37), "pana" derivând din cazul a, fig.3.3.

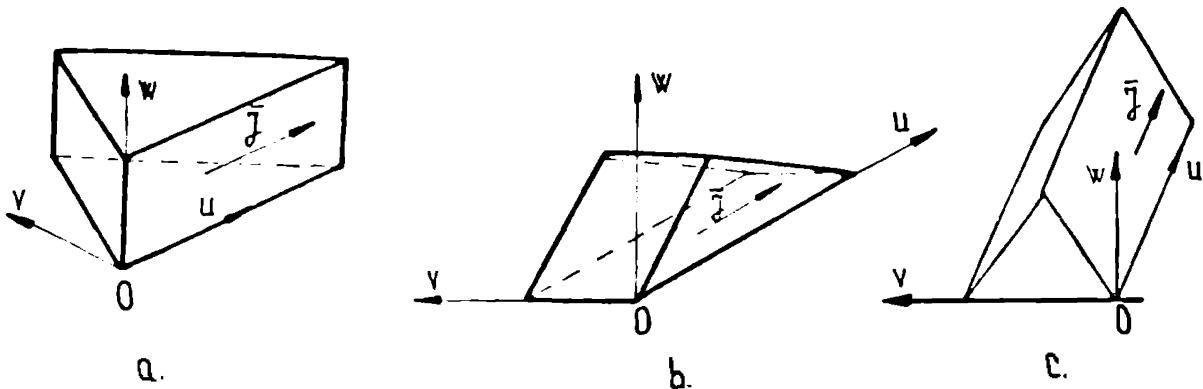


Fig.3.5. Bare prismatice pană, derivând din cazurile a, b și c, fig.3.3.

În fig.3.5 sînt prezentate cele trei cazuri limită a barelor cu 2 fețe oblice, plane obținute din formulele a, b, c, fig.3.3. Calculul intensității cîmpului magnetic pentru aceste cazuri se face cu relațiile deduse mai sus.

Metoda propusă și prezentată pentru bare avînd 2 fețe oblice, respectiv avînd formă de pană parcursă de curent, așa cum pot fi des întîlnite, poate fi folosită pentru calculul cîmpului magnetic produs de o mare varietate de cîși de curent întîlnite în practică.

Metoda elaborată, poate să fie adaptată și folosită pentru calculul intensității cîmpului magnetic în cazul unor bare parcurse de curent avînd 4 din cele 6 fețe oblice, plane, fig.3.6.

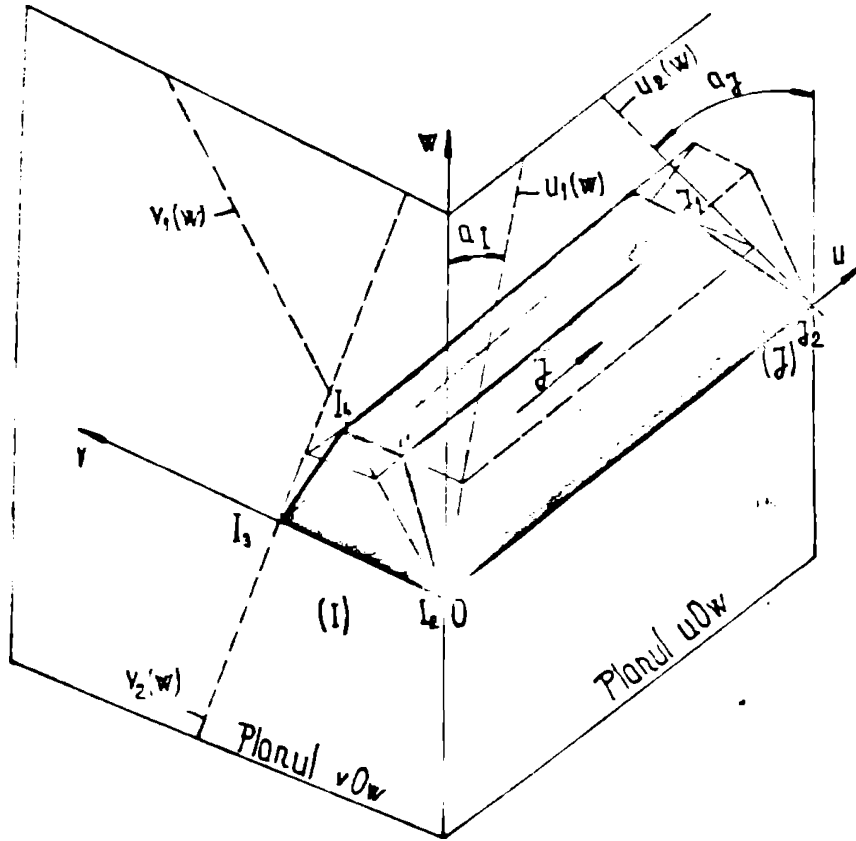


Fig.3.6. Cazul barei cu 4 fețe oblice plane

Bara desenată, fig.3.6, provine din cazul c., fig.3.3. Planele care delimitează bara în acest caz, fig.3.6, în sensul axei Ou , (I_1, I_2, I_3) , respectiv (J_1, J_2, J_3) nu mai sînt paralele cu planul vOw , ci formează unghiurile α_1 respectiv α_2 cu acesta. Intersecția planelor (I_1, I_2, I_3) și respectiv (J_1, J_2, J_3) cu planul uOw determină dreptele $u_1(w)$ respectiv $u_2(w)$, iar intersecția planelor (I_1, I_2, J_2) și (I_4, I_3, J_3) cu planul vOw dreptele $v_1(w)$ și $v_2(w)$, fig.3.6.

În această situație limitele de integrare la calculul cîmpului magnetic, din relațiile (3.40), (3.41) sînt toate funcții de w , și relațiile de calcul corespunzătoare rezultă:

$$E_v = - \frac{J}{4\pi} \int_{w_1}^{w_2} \left\{ L_v(u, v, w) \begin{vmatrix} u_2(w) & v_2(w) \\ u_1(w) & v_1(w) \end{vmatrix} \right\} dw, \quad (3.42)$$

$$H_w = - \frac{J}{4\pi} \int_{w_1}^{w_2} \left\{ L_w(u, v, w) \begin{vmatrix} u_2(w) & v_2(w) \\ u_1(w) & v_1(w) \end{vmatrix} \right\} dw, \quad (3.43)$$

unde $L_v(u, v, w)$ și $L_w(u, v, w)$ au semnificația din relațiile (3.40) și (3.41), iar notațiile sînt conform (3.20).

Evaluarea integralelor (3.42) și (3.43) se poate face prin metode numerice.

3.1.1.6. Bară generalizată

Metodica prezentată în paragrafele anterioare, bazată pe o integrare numerică, permite considerarea unor forme generalizate ale barei parcurse de curent. Această posibilitate de generalizare este datorată faptului că la integrarea numerică, funcțiile de tipul $u_1(w), u_2(w), v_1(w), v_2(w)$ etc., care descriu ecuațiile unei drepte în fig.3.6, pot să fie ecuațiile unei curbe oarecare. Singura restricție impusă, este univocitatea acestor funcții. De aici rezultă imediat că unele suprafețe laterale ale barei nu vor fi plane ci suprafețe cilindrice generalizate.

În fig.3.7, sînt prezentate 3 cazuri corespunzătoare delimitării barei cu 2 suprafețe cilindrice generalizate :

cazul a : cele două suprafețe care delimitează bara în sensul axei O_u , conținînd punctele I_1, I_2, I_3 respectiv J_1, J_2, J_3 , sînt suprafețe cilindrice generalizate avînd generatoarea paralelă cu axa O_w ;

cazul b : este similar cazului a dar suprafețele cilindrice generalizate au generatoarea paralelă cu axa O_v ;

cazul c : suprafețe cilindrice generalizate sînt cele care delimitează bara în sensul axei O_v , conținînd punctele I_1, I_2, J_2 , respectiv I_4, I_3, J_3 , și avînd generatoarele paralele cu axa O_u .



Fig.3.7. Cazuri de bare generalizate delimitate de 2 suprafețe cilindrice generalizate

Funcțiile $u_{1,2}(w), w_{1,2}(u), v_{1,2}(w)$ etc. pot fi oarecare. Dacă nu se poate găsi o expresie analitică, rolul acestor funcții în algoritmul numeric poate fi luat de o subrutină care conține un tabel cu valori discrete ale funcției și o rutină de interpolare. Aceste facilități, nu ar fi posibile fără utilizarea calculului numeric.

La limită barele generalizate din fig.3.7, se transformă în "pene" generalizată, fig.3.8.

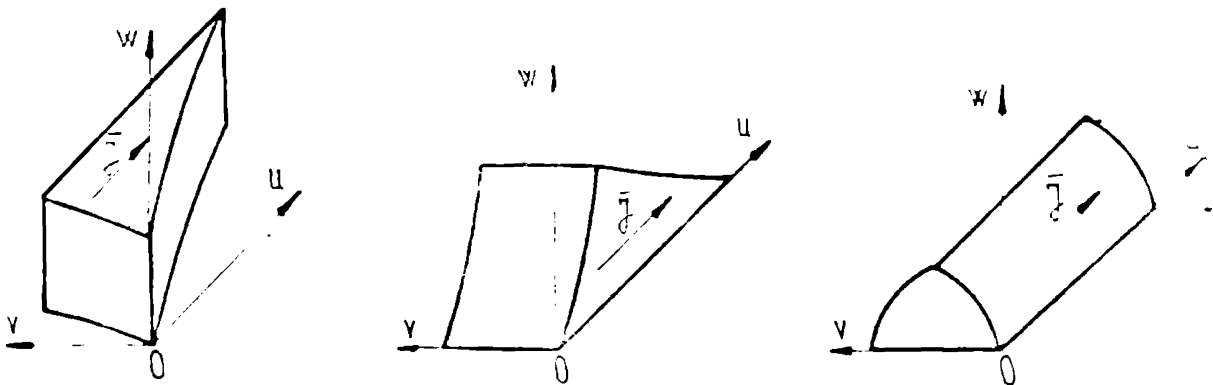


Fig.3.8. Exemple de "pene" parcurse de curent generalizate, obținute din cazurile prezentate în fig.3.7.

Relațiile de calcul din paragraful 3.1.1.5, cu precizările de la paragraful 3.1.1.6, rămân valabile și pentru calculul câmpului magnetic corespunzător acestor bare limită.

Cazul c., fig.3.7, permite calculul câmpului magnetic pentru bare masive de lungime finită și densitate de curent constantă, cu o secțiune de formă oarecare, delimitate de plane paralele cu v_0w . În fig.3.9 au fost prezentate câteva cazuri derivând din acesta cu referire la bare circulare sau cu secțiuni mărginite de arce de cerc și având lungime finită.

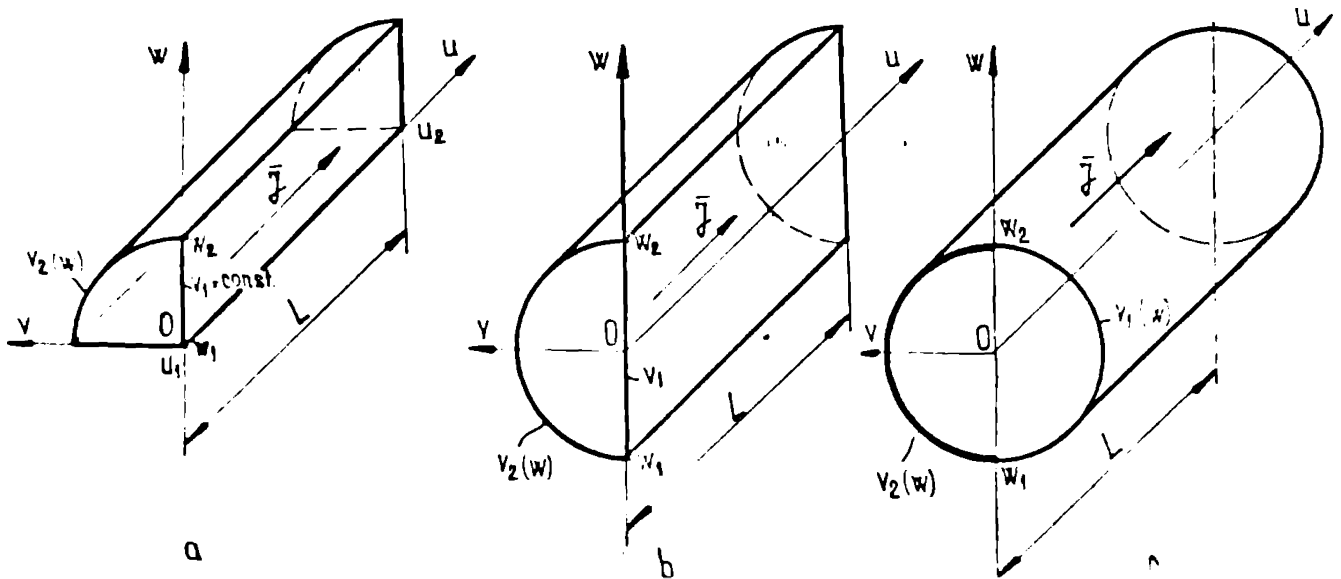


Fig.3.9. Bare de lungime finită cu secțiunea mărginită de arce de cerc și delimitate de plane paralele cu v_0w .

Dacă R este raza barelor din fig.3.9 iar L lungimea acestora, limitele de integrare u_1, u_2, w_1, w_2 și $v_1(w), v_2(w)$, necesare la determinarea intensității câmpului magnetic pentru cele trei cazuri, utilizând relațiile (3.40) și (3.41) vor fi :

$$\text{Cazul: a.) } \begin{array}{l} u_1 = 0 \\ u_2 = L \end{array} \quad \begin{array}{l} v_1 = 0 \\ v_2(w) = (R^2 - w^2)^{1/2} \end{array} \quad \begin{array}{l} w_1 = 0 \\ w_2 = R \end{array} \quad (3.44)$$

$$\text{b.) } \begin{array}{l} u_1 = 0 \\ u_2 = L \end{array} \quad \begin{array}{l} v_1 = 0 \\ v_2(w) = (R^2 - w^2)^{1/2} \end{array} \quad \begin{array}{l} w_1 = -R \\ w_2 = R \end{array} \quad (3.45)$$

$$\text{c.) } \begin{array}{l} u_1 = 0 \\ u_2 = L \end{array} \quad \begin{array}{l} v_1 = -(R^2 - w^2)^{1/2} \\ v_2 = (R^2 - w^2)^{1/2} \end{array} \quad \begin{array}{l} w_1 = -R \\ w_2 = R \end{array} \quad (3.46)$$

Cu aceste relații pentru calculul câmpului magnetic produs într-un punct $M(u_M, v_M, w_M)$ de către o bară circulară, de lungime finită avînd densitate de curent uniformă, sînt :

$$H_v = - \frac{J}{4\pi} \int_{w_1}^{w_2} \left[\left\{ L_v(u, v, w) \right. \right. \left. \left. \begin{array}{l} u_2=L \\ u_1=0 \end{array} \right| \begin{array}{l} v_2(w) = (R^2 - w^2)^{1/2} \\ v_1(w) = -(R^2 - w^2)^{1/2} \end{array} \right] dw \quad (3.47)$$

$$H_w = - \frac{J}{4\pi} \int_{w_1}^{w_2} \left[\left\{ L_w(u, v, w) \right. \right. \left. \left. \begin{array}{l} u_2=L \\ u_1=0 \end{array} \right| \begin{array}{l} v_2(w) = (R^2 - w^2)^{1/2} \\ v_1(w) = -(R^2 - w^2)^{1/2} \end{array} \right] dw \quad (3.48)$$

unde : $L_v(u, v, w)$, $L_w(u, v, w)$ sînt conform (3.40) și (3.41) iar notațiile folosite la scriere conform (3.17) și (3.20).

Deși cazurile anterioare s-au referit la bara generalizată delimitată de 6 suprafețe, în cazul din fig.3.9 c, cele două suprafețe, inferioară și respectiv superioară în sensul axei Ow , s-a redus la două drepte fără a restringe aplicabilitatea metodei prezentate.

Un nou pas spre generalizarea metodei poate fi făcut considerînd bara delimitată, nu de 2, fig.3.7, ci de 4 suprafețe cilindrice, avînd generatoarele paralele cu axele sistemului de referință ales.

Limitîndu-se doar la cazul din fig.3.7c și considerînd u_1 și u_2 funcții de w , $u_1(w)$, $u_2(w)$, metoda prezentată se poate aplica la o bară generalizată conform fig. 3.10.

În fig.3.10 este prezentată bara generalizată, B, și sistemul de axe de coordonate $uOvw$ atașat acestuia. De asemenea sînt desenate cele două proiecții ale barei analizate în planele P_1 și P_2 , plane paralele cu vOw și respectiv uOw .

Cele 4 porțiuni de suprafețe cilindrice, care delimitează bara, avînd axele paralele cu Ou și respectiv Ov , intersectează planele P_1

și respectiv P_2 , generând curbele $v_1(w)$ și $v_2(w)$ respectiv $u_1(w)$ și $u_2(w)$, fig.3.10.

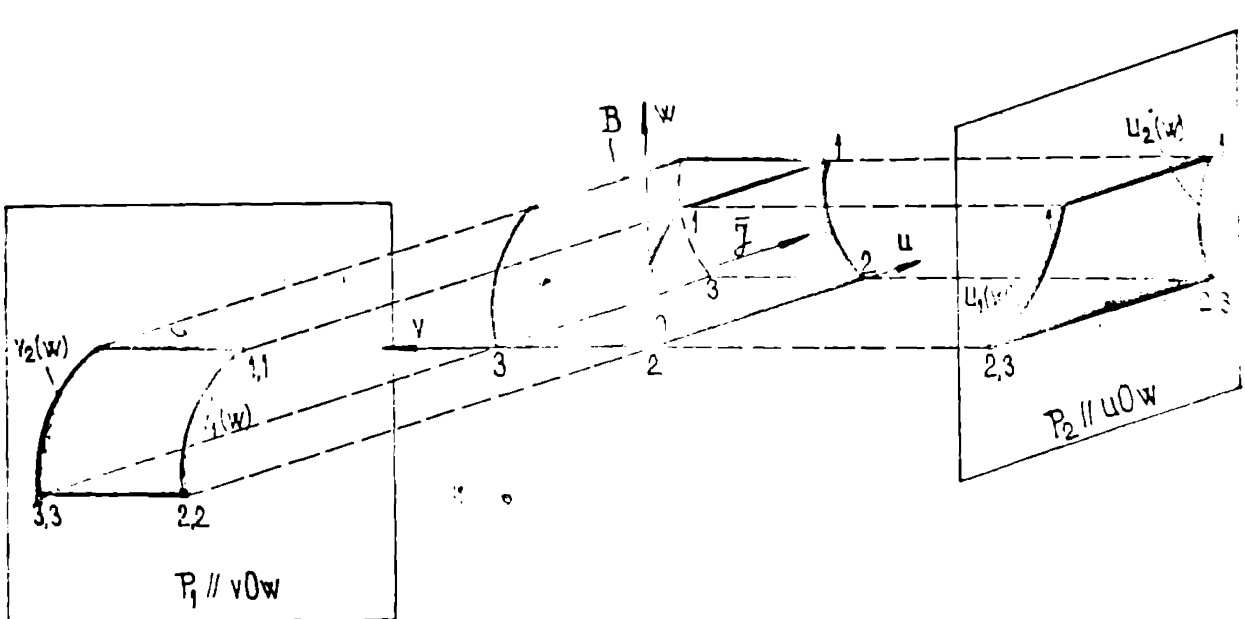


Fig.3.10. Bară generalizată B , delimitată de 4 suprafețe cilindrice și proiecțiile acestor suprafețe pe planele $P_1 \parallel vOw$ și $P_2 \parallel uOw$.

Relațiile de calcul și în aceste cazuri, sînt similare cu cele deduse la bare limitate de suprafețe plane de ex.(3.40),(3.41) și implică o integrare numerică.

În procesul de integrare numerică trebuie să se cunoască valorile funcțiilor care descriu configurația geometrică a barei analizate.

Metoda de calcul prezentată, permite abordarea calculului intensității cîmpului magnetic pentru o mare varietate de bare, ca porțiuni ale unor căi de curent, utilizînd o integrare numerică. În general, se pot analiza bare rectilinii ale unor căi de curent, a căror formă geometrică, se obține prin translația paralelă cu ea înseși, a unei suprafețe plane oarecare.

Totdeauna relațiile de calcul, au fost deduse considerînd densitatea de curent constantă pe secțiunea barei.

În cazul barelor cu densitate de curent neuniformă, acestea se aproximează cu un număr finit de bare cu densitate de curent constantă și apoi se aplică repetat, metoda prezentată, suprapunînd efectele. Distribuția neuniformă a densității de curent în bară, este necesar a fi cunoscută a priori.

3.1.2. Metode de calcul al câmpului magnetic produs de o cale de curent masivă, spațială cu traseu oarecare.

Câmpul magnetic produs de o cale de curent masivă, spațială, cu traseu oarecare, poate fi calculat divizând, calea de curent într-un număr finit de bare de calcul masive, de lungime finită. Se consideră că fiecare bară de calcul contribuie la câmpul magnetic, și se suprapun efectele. Calculul câmpului magnetic produs de barele de lungime finită, se face cu metoda și relațiile prezentate în paragraful 3.1, valabile pentru bare finite cu secțiune oarecare. Pentru căi de curent cu secțiune dreptunghiulară se analizează în continuare cazul aproximării cu bare paralelipipedice foarte scurte respectiv cu bare cu capete oblice.

Se consideră o cale de curent cu secțiunea dreptunghiulară, cu configurație geometrică complicată, fig.3.11a, ale cărei coordonate sînt cunoscute față de un sistem de axe $Oxyz$.

În general, configurația căii de curent este cunoscută dacă sînt indicate de către utilizator, ecuațiile parametrice ale unui filament din secțiune, sau, cînd acest lucru este foarte dificil, coordonatele unui număr suficient de mare de puncte, ale unui filament similar și dimensiunile, forma și poziția secțiunii barei față de acest filament.

Calea de curent se aproximează printr-un număr finit de paralelipiede foarte scurte, care realizează o aproximare în trepte a acesteia, fig.3.11b.

Câmpul magnetic în M se calculează prin suprapunerea efectelor tuturor paralelipedelor elementare.

Pentru o aproximare corectă a căii de curent, lungimea lui a a acestor paralelipiede elementare, este mică.

La calculul câmpului magnetic produs de un paralelipiped scurt utilizînd relațiile deduse în paragraful 3.1.1.2 trebuie cunoscută poziția reciprocă a paralelipedului foarte scurt și a punctului M , coordonatele lui M în sistemul de referință legat de paralelipiped, din mijlurile exacte ale paralelipedului, etc.

Toate acestea, necesită găsirea unor algoritmi de generare automată a aproximării căii de curent reale, cu variante legate de forma matematică în care este cunoscută geometria căii de curent.

O altă posibilitate, mai comodă din punctul de vedere al utilizatorului, dezvoltată în lucrare, o constituie aproximarea căii de

curent reale, cu un număr convenabil, finit, de bare de lungime finită, conform paragrafului 3.1.1.5, de dimensiuni astfel alese, încât să aproximeze cât mai bine calea de curent, fig.3.12.

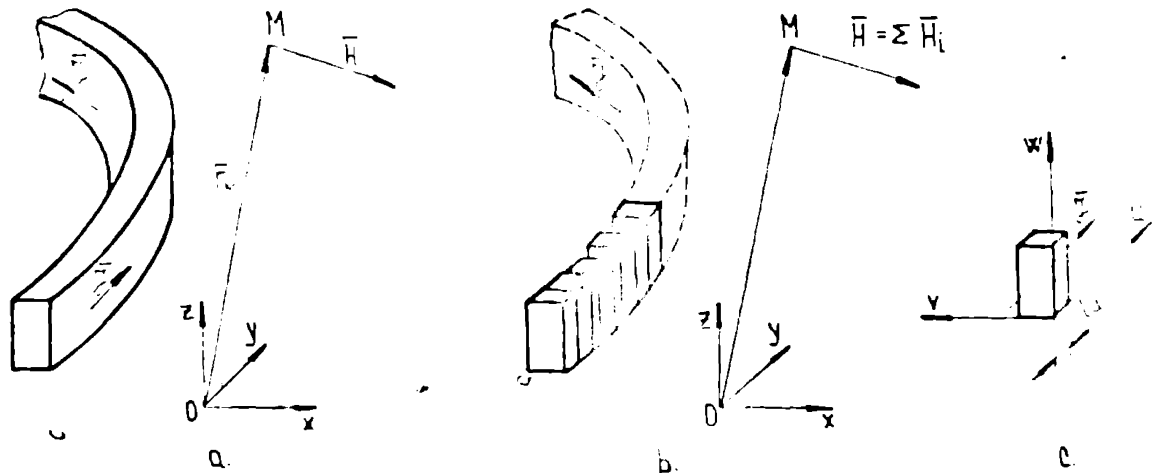


Fig.3.11. a. Calea de curent spațială; b. Aproximarea acesteia cu paralelipede scurte c. paralelipiped de lungime mică, l_u , utilizat la aproximație.

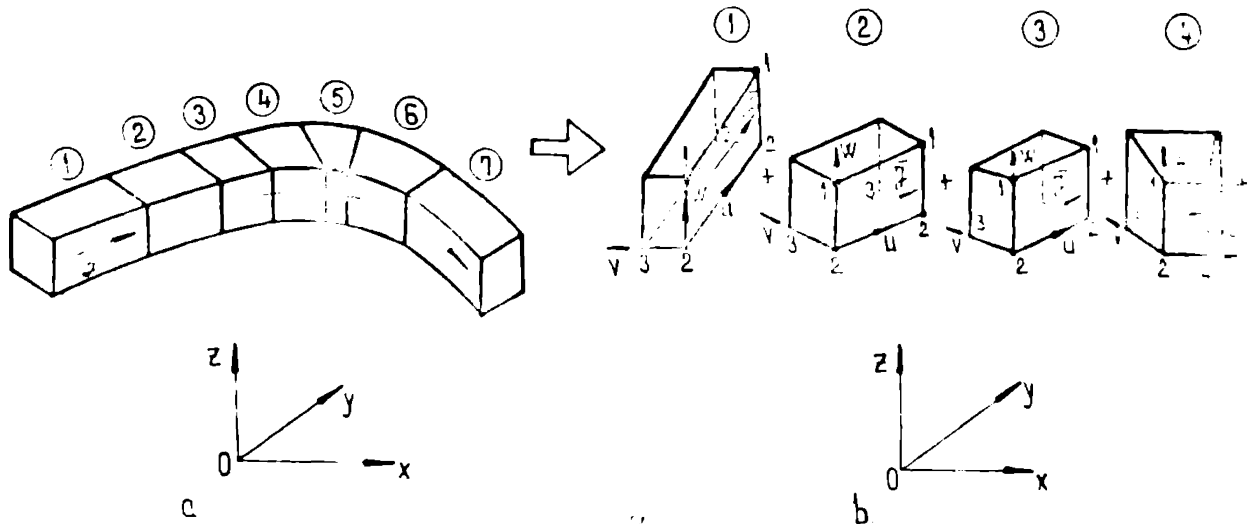


Fig.3.12. Modul de aproximație a căii de curent, folosind bare de lungime finită.

Numărul de elemente implicate pentru aproximația barei, este mult mai redus decât în primul caz ceea ce conduce la economisirea timpului de calcul.

De obicei căile de curent cu traseu complicat, din mașini și instalații electrice, nu sînt cunoscute prin ecuații.

Aproximarea prin bare masive permite utilizatorului o modelare rapidă a acestora. Descrierea unei bare de lungime finită se face prin indicarea de către utilizator a coordonatelor punctelor I_1, I_2, I_3 , pentru

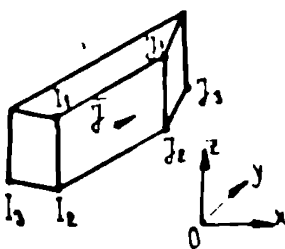


Fig.3.13. Descrierea barei de lungime finită.

capătul I și respectiv J_1, J_2, J_3 pentru capătul J al barei, fig.3.13 și a curentului sau a densității medii de curent. Astfel poate fi calculat câmpul pentru orice cale de curent spațială, masivă în absența materialelor feromagnetice.

3.2. Forțe electrodinamice la căi de curent masive

3.2.1. Forțe electrodinamice între bare cu poziție spațială arbitrară

3.2.1.1. Formularea problemei și stadiul cunoscut

Calculul forțelor electrodinamice, între conductoare parcurse de curent, în absența materialelor feromagnetice, implică în cazul general efectuarea integralelor :

$$\vec{F} = \int_{V_1} (\vec{J}_1 \times \vec{B}) dV_1 = \int_{V_1} (\vec{J}_1 \times \mu_0 \int_{V_2} \frac{\vec{J}_2 \times \vec{r}}{4\pi r^3} dV_2) dV_1. \quad (3.49)$$

Integrala pentru volumul V_2 se efectuează pe domeniul în care $\vec{J}_2 \neq 0$ și care produce câmpul magnetic în volumul V_1 , unde, datorită interacțiunii cu densitatea de curent $\vec{J}_1 \neq 0$ se produc forțele electrodinamice specifice.

Volumele V_1 și V_2 reprezintă de multe ori căi de curent din mașini și echipamente electrice, având un traseu spațial complex. Rezolvarea analitică și găsirea unor expresii generale de calcul pentru forțe, conform relației (3.49) este practic imposibilă. În anumite cazuri particulare sînt date relații, diagrame, tabele și metode grafoanalitice care se aplică unui număr restrîns de forme geometrice. Astfel în /3.6/, /3.7/, /3.8/ se analizează cazul conductoarelor paralele filiforme finite și infinite, a barelor paralele masive și infinite dîndu-se și relații pentru conductoare filiforme formînd unghiuri. În /3.6/ se prezintă o metodă de calcul a forțelor electrodinamice, "metoda componentelor de forță fictive", aplicabilă pentru conductoare paralele infinit lungi dar parcurse de curenți cu variație complicată în timp. Metode grafoanalitice pentru calculul forțelor electrodinamice, în cazul conductoarelor cu poziție arbitrară în plan, sînt prezentate în /3.8/ și /3.7/. Abegg K., /3.9/, stabilește, pentru două conductoare filiforme, dintre care unul infinit lung, avînd o poziție spațială oarecare, o metodă de calcul și calculează prin integrare grafo-analitică valorile forțelor pentru

cîteva forme geometrice particulare. De asemenea pentru două conductoare filiforme de lungime finită, și poziție oarecare s-a reușit, /3.11/, obținerea unor relații de calcul analitice pentru forțele electrodinamice, care însă se pot utiliza eficient numai cu ajutorul calculatorului numeric.

Calculul forțelor electrodinamice la conductoare masive, cu poziție spațială arbitrară, nu este tratat în literatura cunoscută. În cazul cotelor, se calculează, în /3.11/ forțele electrodinamice, aproximând fiecare linie a densității de curent cu conductoare filiforme, finite, foarte scurte, formînd un contur poligonal, iar apoi, utilizînd calculatorul numeric, se determină forțele de interacțiune dintre toate aceste conductoare filiforme.

La proiectare, pentru calculul forței electrodinamice exercitate între două conductoare paralele parcurse de curent, se utilizează de obicei, /3.24/, relațiile deduse pentru conductoare filiforme infinite :

$$F_{f,i} = \frac{\mu_0 i_1 i_2 l}{2\pi a} \quad (3.50)$$

Pentru conductoare paralele filiforme de lungime finită forța este, /3.6/, /3.7/, /3.8/ :

$$F_f = \frac{\mu_0 i_1 i_2 l}{2\pi a} \cdot \zeta\left(\frac{a}{l}\right) = F_{f,i} \cdot \zeta\left(\frac{a}{l}\right), \quad (3.51)$$

În relațiile (3.50) și (3.51) i_1, i_2 - sînt curenții prin cele două conductoare, l - lungimea conductoarelor, a - distanța dintre cele două conductoare filiforme, μ_0 - permeabilitatea vidului, iar :

$$\zeta(a/l) = \left((1+a^2/l^2)^{1/2} - a/l \right), \quad (3.52)$$

un factor de corecție care ține seama de lungimea finită a conductoarelor filiforme (factor de scurtare).

La conductoare masive paralele, calculul forțelor electrodinamice se face de obicei pornind de la lucrarea lui Dwight H.B /3.10/. Forța electrodinamică pentru o porțiune de lungime l , a celor două conductoare masive, infinit lungi cu secțiunea dreptunghiulară și densitate de curent constantă este :

$$F = F_{f,i} \cdot \zeta_D \quad (3.53)$$

unde $F_{f,i}$ este forța electrodinamică calculată considerînd o porțiune de lungime l a două conductoare filiforme paralele infinite

lungi conform relației (3.50), iar \mathcal{C}_D este un factor care ține seama de faptul că bara este masivă (factorul Dwight).

Factorul Dwight ține cont de dimensiunile suprafeței transversale și de distanța dintre bare și este cunoscut printr-o familie de curbe exceptând cazul barelor avînd una din dimensiunile suprafeței transversale mult mai mică decît cealaltă (benzi), cînd pot fi deduse relații analitice /3.7/, /3.8/.

În cazul barelor masive pentru care aproximarea cu bare infinit lungi nu este acceptabilă se utilizează în mod curent /3.21/ o expresie similară cu (3.53) :

$$F = F_{f,i} \cdot \mathcal{C}_D \cdot \mathcal{C}(a/l) \quad (3.54)$$

unde mărimile care intervin au semnificația celor din relațiile (3.50) - (3.53).

Relația (3.54), deși adesea folosită, este o relație aproximativă. Factorul Dwight utilizat, a fost dedus pentru bare masive avînd lungimea infinită. Trecerea la bare masive finite se face prin înmulțirea cu un factor de scurtare ($\mathcal{C}(a/l)$) dedus însă pentru conductoare filiforme de lungime finită.

La calculul forțelor electrodinamice conform relației (3.53) atît în expresia forței $F_{f,i}$ cît și la găsirea factorului Dwight este utilizată distanța a_D , dintre mijlocul barelor masive, fig.3.14.

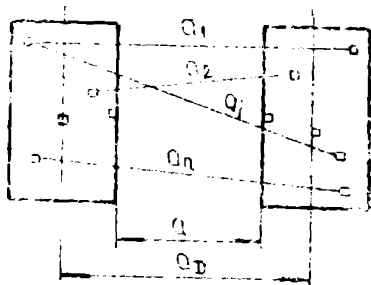


Fig.3.14. Desen explicativ privind distanța "a" din expresia factorului de scurtare la bare masive.

Pentru bare masive nu poate fi definit un factor de scurtare conform relației (3.52), întrucît distanța "a", definită ca distanța dintre două conductoare filiforme finite, nu este unic determinată. Astfel între conductoarele filiforme în care pot fi descompuse barele masive, se pot evidenția, fig.3.14, a_1, a_2, \dots, a_n , distanțe cu care să se calculeze $\mathcal{C}(a/l)$.

În practică se utilizează la calculul factorului de scurtare utilizat în relația (3.54), distanța a' , fig.3.14, cu care se obține cea mai mare valoare a forței dintre bare, situație ce conduce frecvent la supradimensionări.

În cazul unor căi de curent spațiale forțele se calculează adeseori cu aproximații inadmisibile. Calea de curent se descompune,

pentru calcul în segmente de lungime finită și se caută încadrarea, de multe ori forțată, a perechilor de bare în câteva cazuri tipice pentru care există relații de calcul (de ex. bare paralele, bare în unghi drept). De asemenea datorită volumului mare de calcule, în cazul unor sisteme conținând numeroase bare parcurse de curent, se iau în considerare, la calculul forțelor electrodinamice, frecvent, numai un număr redus dintre acestea. Prin urmare nu se poate cunoaște solicitarea reală, globală, a sistemului de conductoare parcurse de curent și în consecință nu se poate face o dimensionare mecanică corespunzătoare a acestuia.

Este necesară stabilirea unor relații și metode de calcul, care să permită calculul forțelor electrodinamice pentru o gamă largă de bare parcurse de curent masive, de lungime finită, cu poziție spațială arbitrară.

3.2.1.2. Metodă de calcul al forțelor electrodinamice între două bare masive cu poziție spațială arbitrară.

3.2.1.2.1. Bară elementară

Se consideră două bare masive, de lungime finită, parcurse de curenții I_1 și I_2 , având poziție reciprocă oarecare. Tot spațiul în zona considerată nu conține decât materiale nemagnetice. Bara elementară b_2 , fig. 3.15, asupra căreia se calculează forța, este delimitată de plane 2 câte 2 paralele, iar cea care produce câmpul, b_1 , fig. 3.15, este o bară cu capete oblice plane (paragraful 3.1.1.5, fig. 3.2).

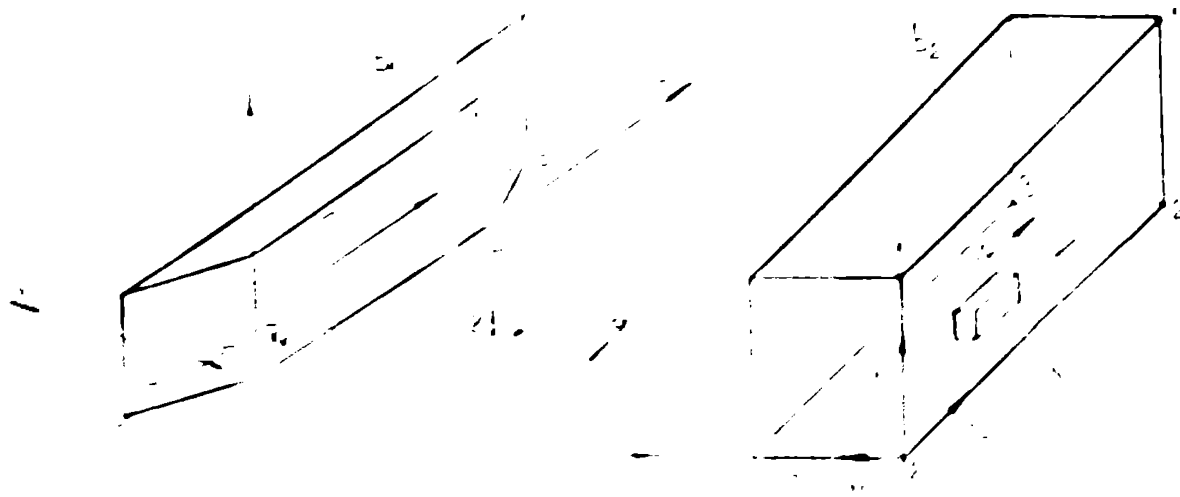


Fig. 3.15. Bare de lungime finită și poziție spațială arbitrară, părți ale unei căi de curent.

Calculul forței electrodinamice produse de bara b_1 asupra barei b_2 , \vec{F}_{12} , se face conform relației (3.49) scrisă sub forma :

$$F_{12} = \int_{V_2} (J_2 \times \bar{B}_1) dV \quad (3.55)$$

unde: J_2 - densitatea de curent în bara b_2 , \bar{B}_1 - inducția magnetică produsă de bara b_1 într-un punct al barei b_2 , V_2 - volumul barei b_2 .

Forța dată de relația vectorială (3.55), poate fi calculată, abordând succesiv cele 3 relații scalare pentru componente :

$$F_{12x} = \int_{V_2} (J_{2y} \cdot B_z - J_{2z} \cdot B_y) dV_2 \quad (3.56)$$

$$F_{12y} = \int_{V_2} (J_{2z} \cdot B_x - J_{2x} \cdot B_z) dV_2 \quad (3.57)$$

$$F_{12z} = \int_{V_2} (J_{2x} \cdot B_y - J_{2y} \cdot B_x) dV_2 \quad (3.58)$$

Avind în vedere faptul că B_x, B_y și B_z , în volumul V_2 , depind de numeroși factori, în primul rând de geometria sistemului de bare, evaluarea acestor integrale este dificilă, în general fiind necesar calculul numeric.

Pentru stabilirea unei metode de calcul pentru forțele electrodinamice între două bare masive, se fac următoarele ipoteze : bara la care se calculează forța electrodinamică, b_2 în fig.3.15, se consideră cu secțiuni în formă de dreptunghi sau în general paralelogram, constantă în lungul barei, avind capetele, după direcția curentului, delimitate de două plane paralele, iar densitatea de curent în secțiunea barei constantă.

Bara b_2 , fig.3.15, se consideră divizată în volume elementare V_{jk} , fig.3.16 c, pentru care se calculează forța electrodinamică. Forța totală exercitată asupra barei b_2 se calculează prin suprapunerea efectelor tuturor forțelor determinate pentru volumele elementare.

Se consideră o divizare uniformă sau neuniformă a barei b_2 , fig.3.15, în volume K_1 , avind lungimea Δl_1 mult mai mică decât lungimea barei și secțiunea egală cu cea a barei analizate, fig. 3.16 a. Fiecare volum K_1 , fig.3.16 b, este divizat în $n \times m$ părți, formându-se volume elementare V_{jk} . Într-un astfel de volum elementar,

V_{jk} , fig.3.16 c, se poate considera inducția magnetică constantă, $\vec{B}_{jk} = \text{const.}$ În fig.3.16 a este prezentată bara b_2 asupra căreia se calculează forța, în fig.3.16 b un volum K_1 obținut prin divizarea barei, iar în fig.3.16 c volumul elementar V_{jk} .

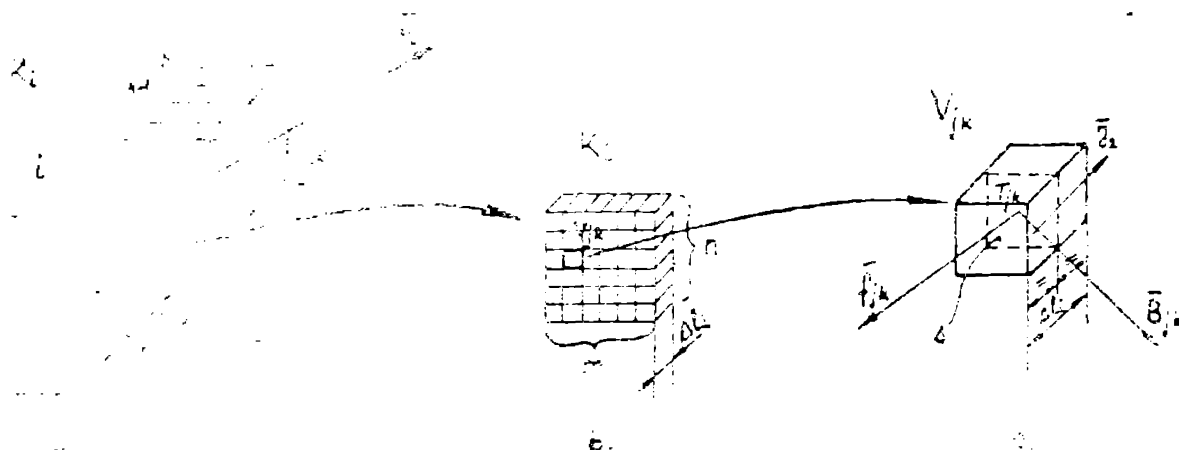


Fig.3.16. Modul de discretizare a barei b_2 la care se calculează forțele electrodinamice: a. Bară b_2 și volumele K_1 , $i=1, N$; b. volumul K_1 obținut prin divizarea barei b_2 ; c. volumul elementar V_{jk} obținut prin divizarea volumului K_1

Inducția \vec{B}_{jk} se calculează în mijlocul fiecărui volum elementar V_{jk} în punctul T_{jk} , fig.3.16 c. Acest punct este situat pe suprafața mijlocie, S_1 , a volumului K_1 , fig.3.17 a, în centrul de greutate a dreptunghiului format prin divizarea secțiunii dreptunghiulare S_1 , fig.3.17 b, într-un număr de n părți după direcția (1,2) și respectiv m după (2,3), fig.3.17 b. Calculul coordonatelor punctului T_{jk} într-o secțiune S_1 , fig.3.17 a și b, se face pornind de la punctul curent $P_1(x_1, y_1, z_1)$ punct care se află în colțul secțiunii S_1 .

P_1 este un punct mobil, ocupând succesiv locurile corespunzătoare colțului precizat, pentru toate volumele K_1 ale barei, fig.3.17 a.

Forța electrodinamică exercitată asupra volumului V_{jk} fig.3.16 c, este :

$$\vec{F}_{jk} = (\vec{J}_2 \times \vec{B}_{jk}) \cdot V_{jk} = (\vec{J}_2 \times \vec{B}_{jk}) \cdot s \cdot \Delta l_1 \quad (3.59)$$

unde s este aria suprafeței transversale a unui volum elementar V_{jk} , suprafață perpendiculară pe Δl_1 , lungimea acestuia, fig.3.16 c.

Pentru volumul K_1 , forța electrodinamică totală \vec{F}_1 , fig.3.16a, se scrie:

$$\vec{F}_1 = \sum_{i=1}^n \sum_{k=1}^m \vec{F}_{jk} \quad (3.60)$$

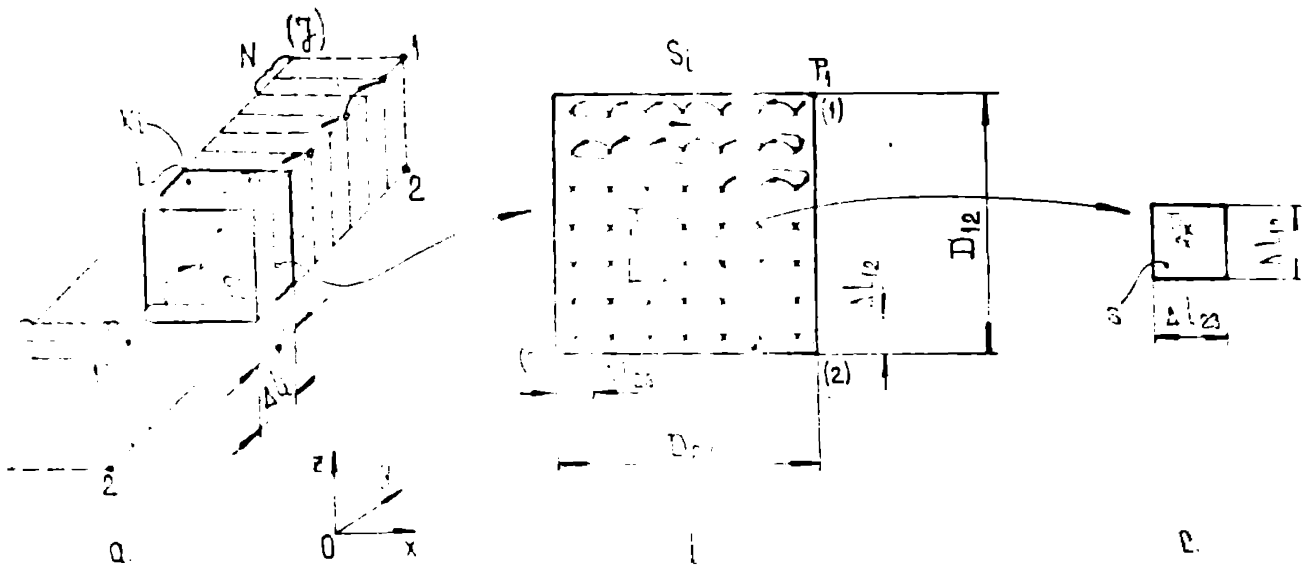


Fig. 3.17 Desen explicativ privind punctele în care se calculează inducția magnetică într-o secțiune a barei a. volumele K_1 și locul ocupat de punctul P_1 ; b. secțiunea S_1 și poziția punctelor P_{jk} ; c. suprafața elementară obținută în urma divizării.

Ținând cont că mărimile : J_2 , s și Δl_1 nu depind de j și k , și utilizând relația (3.59) se obține :

$$P_1 = \Delta l_1 \cdot s \cdot (J_2 \times \sum_{j=1}^n \sum_{k=1}^m \bar{B}_{jk}) \quad (3.61)$$

Notând S_1 aria suprafeței transversale a unui volum K_1 , suprafață perpendiculară pe latura Δl_1 al acestuia, suprafața s se poate scrie : $s = S_1 / (n \cdot m)$ (3.62)

Iar inducția medie, $\bar{B}_1 \text{ med}$, pentru volumul K_1 se poate scrie:

$$\bar{B}_1 \text{ med} = \frac{1}{n \cdot m} \sum_{j=1}^n \sum_{k=1}^m \bar{B}_{jk} \quad (3.63)$$

Cu aceste relații (3.61) devine

$$P_1 = \Delta l_1 \cdot S_1 \cdot (J_2 \times \bar{B}_1 \text{ med}) = I_2 (\Delta \vec{l}_1 \times \bar{B}_1 \text{ med}) \quad (3.64)$$

unde: $I_2 = J_2 \cdot S_1$ este curentul prin bara b_2 iar :

$$\bar{B}_1 \text{ med} = \frac{1}{n \cdot m} \left(\vec{l}_1 \sum_j \sum_k B_{xjk} + J \sum_j \sum_k B_{yjk} + \sum_l \sum_k B_{zjk} \right) \quad (3.65)$$

În cazul barelor având aria secțiunii redusă calculul inducției medii se poate efectua fără a fi necesar un număr mare de puncte $n \times m$. Pentru precizii mai mari și / sau bare de secțiuni considerabile poate veni în considerare efectuarea unei duble integrale pentru aflarea lui B_i med :

$$B_i \text{ med} = \int_{(2,3)} dl_{23} \int_{(1,2)} \left(\frac{\bar{B}_{jk}}{\Delta l_{23} \cdot \Delta l_{12}} \right) dl_{12} . \quad (3.66)$$

Cele două integrale se efectuează după direcțiile 1,2 și respectiv 2,3, ca integrala unei funcții tabelate.

Pentru acest caz este de preferat calcularea lui \bar{B}_{jk} în punctele de intersecție din caroiajul care divizează secțiunea S_i , fig.3.17 b.

Relația vectorială (3.64) indică posibilitatea calculării forței electrodinamice pentru un volum K_i , având grosimea Δl_i , aria suprafeței transversale S_i și densitatea de curent constantă în secțiune, prin calcularea prealabilă a valorii inducției medii, (3.63) și apoi efectuarea unui produs vectorial, (3.64), evitându-se calculul repetat al unor produse vectoriale așa cum sugerează relațiile (3.59) și (3.60).

Pentru fiecare volum elementar K_i , fig.3.17 a în care a fost divizată bara, se consideră forța totală \bar{F}_i , relația (3.64), având punctul de aplicație în axa de simetrie a barei, adică în centrul de greutate a secțiunii S_i , fig.3.17 b.

Cele trei componente F_{ix} , F_{iy} și F_{iz} ale forțelor \bar{F}_i , $i = \overline{1, N}$ formează sisteme de forțe paralele distribuite neuniform în lungul barei. Conform celor prezentate în paragraful 2.4.1.2., pentru fiecare din componente, distribuția reală de forțe poate fi înlocuită cu câte o forță concentrată:

$$P_a = \sum_{i=1}^N P_{a i} \quad (3.67)$$

unde: $a = x, y, z$, și poate fi determinat punctul ei de aplicație. Punctele de aplicație ale forțelor din relația (3.67) sînt în general diferite.

Dacă se utilizează forțele pe unitatea de lungime (f_{a1}) definite pentru fiecare volum K_i prin :

$$(f_{a1})_a = (F_i)_a / \Delta l_i , \quad (3.68)$$

unde: $a = x, y, z$, iar $i = \overline{1, N}$, forțele totale asupra barei, pentru componentele paralele cu axele

unui sistem xOyz pot fi determinate efectuind integrala

$$F_a = \int_0^L (f_{si})_a dl \quad , \quad (3.69)$$

unde: L este lungimea barei analizate, iar a = x,y,z.

Pentru calculul cîmpului magnetic la bare avînd o formă geometrică mărginită numai de plane, două cîte două paralele și secțiunea dreptunghiulară, constantă în lungul barei, volumul de calcul este mai redus dacă se utilizează relațiile (3.64) și (3.67) și nu relațiile (3.59), (3.60), (3.67).

Calculul cîmpului magnetic în punctele volumelor K_i , se poate face pe baza algoritmului prezentat în paragraful 3.1.1., pentru o mare varietate de forme geometrice ale barei care produce cîmpul magnetic.

3.2.1.2.2. Bară prismatică "pană", parcursă de curent

Bara avînd forma de prismă triunghiulară, "pană", intervine atît în cazul descompunerii pentru calcul a barelor cu fețe oblice, dar permite și o mai bună aproximare a unor căi de curent cu configurație complicată. Calculul forțelor electrodinamice, exercitate asupra "penei", considerată ca o parte a unei căi de curent, se efectuează în cadrul următoarelor ipoteze : bara și mediul înconjurător nu sînt feromagnetice, densitatea de curent este constantă în secțiunea barei și are o direcție paralelă cu laturile $11'$, respectiv $22'$ (fig.3.18 a) a acesteia.

De asemenea se presupune cunoscută inducția magnetică totală B_{jk} în fiecare punct T_{jk} , care este centrul de greutate al unui volum elementar $V_{j,k}$, fig.3.18 c.

Pana considerată, se împarte în pene elementare L_i , $i = \overline{1, N}$, avînd forma și dimensiunile din fig.3.13 a și b. Fiecare pană elementară L_i , este divizată în $n \times m$ părți, fig.3.18 b, rezultînd volume elementare V_{jk} , fig.3.18 c.

Considerînd inducția magnetică și densitatea de curent constante, pe volumul V_{jk} , forța electrodinamică exercitată asupra volumului considerat, F_{jk} , se poate scrie :

$$\text{forța specifică : } \vec{F}_{jk} = \vec{J} \times \vec{B}_{jk}, \quad (3.70)$$

$$\text{forța elementară : } \vec{F}_{jk} = (\vec{J} \times \vec{B}_{jk}) \cdot V_{jk} \cdot (3.71)$$

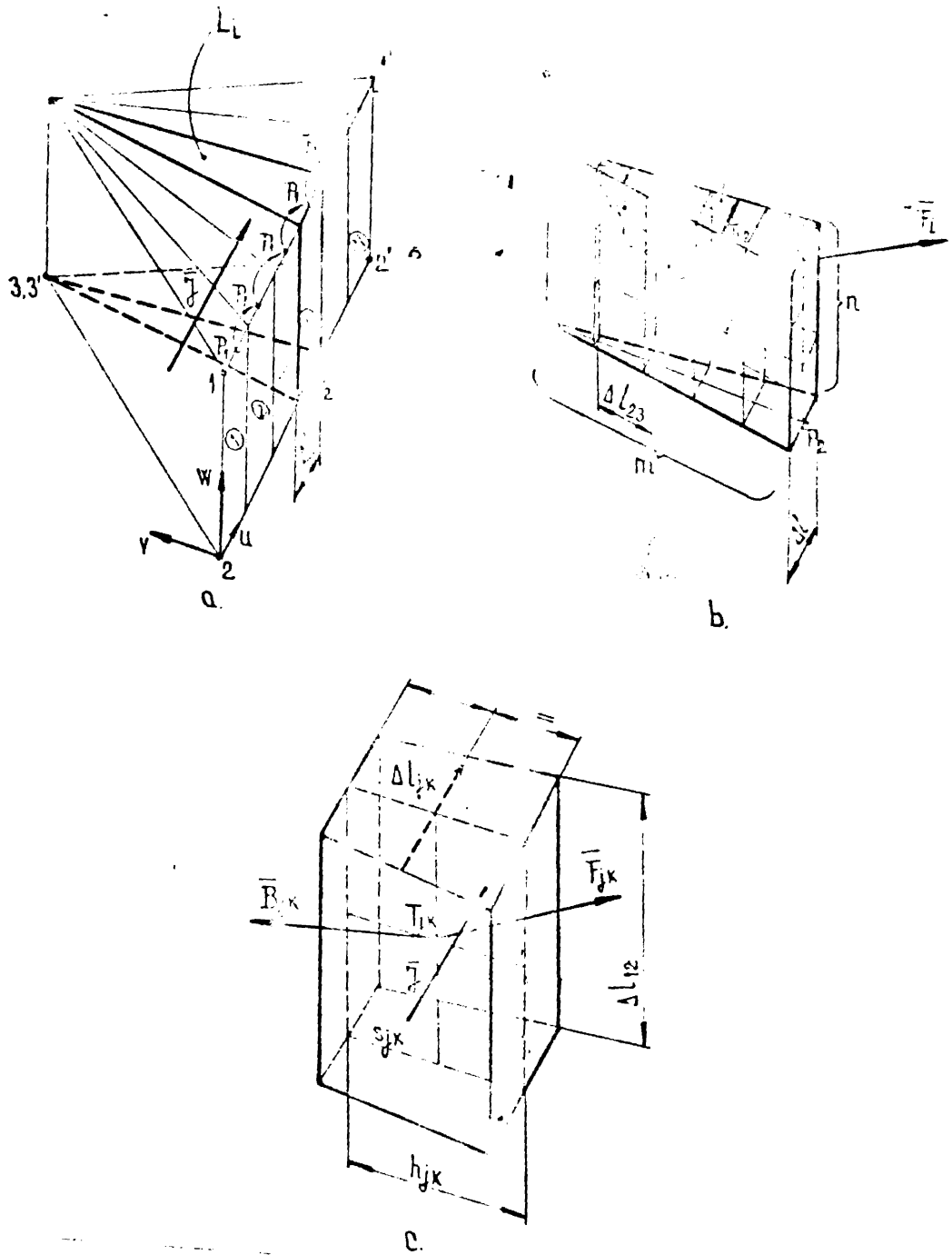


fig.3.18. Desea explicativ privind notațiile și modul de calcul al
 forței electrodinamice la o bară prismatică, "pauză"
 a. pna parcurerea de curent, b. pna elementară L_1 ,
 c. volumul elementar V_{jk}

Conform fig.3.18 c, volumul V_{jk} este o prismă de înălțime Δl_{12}
 având baza un trapez. Se notează, fig.3.18 c, linia mijlocie din
 acest trapez cu Δl_{jk} , iar înălțimea trapezului cu h_{jk} . Cu acestea
 volumul V_{jk} este :

$$V_{jk} = \Delta l_{jk} \cdot h_{jk} \cdot \Delta l_{12} = \Delta l_{jk} \cdot s_{jk} \quad (3.72)$$

unde $s_{jk} = h_{jk} \cdot \Delta l_{12}$ este aria suprafeței mijlocii a prismei.

În conformitate cu ipotezele enunțate privind densitatea de curent (paralelă cu l_1 , fig. 3.19 a), aceasta va fi perpendiculară pe suprafața s_{jk} , fig. 3.19 c.

Prin urmare curentul elementar pentru elementul considerat:

$$i_{jk} = s_{jk} \cdot J \quad (3.73)$$

Înlocuind (3.72) în (3.71) și ținând cont de (3.73) se obține forța asupra volumului V_{jk} :

$$F_{jk} = i_{jk} (\Delta I_{jk} \times \vec{B}_{jk}) \quad (3.74)$$

unde sensul pozitiv al lui ΔI_{jk} este cel al curentului.

În cazul unei diviziuni uniforme în volume elementare, curentul $i_{jk} = I/(n \cdot m)$, unde I este curentul total prin calea de curent careia îi aparține bara.

Intrucât s-a vădit necesitate de algoritmul din paragraful 3.2.1.2.1, Δl_{jk} este diferit pentru diferite volume V_{jk} , nu mai poate fi evidențiată ca având o valoare medie a inducției în volumul L_1 . Calculul forței totale pentru volumul L_1 , fig. 3.19 b, se poate face prin superpoziția forțelor din volumele elementare V_{jk} :

$$F_1 = \sum_{j=1}^n \sum_{k=1}^m i_{jk} (\Delta I_{jk} \times \vec{B}_{jk}) \quad (3.75)$$

Pentru cazul diviziunii uniforme a barei, $i_{jk} = \text{const.}$ și (3.75) se scrie

$$F_1 = i_{jk} \sum_{j=1}^n \sum_{k=1}^m (\Delta I_{jk} \times \vec{B}_{jk}) \quad (3.76)$$

Forța F_1 poate fi determinată de asemenea din relația:

$$F_1 = \int_{(P_2, 3)} dl_{23} \int_{(P_1, P_2)} i_{jk} \frac{(\Delta I_{jk} \times \vec{B}_{jk})}{\Delta l_{12} \cdot \Delta l_{23}} dl_{12} \quad (3.77)$$

prin efectuarea a două integrări numerice.

Integralele se efectuează după direcțiile $P_2, 3$ și P_1, P_2 , fig. 3.19 b, utilizând un algoritma de integrare a unei funcții tabelate.

$\Delta l_{12}, \Delta l_{23}$ sînt pașii obținuți prin divizarea în n respectiv m părți a laturilor P_1P_2 și P_2P_3 , fig. 3.18 b.

Efectuînd calculele pentru toate penele elementare L_i , în care a fost divizată penna analizată, se obține un șir de forțe $F_i, i=1, N$. Componentele, față de un sistem de axe $xOyz$, ale forțelor totale asupra penei parcurse de curent, fig.3.18 a, sînt :

$$F_a = \sum_{i=1}^N F_{ia} \quad (3.78)$$

unde $a = x, y, z$.

3.2.1.2.3. Forța electrodinamică între două bare cu capete oblice

Se consideră două bare cu poziție spațială oarecare și aceleași ipoteze ca în paragraful 3.2.1.2.1. În plus se consideră bara b_2 , asupra căreia se calculează forța, bară cu capete oblice plane, așa cum a fost prezentată în paragraful 3.1.1.5 și fig.3.2.

Se calculează forța electrodinamică F_{12} , produsă de bara b_1 asupra barei b_2 , fig.3.19.

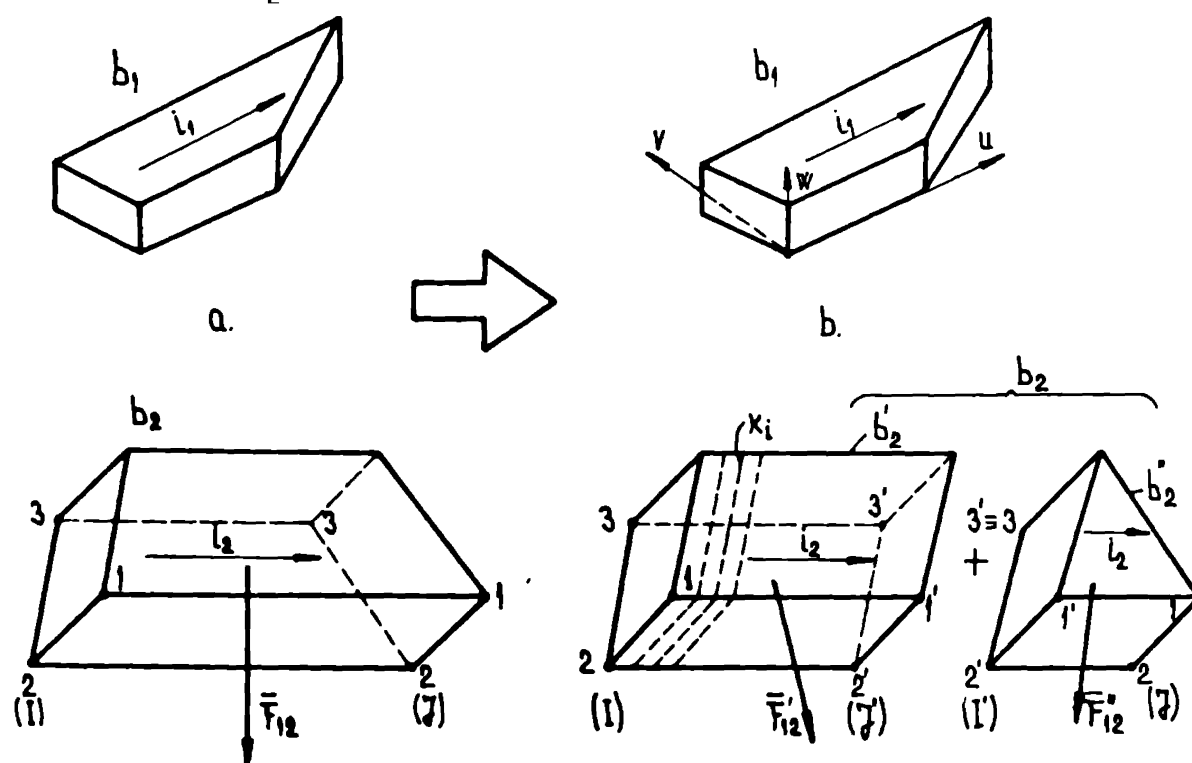


Fig.3.19. Desen explicativ privind calculul forței electrodinamice între două bare cu capete oblice ; a. forma barelor parcurse de curent, b. descompunerea barei b_2 în vederea calculului. (I) și (J) indică capetele barelor de calcul.

Modul de calcul al forței electrodinamice produsă de bara 1 asupra barei 2, F_{12} , are la bază suprapunerea efectelor. Bara b_2 se descompune într-o bară avînd fețele plane paralele, notată b_2' și într-o prismă triunghiulară, denumită "pană", notată b_2'' , parcursă de curent paralel cu muchiile notate $11'$ și $22'$

Pentru forțe se poate scrie relația :

$$F_{12} = F_{12}' + F_{12}'' \quad (3.79)$$

unde F_{12}' este forța asupra barei b_2 produsă de bara b_1 , fig. 3.19 a, F_{12}'' forța asupra porțiunii paralelipipedice a barei, respectiv F_{12}'' forța asupra porțiunii "pană", produse de bara b_1 , parcursă de curentul i_1 .

În relația (3.79) notațiile de tipul $F_{a,b}$ precizează că forța astfel notată este produsă de bara "a" asupra barei "b". Pentru calculul forțelor din relația (3.79) se pot utiliza metodele din paragraful 3.2.1.2.1, pentru F_{12}' , respectiv, din paragraful 3.2.1.2.2 pentru forța F_{12}'' .

3.2.2. Forțe electrodinamice la căi de curent cu traseu spațial complex

3.2.2.1. Căi de curent masive

Calculul forțelor electrodinamice pentru căi de curent cu traseu spațial complex are la bază următoarele ipoteze : calea de curent și mediul înconjurător au permeabilitatea relativă $\mu_r = 1$; conductoarele care formează calea de curent au poziție spațială arbitrară iar secțiunea un paralelogram (de ex. dreptunghi), densitatea de curent prin conductoare este considerată constantă și este cunoscută pentru toate barele, atât în cazul căilor de curent monofilare cît și în cazul celor multifilare sau ramificate. În cazul căilor de curent avînd bare cu secțiunea oarecare, metoda poate fi utilizată aproximînd calea de curent reală cu bare avînd secțiunea paralelogram (de ex. dreptunghi). Similar metoda poate fi aplicată și în cazul căilor de curent avînd o densitate neuniformă, cunoscută, pe secțiunea barei, dar aceiași în orice secțiune în lungul acesteia, aproximînd bara reală, cu un număr finit de bare cu densitate de curent constantă.

Calculul forțelor electrodinamice implică, într-o fază pregătitoare, aproximarea de către utilizator a căii reale de curent cu un număr dorit, dar finit, de bare parcurse de curent, fig. 3.20. Această aproximare, arbitrară, depinde de traseul căii de curent spațială și de cunoașterea liniilor de curent.

Barele de calcul pot să difere sau nu de barele reale din calea de curent:

Elementele care permit o aproximație acceptabilă a căii de curent sînt : bare cu capete oblice, plane și pana parcursă de curent, Fig.3.20.

Barele de calcul delimitate, dimensiunile lor, poziția lor spațială precum și curentul sau curenții, în cazul grupurilor de căi de curent sau a căilor de curent ramificate, constituie datele inițiale.

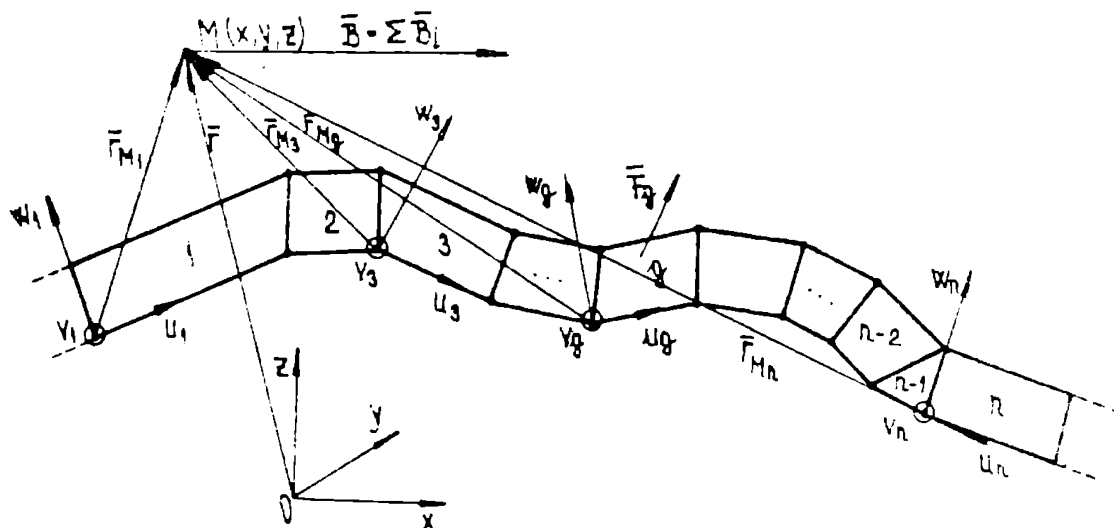


Fig.3.20. Modul de aproximație a căii de curent reale în vederea calculului forțelor electrodinamice asupra căii de curent precum și a cîmpului magnetic în punctul oarecare $M; u_i, v_i, w_i$ - sisteme de coordonate atașate barelor, $i=1, 2, m, n$

Coordonatele capetelor barelor de calcul se dau față de un sistem comun de axe de coordonate $xOyz$. Pentru fiecare bară analizată la calculul cîmpului magnetic se atașează (paragraful 3.1.1) un sistem de axe propriu acesteia, $Ouvw$. Atunci cînd se determină contribuția fiecărei bare de calcul, la cîmpul magnetic în punctul oarecare M , se determină și coordonatele punctului analizat în sistemul de coordonate atașat barei și deci și vectorii de tipul \vec{F}_{Mn} , fig.3.20.

Într-o primă variantă, calculul forței asupra unei bare "g", F_g , poate fi abordat, considerînd interacțiunea acesteia, succesiv, cu toate barele care formează calea de curent, conform paragrafului 3.2.1.2.3:

$$F_g = \sum_{i=1}^n F_{i,g} \quad (3.90)$$

Forțele de tipul F_{ig} , sînt produse de bara i asupra barei g , iar forța F_{gg} rezultă din integrala pe tot volumul barei g a forțelor electrodinamice specifice, volumetrice, produse de interacțiunea curentului din această bară, cu cîmpul propriu al segmentului g . La barele paralelipipedice, forța $F_{gg} = 0$. Aceasta se datorește simetriei acestora. În cazul barelor de calcul considerate cu fețe oblice la capetele pe direcția curentului, forța F_{gg} va fi diferită de zero. Aceste forțe (F_{gg}) care apar datorită modului de calcul a forțelor electrodinamice, capătă o semnificație fizică atunci cînd se consideră interacțiunea tuturor barelor (de calcul) a căii de curent și nu pot fi interpretate decît în ansamblul acestora.

Într-o a 2-a variantă, forța exercitată asupra barei g poate fi determinată ca în paragraful 3.2.1.2.3 și fig. 3.19, dar considerînd cîmpul în punctele T_{jk} ale barei g , produs de toate barele din calea de curent. Pentru calculul cîmpului magnetic este utilizabilă metoda prezentată în paragraful 3.1.2.

Metodele de calcul ale forțelor electrodinamice prezentată sînt generale. Ele permit :

- calculul forțelor electrodinamice între porțiuni, rectilină de lungime finită, ale unor căi de curent, avînd secțiuni dreptunghiulare și poziție spațială oarecare;
- efectuarea calculelor de forță ținînd cont de secțiunea reală a barelor și de lungimea lor finită, nemaifiind necesară introducerea unor coeficienți (Dwight, respectiv de scurtare), definiți pentru condiții particulare și neaplicabili în cazul general, așa cum se utilizează la metodele clasice;
- determinarea forțelor în cazul unor căi de curent masive, cu traseu spațial oarecare;
- calculul forțelor totale dar și a distribuțiilor de forță pe bare.

Timpul de calcul, pentru forme geometrice complicate poate deveni important, el crescînd aproximativ cu numărul de bare la puterea 2. Acest aspect însă, scade în importanță odată cu dezvoltarea vertiginoasă a tehnicii de calcul.

3.2.2.2. Căi de curent cvasimasive

În numeroase situații din practică se întîlnesc căi de curent, la calculul cărora pentru anumite porțiuni, este necesară considerarea barei cu secțiune transversală finită iar în rest ele pot fi

aproximate prin conductoare filiforme cu traseu spațial complex. Astfel de configurații pot fi întâlnite de exemplu în stațiile electrice de înaltă tensiune unde lungimile conductoarelor sînt mari iar diametrul lor relativ redus. Aceste căi de curent vor fi numite în continuare "cvasimasive".

În prezent, în cazul căilor de curent cvasimasive, avînd o poziție spațială oarecare, calculul forțelor electrodinamice se face adeseori cu mari aproximații în privința traseului căii de curent. De asemenea pentru calcul se aleg doar cîteva din conductoarele căii de curent din zona unde interesează forțele.

Considerarea unui traseu mult simplificat al căii de curent și a unui număr redus de bare, nu permite estimarea solicitărilor reale ale ansamblului căii de curent.

Pentru depășirea acestor neajunsuri a fost elaborată și se prezintă în continuare, o metodă de calcul, care permite, determinarea vectorului forță, și a punctului său de aplicație, pe o bară oarecare, cu poziție spațială arbitrară, a unei căi de curent cvasimasive, cu traseu spațial complex, produsă de ansamblul căii de curent, sau numai de părți ale acesteia.

Metoda de calcul a fost stabilită în cadrul următoarelor ipoteze:

1. Conductoarele parcurse de curent și mediul în care se află au permeabilitatea relativă 1;
2. Conductoarele reale se aproximează, pentru calcul, cu conductoare filiforme de lungime finită, plasate în axa de simetrie a celor reale;
3. Calea de curent, conform ipotezei 2, este aproximată cu "n" conductoare rectilinii filiforme, de lungime finită;
4. Conductoarele care formează coturi, fig.3.21 a, sînt approximate cu conductoare filiforme de lungime finită, fără puncte comune, fig.3.21 b. Distanțele s_1 și s_2 , fig.3.21 b se numesc "scurtări". Ambele, sau cel puțin una, sînt nenule și se vorbește de scurtare bilaterală respectiv scurtare unilaterală a conductoarelor filiforme de calcul. Aceste scurtări sînt astfel alese, conform unor relații aproximative din /3.11/, încît forța electrodinamică calculată pentru conductoarele filiforme, fig.3.21 b, să corespundă cazului cotelor din bare masive.
5. În prima aproximație se consideră ca factorul Dwight rămîne valabil și în cazul conductoarelor spațiale /3.9/.

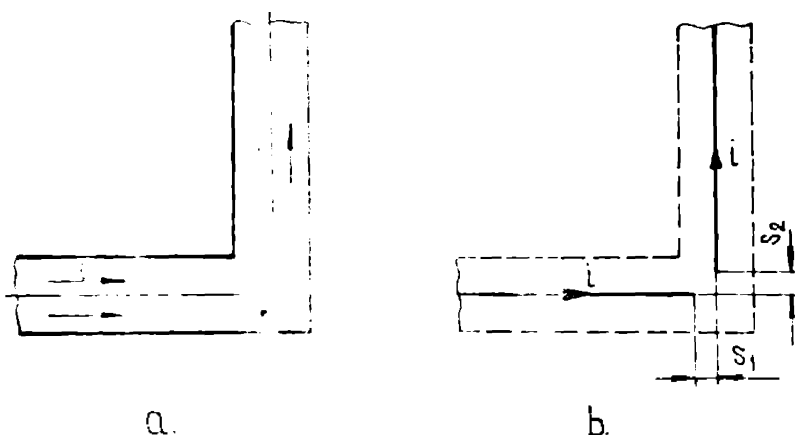


Fig. 3.21 Echivalarea pentru calcul a unui colț masiv

culează, considerînd acest conductor plasat în câmpul magnetic al tuturor celorlalte conductoare.

Conductorul analizat se împarte în segmente elementare, de lungime redusă pentru care se calculează forța datorată tuturor celorlalte conductoare din sistem. Forța totală exercitată asupra conductorului analizat se determină, fie însumînd forțele pentru toate segmentele elementare, fie, într-o altă variantă, printr-o metodă numerică de integrare a forțelor specifice, în lungul conductorului analizat.

3.3. Cîmpul magnetic produs de bobine

2.3.1. Metodă de calcul al cîmpului magnetic produs de un segment de bobină

Se consideră un segment decupat dintr-o bobină sau o cale de curent închisă, parcursă de curent. Materialul din care este confecționat precum și mediul în care se află este nemagnetic avînd permeabilitatea relativă $\mu_r=1$. Segmentul de bobină analizat, fig. 3.22, delimitat în lungul spirelor, are secțiunea transversală dreptunghiulară, este cuprins între unghiurile θ_1 și θ_2 și planele $z = z_1$, și $z = z_2$, precum și între două suprafețe cilindrice oarecare, /3.17/ circulare sau nu, cu generatoarea paralelă cu axa Oz , aflate la distanța c_1 și respectiv c_2 de suprafața exterioară a bobinei, fig. 3.22.

Pe baza acestor aproximații, calea de curent - de calcul - este formată dintr-un număr oarecare de conductoare rectilii filiforme, de lungime finită și cu poziție spațială oarecare.

Forța electrodinamică exercitată asupra unui conductor din cele de curent se cal-

Planele de secționare a bobinei au normalele paralele cu tangentele la curba generată de intersecția suprafeței cilindrice exterioare a bobinei cu un plan $z=\text{const.}$, în punctele $\theta=\theta_1$ și $\theta=\theta_2$. Curba (C_1), descrisă de ecuația $r=r(\theta)$ se obține ca intersecția suprafeței cilindrice exterioare a bobinei cu planul $z=0$, iar (C_3) ca intersecția aceleiași suprafețe cu planul $z=z_N$, care conține punctul $N(x_N, y_N, z_N)$, fig.3.22. Curba (C_2) se află în planul $z=z_N$. Pentru orice unghi θ punctele curbei (C_2) se află la distanța c , fig.3.22 de curba (C_3), această distanță fiind măsurată după normala la curbă, spre interiorul bobinei.

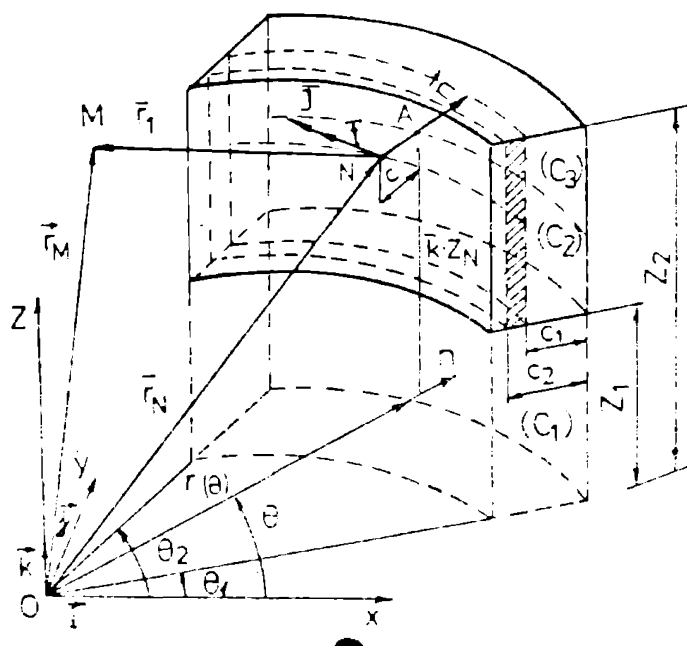


Fig.3.22. Segmentul de bobină analizat și notațiile folosite.

În secțiunea bobinei se consideră o densitate medie de curent (J), uniform distribuită, vectorul densitate de curent aflându-se în plane paralele cu xOy și fiind tangent la curba $r=r(\theta)$ pentru fiecare valoare a unghiului θ .

În continuare, deși se va evidenția contribuția la câmpul total produs numai de un segment de bobină, se va avea permanent în vedere faptul că acesta face parte dintr-un circuit închis parcurs de curent. Pentru calcul se consideră descompunerea segmentului de bobină în volume elementare parcurs de curent, ca și cum toate aceste volume contribuie separat la câmpul total, /3.13/.

Folosind formula lui Biot-Savart se calculează contribuția unui tub elementar de curent, din jurul unui punct interior N , fig.3.22, la câmpul produs într-un punct arbitrar $M(x_M, y_M, z_M)$, /3.12/.

Considerând volumul elementar dV , parcurs de curentul cu densitatea de curent \vec{J} , orientată după versorul tangent \vec{t} fig.3.22, se poate scrie relația :

$$(d\vec{H})_1 = \frac{J(\vec{t} \times \vec{r}_1) dV}{4\pi r_1^3} \quad (3.81)$$

unde : $\vec{r}_1 = \vec{r}_M - \vec{r}_N$, iar \vec{r}_M și \vec{r}_N sînt vectorii de poziție a punctelor M și N, fig.3.22.

Vectorul de poziție a punctului N, fig.3.22, se poate scrie /3.14/ :

$$\vec{r}_N = \vec{r}(0) + k \cdot z_N \cdot \vec{n} \cdot c, \quad (3.82)$$

unde \vec{n} este normala la curba $r=r(\theta)$, c este lungimea segmentului AN, iar

$$\vec{r}(0) = r(0) \cdot (\vec{i} \cos \theta + \vec{j} \sin \theta) \quad (3.83)$$

Folosind unghiul w , fig.3.23, unghi între raza vectorie și tangenta la curbă, definit prin relația, /3.12/, :

$$w = \arctg (r(\theta)/r'(\theta)) \quad (3.84)$$

unde $r'(\theta) = dr(\theta)/d\theta$, se pot scrie expresiile versorului normal (\vec{n}), respectiv tangent (\vec{t}) la curba $r=r(\theta)$:

$$\vec{n} = \vec{i} \sin(w+\theta) - \vec{j} \cos(w+\theta) \quad (3.85)$$

$$\vec{t} = \vec{i} \cos(w+\theta) + \vec{j} \sin(w+\theta) \quad (3.86)$$

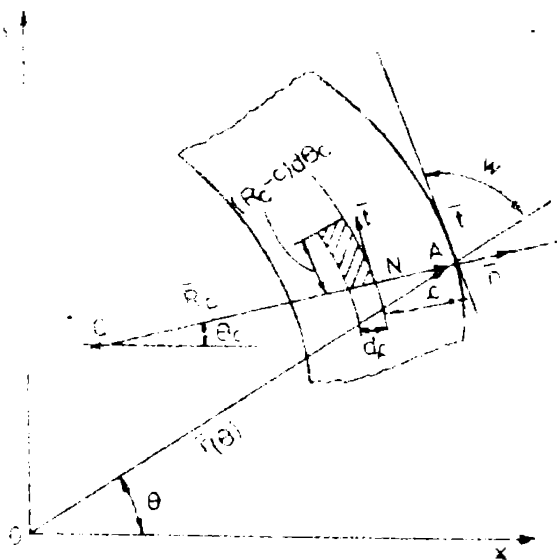


Fig.3.23. Notațiile folosite și definiția unghiului w .

Conform fig.3.23, notînd: R_C raza de curbură, C centrul de curbură, cu indicele "C" toate celelalte mărimi în legătură cu centrul de curbură, iar cu c distanța AN, se poate scrie volumul elementar dV , din jurul punctului N, fig.3.22 și fig.3.23, astfel :

$$dV = (R_C - c) d\theta_C \cdot dc \cdot dz. \quad (3.87)$$

Pentru un unghi θ oarecare, raza de curbură R_C și unghiul θ_C se pot exprima, /3.17/ :

$$R_C = \frac{(r^2 + r'^2)^{3/2}}{r^2 + 2r'r'' - r \cdot r'''} \quad , \quad (3.88)$$

$$\theta_C = \arctg \frac{r \cdot \operatorname{tg} \theta - r'}{r + r' \cdot \operatorname{tg} \theta} \quad , \quad (3.89)$$

unde : $r=r(\theta)$, $r'=dr(\theta)/d\theta$ iar $r''=d^2r(\theta)/d\theta^2$.

Pentru a putea calcula dV conform relației (3.87) trebuie calculat $d\theta_C$. Diferențierea relației (3.89) conduce în general la o expresie de forma :

$$d\theta_C = F(\theta, r(\theta), r'(\theta), r''(\theta)) d\theta \quad , \quad (3.90)$$

unde funcția F este specifică geometriei bobinei analizate.

Din relațiile (3.87) și (3.90) dV devine :

$$dV = (R_C - c) \cdot F \cdot d\theta \cdot dc \cdot dz \quad (3.91)$$

Din relațiile (3.82, 3.83) și (3.85) și considerînd vectorul de poziție a punctului M , fig.3.22 :

$$\vec{r}_M = \vec{i} \cdot x_M + \vec{j} \cdot y_M + \vec{k} \cdot z_M \quad , \quad (3.92)$$

se obține pentru \vec{r}_1 , fig.3.22, expresia :

$$\vec{r}_1 = (x_M - r \cdot \cos \theta + c \cdot \sin(\omega + \theta)) \vec{i} + (y_M - r \cdot \sin \theta - c \cdot \cos(\omega + \theta)) \vec{j} + (z_M - z) \vec{k} \quad . \quad (3.93)$$

Înlocuind în relația (3.31), relațiile (3.86), (3.91) și (3.93) și considerînd contribuția, la cîmpul în M , a tuturor elementelor de volum, dV , din segmentul de bobină considerat, se obțin pentru componentele intensității cîmpului magnetic, după cele trei axe de coordonate, expresiile :

$$H_x = \int_{\theta_1}^{\theta_2} d\theta \int_{c_1}^{c_2} dc \int_{z_1}^{z_2} \frac{J \cdot F \cdot (R_C - c)}{4\tilde{\mu} r_1^3} \cdot \sin(\omega + \theta) \cdot (z_M - z) dz \quad (3.94)$$

$$H_y = - \int_{\theta_1}^{\theta_2} d\theta \int_{c_1}^{c_2} dc \int_{z_1}^{z_2} \frac{J \cdot F \cdot (R_C - c)}{4\tilde{\mu} r_1^3} \cdot \cos(\omega + \theta) \cdot (z_M - z) dz \quad (3.95)$$

$$H_z = \int_{\theta_1}^{\theta_2} d\theta \int_{c_1}^{c_2} dc \int_{z_1}^{z_2} \frac{J \cdot F \cdot (R_C - c)}{4 \pi r^3} (-x_M \cdot \sin(w+\theta) + y_M \cdot \cos(w+\theta) + r \cdot \sin w - c) dz \quad (3.96)$$

Integralele conform relațiilor (3.94)...(3.96) s-au efectuat analitic, după c și z obținind în cele din urmă expresii care urmează a fi integrate după θ . Astfel pentru componentele intensității câmpului magnetic produse la un segment de bobină relațiile obținute sînt :

$$H_x = \frac{1}{4\pi} \int_{\theta_1}^{\theta_2} J \cdot F \cdot \sin(w+\theta) \cdot E \cdot d\theta \quad , \quad (3.97)$$

unde:

$$E = (v+R_C) \cdot \ln \left| \frac{c_2+v+((c_2+v)^2+u^2+(z_M-z_2)^2)^{1/2}}{c_1+v+((c_1+v)^2+u^2+(z_M-z_2)^2)^{1/2}} \right| \cdot \frac{c_1+v+((c_1+v)^2+u^2+(z_M-z_1)^2)^{1/2}}{c_2+v+((c_2+v)^2+u^2+(z_M-z_1)^2)^{1/2}} \left| -((c_2+v)^2+u^2+(z_M-z_2)^2)^{1/2} + ((c_1+v)^2+u^2+(z_M-z_2)^2)^{1/2} + ((c_2+v)^2+u^2+(z_M-z_1)^2)^{1/2} - ((c_1+v)^2+u^2+(z_M-z_1)^2)^{1/2} \right|$$

$$H_y = \frac{-1}{4\pi} \int_{\theta_1}^{\theta_2} J \cdot F \cdot \cos(w+\theta) \cdot E \cdot d\theta \quad , \quad (3.98)$$

$$H_z = \frac{1}{4\pi} \int_{\theta_1}^{\theta_2} J \cdot F \left\{ (z_2-z_M) \ln \left| \frac{c_2+v+((c_2+v)^2+u^2+(z_M-z_2)^2)^{1/2}}{c_1+v+((c_1+v)^2+u^2+(z_M-z_2)^2)^{1/2}} \right| - (z_1-z_M) \ln \left| \frac{c_2+v+((c_2+v)^2+u^2+(z_M-z_1)^2)^{1/2}}{c_1+v+((c_1+v)^2+u^2+(z_M-z_1)^2)^{1/2}} \right| \right\}$$

$$\begin{aligned}
 & - u \left[\operatorname{arctg} \frac{(c_2+v)(z_M-z_2)}{u((c_2+v)^2+u^2+(z_M-z_2)^2)^{1/2}} - \right. \\
 & - \operatorname{arctg} \frac{(c_1+v)(z_M-z_2)}{u((c_1+v)^2+u^2+(z_M-z_2)^2)^{1/2}} - \operatorname{arctg} \frac{(c_2+v)(z_M-z_1)}{u((c_2+v)^2+u^2+(z_M-z_1)^2)^{1/2}} + \\
 & + \operatorname{arctg} \frac{(c_1+v)(z_M-z_1)}{u((c_1+v)^2+u^2+(z_M-z_1)^2)^{1/2}} \left. \right] + \\
 & + a \cdot \ln \left| \frac{z_M-z_1+((c_2+v)^2+u^2+(z_M-z_1)^2)^{1/2}}{z_M-z_1+((c_1+v)^2+u^2+(z_M-z_1)^2)^{1/2}} \right| \cdot \\
 & \cdot \frac{z_M-z_2+((c_1+v)^2+u^2+(z_M-z_2)^2)^{1/2}}{z_M-z_2+((c_2+v)^2+u^2+(z_M-z_2)^2)^{1/2}} \Big|_{\theta_1}^{\theta_2} d\theta \quad (3.99)
 \end{aligned}$$

unde, în afara limitelor de integrare c_1, c_2 și z_1, z_2 se mai folosesc notațiile :

$$u = (x_M - r \cdot \cos\theta) \cos(w+\theta) + (y_M - r \cdot \sin\theta) \sin(w+\theta), \quad (3.100)$$

$$v = (x_M - r \cdot \cos\theta) \sin(w+\theta) - (y_M - r \cdot \sin\theta) \cos(w+\theta). \quad (3.101)$$

Pentru calculul valorilor celor trei componente ale câmpului magnetic, va fi efectuată integrarea numerică, după θ , a expresiilor de sub semnul integrală din (3.97)...(3.99).

Notînd expresiile de sub semnul integrală cu $F\theta N_x(\theta)$, $F\theta N_y(\theta)$ și respectiv $F\theta N_z(\theta)$, relațiile (3.97)...(3.99) devin :

$$H_x = \frac{1}{4\tilde{r}} \int_{\theta_1}^{\theta_2} F\theta N_x(\theta) d\theta, \quad (3.102)$$

$$H_y = \frac{1}{4\tilde{r}} \int_{\theta_1}^{\theta_2} F\theta N_y(\theta) d\theta, \quad (3.103)$$

$$H_z = \frac{1}{4\tilde{r}} \int_{\theta_1}^{\theta_2} F\theta N_z(\theta) d\theta. \quad (3.104)$$

3.3.2. Bobine circulare

Calculul componentelor câmpului magnetic pentru o bobină circulară, avînd lungimea $2h$, raza exterioară R și grosimea c , fig.3.24, utilizînd relațiile din paragraful 3.3.1, se face substituind în (3.97)...(3.99): $r(\theta)=R=\text{const}$, $w=\tilde{\pi}/2$, $\theta_1=0$, $\theta_2=2\tilde{\pi}$, $c_1=0$, $c_2=c$ = grosimea bobinei, $z_1=-h$, $z_2=h$.

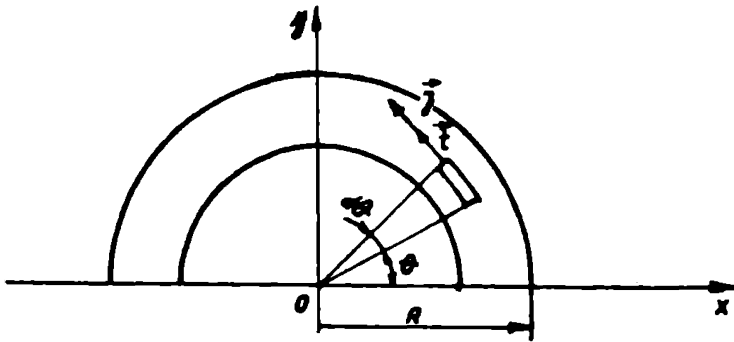
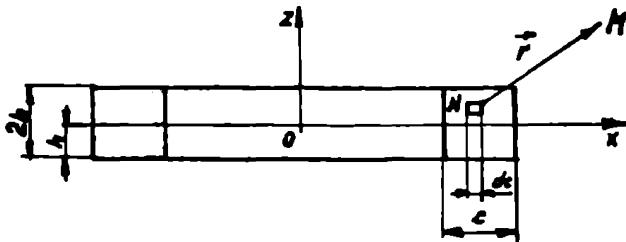


Fig.3.24. Bobina circulară și notațiile folosite

Cu aceasta se poate scrie, condensat, pornind de la relațiile (3.102)...(3.104)

$$H_a = \frac{1}{4k} \int_0^{2\tilde{\pi}} J \tilde{N}_a(\theta) d\theta \quad (3.105)$$

unde: $a = x, y, z$.

În cazul în care punctul, în care se calculează câmpul, se află pe axa bobinei, $M(0, 0, z_M)$, componentele câmpului magnetic obținute din relațiile (3.97)...(3.99) sînt :

$$H_x = \text{constantă} \cdot \int_0^{2\tilde{\pi}} \cos\theta d\theta, \quad (3.106)$$

$$H_y = \text{constantă} \cdot \int_0^{2\tilde{\pi}} \sin\theta d\theta, \quad (3.107)$$

$$H_z = \frac{1}{2} J \cdot \left((h-z_M) \ln \frac{-R + ((R^2 + (z_M - h)^2)^{1/2}}{c - R + ((c-R)^2 + (z_M - h)^2)^{1/2}} + (h+z_M) \ln \frac{-R + ((R^2 + (z_M + h)^2)^{1/2}}{c - R + ((c-R)^2 + (z_M + h)^2)^{1/2}} \right) \cdot \quad (3.108)$$

Pentru punctul $M(0,0,0)$, înlocuind și $z_M=0$ în (3.108) și notînd $a_1=R-c$, $\alpha=R/(R-c)$, $\beta=ah/(R-c)$, se obține pentru componenta axială a intensității cîmpului magnetic în centrul bobinei analizate:

$$H_z(0,0,0) = J \cdot \beta \cdot a_1 \cdot \ln \frac{\alpha + (\alpha^2 + \beta^2)^{1/2}}{1 + (1 + \beta^2)^{1/2}}, \quad (3.109)$$

relație identică cu cele din /3.15/ și /3.16/.

Exceptînd punctele de pe axa bobinei, calculul componentelor cîmpului magnetic se face efectuînd o integrală numerică a funcțiilor $FON(\theta)$. Integrarea numerică nu prezintă dificultăți pentru toate punctele exterioare și interioare bobinei. Pentru anumite puncte M , situate la suprafața bobinei și pentru anumite valori ale lui θ , cuprinse între θ_1 și θ_2 funcțiile $FON(\theta)$ pot deveni nemărginite. În acest caz, s-ar părea că integrala este divergentă și deci și valorile cîmpului magnetic tind spre infinit. Întrucît în problema studiată este vorba despre un corp conductor, de dimensiuni finite, parcurs de un curent avînd valori finite, trebuie ca și cîmpul magnetic produs de acesta să fie finit. Această observație de natură fizică arată că dificultățile sînt numai de natură matematică și deci, în principiu, pot fi depășite.

În astfel de situații se exclude din intervalul de integrare un interval $(\theta_c - \epsilon, \theta_c + \epsilon)$, simetric cu θ_c . S-a presupus că pentru θ_c funcția este nemărginită iar $\epsilon > 0$. Dacă există :

$$\lim_{\epsilon \rightarrow 0} \left(\int_{\theta_1}^{\theta_c - \epsilon} FON(\theta) d\theta + \int_{\theta_c + \epsilon}^{\theta_2} FON(\theta) d\theta \right) = \int_{\theta_1}^{\theta_2} FON(\theta) d\theta \quad (3.110)$$

această limită pentru care s-a utilizat notația din membrul al doilea, va fi numită integrală în valoare principală în sensul lui Cauchy, /3.17/. Această trecere la limită trebuie făcută prin metode numerice. În general punctul θ_c nu este cunoscut la efectuarea integralei, de aici intervenind greutăți suplimentare. Trecerea la limită implică reluarea unui proces de integrare numerică pe intervale diferind cu valori foarte mici (ϵ) pînă se obține convergența valorilor cîmpului magnetic. Procedeu descris consumă relativ mult timp de calcul datorită reluării integralelor numerice și de aceea s-a preferat un procedeu de calcul mai rapid și care să furnizeze valorile cîmpului cu suficientă exactitate.

Se pleacă de la ideea eliminării punctului critic și a unui interval foarte mic din jurul acestuia. Nu se efectuează calculul valorii lui $F\dot{N}(\theta)$ în acest punct ci într-un punct foarte apropiat și se atribuie noua valoare, pentru funcție, celei din θ_c :

$$F\dot{N}(\theta_c) \simeq F\dot{N}(\theta_c + D\theta) \quad (3.111)$$

unde $D\theta$ indică abaterea față de punctul real. Prin acest procedeu graficul funcției este completat cu o valoare astfel încît integrala de la θ_1 la θ_2 poate fi efectuată fără dificultăți.

Intr-o altă variantă, calculul funcției $F\dot{N}(\theta)$ nu se face pentru punctul $M(x_M, y_M, z_M)$, ci într-un punct foarte apropiat $M(x_M + Dx_M, y_M + Dy_M, z_M + Dz_M)$, unde Dx_M , Dy_M și Dz_M sînt distanțele foarte mici față de punctul M . Astfel la calculul cîmpului magnetic într-un plan meridian al unei bobine circulare, $y=0$, fig.3.24, este suficientă modificarea coordonatei y_M în $y_M + Dy_M$.

Aceste metode pornesc dintr-un punct diferind de cel "critic" cu tipic $10^{-5} - 10^{-6}$, atît pentru $D\theta$ (abaterea se măsoară în radiani), cît și pentru Dy_M (abaterea se măsoară în m). În cazul cînd reapare nedeterminarea în $F\dot{N}$ se calculează în puncte mai depărtate, într-un fel de proces de trecere la limită derulat invers (de la punctul "critic"). Calculele efectuate au dat rezultate apropiate pentru metodele prezentate mai sus. De asemenea compararea valorilor componentelor cîmpului magnetic la suprafața unor bobine, locul unde de obicei apar astfel de "puncte critice", calculate ca mai sus, am arătat o bună concordanță cu literatura /3.22/, /3.23/, /3.18/.

3.3.3. Calculul cîmpului magnetic produs de grupuri de bobine

Grupuri de bobine, avînd secțiunea transversală dreptunghiulară, realizate din material nemagnetic și plasate într-un mediu avînd permeabilitatea relativă $\mu_r=1$ se întîlnesc în numeroase cazuri practice. În fig.3.25 se prezintă trei cazuri privind bobinele formînd subsistemul magnetic la mașini unipolare (MUP) fără fier, fig. 3.25 a și b: a. bobina principală și bobina de ecranare la o MUP tip disc, b. bobinele care produc cîmpul la o mașină unipolară tip tambur și respectiv privind bobinele pentru limitarea curentului de scurtcircuit în rețele trifazate, plasate vertical, fig.3.25 c.

În multe situații practice, ceea ce din punct de vedere funcțional se consideră bobină, într-un echipament sau mașină electrică,

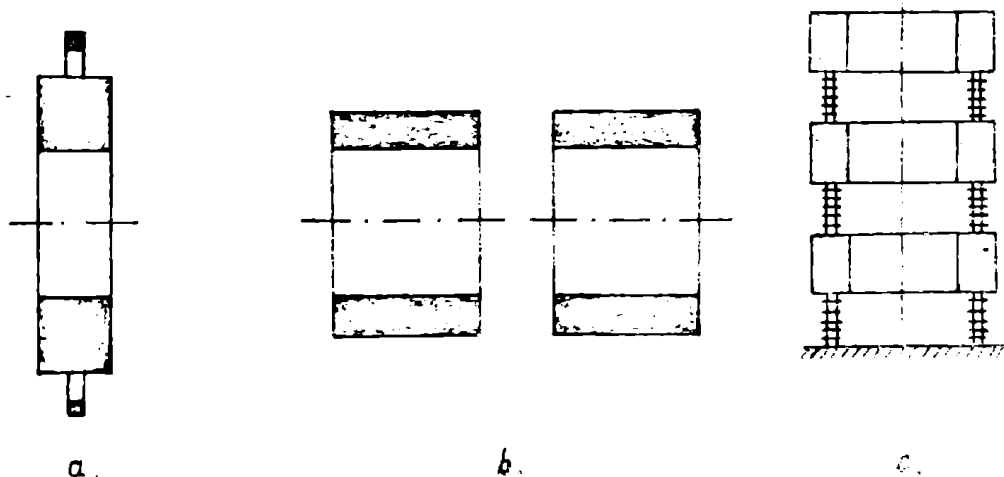


Fig. 3.25. Grupuri de bobine a). Mașină unipolară (MUP) tip disc, subsistemul magnetic: 1- bobina principală, 2- bobina de ecranare; b). Subsistemul magnetic la o MUP tip tambur; c). Bobine de limitare a curentului de scurt circuit, în rețele 3 fazate.

este realizat din galeți, fig. 3.26 a, înfășurări în cilindru fig. 3.26 b, sau din mai multe sub-bobine dispuse pe linii și coloane, fig. 3.26 c. Din punct de vedere al calculelor de cîmp, acestea pot fi approximate fie cu o singură bobină cu densitate medie, constantă, de curent, fie, pentru calcule mai exacte, cu un număr finit de sub-bobine, cu densitate constantă. Numărul bobinelor de calcul este de obicei egal cu cel al galeților sau al sub-bobinelor reale. Sub acest aspect chiar și o singură bobină funcțională poate fi considerată, pentru calcul, ca și un grup de bobine independente.

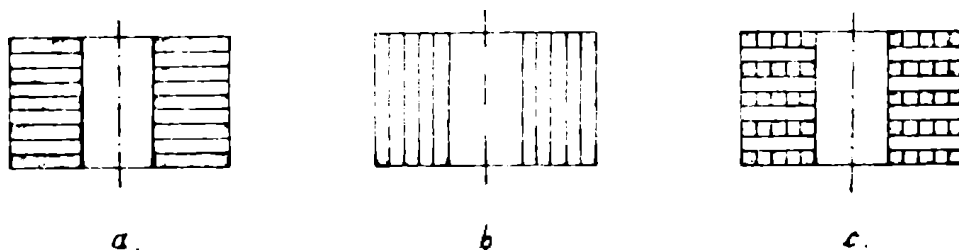


Fig. 3.26. Exemple de bobine formate din sub-bobine : a. bobină din galeți; b. bobină formată din mai mulți cilindri coaxiali; c. bobină formată din subbobine plasate pe linii și coloane.

Modurile de construcție a bobinelor, exemplificate în fig. 3.26, sînt determinate, în general, de probleme legate de răcirea eficientă a acestora. Între subbobine se află distanțoare corespunzătoare. Acestea vor trebui să nu obtureze prea mult canalele de răcire, să preia și să transmită, solicitările mecanice între subbobine

sau între bobină și suportul ei din instalație.

De cele mai multe ori în practică cazurile de mai sus sînt combinate astfel încît se întîlnesc grupuri de bobine realizate la rîndul lor din subbobine care în general pot fi și cu lungime diferită.

În vederea stabilirii unei metode și a unui program de calcul se consideră cazul bobinelor circulare avînd același ax^z de simetrie. Fiecare din cele "n" bobine considerate au dimensiuni, poziție reciprocă și densități de curent arbitrare, fig.3.27. Această abordare, permite calculul cîmpului pentru o largă clasă de situații des întîlnite în practică (de ex.fig.3.25, 3.26 și combinații ale acestora).

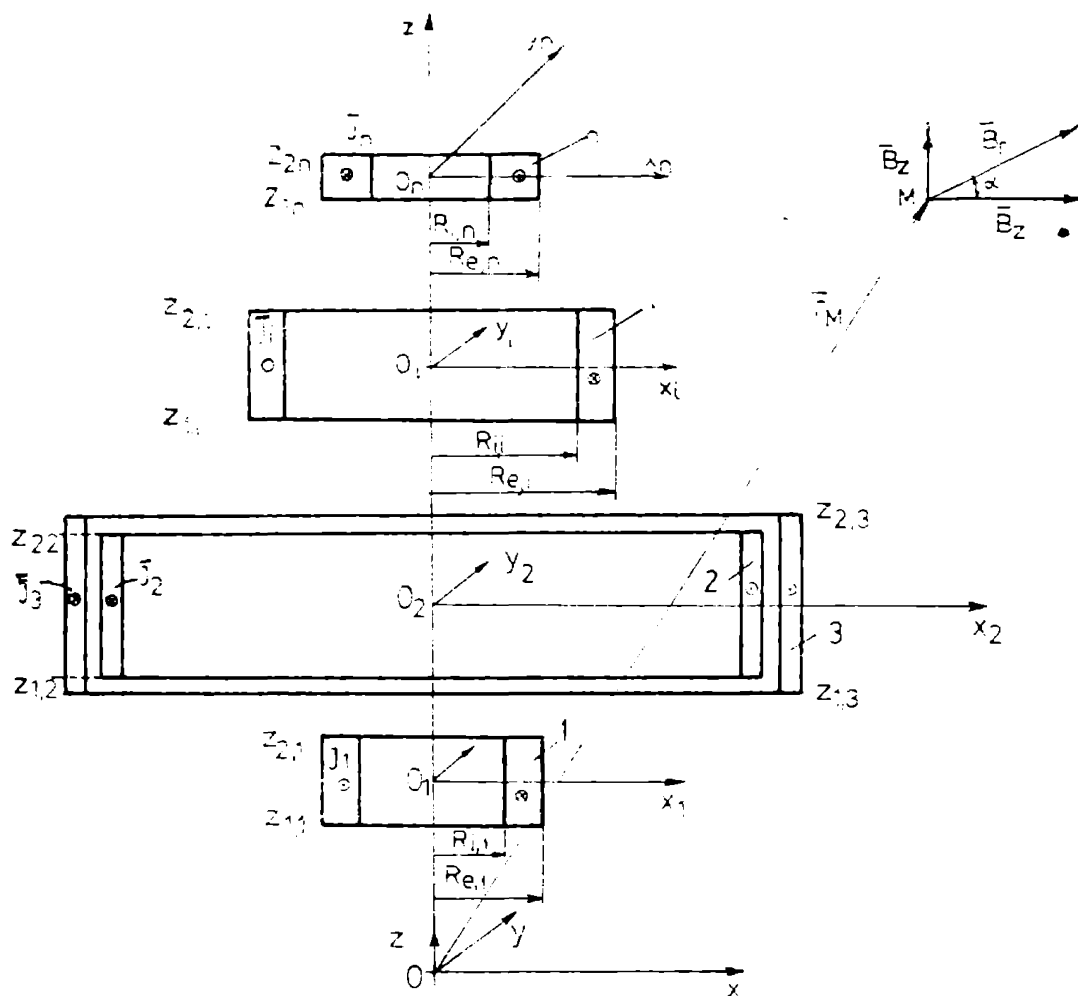


Fig.3.27. Desen explicativ privind notațiile folosite pentru calculul cîmpului magnetic la grupuri de bobine cu axă de simetrie comună.

Se consideră un sistem de referință $xOyz$, comun, față de care se dau, de către utilizator datele fiecărei bobine de calcul utilizate. Astfel pentru bobina i, fig.3.27, se precizează:

$z_{1,i}, z_{2,i}$ - coordonatele suprafeței inferioare respectiv superioare a bobinei i , raza interioară $R_{i,i}$, raza exterioară $R_{e,i}$ și densitatea de curent medie J_i . Prin bobină de calcul se înțelege aici, o bobină sau subbobină (de ex. galet) sau orice altă subdiviziune circulară a acestora, pentru care se poate considera densitatea locală, medie, de curent constantă.

Cîmpul produs de bobina i în punctul M se calculează cu metoda prezentată în paragraful 3.3.1 cu relațiile

$$(H_a)_i = \frac{1}{4\pi} \int_0^{2\pi} J N_a(\theta) d\theta \quad (3.112)$$

unde: $a = x, y, z$.

Contribuția tuturor celor n bobine se află prin superpoziție:

$$H_a = \sum_{i=1}^n (H_a)_i \quad (3.113)$$

Calculul se face succesiv pentru componente, în vectorul intensitate a cîmpului magnetic în M , este :

$$H_M = i \sum_{i=1}^n (H_x)_i + j \sum_{i=1}^n (H_y)_i + k \sum_{i=1}^n (H_z)_i \quad (3.114)$$

Iar vectorul inducție magnetică :

$$\vec{H}_M = \mu_0 H_M \quad (3.115)$$

3.3.4. Bobine cu densitate de curent neuniformă și secțiune de formă oarecare

Se consideră o bobină oarecare, circulară sau nu, avînd densitate de curent constantă și secțiunea de formă oarecare, fig. 3.28.a, respectiv cazul cînd și densitatea de curent (J) este variabilă în secțiune, dar atît forma secțiunii bobinei cît și distribuția densității de curent sînt la fel în oricare secțiune a bobinei, fig. 3.28b.

Cîmpul produs de bobine conform fig. 3.28 a și b se poate calcula divizînd bobina reală într-un număr finit de bobine cu secțiunea dreptunghiulară și densitate de curent constantă și utilizînd metoda din paragraful 3.3.1. în general, respectiv 3.3.3, în cazul bobinelor circulare.

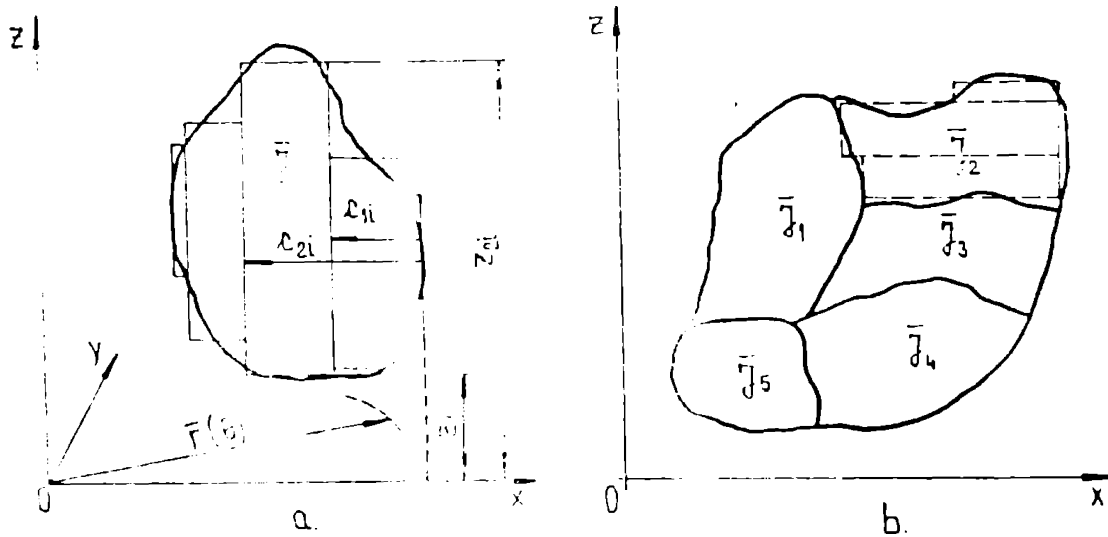


Fig.3.28. Bobină cu formă oarecare a secțiunii; a- densitate de curent constantă; b- densitate de curent variabilă

Pentru bobina cu densitate de curent variabilă (fig.3.28.b) se aproximează mai întâi domeniile unde $J = \text{const}$, iar apoi fiecare din acestea, la rândul lor, cu bobine având secțiuni dreptunghiulare.

Votînd cu $(H_x)_i$, $(H_y)_i$, $(H_z)_i$, contribuțiile unei bobine cu secțiune dreptunghiulară și $J = \text{const}$. la cîmpul produs într-un punct M , cîmpul produs la întreaga bobină cu secțiune oarecare și J variabil se poate scrie :

$$(H_x)_M = \sum_{i=1}^n (H_x)_i; (H_y)_M = \sum_{i=1}^n (H_y)_i; (H_z)_M = \sum_{i=1}^n (H_z)_i \quad (3.116)$$

unde "n" reprezintă numărul total al bobinelor cu acțiune dreptunghiulară și densitate de curent constantă care aproximează bobina reală.

3.4. Forțe electrodinamice la bobine

3.4.1. Forțe electrodinamice în regim staționar

3.4.1.1. Forțe specifice

Forțele electrodinamice la bobine avînd temperaturi normale nu criogenice, constituie un factor de solicitare de primă importanță, alături de solicitările datorită diferențelor de temperatură și ale pretensionării mecanice la bobinare, cunoașterea lor fiind indispensabilă unei dimensionări corespunzătoare a acestora /2.15/, /3.18/, /3.19/, /3.20/.

Solicitările mecanice pot fi considerate cunoscute dacă se cunosc eforturile unitare din bobine. Pentru determinarea acestora este necesară: cunoașterea forțelor electrodinamice, specifice în fiecare punct al bobinei analizate și calculul solicitărilor mecanice datorate acestora.

Prima problemă, care va fi analizată mai jos, trebuie să țină seama de existența, de obicei, a unui grup de bobine, cu poziție complicată, între care apar efecte ponderomotoare. Cea de-a doua problemă implică rezolvarea ecuațiilor diferențiale ale eforturilor în condițiile unui corp anizotrop /3.20/. În aceste ecuații intervin componentele forțelor electrodinamice specifice, care în general sînt funcții de x, y și z .

Se consideră un grup de n bobine circulare, fără circuit feromagnetic, parcurse de curenți distribuiți uniform pe secțiunea bobinelor și constanți în timp, de exemplu conform fig.3.27, paragraful 3.3.3.

Pentru bobina i , se evidențiază, fig.3.29, un element de volum dV ,

$$dV = r \cdot d\theta \cdot dz \cdot dr \quad (3.117)$$

unde $r = x$.

Fie \vec{B} inducția cîmpului magnetic rezultat, practic constantă pentru întregul volum dV , produsă de toate celelalte bobine, dar și de bobina i .

Pentru generalitate se consideră că atât inducția \vec{B} cît și densitatea de curent \vec{J} sînt vectori oarecare în sistemul $xOyz$:

$$\vec{B} = B_x \cdot \vec{i} + B_y \cdot \vec{j} + B_z \cdot \vec{k} \quad (3.118)$$

$$\vec{J} = J_x \cdot \vec{i} + J_y \cdot \vec{j} + J_z \cdot \vec{k} \quad (3.119)$$

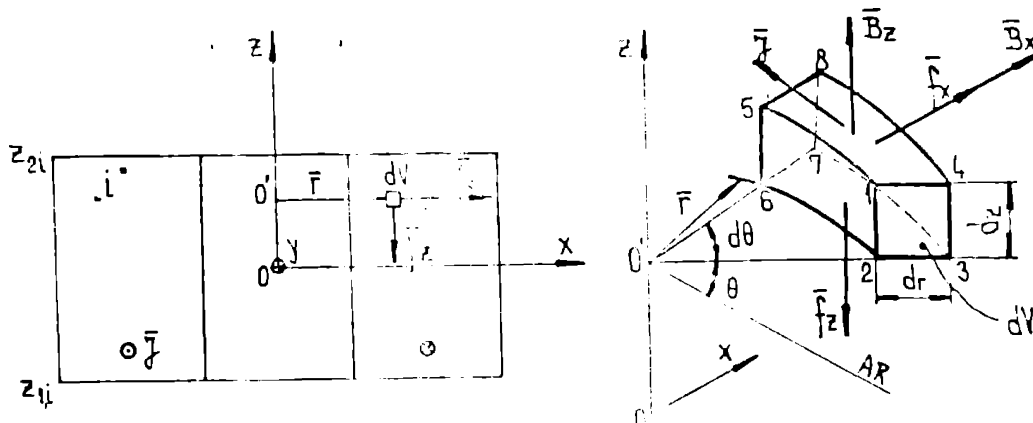


Fig.3.29. Bobina i și evidențierea elementului de volum dV ; AR este axa de referință pentru măsurarea unghiului θ .

Considerînd forța electrodinamică /3.1/. /3.2/

$$\vec{F} = \vec{J} \times \vec{B} \quad (3.120)$$

componentele față de un sistem de referință $xOyz$ sînt :

$$f_x = J_y \cdot B_z - J_z \cdot B_y \quad (3.121)$$

$$f_y = J_z \cdot B_x - J_x \cdot B_z \quad (3.122)$$

$$f_z = J_x \cdot B_y - J_y \cdot B_x \quad (3.123)$$

Pentru o bobină circulară conform fig.3.29, dintr-un grup de bobine cu aceeași axă de simetrie, avînd $J_x = J_z = 0$ și $J = J_y$, și cîmpul magnetic plan meridian, se obține:

$$f_x = J_y \cdot B_z = J \cdot B_z \quad (3.124)$$

$$f_y = 0 \quad (3.125)$$

$$f_z = -J_y \cdot B_x = -J \cdot B_x \quad (3.126)$$

Pentru bobine circulare și poziția sistemului de referință ca în fig.3.29, f_x are semnificația unei forțe specifice radiale iar f_z al unei forțe axiale.

Uneori se dorește cunoașterea unor "presiuni" electrodinamice radiale și axiale locale : p_x și p_z .

Pornind de la componentele forței electrodinamice pentru volumul considerat, care în cazul unei configurații cu simetria plan-meridiană, (3.124)...(3.126) sînt :

$$dF_x = f_x \cdot dV \quad , \quad (3.127)$$

$$dF_z = f_z \cdot dV \quad , \quad (3.128)$$

și folosind relația (3.117), cu referire și la fig. 3.29 se scrie:

$$dF_x = f_x \cdot r \cdot d\theta \cdot dz \cdot dr = f_x \cdot A_{1236} \cdot dr = p_x \cdot A_{1236} \quad (3.129)$$

$$p_x = f_x \cdot dr \quad / \text{N} \cdot \text{m}^{-2} / \quad , \quad (3.130)$$

$$dF_z = f_z \cdot r \cdot d\theta \cdot dz \cdot dr = f_z \cdot A_{2367} \cdot dz = p_z \cdot A_{2367} \quad (3.131)$$

$$p_z = f_z \cdot dz \quad / \text{N} \cdot \text{m}^{-2} / \quad . \quad (3.132)$$

Pentru porțiuni foarte mici $\Delta r = \Delta x$ și Δs , pentru care f_x respectiv f_z pot fi considerate constante, se pot calcula componentele presiunii axiale după x și z :

$$p_x(x,s) = f_x(x,s) \cdot \Delta r = J \cdot B_z(x,s) \cdot \Delta x \quad / \text{N} \cdot \text{m}^{-2} / \quad (3.133)$$

$$p_z(x,s) = f_z(x,s) \cdot \Delta s = J \cdot B_x(x,s) \cdot \Delta s \quad / \text{N} \cdot \text{m}^{-2} / \quad (3.134)$$

Conform relațiilor (3.121)...(3.126) se constată că pentru calculul forțelor specifice radiale și axiale este necesară cunoașterea componentelor inducției magnetice în punctul unde se efectuează calculul acestora.

Pentru cazul analizat avem:

$$B_x(x,s) = \sum_{i=1}^n (B_x)_i \quad , \quad (3.135)$$

$$B_z(x,s) = \sum_{i=1}^n (B_z)_i \quad . \quad (3.136)$$

Intrucât, câmpul este produs, de toate cele "n" bobine din grup.

3.4.1.2. Forțe totale la bobine

În anumite aplicații interesează nu numai forțele electrodinamice specifice asupra bobinelor ci și forțele electrodinamice totale. Aceste forțe tind să schimbe poziția spațială a bobinelor, respectiv, în bobine, poate fi evidențiată o forță de rupere și una de compresie.

Se consideră un grup de n bobine circulare oarecare în care

de cunosc dimensiunile, poziția relativă și densitatea de curent. Într-un punct \vec{r} din secțiunea bobinei 1, câmpul magnetic este produs de toate celelalte bobine și de bobina 1 :

$$\vec{B}_1 = \sum_{j=1}^n (\vec{B}_1)_j = \vec{I}(\vec{B}_x)_1 + \vec{J}(\vec{B}_y)_1 + \vec{K}(\vec{B}_z)_1 \quad (3.137)$$

existând în general componente, după toate cele trei axe ale sistemului de referință ales.

Integrala pe întregul volum al bobinei 1 a forțelor electro-dinamice specifice, determinate utilizând inducția conform (3.137), și relațiile (3.121)...(3.123), conduce la relațiile pentru calculul forțelor totale :

$$F_x = \int_{V_1} f_x \cdot dV \quad (3.138); \quad F_y = \int_{V_1} f_y \cdot dV \quad (3.139); \quad F_z = \int_{V_1} f_z \cdot dV \quad (3.140)$$

În general aceste forțe de interacțiune dintre bobine sînt anule.

Pentru a realizeze neechivoc poziția spațială reciprocă a bobinelor din grup, poziție determinată de considerente funcționale ale mașinii sau echipamentului electric, bobinele vor trebui rigidizate în cadrul unei structuri mecanice de rezistență, capabile să preia aceste forțe.

În cazul bobinelor circulare cu axă de simetrie comună, avînd dimensiuni oarecare, forțele F_x și F_y vor fi nule, datorită simetriei. Forța axială, în acest caz, asupra bobinei 1, F_{z1} , se va calcula din relația :

$$F_{z1} = \int_{V_1} f_{z1} \cdot dV \quad (3.141)$$

Presupunînd $\vec{J}_1 = (J_y)_1$, conform fig.3.29, și utilizînd relația (3.126) și (3.117), relația (3.141) devine :

$$F_{z1} = \int_0^{2\pi} \int_{r_{1,1}}^{r_{0,1}} \int_{z_{1,1}}^{z_{2,1}} (-J_1 \cdot B_{x1}) r \cdot dr \cdot dz \quad (3.142)$$

În relația (3.142), J_1 este densitatea de curent axială în bobina 1, inducția rezultantă \vec{B}_1 și componentele rezultă din rezultatul din relația (3.137), iar celelalte notații sînt conform fig. 3.29.

Fără a reduce din generalitate, se poate considera pentru cazul analizat $\theta = x$. Ținând cont că în cazul bobinelor cu axă de simetrie comună B_{xi} nu este funcție de θ iar J este presupus constant și integrând după θ se obține :

$$F_{zi} = -2\pi \cdot \int_{r_{1,i}}^{r_{2,i}} \int_{z_{1,i}}^{z_{2,i}} J_i \cdot (B_x(x,z))_i \cdot x \cdot dx \cdot dz , \quad (3.143)$$

pentru forța axială asupra unei bobine dintr-un sistem de n bobine cu axă de simetrie comună.

Vectorii forță specifică radială, \vec{F}_r , pentru bobina i a unui sistem de n bobine cu axă de simetrie comună, sînt uniform repartizați pe circumferința bobinei, fig.3.30 b. Prin urmare F_x și F_y , conform (3.138), (3.139) sînt nule și deci nu există forțe nete care să deplaseze radial bobina. Forțele \vec{F}_r produc însă o solicitare de rupere în secțiunea bobinei, prin forțele F_r , fig.3.30b.

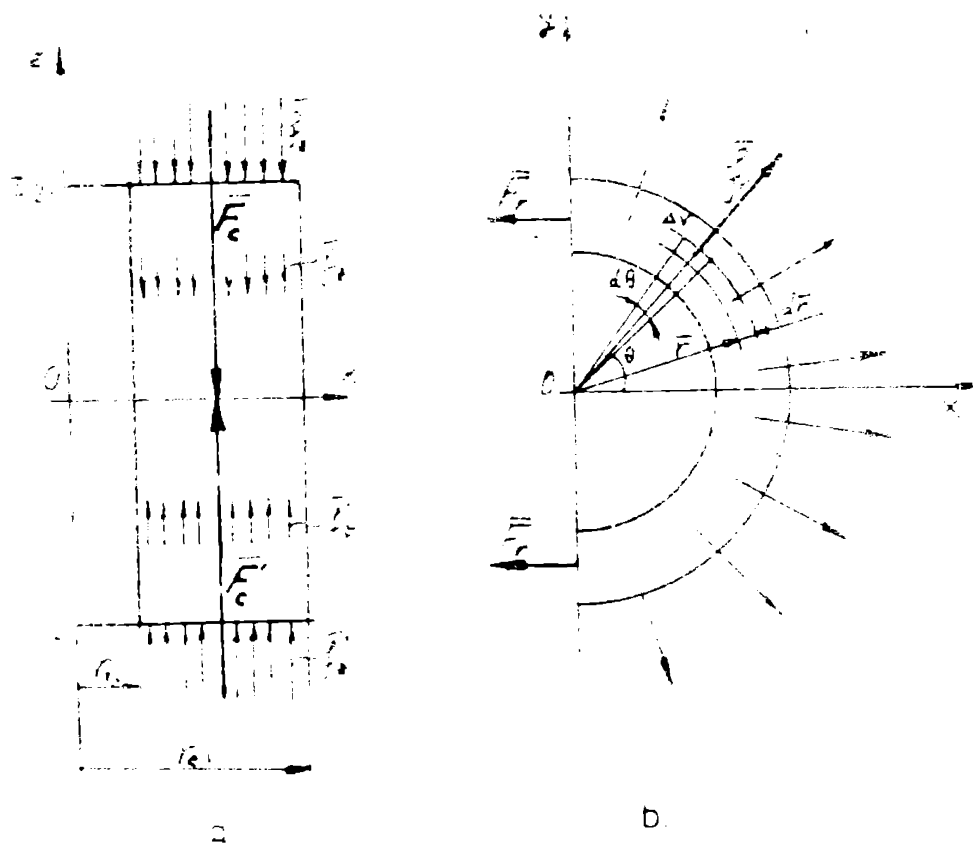


Fig.3.30. Alura forțelor electrodinamice la o bobină din cadrul unui sistem de bobine circulare;
a. forțele axiale ; b. forțele radiale.

Insumând proiecțiile după Ox ale forțelor provenind din forțele specifice radiale, pentru o jumătate a bobinei 1, fig.3.30 b și egalând cu $2F_r$ se obține pentru forța de rupere :

$$F_{r,i} = \frac{1}{2} \int_{-\frac{z}{2}}^{\frac{z}{2}} \int_{r_{1,i}}^{r_{e,i}} \int_{z_{1,i}}^{z_{2,i}} f_r \cdot \cos\theta \cdot r \cdot d\theta \cdot dr \cdot dz \quad (3.144)$$

Efectuând integrarea după θ (întrucît datorită simetriei numai " $\cos\theta$ " este funcție de θ) și ținînd cont că $x = r$, în cazul analizat, se obține pentru forța de rupere în secțiunea bobinei circulare 1 :

$$F_{r,i} = \int_{r_{1,i}}^{r_{e,i}} \int_{z_{1,i}}^{z_{2,i}} x \cdot f_x(x,z) \cdot dx \cdot dz = \int_{r_{1,i}}^{r_{e,i}} \int_{z_{1,i}}^{z_{2,i}} x \cdot J_i \cdot (B_z(x,z))_i \cdot dx \cdot dz \quad (3.145)$$

În relațiile (3.143) și (3.145), componentele inducției magnetice sînt produse de toate bobinele sistemului analizat :

$$(B_x)_i = \sum_{j=1}^n (B_x)_j \dots (3.146); \quad (B_z)_i = \sum_{j=1}^n (B_z)_j \quad (3.147)$$

Avînd în vedere faptul că integrala pe volumul V_i a forțelor axiale specifice produse numai de bobina i este nulă, din cauza simetriei, la calculul forței axiale totale de interacțiune dintre bobine, (3.143) este suficientă evaluarea lui $(B_x)_i$ conform relației:

$$(B_x)_i = \sum_{\substack{j=1 \\ j \neq i}}^n (B_x)_j \quad (3.148)$$

Acest fapt are ca urmare o reducere importantă a timpului de calcul.

Calculul forțelor totale exercitate asupra bobinelor necesită efectuarea integralelor duble după r (sau x) și z , adică pe secțiunea bobinei. De remarcat că în cazul bobinelor circulare plasate arbitrar sau al bobinelor necirculare, nu poate fi evitată și efectuarea unei integrale după θ , adică în lungul spirelor.

În cazul unei singure bobine circulare relațiile (3.138)... (3.140), în legătură și cu (3.124)...(3.126) conduc la :

$$F_x = 0 \dots (3.149); F_y = 0 \dots (3.150); F_z = 0 \dots (3.151)$$

Prin urmare nu există forțe care să deplaseze bobina axial sau radial. În bobină există totuși o stare de eforturi caracterizată printr-o forță de compresiune, F_c , fig.3.30 a și o tendință de mărire a diametrului bobinei, caracterizată printr-o forță de rupere, fig.3.30 b.

În cazul unui grup de bobine, forțele specifice axiale f_z și f'_z , în general nu sînt simetrice față de planul median al uneia dintre bobine, fig.3.30 a. Simetria acestor forțe apare numai în cazul unei singure bobine cînd $F_z = f'_z$ și respectiv $F_c = F'_c$, fig.3.30 a.

Forța de compresiune în cazul unei singure bobine, F_c , fig.3.30a se datorește cumulării forțelor axiale din jumătatea superioară ($0 < z < z_{2i}$) a bobinei. Ea acționează în planul median și se calculează cu relația :

$$F_c = \int_0^{2\pi} \int_{r_i}^{r_e} \int_0^{z_2} r \cdot f_z \cdot dr \cdot d\theta \cdot dz \quad , \quad (3.152)$$

unde, datorită faptului că există o singură bobină, s-a renunțat la indicele "i" pentru toate mărimile în legătură cu bobina. După integrarea după θ și considerînd $r = x$, se obține pentru forța de compresiune la o bobină expresia :

$$F_c = -2\tilde{\pi} \int_{r_i}^{r_e} \int_0^{z_2} x \cdot J \cdot B_x(x, z) \cdot dx \cdot dz \quad . \quad (3.153)$$

Forța de rupere în cazul unei singure bobine se obține din relația (3.145) înlocuind J_i cu J , iar $(B_z(x, z))_i$ cu $B_z(x, z)$:

$$F_r = \int_{r_i}^{r_e} \int_{z_1}^{z_2} x \cdot J \cdot B_z(x, z) \cdot dx \cdot dz \quad . \quad (3.154)$$

În relațiile (3.153) și (3.154) B_x și B_z sînt produse de bobina analizată.

Integralele (3.143), (3.145), (3.153), (3.154) nu pot fi calculate analitic în general și de aceea a fost elaborat un program care permite evaluarea acestora prin metode numerice.

3.4.2. Forțe electrodinamice la bobine în regim tranzitoriu.

Metoda coeficienților de forță.

În numeroase aplicații, curenții care străbat căile de curent sau parcurg bobinele din grupuri de bobine, sînt variabili în timp (de ex. regimuri tranzitorii).

Metodele de calcul ale forțelor electrodinamice deduse și prezentate în paragrafele anterioare, pot fi dezvoltate și pentru regimuri în care curenții variază în timp, pentru cazurile în care densitatea de curent este cunoscută și poate fi considerată constantă, cel puțin pe porțiuni.

Considerînd o bobină i , dintr-un grup de "n" bobine parcurse de curenți variabili în timp $i_1(t), i_2(t), \dots, i_n(t)$ pentru forțele electrodinamice totale se poate scrie vectorial relația :

$$\mathbf{F}_i(t) = \int_{V_i} (\mathbf{J}_i(t) \times \mathbf{B}(i_1(t), i_2(t), \dots, i_n(t))) dV, \quad (3.155)$$

unde $\mathbf{J}_i(t)$ este densitatea curentului prin bobină iar \mathbf{B} inducția magnetică totală, produsă de toate cele n bobine.

În cazul general, la orice moment t , forța dată de relația (3.155) trebuie calculată efectuînd integrala de volum a forțelor electrodinamice specifice.

Această metodă este aplicabilă și dacă, sub acțiunea forțelor electrodinamice unele sau toate bobinele suferă deplasări. În acest caz este necesar calculul deplasărilor bobinelor și stabilirea noii geometrii de calcul, pentru valori cuantizate ale timpului.

Reluarea calculelor de câmp și de forțe, pentru fiecare geometrie calculată face ca această metodă să fie extrem de laborioasă și abordabilă numai cu ajutorul unor calculatoare foarte puternice.

Pentru cazurile în care bobinele, sau părțile căii de curent, nu se deplasează sub acțiunea forțelor electrodinamice sau această deplasare poate fi neglijată în raport cu distanțele dintre bobine (căi de curent etc.), se poate evita reluarea calculelor conform

relației (3.155) pentru diferite momente ale timpului și se pot stabili relații analitice, funcție de timp, ale forței electrodinamice pentru configurații oricât de complicate ale căilor de curent.

Metoda care permite acest lucru și va fi prezentată mai jos a fost denumită: "metoda coeficienților de forță". Ea va fi prezentată considerând cazul bobinelor circulare cu aceeași axă de simetrie, fără ca prin aceasta să se restrângă domeniul de aplicabilitate.

Se observă că relațiile deduse în subcapitolul 3.3 pentru intensitatea câmpului magnetic produs de o bobină pot fi scrise:

$$H_a = J \cdot \frac{1}{4\pi} \int_{\theta_1}^{\theta_2} G_a(\theta, w, c_1, c_2, z_1, z_2, r(\theta), x_M, y_M, z_M, \text{etc}) d\theta \quad (3.156)$$

unde $a=x, y, z$ iar funcțiile G_x, G_y, G_z nu depind decât de factori geometrici, cunoscuți pentru un caz analizat.

Notînd :

$$h_a = \frac{1}{4\pi} \int_{\theta_1}^{\theta_2} G_a \cdot d\theta \quad , \quad (3.157)$$

se poate scrie pentru o bobină :

$$H_a(t) = J(t) \cdot h_a \quad , \quad (3.158)$$

respectiv, considerînd câmpul produs de un grup de "n" bobine în secțiunea bobinei i :

$$H_{ai}(t) = \sum_{j=1}^n J_j(t) \cdot h_{aj} \quad , \quad (3.159)$$

unde $a = x, y, z$, J este densitatea de curent, iar indicii corespund numerotării bobinelor.

Pentru forțele axiale între bobine, ținînd cont că $\vec{H} = u_0 \vec{H}$, și de relațiile (3.143) și (3.159), se poate scrie pentru bobina i :

$$F_{zi} = - 2\tilde{\pi} \int_{r_{i,i}}^{r_{e,i}} \int_{z_{1,i}}^{z_{2,i}} x \cdot J_i(t) \cdot \mu_0 \sum_{j=1}^n (J_j(t) \cdot h_{xj}) dx \cdot dz \quad . \quad (3.160)$$

Punînd relația (3.160) sub forma :

$$F_{zi} = - \sum_{j=1}^n J_i(t) \cdot J_j(t) \int_{r_{1,i}}^{r_{e,i}} \int_{z_{1,i}}^{z_{2,i}} 2 \cdot \tilde{x} \cdot \mu_0 \cdot x \cdot h_{xj} \cdot dx \cdot dz \quad (3.161)$$

și notînd :

$$(K_z)_{i,j} = - \int_{r_{1,i}}^{r_{e,i}} \int_{z_{1,i}}^{z_{2,i}} 2 \cdot \tilde{x} \cdot \mu_0 \cdot x \cdot h_{xj} \cdot dx \cdot dz \quad (3.162)$$

se obține pentru forța axială asupra bobinei i :

$$F_{zi} = \sum_{j=1}^n J_i(t) \cdot J_j(t) \cdot (K_z)_{i,j} \quad (3.163)$$

Termenii de tipul $(K_z)_{i,j}$, relația (3.162), respectiv $(K_r)_{i,j}$, care poate fi dedus similar pornind de la relația forței de rupere (3.145), etc., sînt denumiți coeficienți de forță.

În cazul general al forțelor totale dintre n bobine cu poziție oarecare și parcurse de curenți cu variație arbitrară în timp, se poate scrie pentru bobina i :

$$F_{ei} = J_i(t) \sum_{j=1}^n J_j(t) (K_a)_{i,j} \quad (3.164)$$

unde $a = x, y, z$, $J_j(t)$, $j = \overline{1, n}$ densitățile de curent în bobine iar $(K_a)_{i,j}$ coeficienții de forță. Relația (3.163) dedusă pentru bobine cu aceeași axă de simetrie are valabilitate generală, dar relația (3.162), dedusă pentru calculul direct al coeficienților de forță este valabilă doar pentru cazul a n bobine circulare, arbitrare, cu aceeași axă de simetrie.

Determinarea practică a coeficienților de forță poate fi făcută pornind de la forțele electrodinamice, relațiile (3.163), (3.164) sau cu relații directe de calcul, de exemplu (3.162).

Se consideră un sistem de n bobine circulare cu densitate de curent constantă, dimensiuni și poziție reciprocă oarecare, avînd aceeași axă de simetrie. Utilizînd metoda descrisă în paragraful 3.4.1 și programul elaborat FBCAAS, paragraful 4.4.1 se

calculează forțele produse asupra bobinei i , de fiecare din celelalte bobine, $(F_a)_{i,j}$:

$$(F_a)_{i,j} = J_i \cdot J_j \cdot (K_a)_{i,j} \quad (3.165)$$

unde $a=x,y,z$, $j=\overline{1,n}$, iar J_i și J_j densitățile de curent din bobinele i și j folosite la calculul forței.

Din relația (3.165) se determină coeficienții de forță :

$$(K_a)_{i,j} = (F_a)_{i,j} / (J_i \cdot J_j) . \quad (3.166)$$

Coeficienții de forță pot fi pozitivi sau negativi, în funcție de sensurile pozitive alese pentru curenți și forțe.

Tinând cont că densitatea medie de curent în secțiunea unei bobine este :

$$J_j = N_j \cdot i_j / S_j . \quad (3.167)$$

unde N_j - numărul de spire, i_j curentul iar S_j - secțiunea transversală a bobinei j , pot fi deduse, similar cu (3.166) expresiile unor coeficienți de forță (K'), raportați la curentul prin bobină și nu la densitatea medie :

$$(K'_a)_{i,j} = (F_a)_{i,j} / (i_i \cdot i_j) , \quad a=x,y,z . \quad (3.168)$$

Relația de legătură între cele două tipuri de coeficienți este:

$$(K'_a)_{i,j} = (K_a)_{i,j} \cdot N_i \cdot N_j / (S_i \cdot S_j) . \quad (3.169)$$

Cunoscând coeficienții de forță și variația în timp a curenților prin bobine, forțele electrodinamice pentru o bobină i pot fi calculate cu relațiile :

$$(F_a)_i = J_i(t) \cdot \sum_{j=1}^n J_j(t) \cdot (K_a)_{i,j} . \quad (3.170)$$

$$(F_a)_i = i_i(t) \cdot \sum_{j=1}^n i_j(t) \cdot (K'_a)_{i,j} . \quad (3.171)$$

$a = x,y,z$, efectuând o sumă algebrică a produselor dintre curenții prin bobine și coeficienți de forță, pentru orice valoare a timpului t .

Deși a fost prezentată pentru cazul grupurilor de bobine, metoda coeficienților de forță este generală permițând calculul analitic și numeric al forțelor electrodinamice la căi de curent oarecare. Metoda poate fi aplicată la mașini și echipamente conținând bobine și căi de curent cu traseu spațial complex, parcurse de curenți cu variație oarecare în timp.

De asemenea, metoda permite o exprimare a forțelor electrodinamice avantajoasă atunci când, pentru calculul de rezistență a unor mașini și echipamente electrice, sînt necesare, ca date inițiale, valorile forțelor și variația în timp a acestora, respectiv când se dorește exprimarea forțelor electrodinamice ca funcții analitice de timp.

3.5. Bibliografie la capitolul 3

- /3.1/ Kùpfmùller K., Einführung in die theoretische Elektrotechnik, Springer V., 1965
- /3.2/ De Sabata I., Bazele electrotehnicii, I.P.Timișoara 1974
- /3.3/ Timotin Al., Mărieș V.A., Calculul cîmpului magnetic și al forțelor electrodinamice asupra unui bobinaj supraconductor, Ses. com. științifice I.P.București. 24-25 oct.1980
- /3.4/ Preis H., Berechnung des magnetischen Feldes, der magnetischen Kräfte und des Betriebsverhaltens grosser Spulensysteme für Fusionsexperimente, Diss. T.U.München, 1976
- /3.5/ Răduleț R., Bazele electrotehnicii, Probleme, vol. I, E.D.P. București, 1970
- /3.6/ Suciu I., Bazele echipamentelor electrice, Ed.Facla, Timișoara, 1980
- /3.7/ Vasilievici Al., Aparate electrice, vol.1, I.P. Timișoara 1976
- /3.8/ Hortopan Gh., Aparate electrice, E.D.P.București, 1972
- /3.9/ Abegg K., Beitrag zur Berechnung der Kraftwirkung zwischen stromdurchflossenen, geraden Leitern bei beliebigen räumlichen Lage, Bull. Oerlikon, Nr.359, p.10, 1964
- /3.10/ Dwight H.B., Electrical coils and conductors Mc Graw - Hill, New York, 1945

- /3.11/ Ballus H., Ein Beitrag zur Berechnung elektromagnetischer Kräfte zwischen stromführenden Leitern, Diss. Darmstadt, 1970
- /3.12/ Fântână N.L., Metodă de calcul a intensității cîmpului magnetic produs de un segment de bobină, E.E.A.- Electrotehnica, 28(1980) nr.7, p.311
- /3.13/ Simonyi K., Electrotehnică teoretică, Ed.Tehnică, București, 1974
- /3.14/ Fântână N.L., Asupra calculului cîmpului magnetic al unei bobine plate, Sesiunea comunicări științifice, I.P."Traian Vuia"Timișoara, 26-28 oct.1979
- /3.15/ Montgomery D.B., Solenoid magnet design, J.Wiley, New York, 1969
- /3.16/ Parsch C.P., Supraleiter und supraleitende Magnete, Siemens A.G.,1975
- /3.17/ Caius Iacob, Cristea C., Iacob V., Mihăileanu M.,Trandafir R., Tomescu I., Zidăroiu C., Matematici clasice și moderne, vol.I, Ed.Tehnică, București, 1978
- /3.18/ Newhouse V.L., editor, Applied superconductivity, vol.II, Academic Press, New York, 1975
- /3.19/ Brechna H., Superconducting magnet systems, Springer V., 1973
- /3.20/ Gray H., Ballou J.K., Electromechanical stress analysis in transversly isotropic solenoids J.Appl.Physics, vol.48,Nr.7,1977,p.3100
- /3.21/ Hortopan Gh.,Panaite V., Pavelescu D., Dinculescu P., Popescu M., Titz G., Nițu S., Trușcă V., Popescu C., Probleme de aparate electrice, E.D.P., București,1982
- /3.22/ Melkes F., Vypocet magnetickeho pole kruhových civek, Elektrotechnicky casopis,XXIV, 1973,nr.7,p.455
- /3.23/ Hart P.J., Universal tables for magnetic fields of filamentary and distributed currents, AEPC, New York, 1967
- /3.24/ x x x Memoratorul inginerului electrician, Ed.tehnică, București, 1971.

4. CALCULE NUMERICE SI VERIFICARI EXPERIMENTALE

4.1. Calculul numeric privind câmpul magnetic produs de bare masive

4.1.1. Programul de calcul al câmpului magnetic produs de o cale de curent masivă, spațială cu traseu oarecare

Metoda de calcul utilizată a fost prezentată în paragraful 3.1.2. Calea de curent este divizată în bare de lungime finită pentru care se calculează câmpul cu metoda prezentată în paragraful 3.1.1.5, implicând o integrare numerică, iar apoi se suprapun efectele.

Barele masive, fig.4.1, care aproximează calea de curent reală, fig.3.12, sînt complet definite, prin precizarea de către utilizator, pentru fiecare bară, a unui număr de identificare atașat barei, a coordonatelor, față de un sistem de referință comun, a punctelor I_1, I_2, I_3 respectiv J_1, J_2, J_3 și a densității de curent considerată uniformă și avînd sensul pozitiv de la capătul I spre capătul J al barei.

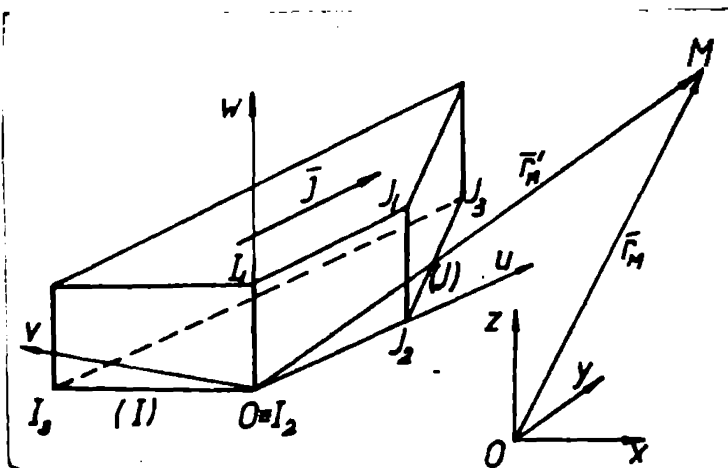


Fig.4.1. Bara de calcul și notațiile folosite

De asemenea utilizatorul trebuia să precizeze punctele M, în care dorește să se calculeze câmpul magnetic. În program acest lucru se face prin precizarea coordonatelor punctului inițial și final de calcul și a unui număr de pași, care, parcurși paralel cu O_x, O_y și respectiv O_z , să descrie

o rețea spațială, ale cărei noduri vor fi punctele $M(x, y, z)$.

Programul de calcul, denumit BLP3, generează automat coordonatele dorite pentru punctele M , în sistemul de referință comun $xOyz$.

De asemenea, cu ajutorul acestui program, se generează automat sistemul de coordonate legat de bară, $uOvw$, se calculează coordonatele punctului M , precum și componentele inducției magnetice față de acesta și apoi în sistemul $xOyz$.

Sînt tipărite coordonatele punctului M , contribuția fiecărei bare la cîmpul din M , pe componente și componentele inducției produse de toate barele din calea de curent analizată.

Programul realizat permite calculul la căi de curent approximate cu, pînă la, 50 de bare, dar acest număr poate fi cu ușurință extins

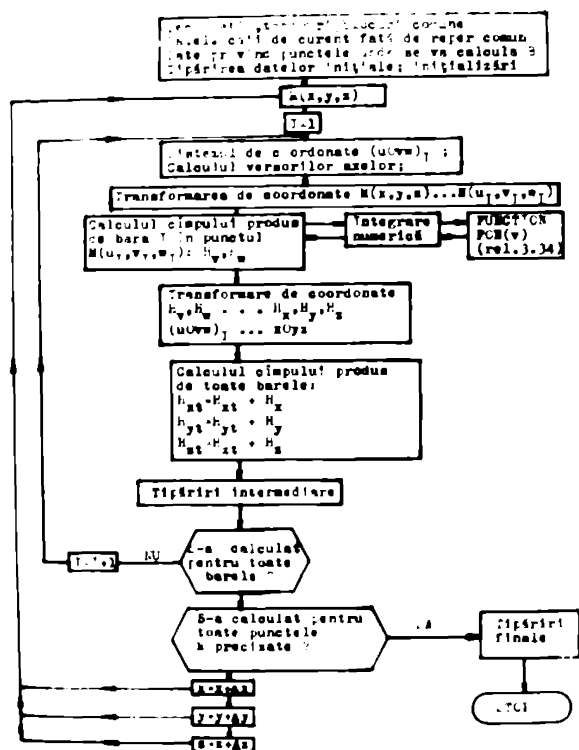


Fig.4.2.Organigrama programului de calcul al cîmpului magnetic pentru căi de curent masive (BLP3)

4.1.2. Rezultate calculate privind cîmpul magnetic produs de bare masive

Programul de calcul descris în paragraful 4.1.1 și metoda de calcul, descrisă în paragraful 3.1., au fost comparate cu unele exemple calculate în literatură, respectiv cu unele metode de calcul cunoscute.

Rulările au fost făcute pe un ordinator FELIX CE-256. Integrarea numerică a fost efectuată utilizînd subprograme din biblioteca matematică

a. Bară masivă de lungime finită

Pentru o bară masivă de lungime finită, s-a efectuat calculul câmpului magnetic într-un punct aflat la o distanță nemodificată față de bară, dar bara a fost plasată diferit față de sistemul de coordonate ales.

Astfel, bara a ocupat, pe rând pozițiile conform fig.4.3. Bara are o lungime de 10 m, este plasată simetric față de planul xOy, are dimensiunile secțiunii transversale 0.01 m x 0.01 m și este străbătută de un curent de 5000 A.

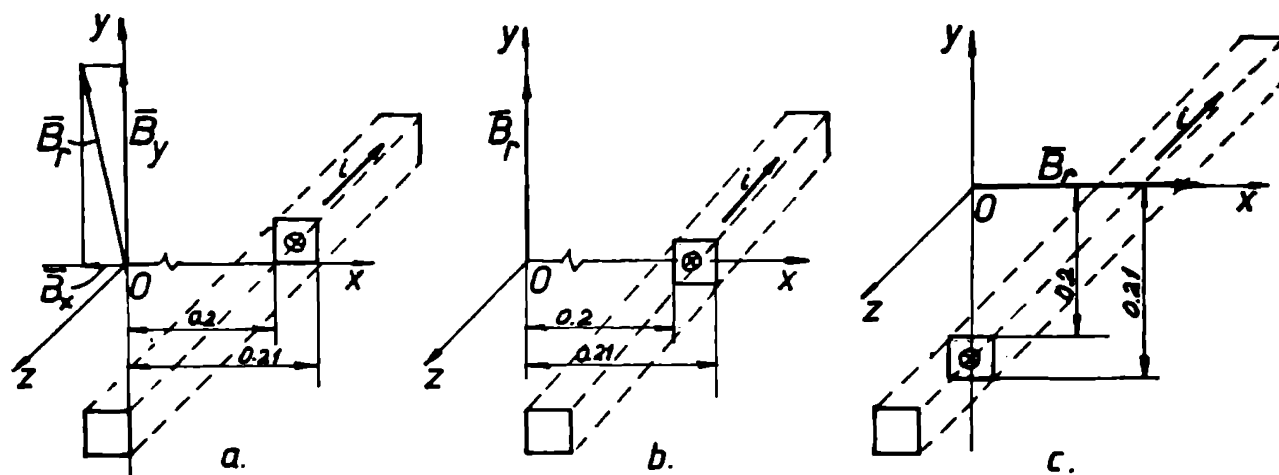


Fig.4.3. Cazurile analizate pentru o bară de lungime finită

Pentru cele trei cazuri fig.4.3, au fost obținute rezultatele prezentate în tabelul 1.

Tabelul 1

Punctul (x,y,z) /m/	B_x /T/	B_y /T/	B_z /T/	B_r /T/
a 0.,0.,0.,	-.11881 E-03	.48710 E-02	0.	.487244 E-02
0.,0.005,0.,	0.	.48740 E-02	0.	.487400 E-02
b 0.,0.,0.,	0.	.48740 E-02	0.	.48740 E-02
0.,0.005,0.,	.11881 E-03	.48710 E-02	0.	.487244 E-02
c 0.,0.,0.,	.48740 E-02	0.	0.	.48740 E-02
.005,0.,0.,	.48711 E-02	-.11881 E-03	0.	.487254 E-02

Rezultatele obținute, utilizând la integrarea numerică a precizie de 0,001 sînt practic la fel. De remarcat că, pentru un conductor filiform infinit lung, plasat în centrul secțiunii conductorului b) sau c) analizat aici, inducția magnetică în originea sistemului de coordonate este 0.00487804 T.

b. Calculul inducției magnetice la conductoare rectilinii. Comparație.

A fost calculată și comparată inducția magnetică produsă de următoarele căi de curent:

- bară masivă, de lungime finită și secțiune dreptunghiulară;
- bară masivă, de lungime infinită și secțiune dreptunghiulară;
- conductor filiform infinit lung, plasat în axa de simetrie a barei masive. S-a considerat densitatea de curent uniform distribuită în suprafața secțiunii barelor.

Pentru calcule, barele masive având dimensiunile secțiunii $a=0.5$ cm, și $b=5$ cm, și lungimea L variabilă, au fost plasate cu latura mică după O_y , cazul A, respectiv după O_x , cazul B, fig.4.4.

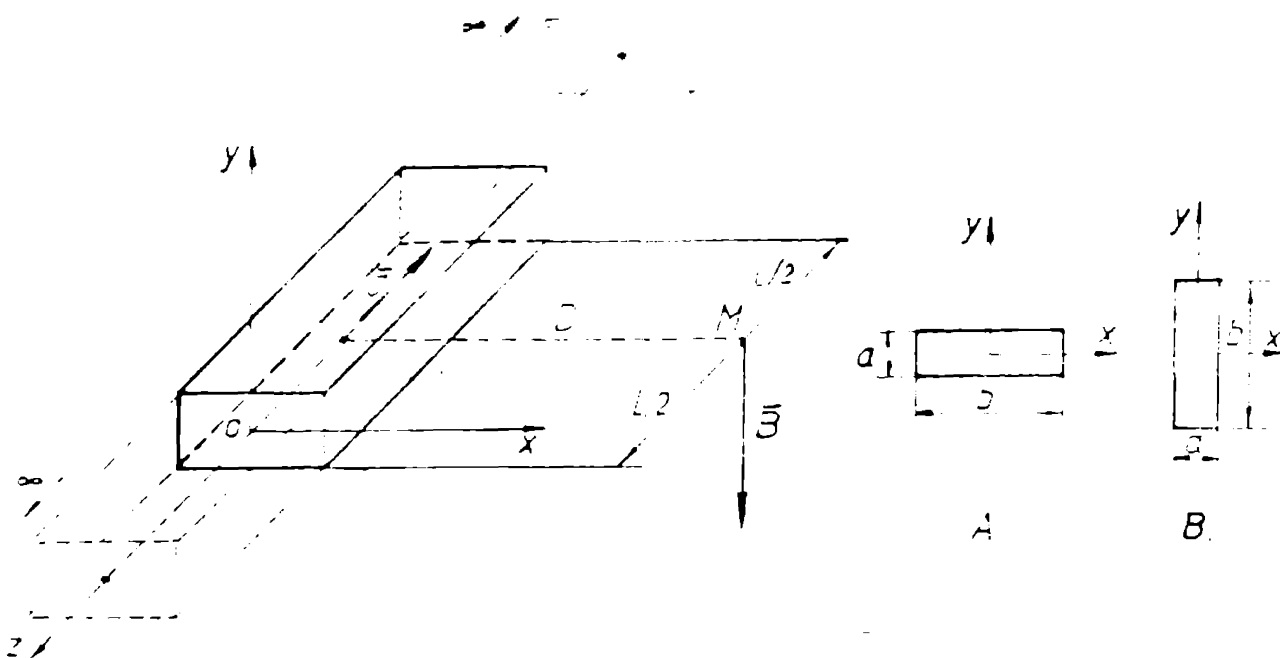


Fig.4.4. Barele analizate în exemplul b. și cazurile de plasare a barei masive.

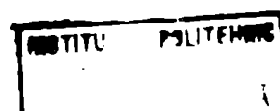
Punctul M, în care s-a calculat câmpul, a fost plasat la o distanță D , variabilă (în programul de calcul și la o distanță egală de capetele barei masive în lungul axei O_z).

Cîteva din rezultatele obținute, sînt prezentate în figurile 4.5 și 4.6.

Punctul M ocupă distanțe, D , față de axa barei de la $0,2...4a$, iar lungimea L a barei este $1...15$ m.

Bara masivă, atât cea de lungime ^{finită} cît și cea infinit lungă, a fost plasată conform cazurilor A și B. Curentul prin bare este 15 kA.

Cazurile analizate și graficele trasate, utilizînd pentru bara de lungime finită metoda și programul elaborat, iar pentru celelalte cazuri, relațiile cunoscute, permit desprinderea următoarelor observații:



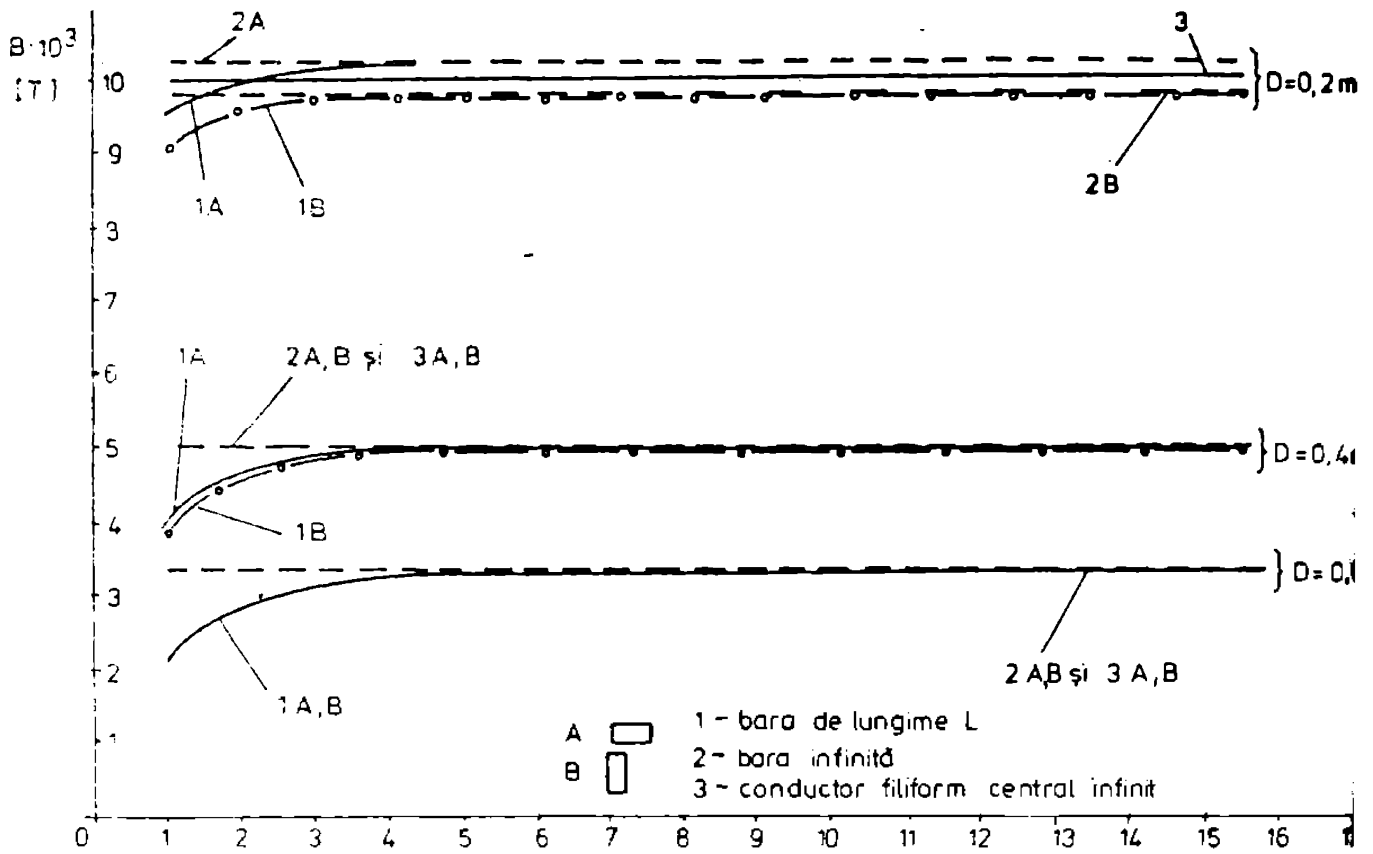


Fig.4.5. Distribuția inducției magnetice pentru barele analizate, fig.4.4, și $D \leq 0.6$ m

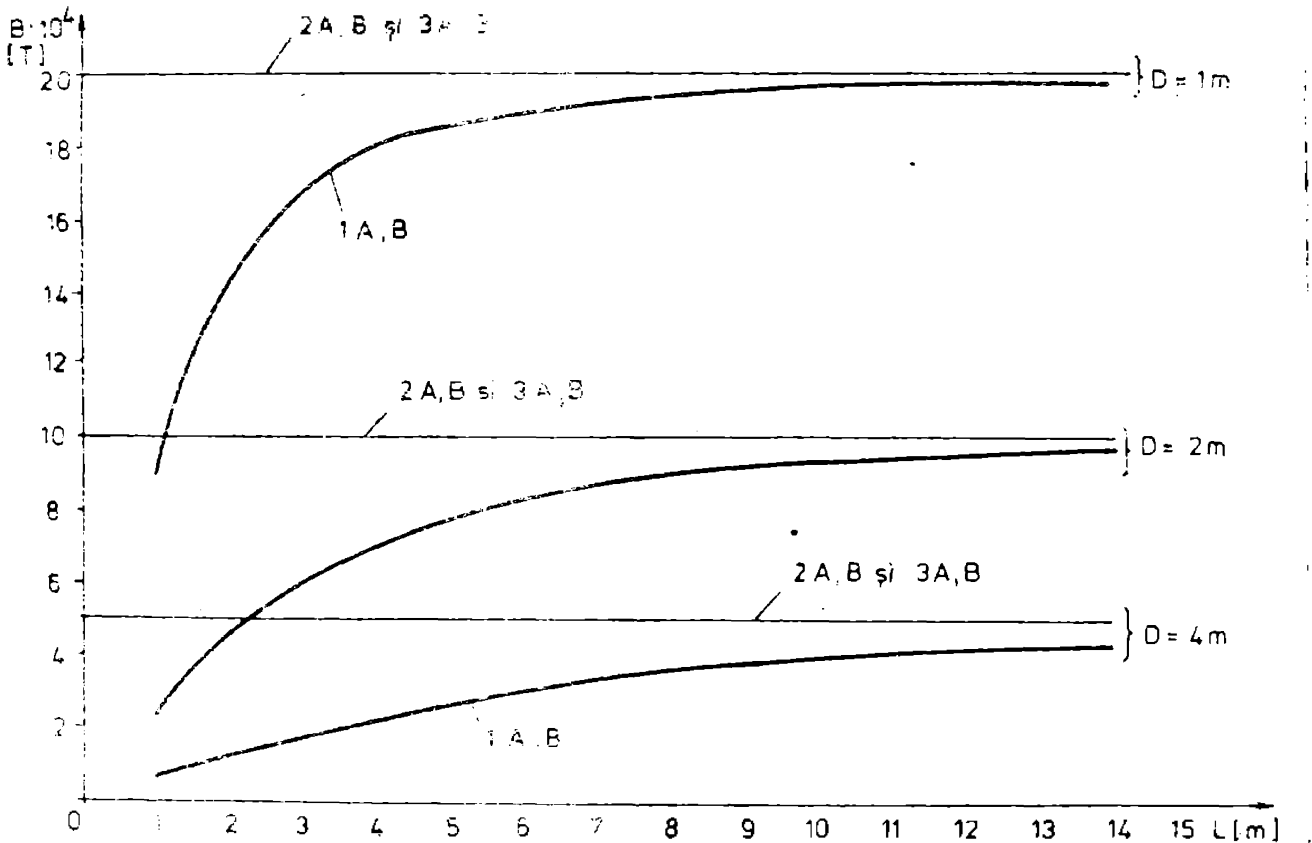


Fig.4.6. Distribuția inducției magnetice pentru barele analizate și $D = 1, 2$ și 4 m.

- La distanțe mici de bara analizată, se poate face o distincție între cele 2 moduri de plasare (A,B), ale conductorului masiv. Peste o anumită distanță (în exemplul analizat, $D > 0,4$ m), diferențele dintre rezultatele pentru cazul A și B, devin neglijabile.

- Odată cu creșterea lungimii barei masive, valorile câmpului, calculate în acest caz, se apropie asimptotic de cazul barei masive infinite. Pentru L mai mare decât aproximativ $20xD$ în exemplul studiat cele două valori diferă cu aproximativ $0,5\%$.

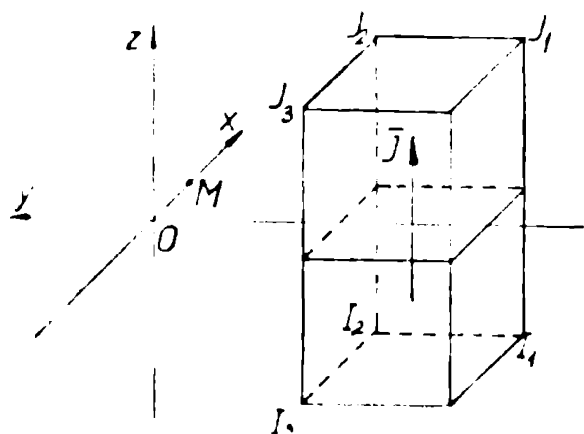
- Pentru o bară de lungime dată, L , aproximarea cu o bară masivă, de lungime infinită poate fi făcută acceptabil numai pentru puncte suficient de apropiate de aceasta (în exemplul analizat $D \approx L/20$). Astfel pentru o bară de 5 m lungime și un punct în care se calculează câmpul aflat la mai mult de 1 m de bară, erorile, pentru exemplul analizat sînt mai mari sau egale cu $7,5\%$.

În cazul aproximării cu un conductor filiform infinit, la distanțe mici față de bară apar erori datorate în special neglijării la calcule a secțiunii transversale finite a barei reale.

Rezultatele obținute cu metoda și programul elaborat pentru bare masive de lungime finită sînt în concordanță cu celelalte metode de calcul.

c. Bară de lungime finită conform /4.2/

Cu metoda și programul prezentat a fost analizată o bară de lungime finită și secțiune dreptunghiulară conform /4.2/. Bara reprezentată în fig.4.7, are coordonatele x,y,z ale punctelor din colțuri /cm/: $I_1(1.0,-5.0,-5.0)$, $I_2(1.0,-3.0,-5.0)$, $I_3(-1.0,-3.0,-5.0)$



$$J_1(1.0, -5.0, 5.0),$$

$$J_2(1.0, -3.0, 5.0),$$

$$J_3(-1.0, -3.0, 5.0).$$

iar densitatea de curent

$$J = 0.625 \cdot 10^3 \text{ A} \cdot \text{m}^{-2}.$$

În tabelul 2 sînt indicate cîteva din valorile inducției magnetice calculate cu programul BLP3, paragraful 4.1, comparativ cu cele din /4.2/.

Fig.4.7. Bară de lungime finită conform exemplului /4.2/

Tabelul 2

x	y	z	B x /T/		B y /T/	
			BLP3	/4.2/	BLP3	/4.2/
0.	0.	0.	-97939E-06	-97735E-06	-2406E-10	0.
0.25	0.	0.	-97491E-06	-97288E-06	.60618E-07	.6049E-07
0.5	0.	0.	-96167E-06	.95967E-06	.11962E-06	.11937E-06
.75	0.	0.	.94027E-06	.93831	.17547E-06	.17513E-06
.10		0.	.91163E-06	.90972E-06	.22694E-06	.22649E-06
1.25	0.	0.	.87690E-06	.87507E-06	.27303E-06	.27247E-06
1.5	0.	0.	.83742E-06	.83567E-06	.31305E-06	.31240E-06
1.75	0.	0.	.79453E-06	.79287E-06	.34670E-06	.34598E-06
2.0	0.	0.	.74952E-06	.74794E-06	.37397E-06	.37319E-06
2.25	0.	0.	.70355E-06	.70207E-06	.39508E-06	.39426E-06
2.50	0.	0.	.65761E-06	.65623E-06	.41049E-06	.40962E-06
2.75	0.	0.	.61254E-06	.61124E-06	.42072E-06	.41984E-06
3.00	0.	0.	.56893E-06	.56773E-06	.42642E-06	.42552E-06
3.25	0.	0.	.52725E-06	.52613E-06	.42820E-06	.42730E-06
3.50	0.	0.	.48778E-06	.48675E-06	.42670E-06	.42580E-06
3.75	0.	0.	.45072E-06	.44976E-06	.42850E-06	.42161E-06
4.00	0.	0.	.41612E-06	.41523E-06	.41612E-06	.41523E-06

Valorile inducției după O_z , B_z , sînt nule în ambele cazuri.

Rezultatele calculate cu programul BLP3 sînt în bună concordanță cu cele calculate de S.Sackett, la Lawrence Livermore Laboratory, /4.2/.

d. Aproximarea unei spire circulare masive, cu bare de lungime finită

În fig.4.8 se prezintă o spirală circulară masivă parcursă de curent, avînd raza interioară 0.1m, raza exterioară 0.15m, lungimea 0.05m, iar densitatea medie de curent în secțiune $50 \text{ A} \cdot \text{mm}^{-2}$ și modul ei de aproximare prin 6 bare masive.

În fig.4.8 este prezentat doar un mod în care pot fi aranjate barele, alte posibilități, apropiate de cea prezentată, nu sînt excluse.

Odată cu creșterea numărului segmentelor de bară care aproximează spira masivă, razele cercurilor loc geometric, pe care se află vîrfurile poligonului interior, respectiv exterior, care aproximează proiecția în plan a spirei, tind spre cercurile de rază 0.1 m și 0.15 m, interioare, respectiv exterioare spirei reale. Au fost efectuate calcule, considerînd numărul de segmente de bară, NSEG, care aproximează spira reală, cuprins între 5 și 100..

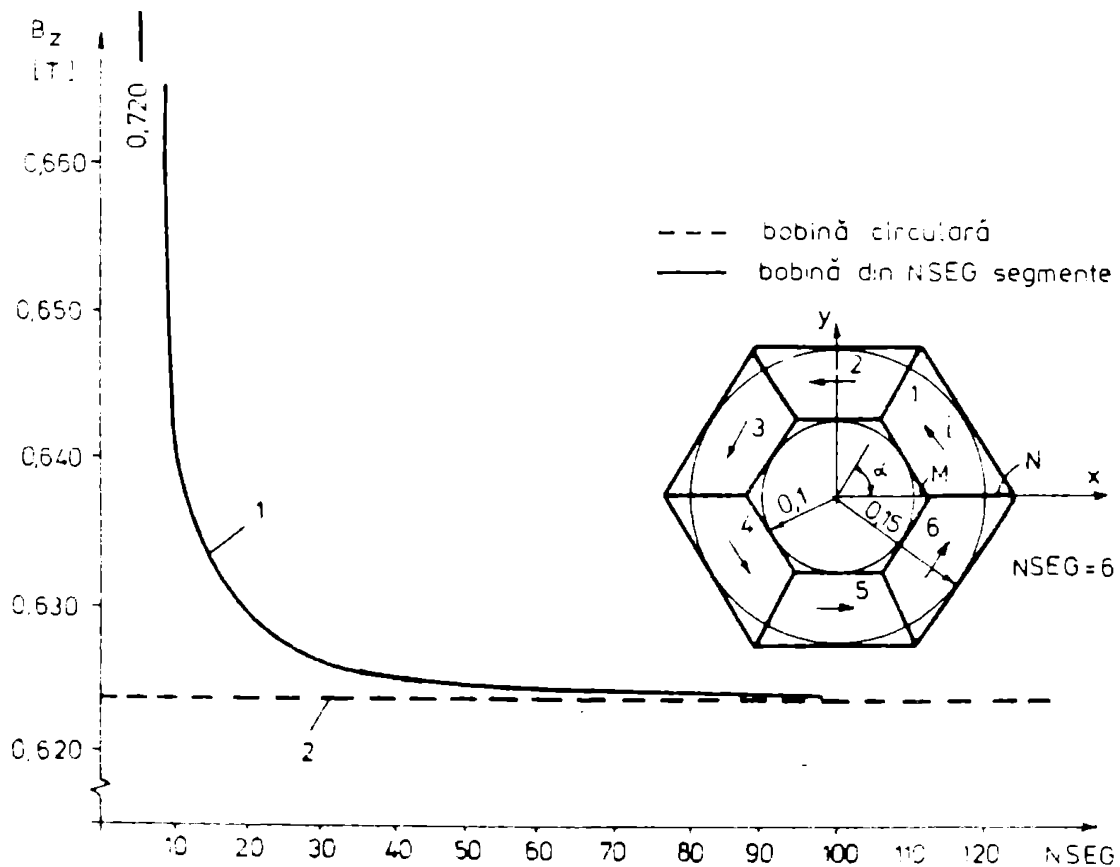


Fig.4.8. Aproximarea unei spire circulare masive cu bare de lungime finită; 1- variația inducției în punctul central, $B(0,0,0)$, cu numărul de segmente care aproximează spira; 2 - $B(0,0,0)$, pentru spira circulară.

Inducția magnetică în punctul din centrul spirei, $B(0,0,0)$, calculată pentru o aproximare a acesteia cu un număr de segmente de bară, NSEG, cuprins între 5 și 100, este prezentată în fig.4.8. Pentru comparație, s-a trasat cu linie întreruptă și cîmpul magnetic calculat pentru spira circulară analizată.

În tabelul 3 sînt prezentate, pentru cîteva puncte, valorile inducției magnetice calculate pentru o spirală circulară masivă, respectiv cele determinate aproximînd aceasta, conform fig.4.8 cu 20 respectiv 40 bare de lungime finită.

Tabelul 3

x /m/	y /m/	z /m/	B _x /T/			B _z /T/		
			Spiră	20 și 40 bare		Spiră	20 bare	40 bare
0.	0.	0.	0.	z.	.623687	.62887	.62499	
0.02	0.	0.	0.	z	.635664	.64118	.63707	
0.04	0.	0.	0.	z	.675312	.68192	.67700	
0.06	0.	0.	0.	z	.756574	.76573	.75891	
0.08	0.	0.	0.	z	.917104	.93195	.92071	
0.09	0.	0.	0.	z	1.05190	1.07215	1.05700	
0.10	0.	0.	0.	z	1.24237	1.17798	1.22609	
0.11	0.	0.	0.	z	.861644	.78903	.84652	
0.12	0.	0.	0.	z	.520156	.45868	.50144	
0.13	0.	0.	0.	z	.188163	.12417	.17043	
0.14	0.	0.	0.	z	̄165016	̄22954	̄18444	
0.15	0.	0.	0.	z	̄56827	̄54605	̄56199	
0.16	0.	0.	0.	z	̄40284	̄33337	̄39929	

$$z = 0,2 \cdot 10^{-6} \dots 0,1 \cdot 10^{-8} .$$

Rezultatele obținute, arată o concordanță bună pentru puncte exterioare căii de curent. Pentru puncte aflate în interiorul bobinei reale sau în apropierea suprafeței acesteia, erorile cresc. Aceste erori se datorează modului de aproximare a căii de curent reale, tor cu secțiune dreptunghiulară, cu poliedre. Astfel puncte foarte apropiate, dar interioare, M, respectiv exterioare N, bobinei reale, fig.4.8, pot să se afle în exteriorul, M, respectiv în interiorul, N, căii de curent de calcul, formată din bare de lungime finită.

În tabel, punctele având $x=0.1$ respectiv $x=0.15$ se află la suprafața interioară respectiv exterioară a bobinei din fig.4.8. Valoarea lui B_x din tabelul 3 pentru cazul aproximării cu 20 respectiv 40 de segmente a spirei circulare masive, a fost cuprinsă între $0,2 \cdot 10^{-6}$ și $0,1 \cdot 10^{-8}$ și în tabel a fost scris z.

Atunci, cînd s-a făcut aproximarea oăii de curent, cu bare de lungime finită, nu s-a utilizat nici o ipoteză restrictivă din punct de vedere al formei și poziției spațiale a acestora și prin urmare exemplul prezentat arată posibilitatea calculului cîmpului magnetic la căi de curent masive, cu traseu spațial oarecare.

e. Calculul cîmpului magnetic produs de o spirală masivă

Rezultatele obținute cu metoda elaborată și programul BLF3 au fost comparate cu cele obținute de F.Melkes /4.1/, pentru o spirală dreptunghiulară cu secțiune transversală dreptunghiulară.

Dimensiunile spirii analizate sînt conform fig.4.9a, iar densitatea de curent (J) este $0.15625 \cdot 10^9 \text{ A}\cdot\text{m}^{-2}$.

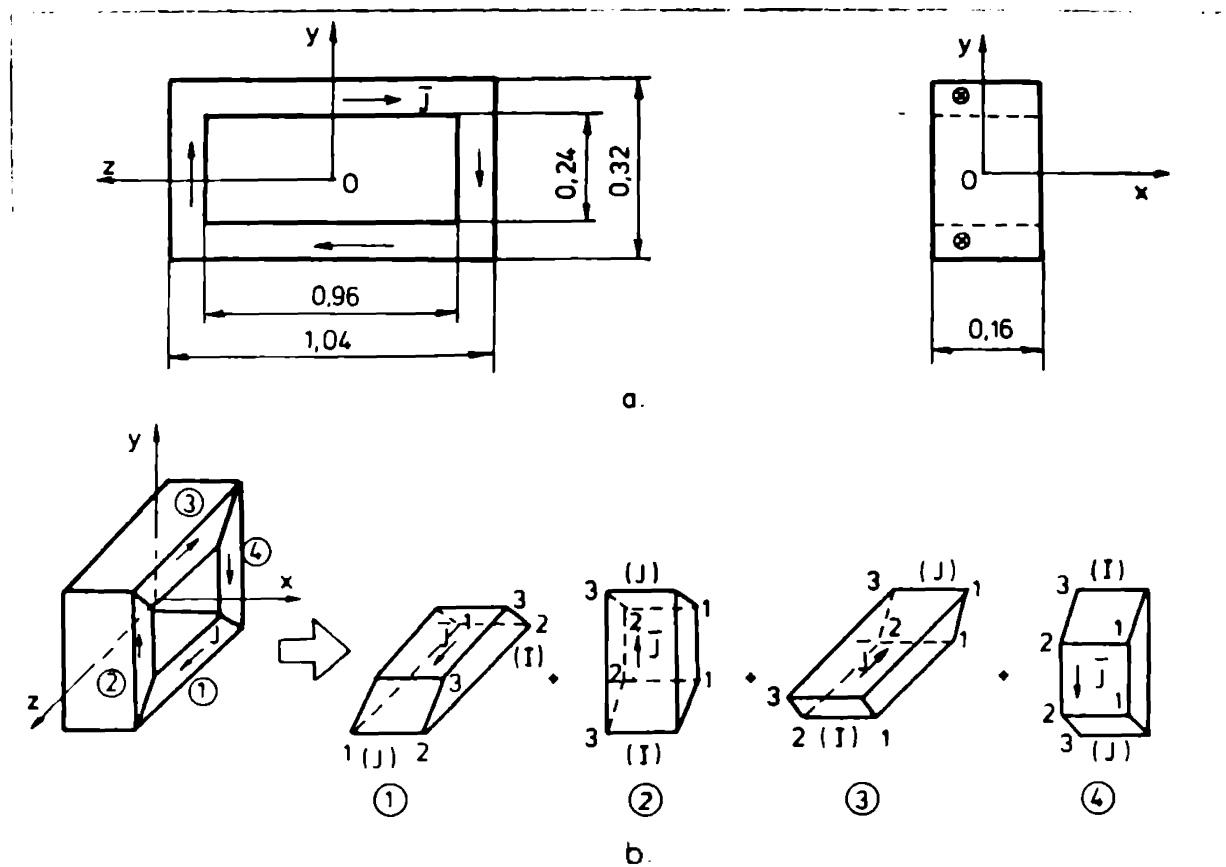


Fig.4.9. Spirală masivă: a. dimensiunile spirii (mm), b. modul de aproximare pentru calcul cu 4 bare de lungime finită.

Pentru calculul cîmpului magnetic, spira masivă a fost descompusă în patru bare masive, de lungime finită avînd două fețe oblice, fig.4.9 b, și se suprapun efectele.

Rezultatele obținute diferă numai la cifra patra semnificativă, fiind și în acest caz în bună concordanță cu cele din literatură.

4.2. Calcule numerice privind forțele electrodinamice la căi de curent masive

4.2.1. Programe de calcul ale forțelor electrodinamice la conductoare masive

Avînd la bază metodele și relațiile de calcul prezentate în subcapitolul 3.2, privind calculul forțelor electrodinamice la căi de curent masive și cvasi masive, au fost elaborați algoritmi de calcul și realizate programe FORTRAN pentru determinarea forțelor.

i.) Programul PEDMAS, permite calculul forței exercitate între două bare masive, cu poziție spațială arbitrară, conform celor prezentate la "cazul de bază", paragraful 3.2.1.2.1., fig.3.15. Bara asupra căreia se calculează forța este un paralelipiped.

Descrierea formei geometrice și a poziției spațiale a barelor analizate, se face prin furnizarea coordonatelor, punctelor 1,2,3 de la capătul (I) respectiv (J) al barelor, fig.3.15, față de un sistem de referință triortogonal. Acestea, împreună cu curenții prin barele analizate constituie datele inițiale.

Organigrama programului de calcul a forței electrodinamice între două bare cu poziție arbitrară, conform paragrafului 3.2.1.2.1, este prezentată în fig.4.10 iar unele rezultate calculate cu acest program în paragraful 4.2.2.

ii) Calculul forțelor electrodinamice între două bare masive de lungime finită, cu poziție spațială oarecare, fig.3.19 a, are la bază metoda prezentată în paragraful 3.2.1.2.3. Bara asupra căreia se calculează forța este cu capete oblice plane. Aceasta se descompune, pentru calcul, într-o porțiune paralelipipedică și o "pană" parcursă de curent.

Calculul forței electrodinamice asupra porțiunii prismatice triunghiulare - "pană" - are la bază metoda și relațiile prezentate în paragraful 3.2.1.2.2. Organigrama de calcul a forței electrodinamice pentru acest caz este prezentată în fig.4.11, făcîndu-se referiri la notațiile și relațiile din paragraful menționat, precum și la fig.3.18. Pentru porțiunea paralelipipedică sînt valabile cele prezentate de cazul i).

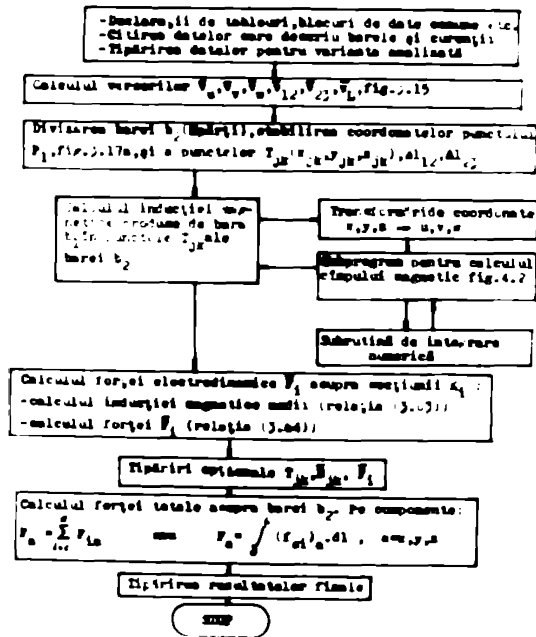


Fig.4.10. Organigrama programului FEDMAS de calcul a forței electrodinamice între 2 bare parcurse de curenți (par.3.2.1.2.1)

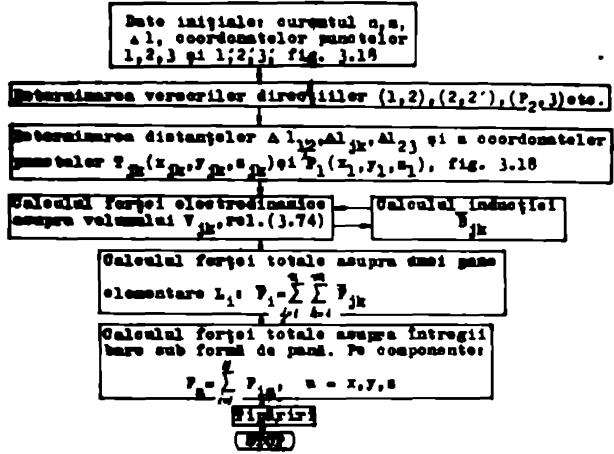


Fig.4.11. Organigrama de calcul a forței electrodinamice pentru o pană parcursă de curenți (paragraful (3.2.1.2.2.))

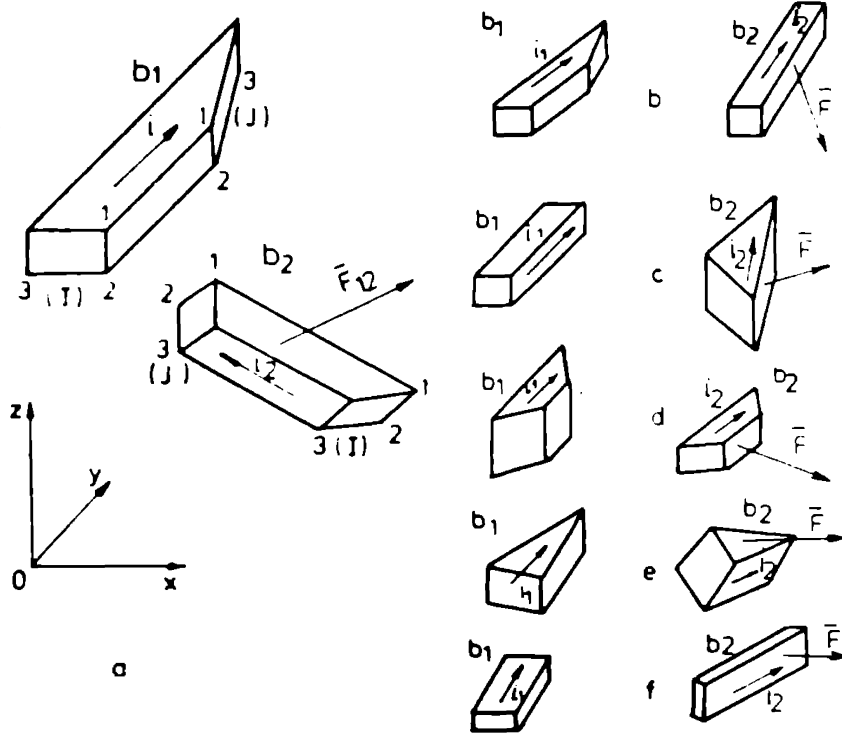


Fig.4.12 Bare cu poziție arbitrară pentru care poate fi utilizat programul FEDMAS. a. cazul general; b, c, d, e, f cazuri particulare.

... a fost elaborat un program de calcul al forțelor electrodinamice denumit FEDMAS, care permite calculul forței produse de bara b_1 asupra curei b_2 pentru cazul general al barelor negative, cu fețe oblice plane și poziție spațială oarecare. În fig. 4.12 sînt prezentate câteva exemple de bare pentru care se poate efectua

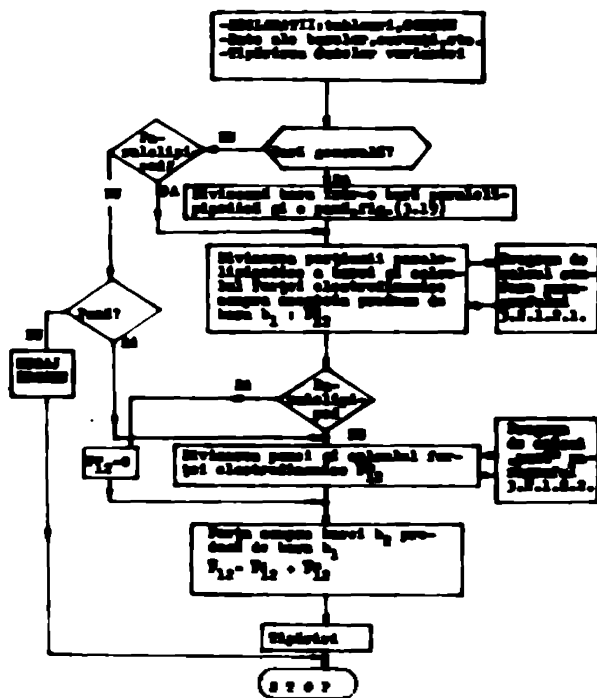


Fig.4.13. Organigrama programului PRDIA3, pentru bare masive oarecare (pgf.3.2.1.2.3)

calculul forței electrodinamice.

In cazul general, fig. 4.12a, calculul se face decompunând bara b_2 într-o bară paralelipipedică și o penă parcurasă de curenți.

In cazul când b_2 este paralelipiped sau penă, se alege automat unul din algoritmi corespunzători.

iii) In cazul câștilor de curenți masive, cu traseu spațial oarecare, calculul forțelor electrodinamice se face aproximându-le cu bare cu capete oblice plane, "pene" parcurse de curenți, conform fig.3.20, paragraful 3.2.2.1.

Intr-o primă variantă se poate calcula forța asupra unei bare, evaluând succesiv forțele produse de toate barele de calcul ale câștii de curenți asupra acesteia.

La cea de a 2-a variantă forța se calculează pornind de la divizarea barei în volume elementare, folosind metoda descrisă în paragraful 3.2.1.2.1.

In volumele elementare, inducția magnetică este produsă de toată calea de curenți care conține bara analizată.

Calculul forței electrodinamice exercitate asupra unei bare, utilizând prima variantă, care evaluează forțele între perechi de bare, permite evidențierea contribuției la forța totală, a barelor învecinate acesteia și deci stabilirea unor măsuri constructive raționale. Cea de-a doua variantă nu permite decât calculul forței totale asupra barei analizate.

iv) In cazul câștilor de curenți evasimasive conform celor precizate și ipotezelor admise în paragraful 3.2.2.2 problema calculului forțelor electrodinamice se reduce la calculul forțelor între un

număr oarecare de conductoare filiforme, rectilinii, finite cu poziție spațială arbitrară.

Programul de calcul, scris în limbajul FORTRAN, și denumit FED, permite, pentru cazul unor conductoare reale, cu secțiune circulară, din material nemagnetic și poziție spațială arbitrară, având sau nu coturi să se calculeze :

- Forțele electrodinamice produse de toate celelalte conductoare asupra unor conductoare precizate de utilizator.

- Forța electrodinamică produsă asupra unui conductor de oricare alt conductor. Programul permite, la o rulare calculul pentru câteva zeci de perechi de astfel de conductoare.

- Distribuția componentelor forțelor electrodinamice specifice în lungul conductorului analizat.

- Forțele electrodinamice rezultante F_x, F_y, F_z și punctul de aplicație al acestora față de un sistem triortogonal $xOyz$ și față de un capăt al barei analizate.

Datele inițiale de calcul precizează geometria sistemului de bare și curenții prin bare. În program se generează automat, având la bază geometria reală a căii de curent, coordonatele de calcul pentru conductoarele analizate (subprogramul GC), identificând conductoarele care formează coturi și determinând scurtările corespunzătoare, 3.2.2.2. Pentru cazul conductoarelor flexibile, formând o săgeată dependentă de tensiunea din fir, caz des întâlnit în stațiile de transformare și de distribuție, se face aproximarea, pentru calcul, a acestora cu un contur poligonal de bare parcurse de curent. Un subprogram ajutor (CPCC) realizează aceasta pornind de la coordonatele punctelor de fixare a conductorului, de la săgeată și de la numărul de laturi dorite pentru conturul poligonal de aproximare.

O cartelă generală de comandă (pentru program) și trei grupuri de cartele de date permit descrierea unor forme geometrice complicate ale căii de curent, care ar implica scrierea a zeci de cartele de date, printr-un număr, uneori, cu aproape un ordin de mărime mai mic de astfel de cartele. Subprogramele GC și CPCC permit o descriere ușoară a formelor reale ale căilor de curent cvasimasive.

O variantă a programului FED, denumită FEDINT calculează forța totală asupra unei bare prin integrare numerică a forțelor specifice în lungul barei. Cu cele două variante s-au obținut rezultate practic identice.

Organigrama programului FED este prezentată în fig.4.14.

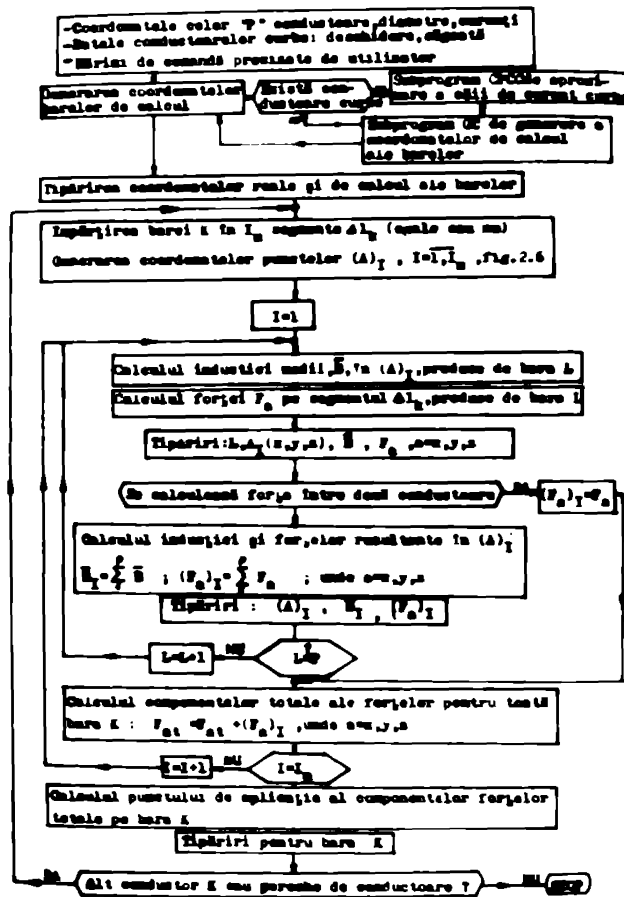


Fig.4.14. Organigrama programului la calcul al forțelor electrodinamice la conductoare cvasimasive (FED)

4.2.2. Rezultate calculate privind forțele electrodinamice la conductoare masive

Conductoare masive parcurse de curent se întâlnesc frecvent în instalațiile industriale și pentru dimensionarea lor corespunzătoare, este necesară cunoașterea forțelor electrodinamice care acționează asupra lor.

Pentru câteva cazuri, se calculează, utilizând metodele prezentate în paragraful 3.2 și programele descrise în paragraful 4.2.1, forțele electrodinamice totale și pe unitatea de lungime. Rezultatele sînt comparate cu cele obținute cu metodele clasice aproximative, acolo unde acest lucru este posibil, cu cele obținute considerînd conductoare filiforme și cu unele rezultate din literatură.

a. Bare paralele, masive de lungime finită.

Au fost analizate 5 perechi de bare, notate V1...V5 de lungime finită, avînd forma secțiunii și distanțele dintre ele, prezentate în fig.4.15 și în tabelul 4.

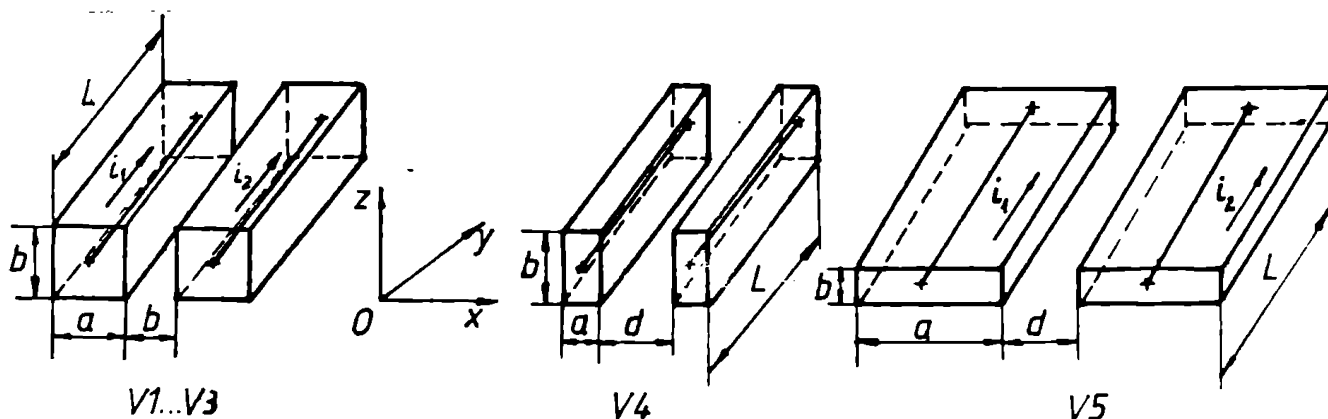


Fig.4.15. Variantele (V1...V5) analizate pentru bare paralele de lungime finită

Tabelul 4

Varianta	V1	V2	V3	V4	V5
d /m/	0.032	0.064	0.128	0.032	0.032
a /m/	0.05	0.05	0.05	0.008	0.05
b /m/	0.05	0.05	0.05	0.05	0.008
$i_1=i_2$ /A/	15000	15000	15000	15000	15000
$L_1=L_2$ /m/	0.2	0.2	0.2	0.2	0.2

Conductoarele filiforme, trasate în axa de simetrie a barelor masive, fig.4.15, au aceeași lungime ca și bara reală și sînt parcurse de același curent.

Pentru cazurile din fig.4.15 au fost comparate forțele electro-dinamice calculate utilizînd : metoda de la bare masive și programul FEMAS, fig.4.10, metoda de la conductoare cvasimasive și programul FED, fig.4.14, relațiile clasice pentru conductoare filiforme paralele de lungime finită, relația (3.51), și respectiv relațiile clasice^{aproximative} pentru conductoare masive utilizînd atât factorul de scurtare cît și factorul Dwight, relația (3.54), paragraful 3.2.1.1. În cazul relațiilor clasice aproximative pentru conductoare paralele, masive, finite, (3.54), calculele s-au făcut pentru două distanțe dintre bare a' , distanța folosită de obicei în calcule și respectiv pentru a_D , fig.3.14.

Rezultatele obținute pentru forțele electrodinamice la variantele analizate sînt prezentate în tabelul 5.

Forțe electrodinamice /N/

Tabelul 5

Metoda	Conductor masiv finit		Conductor filiform finit	
	Prg. FEMAS (fig.4.10)	Metoda clasică a'	Prg. FED (fig.4.16)	Met. clasică (rel.(3.51))
V1	74.679	94.53 - 74.36	73.596	73.613
V2	46.542	57.63 - 45.87	45.859	45.871
V3	22.933	27.67 - 22.68	22.683	22.687
V4	145.84	159.3 - 153.7	184.346	184.45
V5	92.347	101.4 - 79.7	73.596	73.613

Forțele electrodinamice, calculate pentru bare masive, evidențiază, în exemplul analizat, posibile supraevaluări, cu pînă la aproximativ 25%, în cazul folosirii metodelor clasice, uzuale și a distanței a', fig.3.14, dintre conductoare.

De asemenea, în cazul calculării forțelor electrodinamice dintre două bare masive și paralele, utilizînd două conductoare filiforme finite, plasate în axa barelor reale, rezultatele obținute pot fi atît mai mari cît și mai mici decît forțele reale dintre bare masive. Prin urmare, în astfel de situații întîlnite în practică, nu se poate aprecia nici măcar dacă se face o supra sau o subevaluare a forțelor.

Pentru variantele V1...V5, analizate, fig.4.15, distribuția forțelor specifice în lungul barelor, calculată cu programul FEMAS,

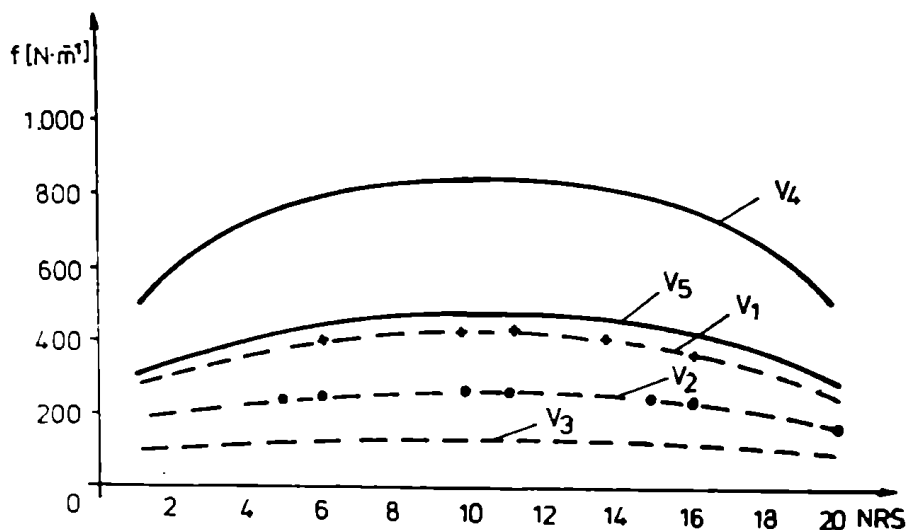


fig.4.10, este prezentată în fig.4.16.

Barele au fost împărțite în 20 de segmente, numerotate de la un capăt al barei. În fig.4.16 forțele specifice sînt trasate în funcție de numărul segmentului aparținînd barei.

Fig.4.16. Repartiția forțelor specifice /N.m⁻¹/ în lungul barelor analizate, variantele V1...V5.

Se observă o scădere a valorii forțelor specifice spre capetele barelor respectiv un platou, cu forță aproximativ constantă, în zona de mijloc a acestora.

b. Bare masive, de lungime finită, neparalele, fără puncte comune

Sînt analizate două cazuri de perechi de bare, prezentate în fig.4.17. Astfel cazul i) analizează forțele totale și distribuția forțelor specifice pentru 2 bare ale căror axe formează un unghi de 90° , barele neavînd puncte comune. Cazul ii) analizează 2 bare cu poziție spațială oarecare.

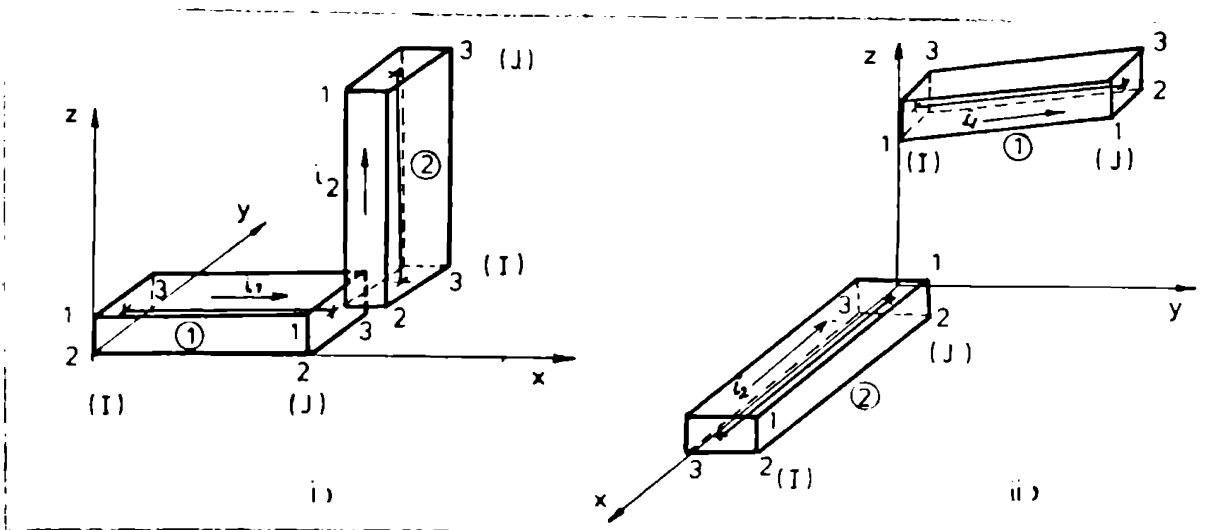


Fig.4.17 Bare masive, neparalele, de lungime finită

În fig.4.17 au fost desenate cu linie groasă, și conductoarele filiforme de lungime finită, avînd lungimile egale cu cele ale barelor analizate și plasate în centrul de greutate al secțiunii pentru fiecare bară.

Pentru un exemplu de calcul, coordonatele colțurilor 1,2,3, (I) respectiv (J), ale conductoarelor masive analizate sînt :

i)

bara 1(I) 1,2,3 : 0.0,0.0,0.02;0.0,0.0,0.0;0.,0.03,0.0;

bara 1(J) 1,2,3 :0.2,0.,0.02;0.2,0.0,0.0;0.2,0.03,0.0;

bara 2(I) 1,2,3 :0.201,0.0,0.021;0.221,0.0,0.021;0.221.
0.03,0.021;

bara 2(J) 1,2,3 :0.201,0.0,0.221;0.221,0.0,0.221;0.221,
0.03,0.221;

ii)

bara 1(I) 1.2.3 :0.0,0.0,0.082;-0.05,0.0,0.082;-0.05,0.0,0.132;

bara 1(J)1,2,3 :0.0,0.15,0.20;-0.05,0.15,0.20;-0.05,0.15,0.25;

bara 2(I)1,2,3 :0.2,0.05,0.05;0.2,0.05,0.0;0.2,0.0,0.0;

bara 2(J)1,2,3 :0.01,0.05,0.05;0.01,0.05,0.0;0.01,0.0,0.0;

Distanțele se măsoară în m iar curenții prin bare sînt 15 kA.

Forțele electrodinamice exercitate asupra barelor 1 și 2 din fig.4.17, pentru cazurile i) și ii), considerînd pentru calcul bare masive finite, programul PEDMAS, respectiv filiforme finite, programul F&D, sînt prezentate în tabelul 6.

Tabelul 6

Bara	Cazul	F_x /N/		F_y /N/		F_z /N/	
		Masiv	Filiform	Masiv	Filiform	Masiv	Filiform
2	i	41.301	42.968	0.	0.	0.	0.
2	ii	0.	0.	-11.133	-10.848	-8.758	-8.534
1	i	0.	0.	0.	0.	-41.301	-42.968
1	ii	-13.513	13.365	0.0	0.0	0.0	0.0

Distribuția forțelor electrodinamice specifice $/N.m^{-1}/$, în lungul barelor analizate, este prezentată în figura 4.18. De remarcat distribuția pronunțat neuniformă pentru toate componentele forțelor. În abscisă s-a trecut numărul segmentului (NRS) pentru care s-a calculat forța. Bara este împărțită astfel încît segmentul cu numărul i este la capătul I și numărul segmentului crește spre capătul J.

Diferențele, sub 5%, dintre forțele calculate considerînd barele masive și finite, respectiv filiforme, finite, plasate în centrul de greutate al secțiunii barelor, fig.4.17, sînt puse pe seama secțiunii apropiate de un pătrat a barelor, în cazul analizat.

Pentru astfel de forme ale secțiunii factorul Dwight are valori foarte apropiate de 1.

În cazul altor forme ale secțiunii barelor diferențele pot fi sensibil mai mari.

Căi de curent conștinând bare masive de lungime finită, fără puncte comune, se întâlnesc frecvent în cazul echipamentelor electrice din stațiile de distribuție și transport ale energiei electrice.

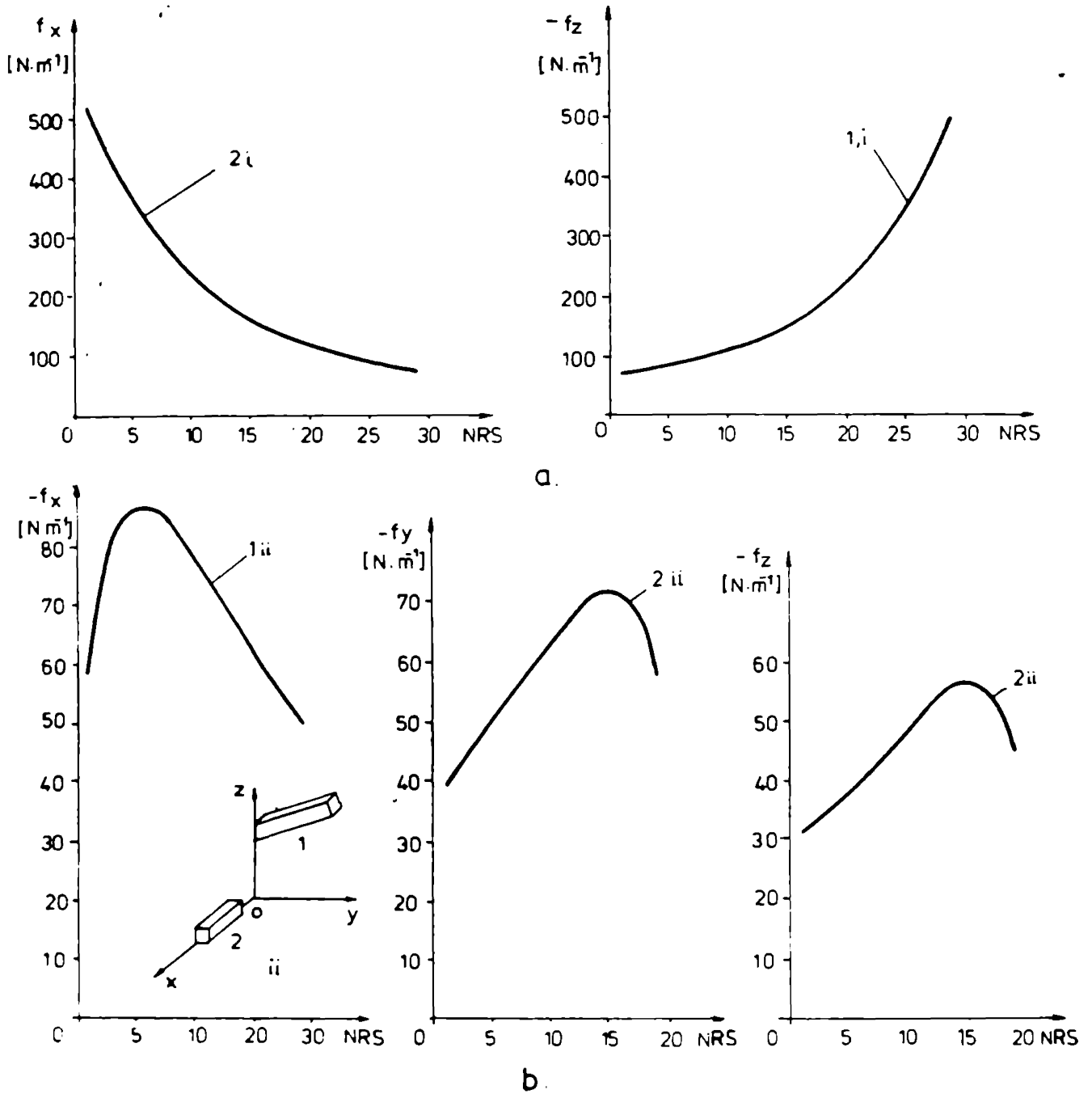


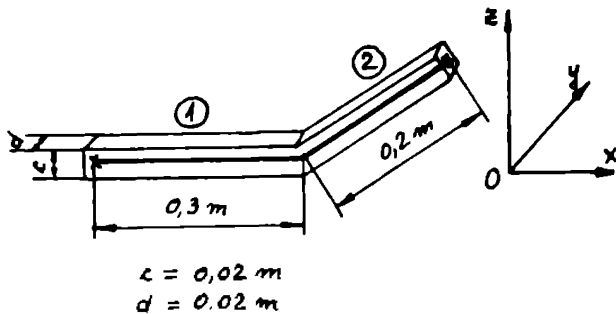
Fig.4.18. Distribuția forțelor specifice $[N \cdot m^{-1}]$ pentru bare masive fără puncte comune, cu poziție spațială oarecare.
 a. distribuția lui f_x și f_z în lungul barelor în cazul 1);
 b. distribuția pentru cazul ii), fig.4.17.

c. Bare masive formînd un cot

Calculul forțelor electrodinamice la coturi implică cunoașterea distribuției reale a densității curentului și a valorilor inducției magnetice totale în volumul cotului analizat. Pornind de la acestea este posibilă, în principiu, găsirea forțelor electrodinamice locale și totale. Relațiile de calcul utilizate în prezent pentru coturi, nu iau în considerare distribuția reală a curentului în cot și sînt

date pentru un număr restrîns de geometrii ale cotului. În /3.11/, pornind de la distribuția calculată a densității curentului continuu la coturi, aproximînd liniile densității de curent în secțiune cu un mînunchi de conductoare filiforme, iar traseul fiecăruia dintre acestea cu un contur poligonal, se determină forțele electrodinamice la coturi, calculînd forțele de interacțiune pentru toate conductoarele elementare filiforme, finite și suprapunînd efectele. Se ajunge astfel la un număr mare de interacțiuni care trebuie determinate (pînă la $4 \cdot 10^4$ într-un exemplu) și la utilizarea calculatorului numeric.

Considerînd două bare formînd un cot de 150° , fig.4.19, se calculează forțele la cot utilizînd metoda prezentată în paragraful 3.2.2.1, cotul fiind considerat o porțiune a unei căi de curent, și se compară cu rezultate din /3.11/. Dimensiunile cotului sînt prezentate în fig. 4.19 iar curentul este 1kA.



Pentru calculul forțelor electrodinamice la cot acesta a fost divizat într-un număr redus de bare și pene parcurse de curent așa cum au fost descrise în paragraful 3.2.2.1. Forțele electrodinamice au fost calculate cu programul FEDMAG, fig.4.13. În fig.4.20 a, b, c sînt prezentate unele posibilități de modelare pentru calcul a coturilor masive analizate, iar în fig.4.20 d,

Fig.4.19. Bare formînd un cot. 1 și 2 laturile cotului

alura liniilor de curent pentru un cot de 150° , parcurs de curent continuu /3.11/.

Barele care aproximează cotul masiv se consideră cu densitate de curent constantă. Fiecare din ele interacționează cu toate barele de calcul.

De asemenea s-a ținut cont că, deși se consideră ca și cum fiecare bară ar contribui la câmpul magnetic și la forțele electrodinamice, acestea nu pot fi considerate individual ci numai toate împreună formînd calea de curent.

În fig.4.20 a, traseul real al liniilor de curent este aproximat prin două porțiuni unde acestea sînt considerate paralele, cotul de calcul fiind aproximat cu două bare cu densitate de curent constantă.

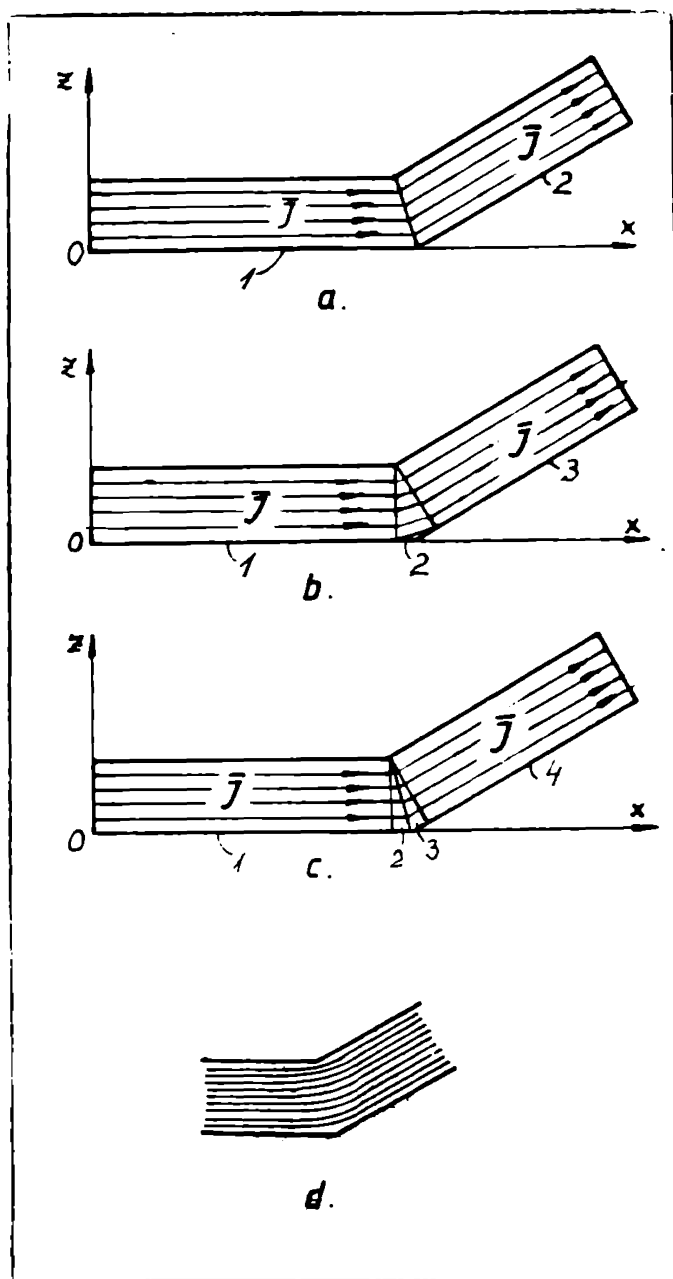


Fig.4.20a, b, c. Moduri de aproximare pentru calcul a cotului masiv; d. alura liniilor densității de curent, calculată în /3.11/

Iar forța după x , F'_{2x} , va fi atribuită numai laturii 2, întrucît pe latura 1, fig.4.19, care are liniile densității de curent în lungul axei O_x , nu pot exista forțe după O_x . Cu aceste observații forțele pentru cotul fizic (real) analizat sînt :

$$(F_{1x})_{\text{real}} = 0$$

$$(F_{1z})_{\text{real}} = F_{31z} + F_{21z} + F'_{2z} / 2 = - 0.0786 \text{ N}$$

Forța produsă asupra barei 2 se calculează din relația $F_2 = F_{12} + F_{22}$, unde notația $F_{a b}$ denumește forța produsă de bara a asupra barei b.

Forța F_{22} este zero în cazul barelor paralelipipedice.

În tabelul 7 sînt prezentate rezultatele calculate.

În fig.4.20 b cotul este aproximat prin două bare paralelipipedice și o penă parcursă de curent.

Forțele de interacțiune calculate pentru cele 3 bare din cazul b, fig.4.20, sînt prezentate în tabelul 8

Asupra porțiunii până a cotului, 2, fig.4.20b, forțele datorate porțiunilor 1, 2 și 3 sînt :

$$F'_{2x} = - 0.006 \text{ N} ,$$

$$F'_{2z} = 0.023 \text{ N} .$$

Aceste forțe de calcul vor contribui la forțele asupra celor două laturi ale cotului real fig.4.19

Astfel forța după z , F'_{2z} se împarte între cele două laturi ale cotului real,

Tabelul 7

Unghiul cotului	Forța P	$F_x/N/$	$F_y/N/$	$F_z/N/$
190°	P_{12}	0.051	0.	- 0.089
	P_{22}	- 0.006	0.	0.010
	$\bar{P}_2 = P_{12} + P_{22}$	0.045	0.	- 0.079

Tabelul 8

Unghiul cotului	Forța P	$F_x/N/$	$F_y/N/$	$F_z/N/$
190°	P_{11}	0.	0.	0.
	P_{12}	- 0.002	0.	0.008
	P_{13}	0.035	0.	- 0.061
	P_{21}	0.	0.	- 0.0151
	P_{22}	- 0.002	0.	0.007
	P_{23}	0.0077	0.	- 0.0136
	P_{31}	0.	0.	- 0.075
	P_{32}	- 0.002	0.	0.008
	P_{33}	0.	0.	0.

$$(F_{2x})_{\text{real}} = F_{13x} + F_{23x} + F_{2x}^i = 0.0367 \text{ N}$$

$$(F_{2z})_{\text{real}} = F_{13z} + F_{23z} + F_{2z}^i/2 = - 0.0631 \text{ N.}$$

In tabelul 9 sînt comparate rezultatele calculate utilizînd programul FEDRAG, cu cele determinate pentru același cot utilizînd metoda aproximativă din /3.11/.

Tabelul 9

Cotul	Bara	Metoda prezentată		Metoda /3.11/	
		$F_x/N/$	$F_z/N/$	$F_x/N/$	$F_z/N/$
150°	1	a	-	-	
		b	0.	-0.0786	0.
	2	a	0.045	-0.079	
		b	0.0367	-0.0631	0.036

Rezultatele obținute sînt în concordanță cu cele din literatură și evidențiază o nouă posibilitate de calcul a forțelor electrodinamice la coturi masive.

d. Forțe electrodinamice la o cale de curent masivă.

Se consideră o cale de curent masivă avînd forma unei spire circulare cu raza interioară 0.1 m, raza exterioară 0.15 m, lungimea 0.025 m și parcursă de un curent de 62500A. Se aproximează această cale de curent cu bare de lungime finită. Într-un exemplu de calcul prezentat sînt 6 astfel de bare, egale, avînd vîrfurile așezate pe suprafața cilindrică interioară respectiv exterioară a spirei analizate, fig.4.21a.

Secționînd spira circulară, conform fig.4.21 b, se remarcă forțele de repere F_R activînd în secțiunea acesteia.

Calculul acestor forțe de rupere se poate face pentru cazul analizat ținînd cont că, datorită simetriei pe fiecare din cele 6 bare acționează o forță F .

Scriînd echilibrul forțelor, fig.4.21 b se obține

$$F_R = \frac{1}{2} (F + 2F \cos 60^\circ) = F.$$

Forța F aupra uneia din cele 6 bare masive de lungime finită, de exemplu bara 1, se calculează ținînd cont de interacțiunea cu toate barele care formează calea de curent :

$$F = F_{11x} + F_{21x} + F_{31x} + F_{41x} + F_{51x} + F_{61x} ,$$

relație care, ținînd cont de simetria existentă, devine

$$F = F_{11x} + 2F_{21x} + 2F_{31x} + F_{41x} .$$

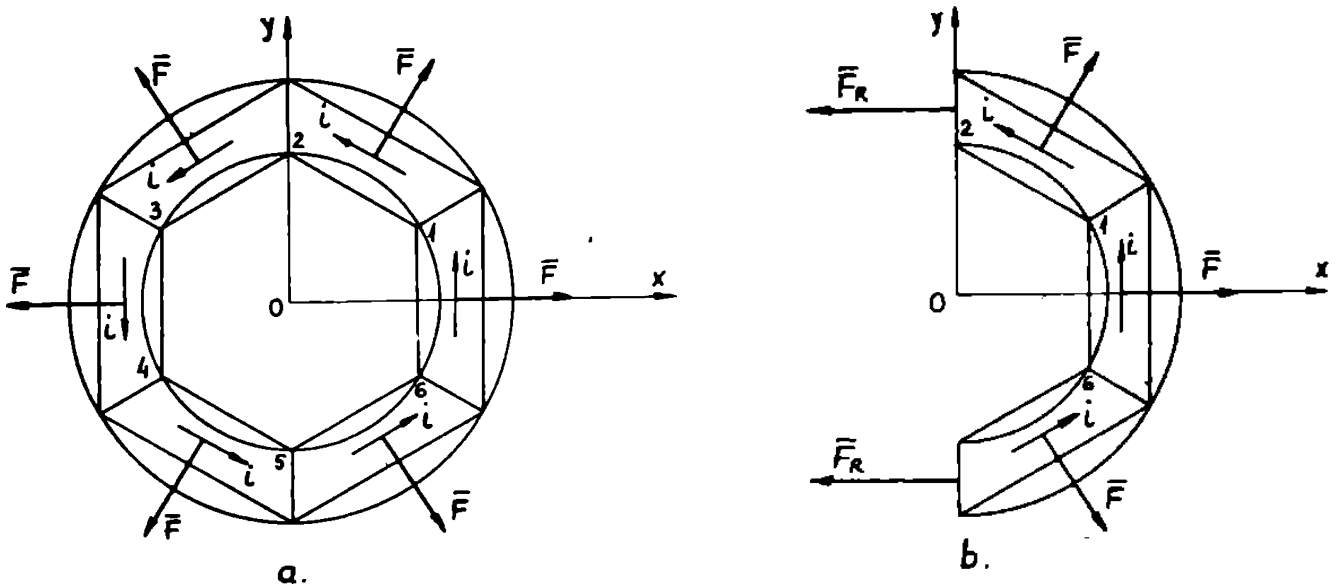


Fig.4.21 a. Calea de curent masivă, avînd forma unei spire circulare și aproximarea ei cu bare de lungime finită. b. evidențierea forțelor de rupere F_R .

Utilizînd programul FEDMAG au fost calculate forțele de interacțiune între bare obținîndu-se următoarele rezultate :

$$F_{11x} = 98.65 \text{ N}; F_{21x} = 440.4 \text{ N}; F_{31x} = 145.25 \text{ N}; F_{41x} = 119.99 \text{ N}$$

și în final valoarea forței $F = F_R = 1192.64 \text{ N}$.

Valoarea forței de rupere la bobina analizată a fost calculată de asemenea utilizînd relația simplificată utilizată pentru spire circulare, /3.8/, obținîndu-se $F_R = 1236.2 \text{ N}$.

Relațiile de calcul din /4.20/ pentru forța de rupere la spire circulare conduc la $F_R = 1212.15 \text{ N}$, iar programul FBAAAS, elaborat pentru calculul forțelor la bobine circulare cu aceeași axă de simetrie, paragraful 4.4, avînd la bază metoda din paragraful 3.4.1.2, conduce la $F_R = 1205.4 \text{ N}$.

Rezultatele obținute sînt în bună concordanță cu alte metode de calcul ale forței de rupere la spire masive.

Metoda de calcul prezentată, constînd în aproximarea căii de curent masive cu bare de lungime finită și apoi calculul forțelor electrodinamice de interacțiune dintre acestea, este generală permițînd calculul forțelor electrodinamice la căi de curent masive, cu formă și poziție spațială arbitrară.

4.3. Calcule numerice privind câmpul magnetic produs de bobine

4.3.1. Programul de calcul al câmpului magnetic

Metoda de calcul a câmpului magnetic prezentată în subcapitolul 3.3, este generală, fiind aplicabilă atât la bobine circulare cât și ne-circulare, pentru întreaga bobină sau numai pentru un segment. Pentru elaborarea unor programe de calcul s-au avut în vedere bobine circulare cu aceeași axă de simetrie, situație frecvent întâlnită în practică și segmentul de bobină circulară, care poate fi utilizat la aproximarea pentru calcul a unor câi de curent de formă oarecare.

Determinarea valorilor intensității câmpului magnetic la un segment de bobină, bobină sau grupuri de bobine fără fier, are la bază o integrare numerică și suprapunerea efectelor.

Integrarea numerică, după θ , de la θ_1 la θ_2 la un segment de bobină, respectiv de la 0 la 2π pentru o bobină, a funcțiilor $F\theta N_x(\theta)$, $F\theta N_y(\theta)$ și $F\theta N_z(\theta)$, paragraful 3.3.1, se face utilizând subprograme din biblioteca matematică a calculatorului FELIX, INSEM și INROM.

O bobină dintr-un grup analizat, este complet definită în cadrul programului prin atașarea unui număr de ordine și indicarea razei, interioare, razei exterioare, a coordonatelor $Z_{1,i}$ și $Z_{2,i}$ a planului paralel cu xOy în care se află porțiunea inferioară respectiv superioară a bobinei, fig.3.27 și a densității medii de curent. În cazul segmentelor de bobină se precizează și limitele de integrare θ_1 și θ_2 , care pentru bobine sînt implicit 0 respectiv 2π .

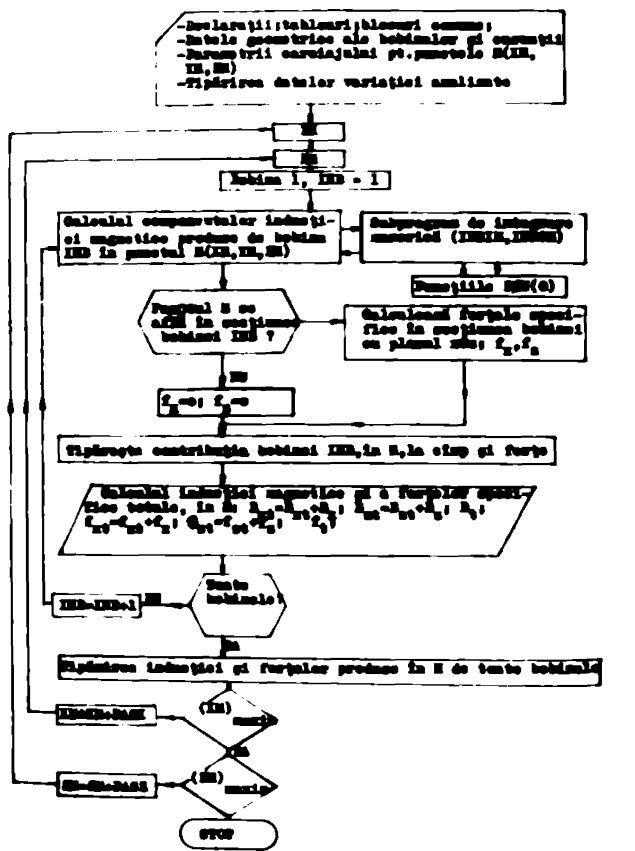
Programul de calcul realizat, pentru grupuri de bobine circulare cu aceeași axă de simetrie, denumit CBCAAS, permite, pentru un grup de astfel de bobine - 50 într-o variantă a programului, dar numărul acestora poate fi cu ușurință extins, următoarele:

- generarea, pornind de la coordonatele punctului inițial și final și a unor pași, precizați de utilizator, a coordonatelor punctelor în care se dorește calcularea câmpului;
- calculul, în punctele dorite ale componentelor inducției magnetice, a inducției magnetice rezultante și a unghiului făcut de aceasta cu axa O_x , fig.3.27, pentru fiecare bobină
- calculul în punctele dorite a componentelor inducției magnetice rezultante, a inducției magnetice rezultante și a unghiului față de O_x a acesteia

- determinarea faptului că punctul de calcul se află într-o bobină, și calcularea în acest caz a forțelor specifice (componentele, rezultanta și unghiul față de O_x) produse în acel punct de fiecare bobină în parte cît și de toate bobinele împreună
- tipărirea pentru fiecare punct de calcul atât a inducției magnetice cît și a forțelor electrodinamice specifice calculate conform celor precizate mai sus.

Avînd în vedere faptul că la o bobină circulară sau la grupuri de bobine circulare cu aceeași axă de simetrie, cîmpul magnetic este plan meridian, calculele se efectuează în planul xOz , x_M și z_M variabili, calculîndu-se B_x și B_z , $B_y=0$. Această observație permite economisirea timpului de calcul.

Organigrama programului realizat este prezentată în fig.4.22.



O variantă a acestui program calculează toate cele trei componente B_x, B_y, B_z ale inducției magnetice, în orice punct $M(x_M, y_M, z_M)$. Ea permite calculul cîmpului magnetic la o bobină în plane paralele cu xOz ($y_M \neq 0$) și la segmente de bobină. În acest caz trebuie precizate în program și valorile unghiurilor θ_1 și θ_2 care delimitază segmentul analizat.

Fig.4.22. Organigrama programului pentru calculul inducției magnetice și a forțelor electrodinamice specifice pentru bobine circulare cu dimensiuni și poziție reciprocă carecare, avînd aceeași axă de simetrie (CBCAAS)

4.3.2. Rezultate calculate privind câmpul magnetic produs de bobine

Bobine fără circuit feromagnetic se întâlnesc frecvent în instalațiile industriale, atât ca bobine izolate (singulare) cât și formând grupuri.

Metoda de calcul și programul elaborat, prezentate în subcapitolul 3.3, au fost comparate, pentru câteva cazuri, cu rezultatele obținute folosind metode analitice respectiv cu rezultate întâlnite în literatură. De asemenea vor fi prezentate unele rezultate calculate pentru bobine și grupuri de bobine și unele verificări teoretice ale programelor utilizând legea circuitului magnetic.

a. Bobină circulară. Calculul câmpului pe axa bobinei.

Se consideră o bobină circulară având raza interioară 0.1 m, raza exterioară 0.15 m, lungimea 0.05 m și densitatea de curent medie $50 \text{ A} \cdot \text{mm}^{-2}$. Axa O_z al unui sistem de referință $xOyz$, coincide cu axa bobinei, iar originea 0 este în centrul bobinei. Valorile inducției magnetice în lungul axei, pentru diferite valori ale lui z , calculate analitic [3.2/], respectiv efectuând o integrare numerică, conform metodei prezentate (programul CBCAAS), precum și diferența absolută și abaterea în procente între cele două valori calculate în Anexa 1. Precizia folosită la programul de integrare numerică este 0.001. Valorile inducției magnetice calculate folosind cele două metode pot fi considerate practic egale, abaterile fiind mai mici de 0.02%, pentru punctele calculate.

b. Câmpul magnetic pentru o bobină circulară conform /4.2/

Se analizează câmpul magnetic produs de o bobină circulară, având raza interioară 0.48 m, raza exterioară 0.52 m, lungimea 0.04 m iar densitatea de curent medie $62,5 \text{ A} \cdot \text{mm}^{-2}$, /4.2/.

Utilizând programul de calcul al câmpului magnetic pentru bobine circulare (CBCAAS), se calculează valorile componentelor inducției magnetice, pentru puncte $M(x_M, y_M, z_M)$ dintr-un plan care conține axa bobinei. Valorile de comparație au fost calculate în /4.2/ cu programul EPPF de la Lawrence Livermore Laboratory. În anexa 2 sînt prezentate cele două seturi de valori. La integrarea numerică în programul CBCAAS precizia folosită a fost 0.0001.

Concordanța valorilor pentru cele două moduri de calcul este în limita sutimilor și zecimilor de procent, pentru câteva puncte

concordanța fiind la toate cele cinci cifre semnificative pentru care s-a efectuat calculul.

c. Câmpul magnetic pentru puncte din secțiunea bobinei, /3.22/

Pentru un exemplu numeric din /3.22/, au fost recalulate, utilizând programul CBCAAS fig.4.22 și se prezintă în Anexa 3, valorile inducției magnetice pentru o serie de puncte $M(x_M, 0, z_M)$. Aceste puncte se află în planul $y=0$ al unui sistem de axe de coordonate $xOyz$ avînd axa O_z - axa bobinei, iar originea - centrul bobinei. Unele din punctele analizate se află în suprafața secțiunii, bobinei, care are raza interioară 0.3 m, raza exterioară 0.4 m, lungimea 0.52 m iar densitatea de curent medie $57.7 \text{ E}+06 \text{ A.m}^{-2}$. În /3.22/ autorul, F.Melkes, compară rezultatele calculate, cu rezultate din /3.23/.

În tabelul prezentat în Anexa 3 cele trei valori calculate pentru componentele B_x și B_z ale inducției magnetice sînt identificate prin : CBCAAS - valoare calculată și respectiv numărul referinței bibliografice. Valorile calculate cu programul CBCAAS s-au obținut utilizînd o precizie de 0.001, la integrarea numerică, exceptînd punctele de la suprafața bobinei unde aceasta a fost 0.0003 și s-a lucrat în dublă precizie. Se observă foarte bine concordanța a valorilor calculate utilizînd programul elaborat, cu cele din două surse bibliografice, independente, atît pentru puncte exterioare bobinajului cît și pentru cele interioare și respectiv de la suprafața acestuia. Pentru acestea din urmă, rezultatele obținute sînt și o confirmare a valabilității modului de calcul cu trecere la limită prezentat în paragraful 3.3.2.

d. Distribuția câmpului magnetic la o bobină circulară

Pentru bobina de la cazul a., paragraful 4.3.2. (raza interioară 0.1 m, raza exterioară 0.15 m, lungimea 0.05 m și densitatea medie de curent 50 A.mm^{-2}) se prezintă câteva curbe tipice de distribuție ale inducției magnetice. Calculele au fost efectuate cu programul CBCAAS, punctele de calcul aflîndu-se în planul xOz , care conține axa bobinei respectiv într-un plan paralel cu acesta aflat la o distanță de 0.05 m.

În fig.4.23 a fost reprezentată distribuția componentei B_x , paralele cu O_x a inducției magnetice. Se observă un maxim al componentei B_x aflat la suprafața bobinei ($s=0.025$).

Distribuția componentei B_z , paralele cu O_z , a inducției magnetice se prezintă în fig. 4.24.

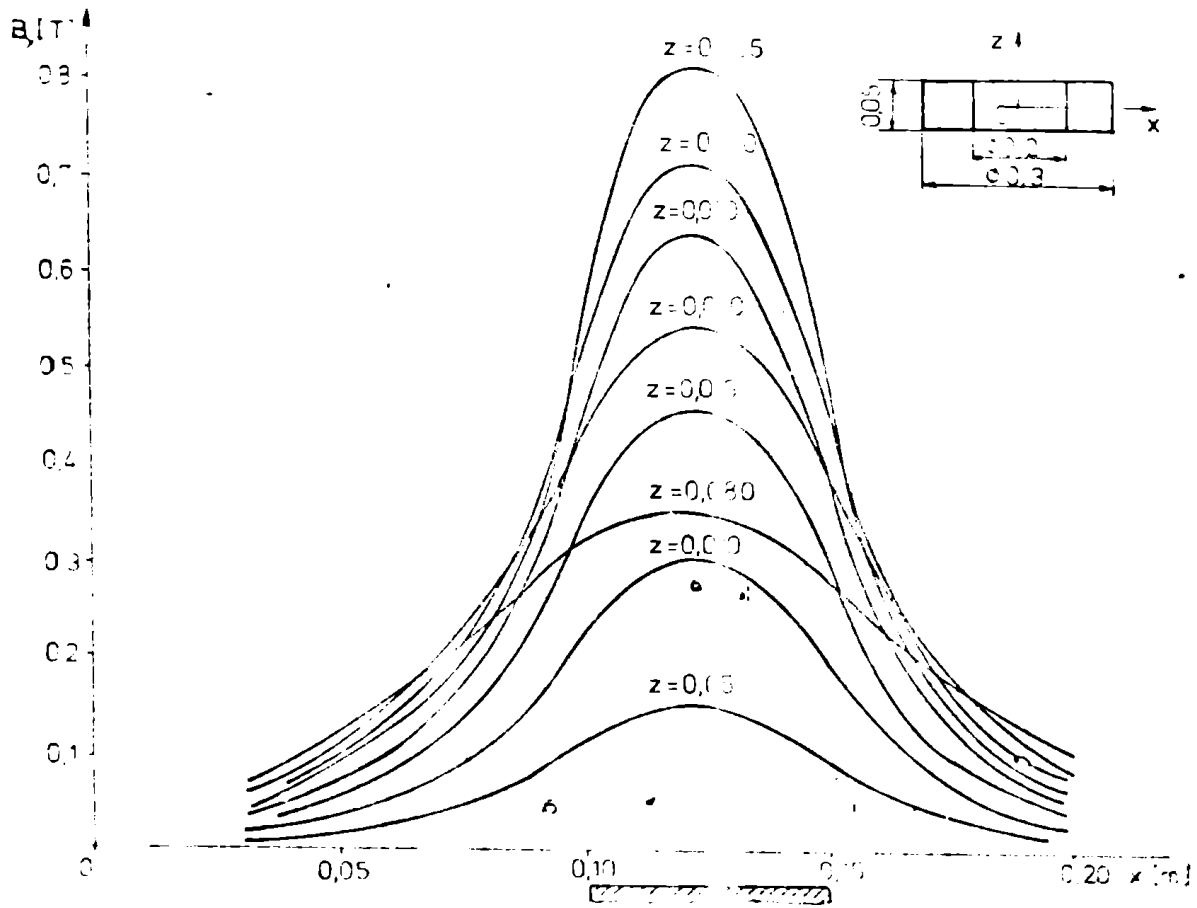


Fig.4.23. Distribuția componentei B_z a inducției magnetice, pentru o bobină circulară.

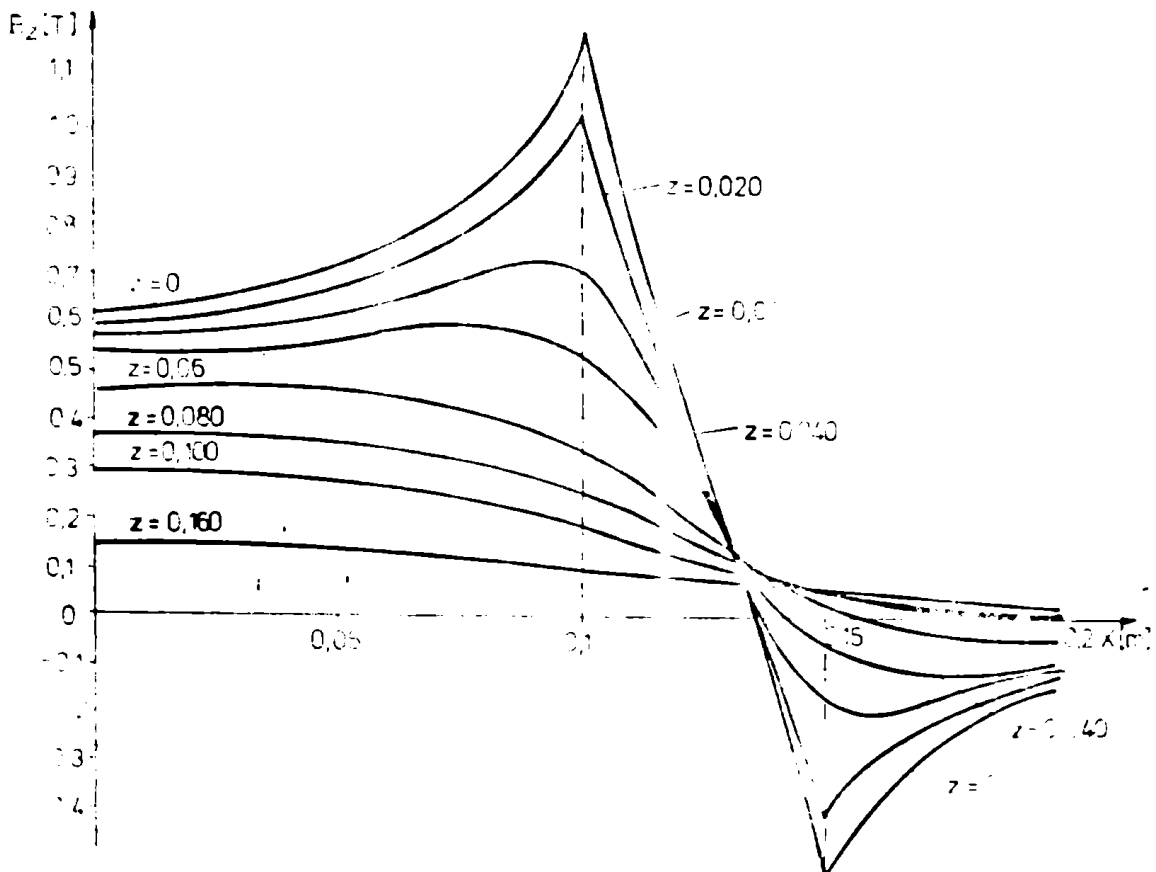


Fig. 4.24. Distribuția componentei axiale, B_z , a inducției magnetice în planul xOx , pentru o bobină circulară

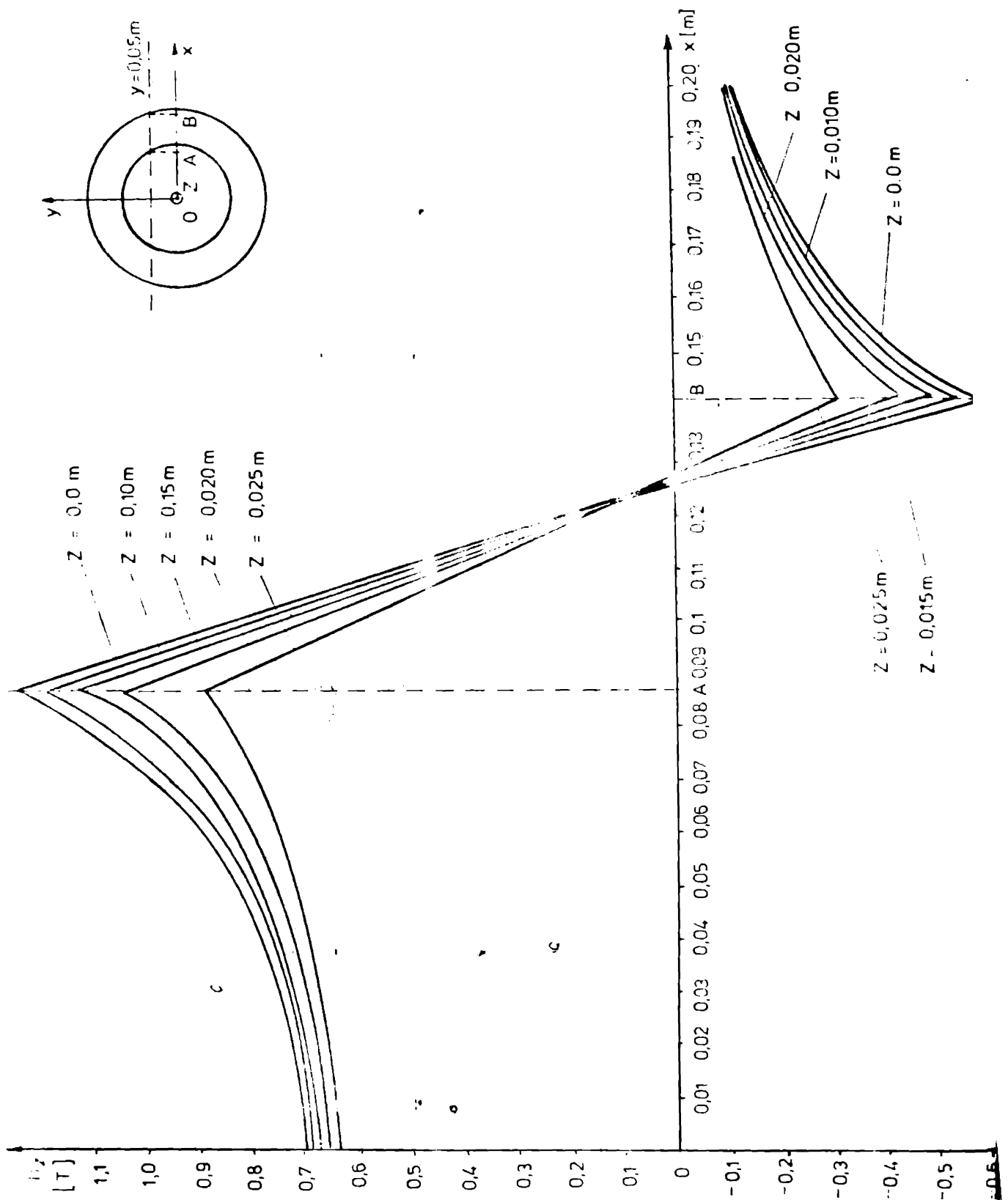


Fig. 4.25 Distribuția după x , a componentei B_z a inducției magnetice într-un plan paralel cu xOz : $y = 0,05$ m

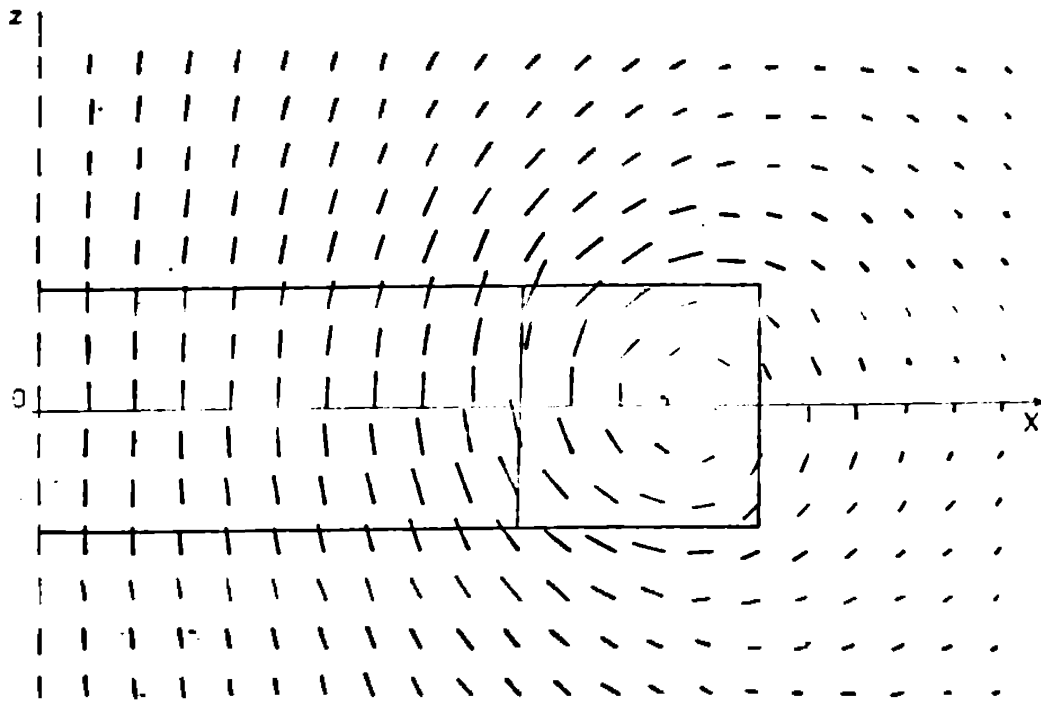


Fig. 4.28 SPECTRUL CÎMPULUI MAGNETIC ÎN PLANUL xOz
A FOST REPREZENTAT $B = B_x \bar{i} + B_z \bar{k}$

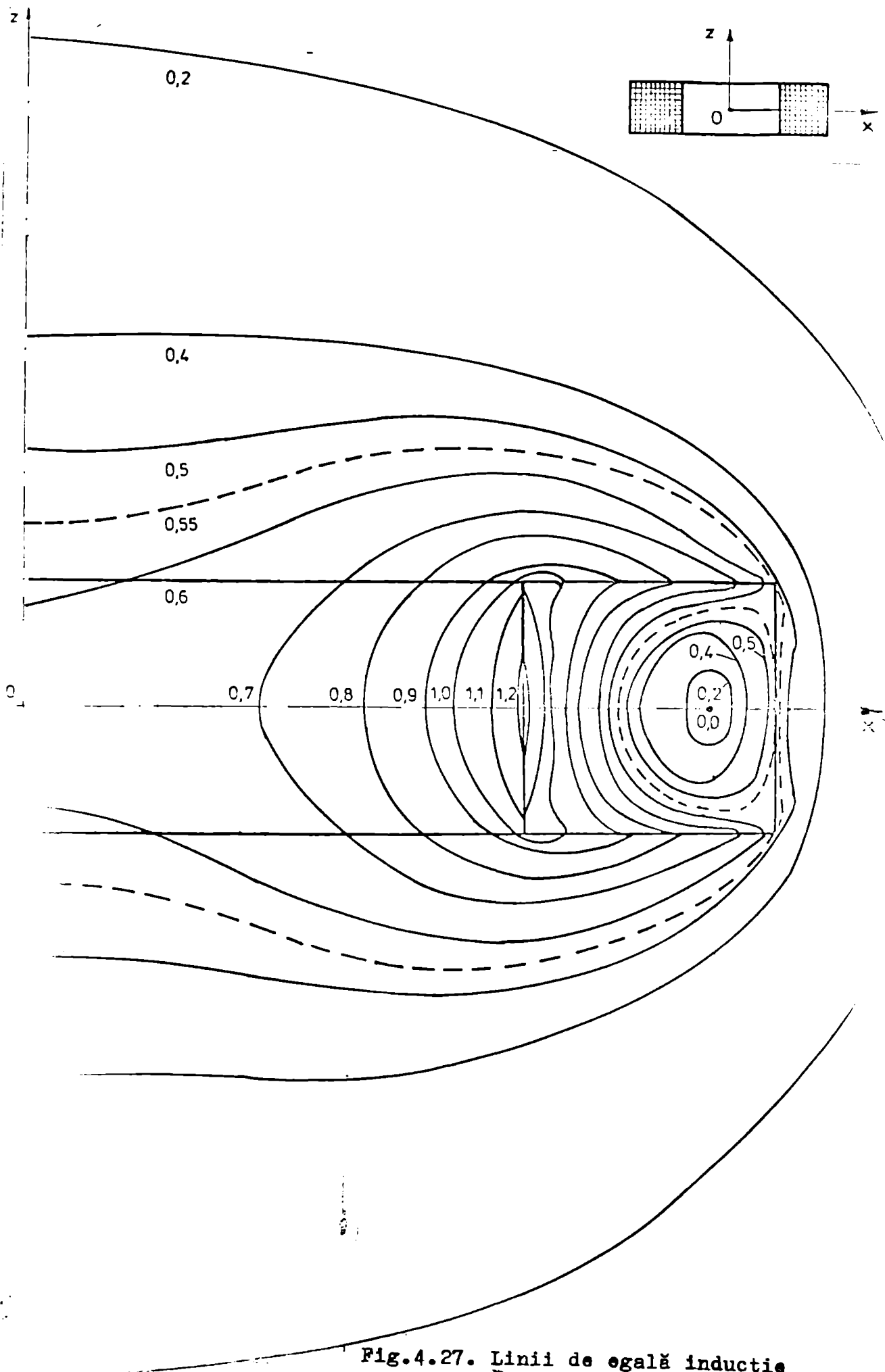


Fig.4.27. Linii de egală inducție
 $B = \text{const.}$

Se remarcă un maxim al inducției magnetice la $x=0.1$ m (suprafața interioară a bobinei) în planul $z=0$, o variație aproximativ liniară a inducției B_z în interiorul bobinajului și un maxim local la suprafața exterioară a bobinei, dar mai mic în valoare absolută.

În fig.4.25, a fost reprezentată distribuția componentei B_z a inducției magnetice într-un plan paralel cu xOz , $y=0.05$ m. Se observă că cele două maxime locale au aceeași valoare ca și în fig.4.24, dar apar la alte valori ale lui x . Având în vedere că în acest caz $y=0.05$ m, rezultă imediat că punctele respective se află de fapt tot la suprafața bobinei, adică la 0.1 m respectiv 0.15 m, după sașă.

Spectrul câmpului magnetic la o bobină circulară este prezentat în fig.4.26. A fost trasat în planul xOz , conținând axa bobinei vectorul inducție magnetică rezultantă. Scara de reprezentare $1\text{cm} \dots 1\text{T}$. Liniiile de egală inducție $B = \text{const.}$ sînt reprezentate în fig.4.27, iar distribuția după x , a inducției rezultante, în fig.4.28. Curbele $B = \text{const.}$ sînt utile în special la bobinele supraconductoare, pentru alegerea optimă a tipului de material supraconductor pentru bobinaj. Alte curbe privind distribuția inducției magnetice la o bobină circulară au fost prezentate în /4.4/, /4.9/ și /4.10/.

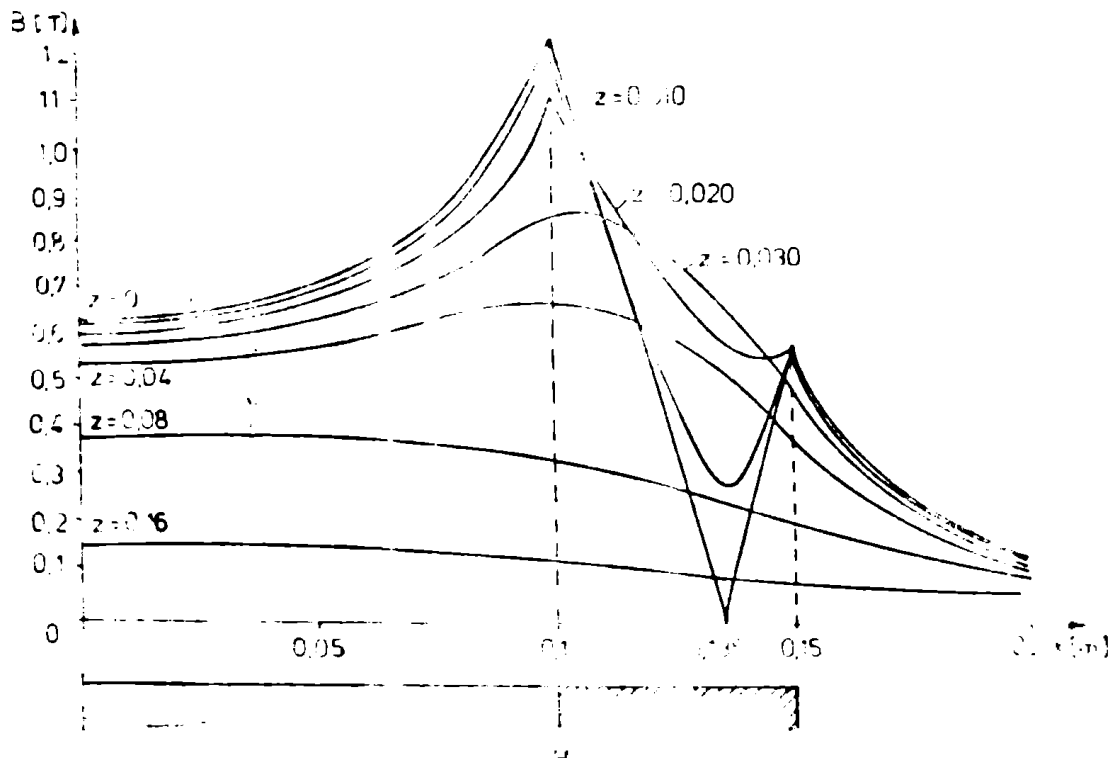


Fig.4.28. Distribuția inducției magnetice rezultante într-un semiplan meridian al bobinei analizate.

e. Grup de bobine cilindrice de aceeași lungime

Se consideră o bobină formată din trei subbobine cilindrice circulare, separate de canale de răcire, fig.4.29 a. Pentru calculele de câmp, această bobină poate fi considerată formată din trei subbobine cu densitate de curent constantă, sau poate fi modelată printr-o singură bobină, fără canale de răcire și cu o densitate medie de curent echivalentă, constantă, fig.4.29 b.

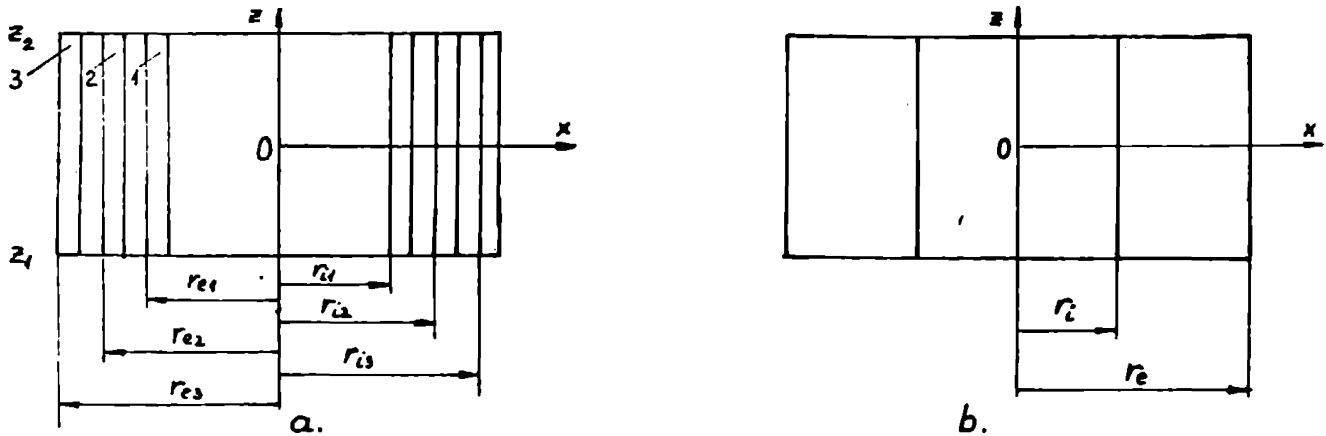


Fig.4.29. Bobină cu trei înfășurări cilindrice a., și modelul echivalent, b.

Datele bobinelor analizate sînt $z_1 = -0.05$ m; $z_2 = 0.05$ m; $r_{i1} = 0.05$ m, $r_{i2} = 0.07$ m, $r_{i3} = 0.09$ m, $r_{e1} = 0.06$ m, $r_{e2} = 0.08$ m, $r_{e3} = 0.01$ m, $r_i = 0.045$ m, $r_e = 0.105$ m. Densitățile de curent sînt $50 \cdot 10^6$ A.m⁻² pentru bobinele din fig.4.29 a, respectiv $25 \cdot 10^6$ A.m⁻², pentru bobina din fig.4.29 b, astfel încît solenația totală să fie egală în cele două cazuri.

Distribuția radială a componentei axiale (B_z) a inducției magnetice ^{produsă} de subbobinele 1- B_{z1} , 2- B_{z2} , 3- B_{z3} , la $z = 0$, este prezentată în fig.4.30 A. Inducția magnetică totală produsă de bobina din fig.4.30 A, $(B_z)_a$, are o variație "dințată". Maximele locale corespund razei interioare a subbobinelor iar minimele locale razei exterioare a acestora. Câmpul produs de bobine care modelează cazul real $(B_z)_b$ are o variație netedă între suprafața interioară și exterioară a bobinei. Se observă o bună concordanță între câmpul real $(B_z)_a$ și cel modelant $(B_z)_b$ în exteriorul volumului ocupat de spire. În bobină, diferențele dintre cazurile a și b sînt importante. Se poate aprecia că modelarea este eficace, din punctul de vedere al timpului de calcul care se reduce, în cazul cînd interesează inducția B_z în afara bobinajului, dar nu poate fi acceptată la calculul forțelor electrodinamice specifice.

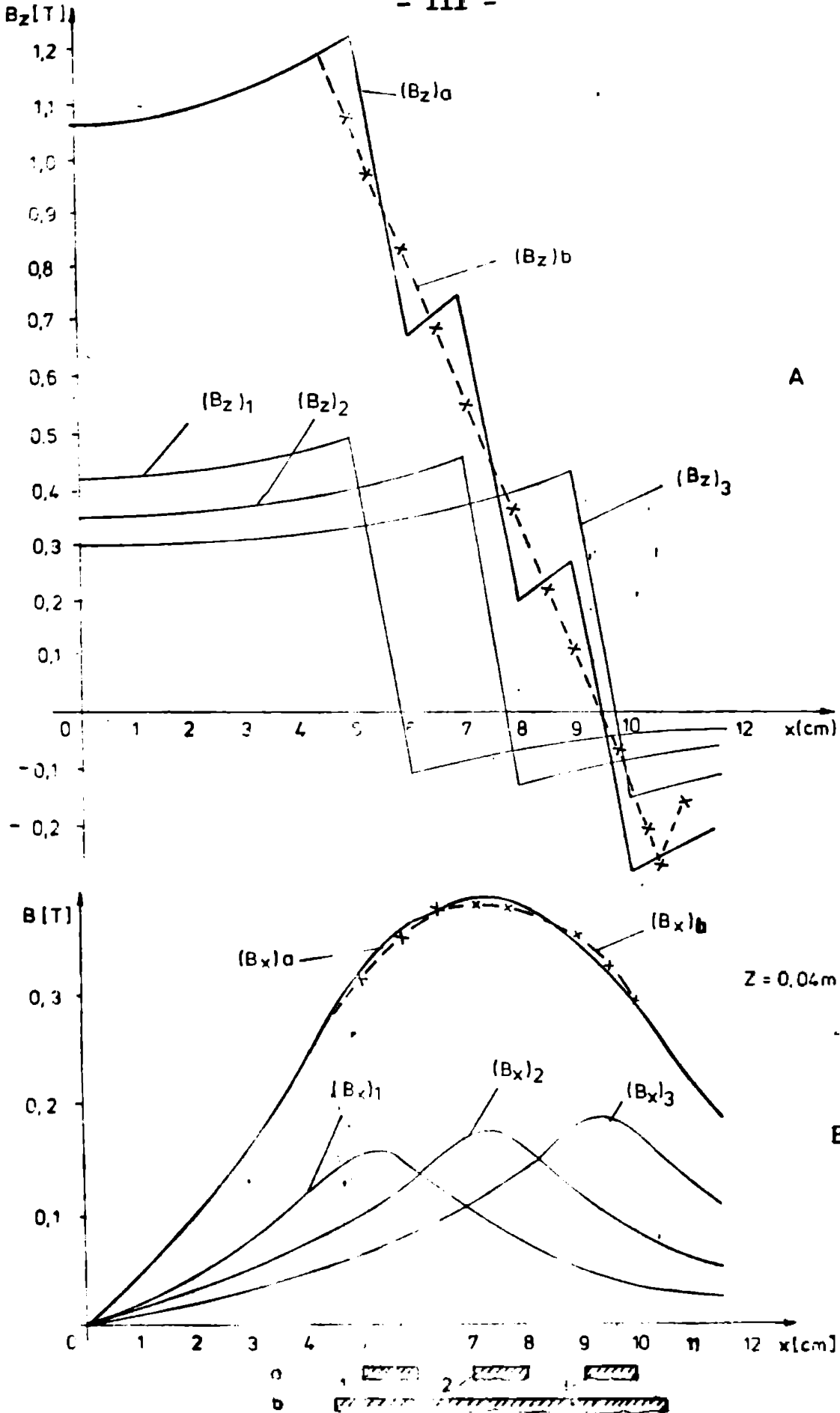


Fig.4.30. Distribuția componentelor axiale (B_z) și radiale (B_x) pentru bobinele din fig.4.29a cazul real, respectiv b, model de calcul; Indicii 1,2,3 se referă la subbobine, iar a și b la valorile totale conform cazurilor analizate.

In fig.4.30.B, a fost reprezentată distribuția componentei B_y a inducției magnetice totale pentru cazurile a și b respectiv contribuția celor trei subbobine, la $z=0.04$ m.

La fiecare din cele trei subbobine poate fi evidențiat, pentru B_x , un maxim corespunzător, cu aproximație, razei mijlocii a fiecărei subbobine. Valoarea cîmpului radial rezultat $(B_x)_R$ este apropiată de cea calculată la bobina modelatoare $(B_x)_b$ și deci pentru componenta radială chiar și în zona înfășurărilor modelarea conform fig.4.29 poate fi considerată acceptabilă.

f. Grup de bobine cilindrice de lungimi diferite

Se consideră o bobină formată din 13 subbobine cilindrice, coaxiale, de lungimi inegale. Bobina considerată este asemănătoare cu unele variante de bobine pentru limitarea curentului de scurtcircuit în rețele trifazate.

Dimensiunile și numărul de spire a fiecărei subbobine sînt prezentate tabelar în Anexa 4. Valoarea momentană a densității de curent pentru toate cele 13 subbobine este $59,217 \text{ A.mm}^{-2}$.

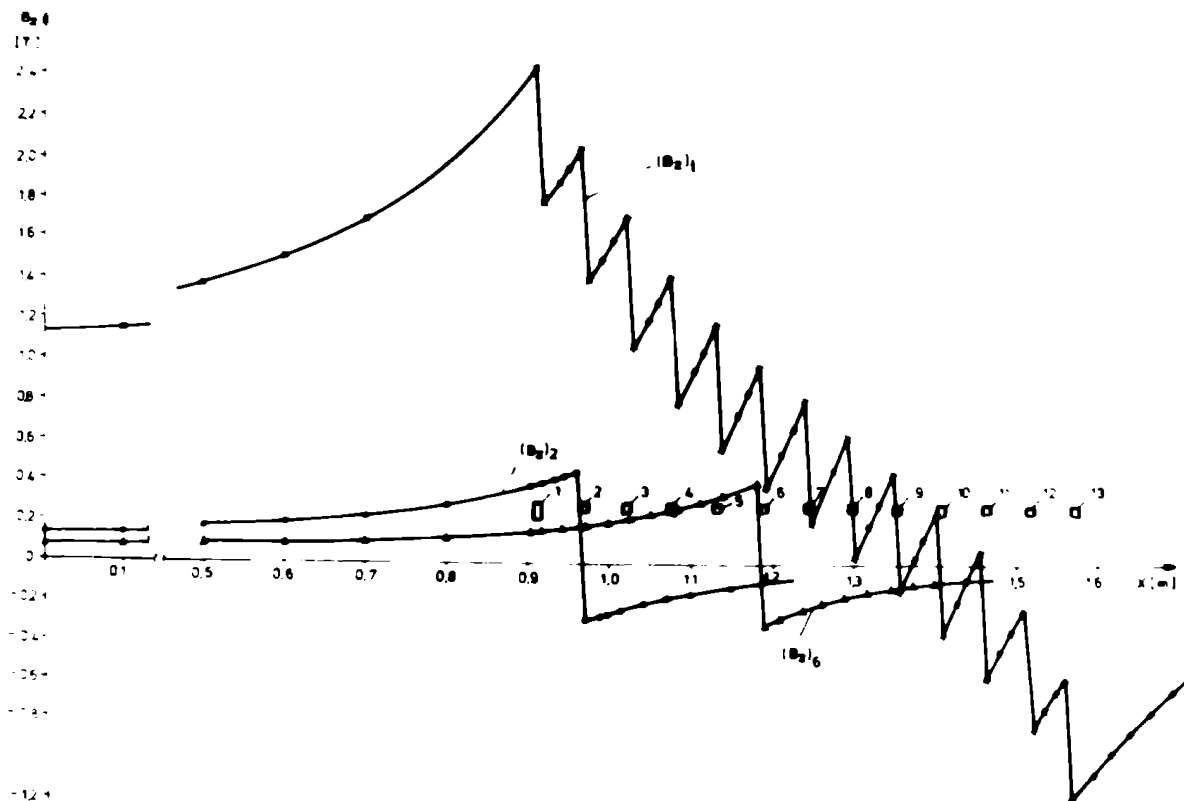


Fig.4.31. Distribuția inducției magnetice axiale produsă de toate cele 13 subbobine, B_{zt} , și de două subbobine: 2- $(B_z)_2$ și 6- $(B_z)_6$; 1,2,3,...,12,13 - subbobinele și poziția lor.

Distribuția componentei axiale ale inducției magnetice totale, $B_{z\text{t}}$, produsă de toate subbobinele, precum și distribuția componentelor axiale produse de bobinele cu numerele 2 și 6 (B_{z2} și B_{z6}) este prezentată în fig.4.31. De remarcat distribuția puternic "zimțată" a componentei axiale B_z , maximele și minimele locale corespunzând razelor interioare respectiv exterioare ale subbobinelor, ceea ce va avea ca urmare o distribuție deosebit de complexă a forțelor electrodinamice specifice în bobina reală și deci eforturi mecanice cu distribuție puternic neuniformă

g. Verificarea calculului de câmp, utilizând legea circuitului magnetic

Utilizarea legii circuitului magnetic, la o bobină cu densitate de curent constantă

$$\oint_{\Gamma} \mathbf{H} \cdot d\mathbf{l} = \int_{S_{\Gamma}} \mathbf{J} \cdot d\mathbf{s}$$

permite o verificare a corectitudinii valorilor calculate pentru intensitatea câmpului magnetic.

Curbele Γ , alese în exemplele de mai jos sînt dreptunghiuri plasate arbitrar în planul xOz , plan care conține axa bobinei, fig.4.32.

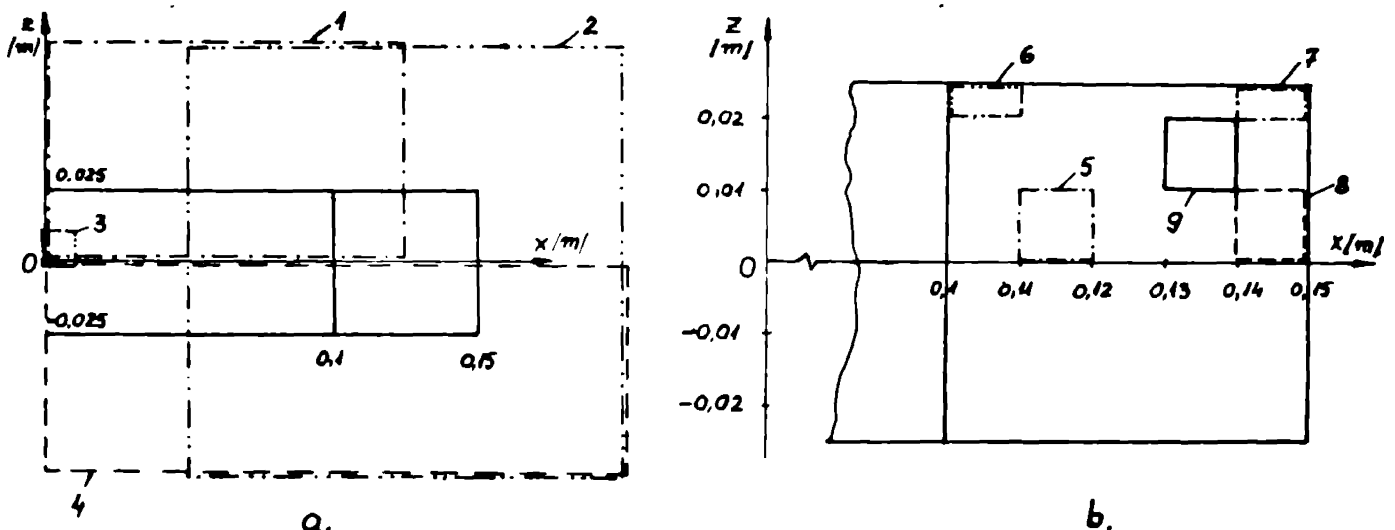


Fig.4.32 Curbele pentru care s-a verificat legea circuitului magnetic : a. exterioare bobinei; b. interioare și la suprafața bobinei.

Calcululele au fost efectuate utilizînd un program denumit DLH. Programul a fost elaborat avînd la bază pentru calculul intensității câmpului magnetic programul CBCAAS descris în paragraful 4.3.1. Integrația lui $\mathbf{H} \cdot d\mathbf{l}$ se efectuează pe porțiuni cu o subrutină care

apelează și subprogramul de integrare al unei funcții tabelate, din biblioteca matematică. Programul DLH permite calculul și în cazul unui grup oarecare de bobine cu aceeași axă de simetrie, pentru orice curbe dreptunghiulare Γ aflate într-un plan ce conține axa bobinelor.

Rezultatele calculate pentru curbele 1... 9 din fig.4.32 și prezentate în tabelul 10, se referă la o bobină, având raza interioară 0.1 m, raza exterioară 0.15 m, lungimea 0.05 m iar densitatea de curent medie $50 \text{ A}\cdot\text{mm}^{-2}$.

Tabelul 10

Curba din fig.4.32	Rezultate program DLH /A/	Valoarea exactă Ni /A/	Abaterea
1	31262.95	31250	-0.041
2	124998.9	125000	-0.001
3	- 0.015	0	-
4	62487.7	62500	-0.019
5	5001,756	5000	0.035
6	2494.7	2500	0.21
7	2517.3	2500	0.69
8	4993.94	5000	-0.123
9	5000.44	5000	0.009

Precizia bună obținută atât pentru cazurile când legea circuitului magnetic a fost calculată pentru curbe exterioare bobinei dar și pentru cazurile când aceste curbe sînt în interiorul bobinajului și la suprafața bobinei (a.6,7,8) reprezintă încă o confirmare a corectitudinii calculului cîmpului magnetic. De asemenea algoritmul de trecere numerică la limită prezentat în paragraful 3.3.2 și care a intervenit la unele din calculele prezentate se dovedește eficient.

4.4. Calcul numerice privind forțele electrodinamice la bobine

4.4.1. Programe de calcul al forțelor la bobine masive

Calculul forțelor electrodinamice^{specifice} la bobine și grupuri de bobine conform paragrafului 3.4.1.1 se face, așa cum s-a precizat, cu programul CBCAAS, fig.4.22, paragraful 4.3.1, odată cu calculul inducției

magnetice. In fiecare punct precizat de utilizator se tipăresc atât valorile inducției magnetice cât și cele ale forțelor electrodinamice specifice - componentele după axe, rezultanta și unghiul făcut de aceasta cu axa Ox. Astfel se obțin indicații complete asupra mărimii, sensului și punctului de aplicație a forțelor electrodinamice specifice.

In sensul precizat, programul CBCAAS este și un program pentru determinarea forțelor electrodinamice specifice.

Calculul forțelor electrodinamice totale, are la bază metoda și relațiile prezentate în paragraful 3.4.1.2. Pentru grupuri de bobine circulare cu aceeași axă de simetrie au fost puse în evidență :forța axială și forța de rupere, acționînd asupra unei bobine. Calculul numeric al acestora se face conform organigramei prezentată în fig. 4.33 și implică efectuarea a două integrale numerice succesive după dx respectiv dz. Pentru integrarea numerică au fost utilizate sub-programe din biblioteca matematică.

Programul FBCAAS, fig.4.33, permite calculul forțelor totale : axiale și de rupere, acționînd asupra unei bobine circulare, dintr-un grup de bobine circulare cu dimensiuni și poziție oarecare, avînd aceeași axă de simetrie. Intrucît bobina la care se calculează forțele este precizată, de către utilizator prin coordonatele x și z ale colțurilor secțiunii din planul xOz și prin numărul bobinei, programul permite calculul acestor forțe și pentru o porțiune din bobina analizată (de ex.numai un galet). De asemenea dacă interesează numai efectul celorlalte bobine asupra celei analizate, în program este ocultat calculul inducției magnetice produse de bobina proprie, re-

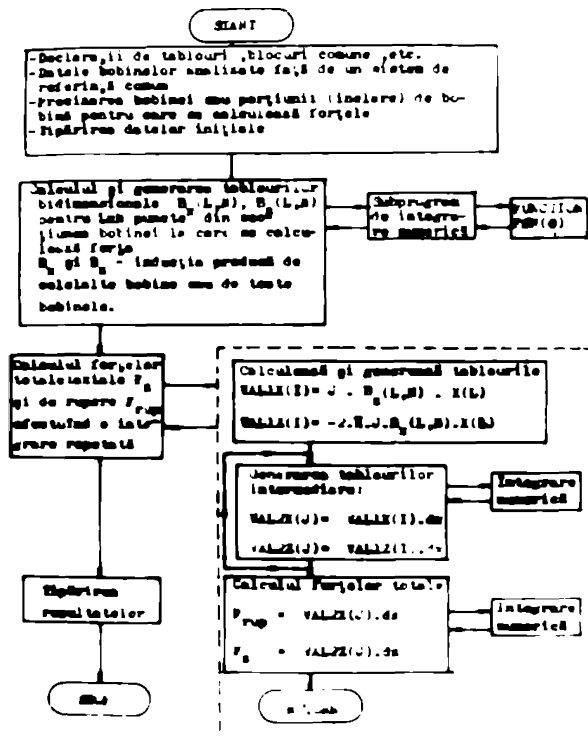


Fig.4.33 Organigrama programului de calcul al forțelor electrodinamice totale la grupuri de bobine circulare cu aceeași axă de simetrie (FBCAAS)

duse de bobina proprie, rezultînd o reducere a timpului total de calcul.

Forțele determinate cu programul FECAAS pot sta la baza determinării coeficienților de forță precizați în paragraful 3.4.2. Coeficienții de forță, împreună cu curenții prin conductoare, având o variație în timp oarecare dar cunoscută, permit calculul imediat al forțelor electrodinamice în regim tranzitoriu la grupuri de bobine.

4.4.2. Rezultate calculate privind forțele electrodinamice la bobine în regim staționar și tranzitoriu

Forțele electrodinamice specifice cît și cele totale la bobine, oferă, atît informații calitative necesare înțelegerii naturii și sensului solicitărilor mecanice cît și cantitative, utile la determinarea numerică a solicitărilor mecanice existente.

Au fost calculate și se prezintă în continuare cîteva distribuții tipice ale forțelor electrodinamice specifice la o bobină circulară și la bobine circulare, precum și forțele totale calculate și comparate cu unele rezultate din literatură. Forțe între bobine se calculează și în regim tranzitoriu, exemplul e.

a. Forțe specifice la o bobină circulară.

Pentru o bobină circulară avînd raza interioară 0.1 m, raza exterioară 0.15 m, lungimea 0.05 m, densitatea de curent 50 A.mm^{-2} s-au calculat și se reprezintă distribuția componentelor radiale, f_x și axiale f_z ale forțelor specifice în secțiunea bobinei cu un plan xOz , care conține axa bobinei.

În fig.4.34 se reprezintă distribuția după rază a componentelor radiale, f_x , și axiale f_z ale forțelor electrodinamice specifice pentru $z=0, 0, \dots, 0,025$ m. Pentru valori negative ale lui z , jumătatea inferioară a bobinei, valorile lui f_x păstrează aceeași valoare, direcție și sens ca și pentru cele pozitive. Se observă existența unor puncte în interiorul bobinei, unde f_x este zero.

Forțele f_z comprimă bobinajul, avînd pentru $+O_z$ respectiv $-O_z$ sensuri diferite. În planul de simetrie, $z=0$, pentru cazul unei bobine circulare izolate, forțele f_z sînt nule.

Forța specifică rezultantă $\vec{F} = \vec{i}f_x + \vec{k}f_z$ are o distribuție puternic neuniformă în secțiunea bobinei, atît ca modul cît și ca direcție și sens. În fig.4.35 sînt reprezentate liniile $|\vec{F}| = \text{const.}$ pentru bobina analizată. Se observă, la suprafața interioară a bobinei, o zonă cu forțe specifice mari respectiv în interiorul bobinei o porțiune unde conductoarele sînt foarte puțin solicitate de forțele electrodinamice.

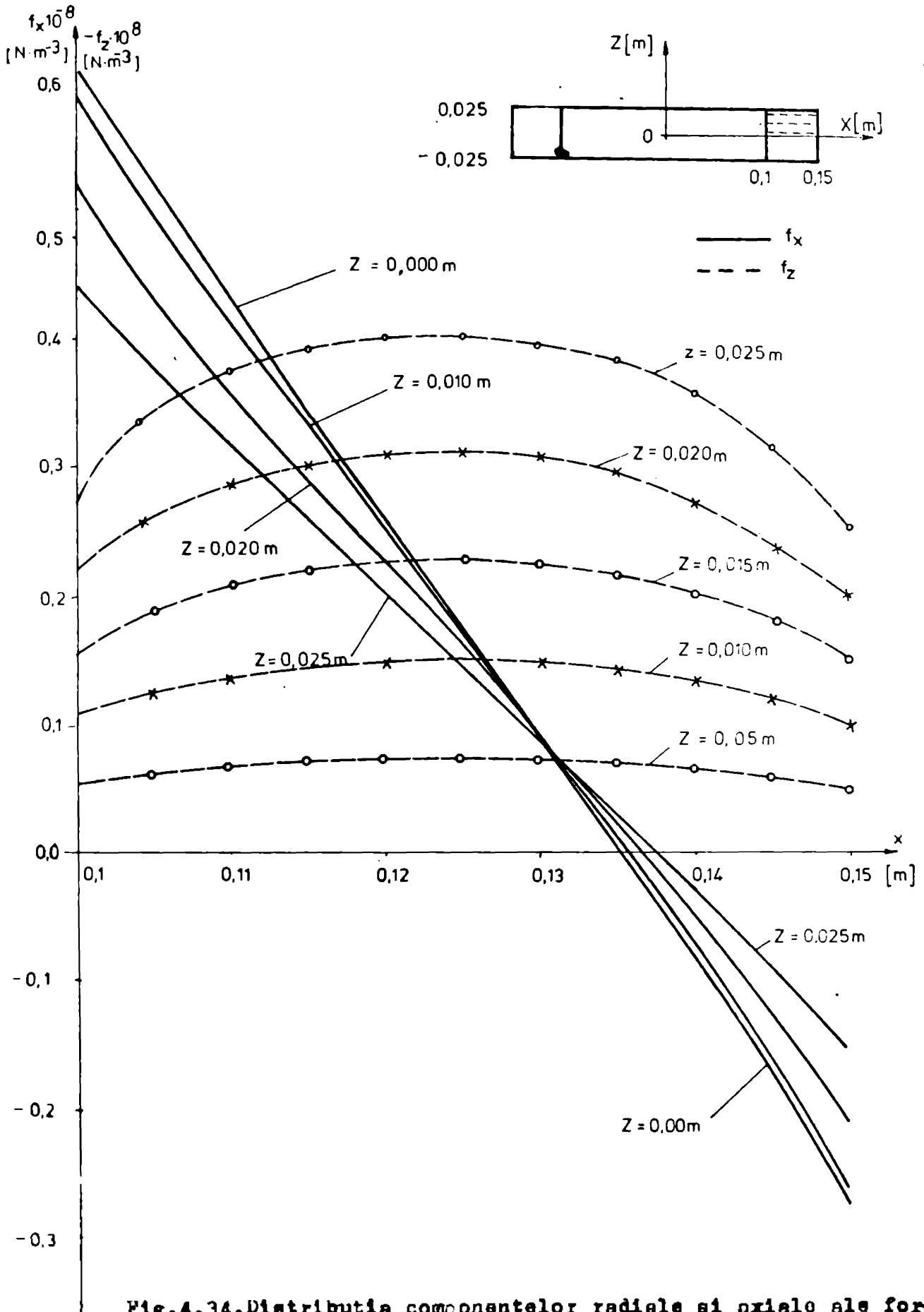


Fig.4.34. Distribuția componentelor radiale și axiale ale forțelor electrodinamice specifice f_x și f_z în funcție de distanța de la axa bobinei, pentru $z = 0 \dots 0,025$ m.

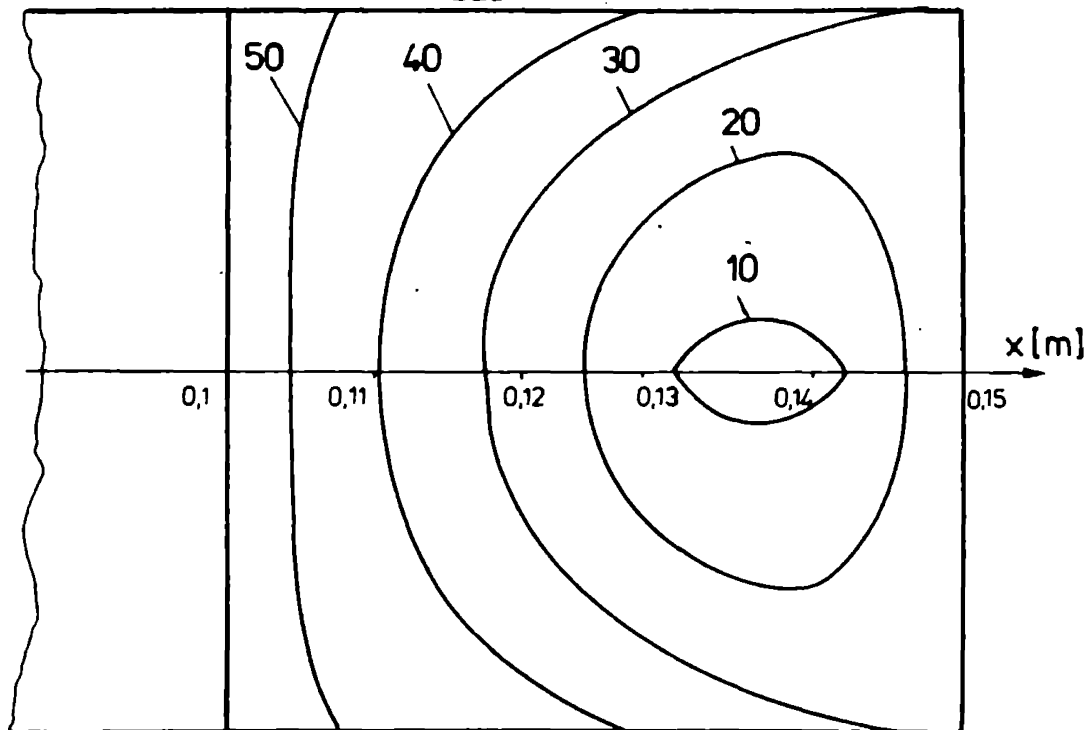


Fig.4.35 Linii de "egală valoare" a forței rezultante, $f = \text{const.}$, în secțiunea bobinei

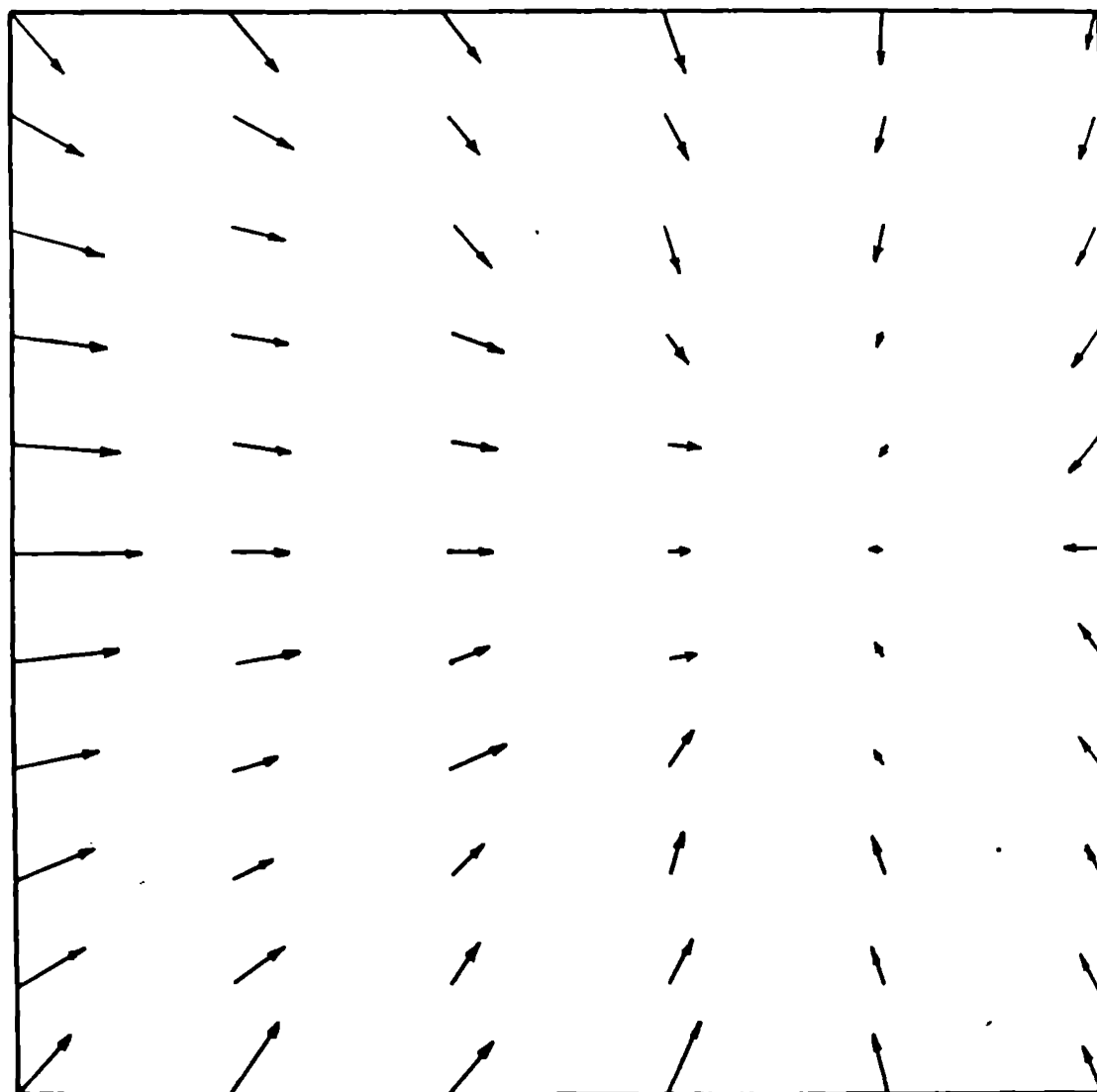


Fig.4.36 Spectrul forțelor electrodinamice rezultante în secțiunea bobinei. Scara: $1 \text{ cm} \dots 50 \text{ MN.m}^{-3}$

Spectrul forțelor electrodinamice specifice rezultante $f(x, z)$ în secțiunea bobinei analizate este reprezentat, la scară, în fig.4.36.

Alte distribuții calculate ale forțelor electrodinamice specifice la o bobină circulară au fost prezentate în /4.4/.

Metoda și programul de calcul al forțelor totale la o bobină sau o porțiune circulară a acesteia (de ex.un galet), permit determinarea exactă a forțelor electrodinamice la bobine și evită utilizarea, unor relații aproximative, /3.8/ și /4.8/.

b. Forțe specifice la bobine trifazate

Se consideră bobinele din fig.4.37 avînd pentru coordonata suprafeței inferioare, z_1 , a celei superioare, z_2 , raza interioară R_i și exterioară, R_e următoarele valori :

bobina 3 : $z_1 = -0,1m$; $z_2 = -0,05m$; $R_i = 0,1m$ $R_e = 0,15m$

bobina 2 : $z_1 = -0,025m$; $z_2 = 0,025m$; $R_i = 0,1m$ $R_e = 0,15m$

bobina 1 : $z_1 = 0,05m$; $z_2 = 0,10m$; $R_i = 0,1m$ $R_e = 0,15m$

Pe exemplul considerat se alege momentul în care densitățile medii de curent în cele trei bobine sînt

$$J_1 = -25 \text{ A.mm}^{-2}$$

$$J_2 = 50 \text{ A.mm}^{-2}$$

$$J_3 = -25 \text{ A.mm}^{-2}$$

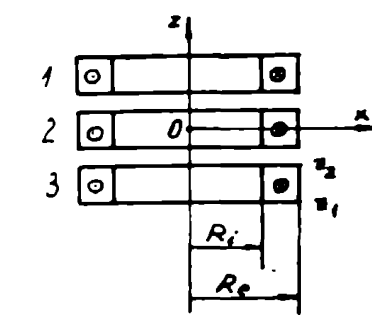
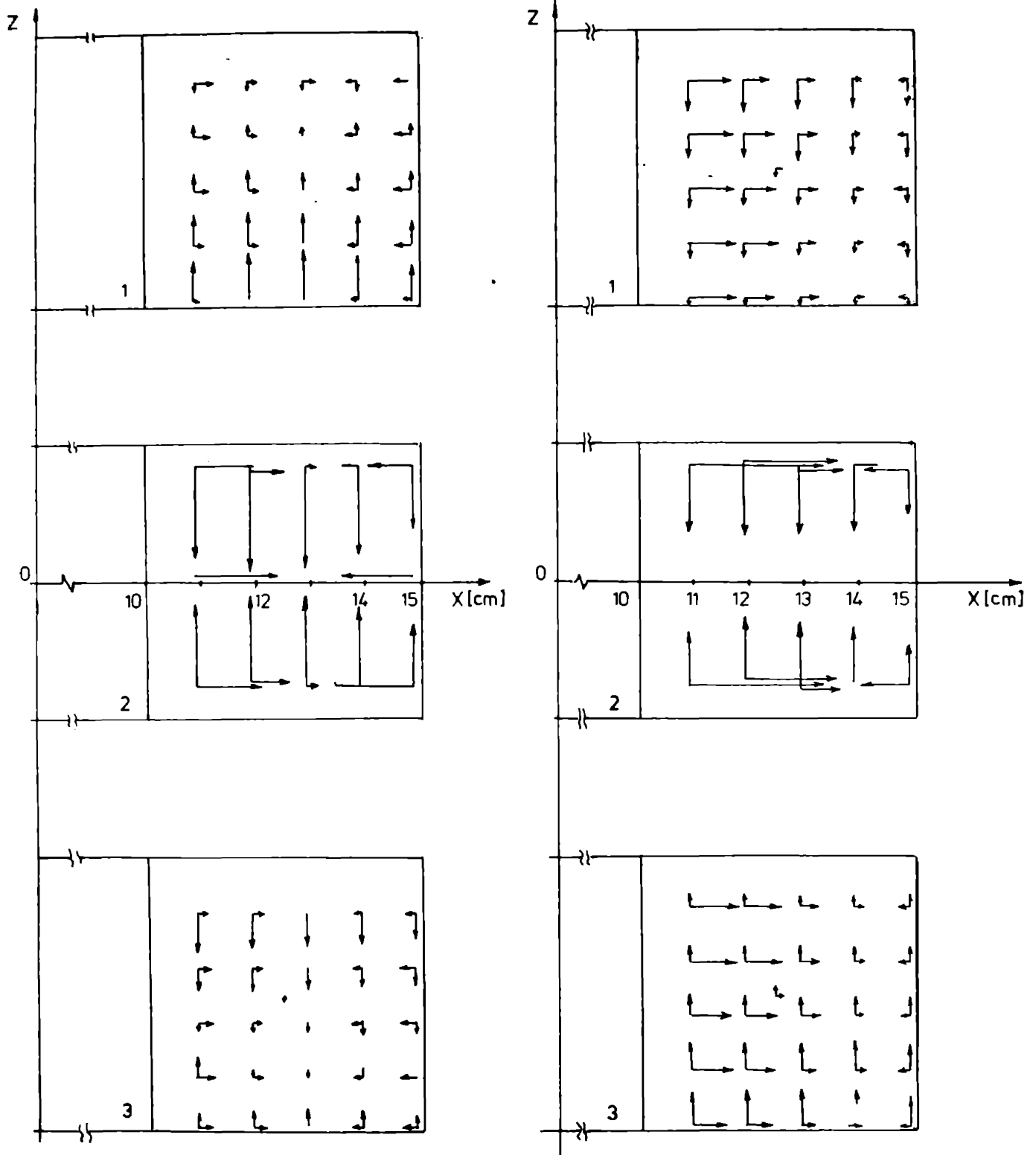


Fig.4.37.Grup de bobine trifazate

Se consideră pentru exemplificare două cazuri :

- 1- cele trei bobine au același sens de bobinare și
- 2- bobina din mijloc este bobinată în sens invers față de celelalte două.

În fig.4.38 sînt prezentați la scară, în puncte din secțiunea bobinelor; pentru cazul 1 respectiv 2, vectorii forță specifică după axa O_x , f_x , respectiv O_z , f_z , datorăți tuturor celor trei bobine parcurse de curent. Astfel de grupuri de bobine se întîlnesc în sistemele energetice și sînt utilizate pentru limitarea curenților de scurtcircuit. Întrucît se dorește ca izolatorii dintre ele să fie supuși la compresiune, este preferat cazul 2, fig.4.38. În cazul 1 se observă că forța asupra bobinei superioare 1, are tendința de a o ridica și arunca de pe suport.



Cazul 1
 Sensul curentului: 1... ⊙
 în bobine: 2... x
 3... ⊙

Cazul 2
 Sensul curentului: 1... ⊙
 în bobine : 2... ⊙
 3... ⊙

Fig.4.38 Distribuția vectorilor forțelor specifice \vec{F}_x și \vec{F}_z în secțiunile bobinelor trifazate analizate. Cazul 1 - toate bobinele au același sens de bobinaj; cazul 2 - bobina 2 este bobinată invers bobinelor 1 și 3. Scara 1 cm... $0.2 \cdot 10^6 \text{ N} \cdot \text{m}^{-3}$.

c. Forțe între bobine masive coaxiale

Utilizând programul elaborat, FBCAAS, fig.4.33, paragraful 4.4.1, au fost calculate forțele axiale între 2 bobine masive, cilindrice cu axă de simetrie comună. Câteva exemple calculate sînt prezentate în tabelul 11.

În acest tabel sînt prezentate datele bobinelor, valorile forțelor calculate cu programul FBCAAS respectiv cele din nomogramele din /4.5/ și abaterea procentuală a celor două valori ale forțelor. S-a notat : h-lungimea bobinei, b-grosimea bobinei, D-diametrul mediu, H-distanța dintre centrele bobinelor.

Tabelul 11.

h /m/	b /m/	H /m/	H /m/	F/N/ /4.5/	F/N/ FBCAAS	%
0.075	0.015	0.0875	0.1	1163.95	1131.85	- 2.76
0.05	0.03	0.1125	0.1	735.75	714.97	- 2.82
0.1	0.03	0.15	0.1	1655.44	1693.73	+ 2.3
0.05	0.015	0.0875	0.1	362.13	371.5	+ 2.59

În exemplele analizate diferențele forțelor sînt de ordinul procentelor. Trebuie remarcat faptul că programul nu este limitat, așa cum sînt de obicei curbele și nomogramele, la forme și dimensiuni ale bobinelor variind în limite restrînse. De asemenea citirea din curbe a valorilor coeficienților pentru o geometrie oarecare, este legată de erori mari

d. Forțe între bobine cilindrice infinit subțiri.

Programul de calcul elaborat a fost confruntat și cu rezultatele din /4.6/ unde este prezentată o metodă de calcul implicînd integrale eliptice, valabilă pentru bobine coaxiale infinit de subțiri. Întrucît programele elaborate (CBCAAS, FBCAAS), nu pot calcula cîmpul și forțele bobinelor de grosime zero s-a considerat bobina de grosime (g) foarte mică, tipic 10^{-5} m. În tabelul 12 sînt prezentate datele bobinelor și unele valori calculate ale forțelor axiale, conform /4.6/ și metodei elaborate în această lucrare, FBCAAS.

Tabelul 12

$R_1/m/$	$R_2/m/$	$N_1 \cdot i_1$	$N_2 \cdot i_2$	h	$F/N/$	$F/N/$	g
$11/m/$	$12/m/$	/A /	/A /	/m/	/4.6/	FBCAAS	/m/
<u>2.0</u>	<u>1.0</u>	309.2	309.2	1.0	0.048128	0.0481267	1.10^{-5}
0.1546	0.1546						
<u>10.0</u>	<u>1.0</u>	23590	23590	20.0	2.227655	2.2276603	1.10^{-5}
11.795	11.795						
<u>0.1</u>	<u>0.09</u>	225	300	0.05	0.045798	0.0458447	1.10^{-5}
0.075	0.075						

S-a notat : R_1 -raza bobinei 1, l_1 - lungimea bobinei 1, $N_1 i_1$ - solenația bobinei 1, $R_2, l_2, N_2 i_2$ - mărimile similare pentru bobina 2, h -distanța dintre centrele bobinelor, g -grosimea de calcul a bobinelor, utilizată în programul FBCAAS, F -forța axială între bobine pentru /4.6/ respectiv programul elaborat, FBCAAS.

Se observă o bună concordanță a rezultatelor obținute, erorile fiind sub 0,1%, programul elaborat comportându-se bine și pentru cazul bobinelor foarte subțiri.

e. Forțe între bobine în regim tranzitoriu

Utilizând metoda coeficienților de forță, dezvoltată în paragraful 3.4.2, au fost calculate forțele electrodinamice pentru un grup de trei bobine, cilindrice, coaxiale așa cum se întâlnesc la bobinele de limitare a curenților de scurtcircuit, cu așezare verticală, fig.4.37. Într-o primă etapă, utilizând programul FBCAAS, de calcul al forțelor electrodinamice, se determină coeficienții de forță K_{12} , K_{23} , K_{31} . În continuare considerând prin bobine curenți de scurtcircuit cu componentă aperiodică și fiecare bobină la cîte o fază a rețelei trifazate, s-a elaborat un program FEBTRANZ care calculează variația în timp a curenților și forțelor electrodinamice totale asupra bobinelor. Notînd bobinele ca în fig.4.37 dar considerînd originea sistemului de referință în centrul bobinei 3, datele bobinelor, în metri, sînt :

Bobina 3	Bobina 2	Bobina 1
$z_1 = - 0.1399$	$z_1 = 0.8399$	$z_1 = 1.8197$
$z_2 = 0.1399$	$z_2 = 1.1197$	$z_2 = 2.0995$
$R_i = 0.8824$	$R_i = 0.8824$	$R_i = 0.8824$
$R_e = 1.579$	$R_e = 1.579$	$R_e = 1.579$

In fig.4.39 se prezintă variația în timp a curenților și forțelor electrodinamice asupra celor trei bobine. In exemplul analizat se consideră că bobinele sînt parcurse de curenții :

$$i_1 = I \sqrt{2} (\exp(-t/T) - \cos(\omega t))$$

$$i_2 = I \sqrt{2} (\exp(-t/T) - \cos(\omega t - 2\pi/3))$$

$$i_3 = I \sqrt{2} (\exp(-t/T) - \cos(\omega t - 4\pi/3))$$

unde T este constanta de timp a procesului aperiodic, (1/22 s, în exemplul considerat) iar I valoarea efectivă a curențului de scurtcircuit permanent (10kA).

Forțele electrodinamice se calculează conform relației (3.171) considerînd o forță pozitivă între bobine, deci și un coeficient de forță pozitiv, pentru forțe în sensul pozitiv al axei O_z , fig.4.39.

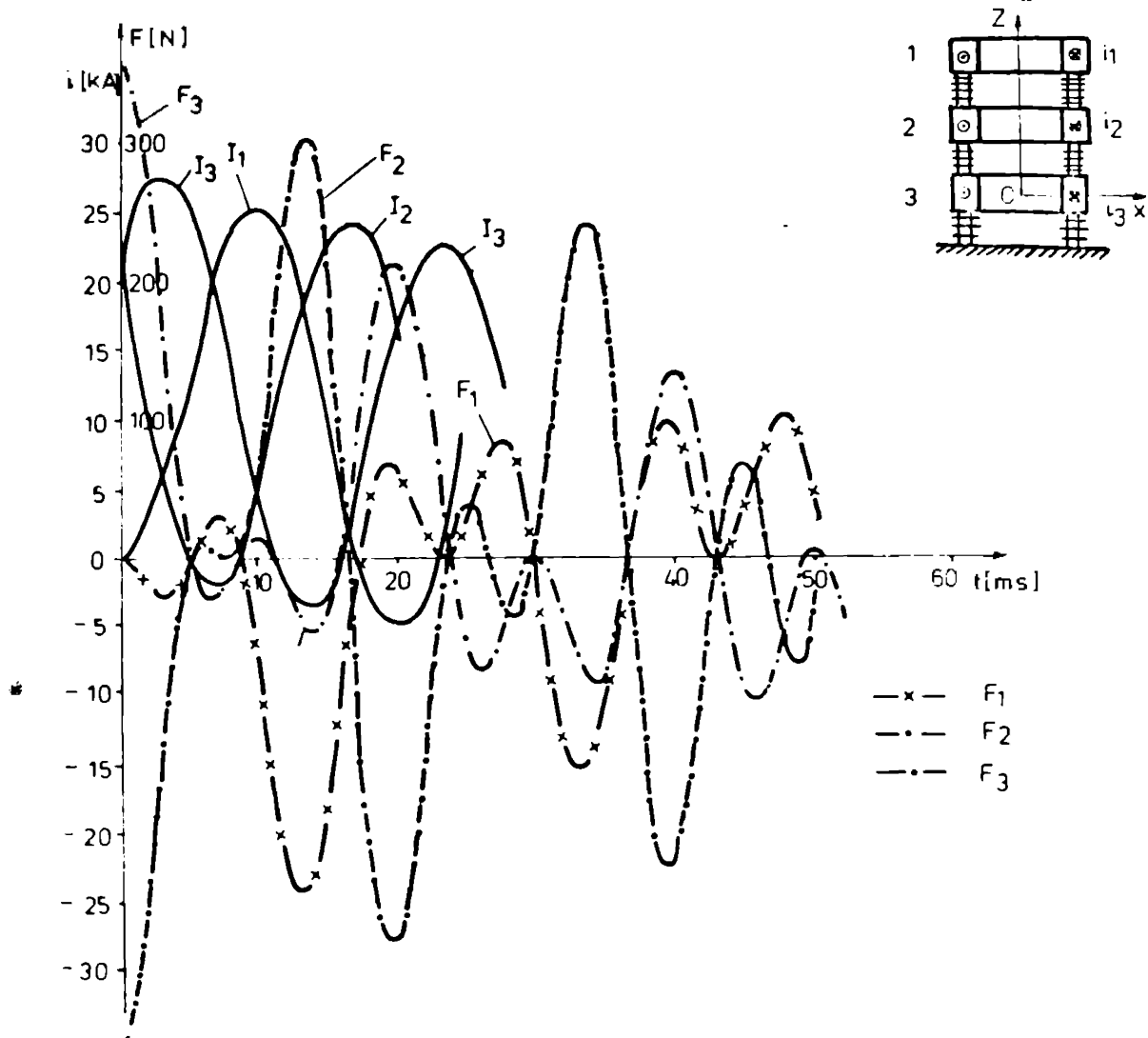


Fig.4.39. Variația în timp a curenților și forțelor electrodinamice, între bobinele de limitare a curenților de scurtcircuit, analizate. Forțele pozitive au sensul ca și cel pozitiv al axei O_z .

În exemplul reprezentat grafic, șocul de curent apare pe bobina a 3-a și tot asupra acesteia acționează și cea mai mare valoare a forței momentane. Variația în timp a forțelor este foarte complicată, conducând la solicitări mecanice variabile în timp și la vibrații.

Metoda și programul elaborat pentru calculul forțelor tranzitorii permit calculul valorilor forțelor totale exercitate asupra bobinelor unui sistem oricât de complicat de bobine (în exemplu: coaxiale), pentru orice formă de variație a curentului.

Programele și exemplele de la punctele b și e din acest paragraf evidențiază posibilitatea de a calcula atât forțele specifice cât și cele totale, în regim staționar și în regim tranzitoriu.

4.5. Determinarea câmpului magnetic și a forțelor electrodinamice la sistemul de bobine specifice mașinilor unipolare tambur.

4.5.1. Unele aspecte privind problema analizată

Mașinile unipolare, se bucură în ultima perioadă de un interes crescut. Au fost studiate și realizate atât mașini unipolare tip disc cât și tip tambur /4.11/, /4.12/, /4.13/.

Se pare că mașinile tip tambur sînt preferate, datorită unui diametru exterior, deci gabarit mai mic, a unui moment de inerție și a unui câmp extern mașinii mai redus.

Forma de bază a bobinelor formînd subsistemul magnetic la o mașină unipolară tambur, fără circuit feromagnetic este prezentată în fig. 4.40

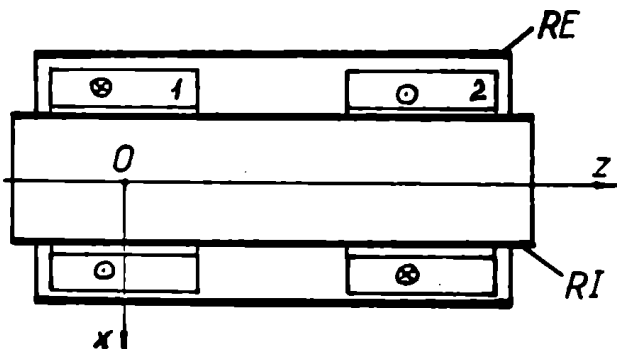


Fig.4.40 Subsistemul magnetic al unei mașini unipolare tambur și forme posibile de rotoare: RE-rotor exterior; RI-rotor interior.

Forma constructivă cea mai răspîndită la aceste mașini este cea cu rotor interior, RI, dar sînt cunoscute și execuții cu rotor exterior bobinajului, RE, /4.12/.

Cele două bobine ale mașinii, au aceeași axă de simetrie și pot fi formate la rîndul lor din galeți sau subbobine cilindrice coaxiale.

Pentru o configurație de astfel de bobine au fost măsurate și comparate cu rezultatele calculate, valorile cîmpului magnetic și ale forțelor electrodinamice axiale. Unele valori calculate pentru cîmpul magnetic și forțele electrodinamice la subsistemul magnetic al mașinilor unipolarr tambur, au fost prezentate de autor în /4.17/.

4.5.2. Instalația experimentală pentru măsurarea cîmpului magnetic

Măsurătorile de cîmp magnetic au fost efectuate cu teslametre cu sondă Hall.

Dimensiunile geometrice ale sondei utilizate, sînt prezentate în fig.4.41, observîndu-se aria de 1 mm^2 a suprafeței active a sondei.

Sonda a fost etalonată într-un cîmp magnetic uniform avînd ca etalon un teslametru numeric clasă 0,1.

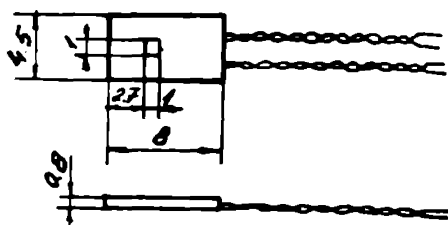


Fig.4.41 Dimensiunile sondei Hall utilizate

Curentul prin sonda Hall a fost măsurat cu un multimetru numeric iar tensiunea Hall cu un microvoltmetru de curent continuu.

Cele două bobine utilizate sînt practic identice avînd 499 respectiv 501 spire $\phi 1,7$ și sînt bobinate pe o carcasă strunjită și realizată astfel încît să permită măsurarea cîmpului într-un canal, paralel cu axul bobinei, apropiat de bobinaj, precum și a forțelor electrodinamice axiale totale între cele două bobine. Ele au raza interioară 0,03 m, raza exterioară 0.066 și lungimea 0.0435 m.

În fig.4.42 sînt prezentate cele două bobine. Săgeata indică canalul practicat în carcasă astfel încît să se poată măsura distribuția axială a cîmpului cît mai aproape de bobinaj.

Schema electrică a instalației experimentale utilizate este prezentată în fig.4.43. Sonda Hall este fixată pe un suport electroizolant, suplu și rezistent astfel încît să poată fi poziționată în punctul de măsură.

Cele două bobine și sonda Hall sînt prezentate în fig.4.44. În această figură săgeata indică sonda Hall utilizată.

Instalația experimentală conform fig.4.43 este prezentată în fig.4.45 și 4.46.

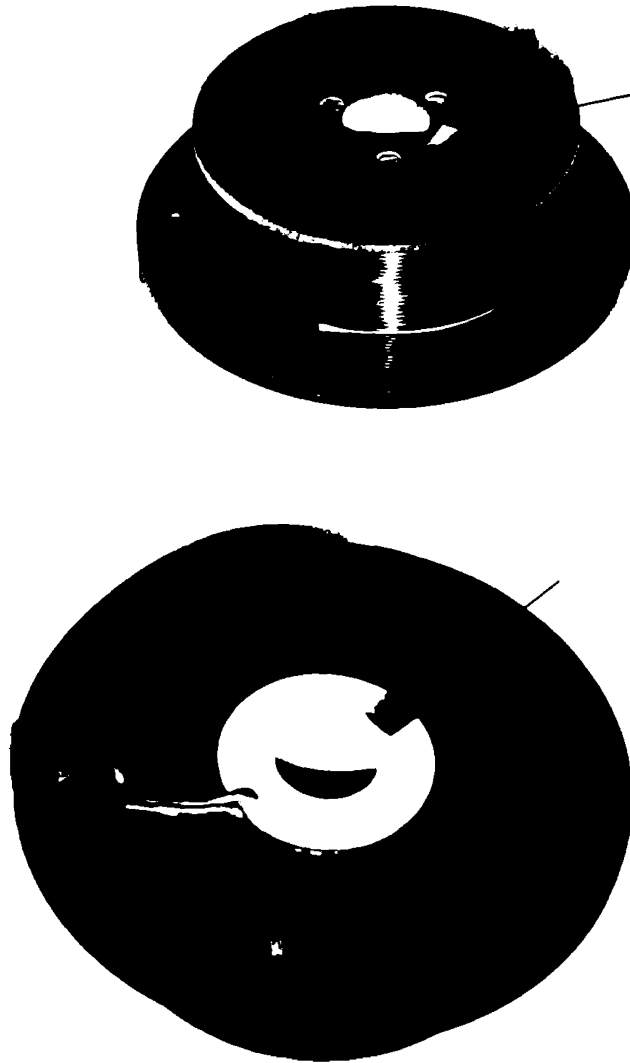


Fig.4.42. Bobinele utilizate la măsurătorile de câmp și forțe electrodinamice. Săgeata indică canalul axial în apropierea bobinajului.

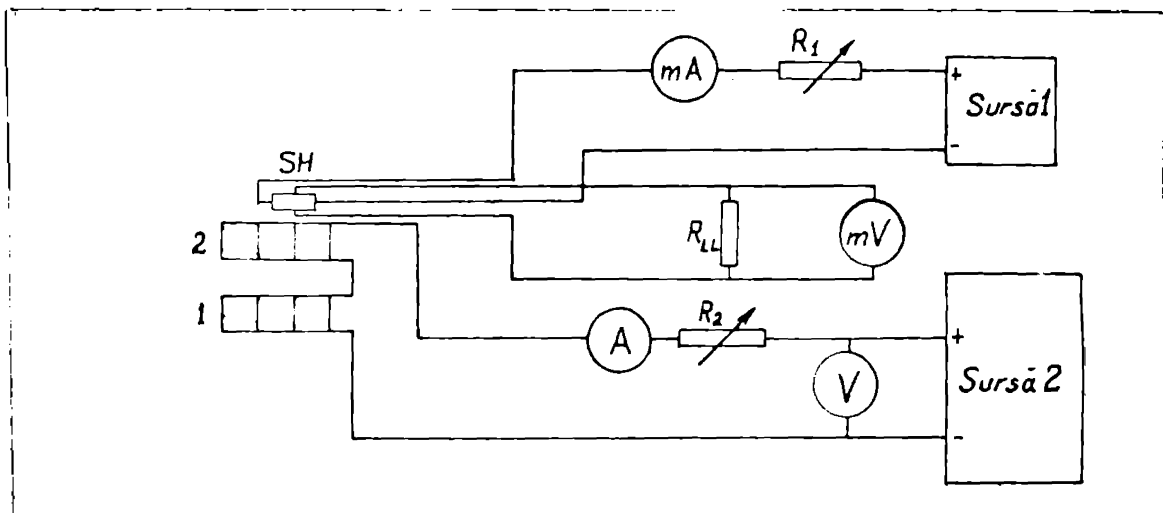


Fig.4.43. Schema electrică a instalației experimentale pentru măsurarea câmpului. SH-sondă Hall, 1 și 2 bobinele R_{LL} rezistenți de liniarizare.

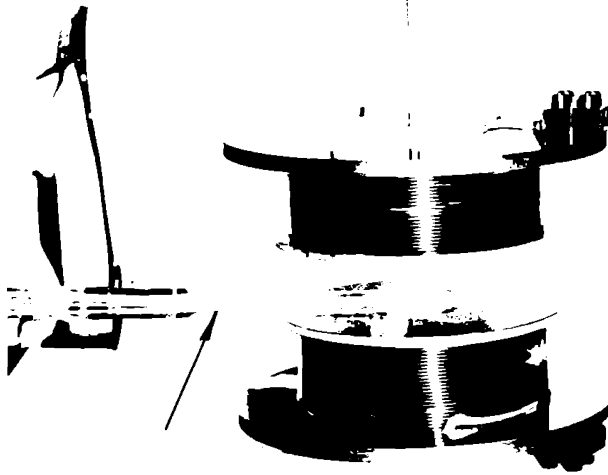


Fig.4.44 Grupul de bobine și sonda de măsură a cîmpului

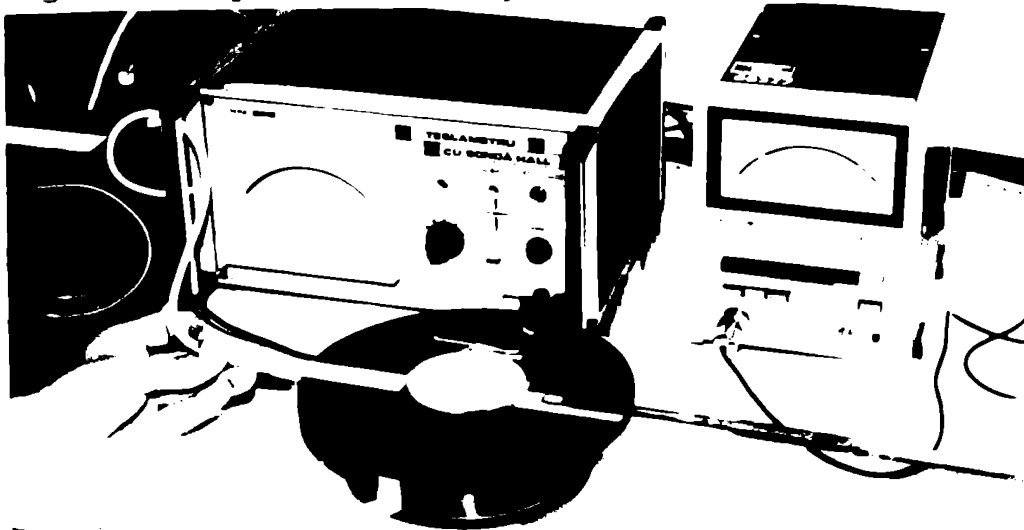


Fig.4.45 Bobină utilizată și sonde pentru măsurarea cîmpului

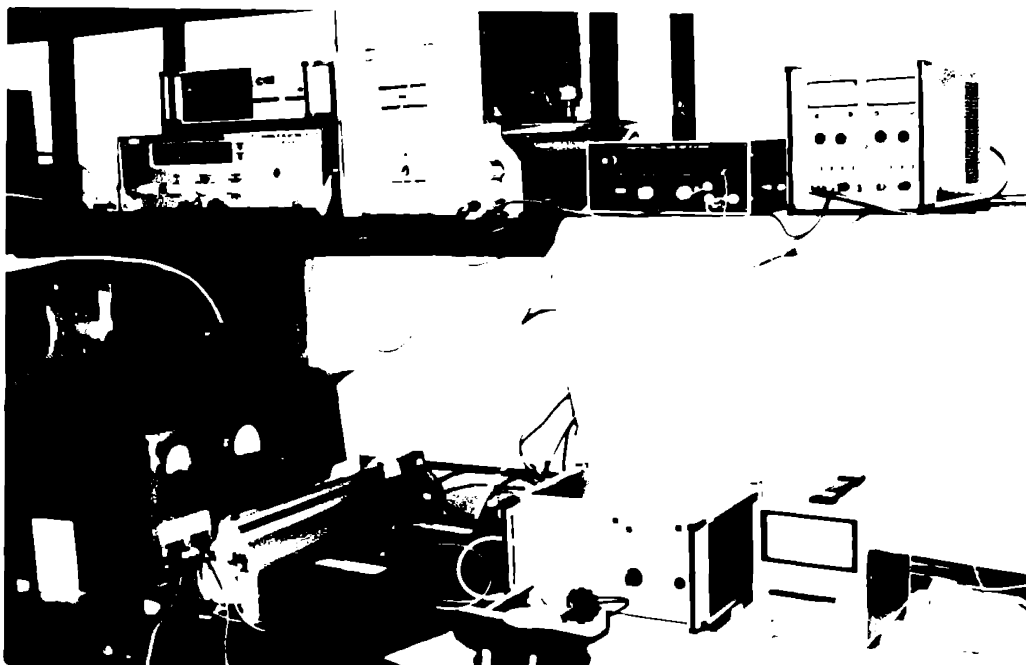


Fig.4.46 Vedere de ansamblu a instalației experimentale

INSTITUTUL DE FIZICĂ
BUCUREȘTI
BIBLIOTECA CENTRALĂ

4.5.3. Măsurări de câmp și compararea cu rezultatele calculate

Utilizând instalația experimentală descrisă, a fost măsurată inducția magnetică pentru puncte din jurul bobinelor, atât pentru cazul unei singure bobine cât și pentru 2 bobine. În acest din urmă caz, bobinele au fost alimentate în opoziție, obținându-se o configurație de câmp similară cu cea de la subsistemul magnetic al mașinilor unipolare tambur. Pentru această configurație, a fost acordată o atenție deosebită distribuției axiale a câmpului, într-o zonă apropiată de bobinaj, spre interiorul bobinelor, loc unde se plasează de obicei rotorul cilindric al mașinii unipolare tambur.

În fig.4.47 a și b, sînt prezentate locurile unde s-au făcut măsurători cu sonda Hall și pentru care au fost făcute și calcule de câmp utilizînd programul CBCAAS, prezentat într-un capitol anterior. În timpul măsurătorilor curentul prin bobine a fost menținut constant la 5A. Valorile notate pe desenul din fig.4.47 sînt cele utilizate la calculele de câmp ținînd cont că un punct mijlociu al sondei Hall glisează la aproximativ 0,5 mm de suprafața pe care o investigatează. În fig.4.47 b, cotele la 1,3 și 5 se referă la cazul cînd distanța dintre bobine (D) este 11 mm. Pentru distanțe mai mari au fost efectuate numai măsurători ale distribuției componentei radiale, B_x , a câmpului total, paralel cu axa bobinei, în apropierea bobinajului. Măsurătorile au ținut cont de limitările datorate construcției carcasei bobinei, care trebuie să satisfacă și cerințele măsurărilor de forță și dimensiunilor și formei sondei Hall și a suportului pe care a fost montată.

În figurile următoare sînt prezentate rezultatele măsurătorilor efectuate. Cu + sau * au fost marcate punctele măsurate. Curbele trasate sînt calculate cu programul elaborat (CBCAAS). Datorită unor zone unde sonda nu are acces există porțiuni de curbă unde sînt prezentate numai valorile calculate (de ex. în interiorul bobinajului).

Curbele prezentate în figurile 4.48 ... 4.54, conținînd valorile calculate și măsurate pentru componentele B_x și B_z ale inducției magnetice arată o bună concordanță între teorie și experiment. Erorile, în afara celor de măsură, se datoresc dificultății de poziționare a sondei Hall în punctul dorit. Distribuția axială a componentei B_x , în cazul bobinelor corespunzătoare subsistemului magnetic al unei mașini unipolare tip tambur, evidențiază la distanțe mici între bobine existența unui maxim al inducției, între cele două bobine.

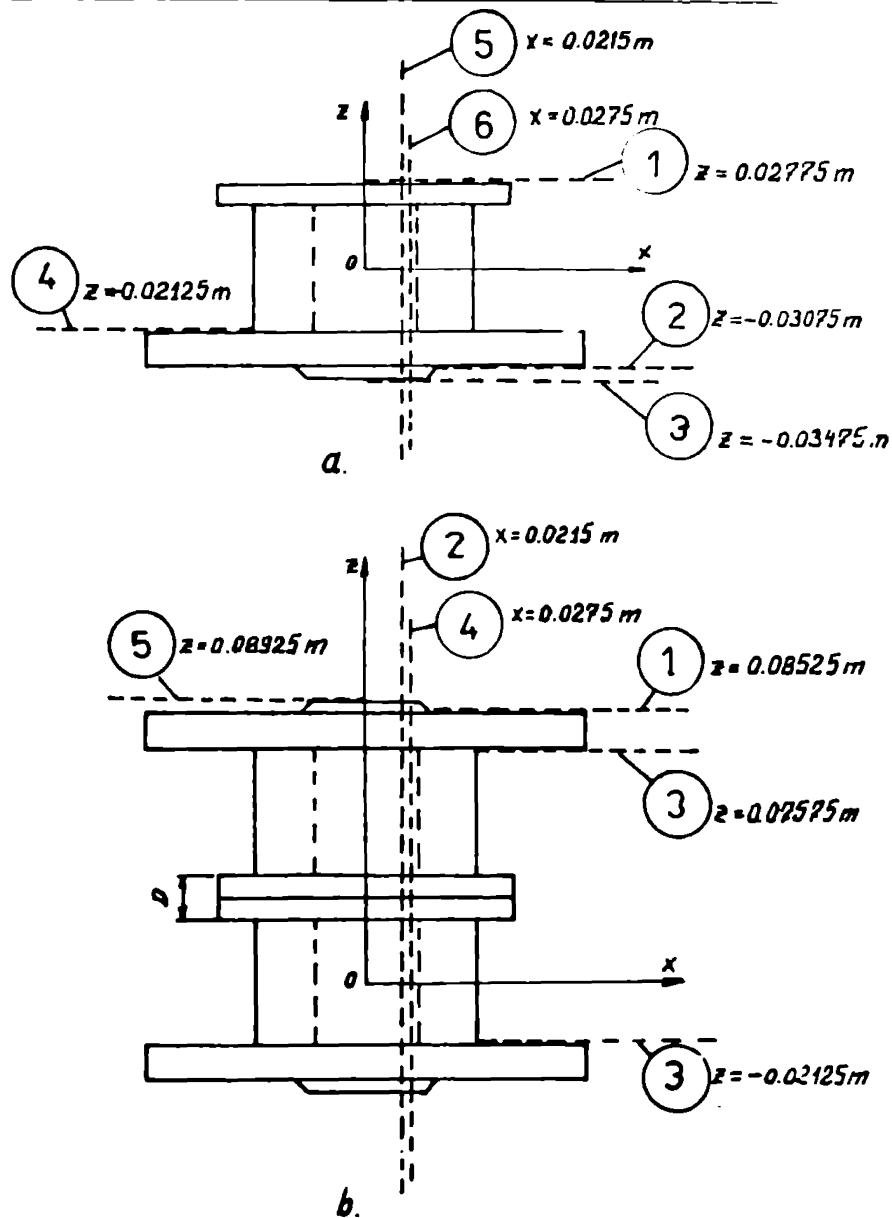


Fig.4.47 Desen explicativ privind locurile de măsurare a inducției magnetice cu sonda Hall și notațiile folosite.

Cu creșterea distanței dintre bobine, distribuția inducției magnetice radiale are o zonă de platou, inducția B_x , fiind practic constantă pentru zona dintre cele două bobine. Pentru distanțe mari dintre bobine, fig.4.54, curba 3, componenta B_x a inducției magnetice totale are un minim, la jumătatea distanței dintre bobine, apărînd două maxime locale în apropierea bobinelor. Inducția magnetică B_x își inversează sensul în zona de mijloc a bobinelor analizate.

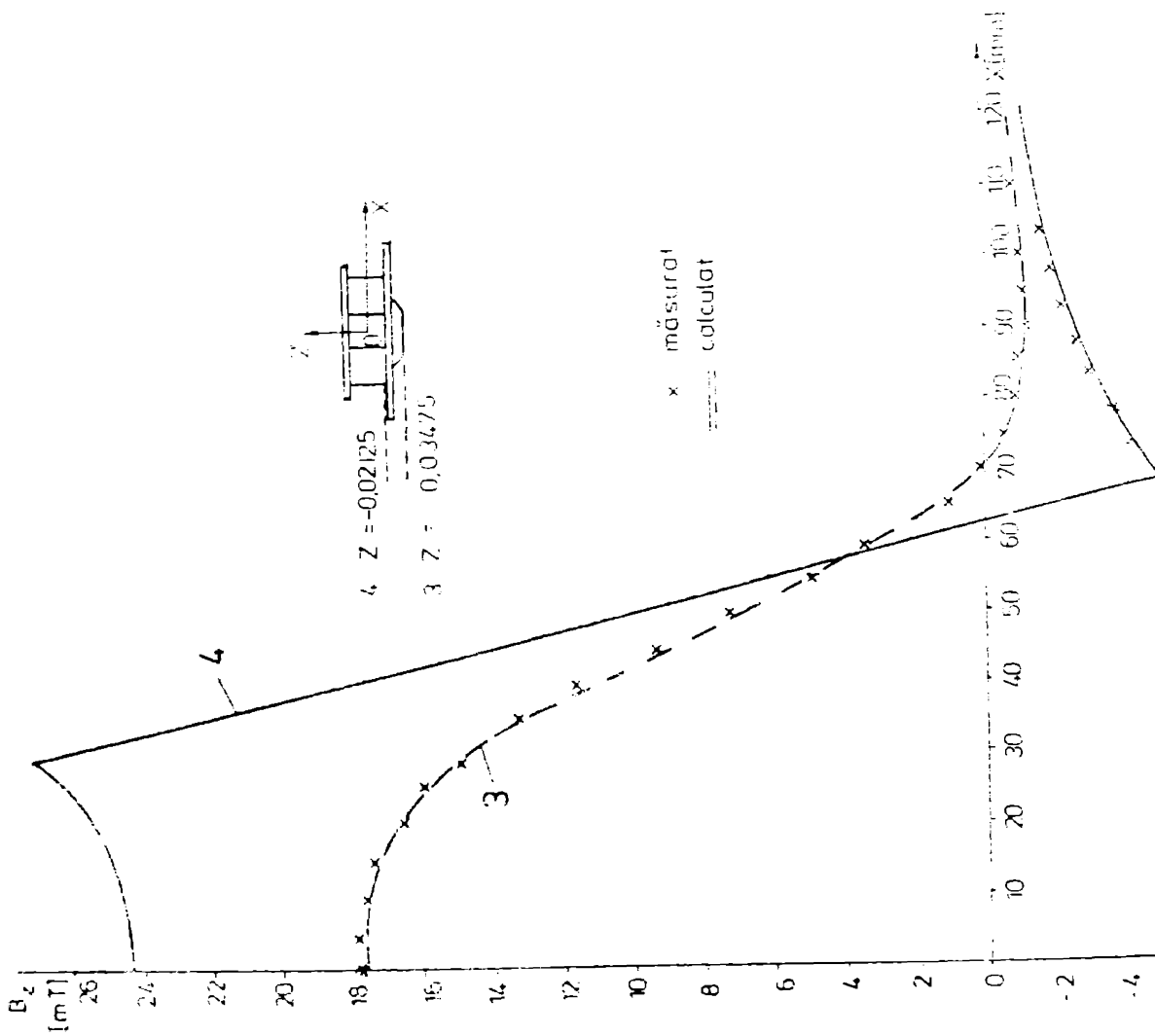


Fig.4.48. Distribuția calculată și măsurată a componentei axiale a inducției magnetice B_z —0.03475 m; Z —0.02125 m

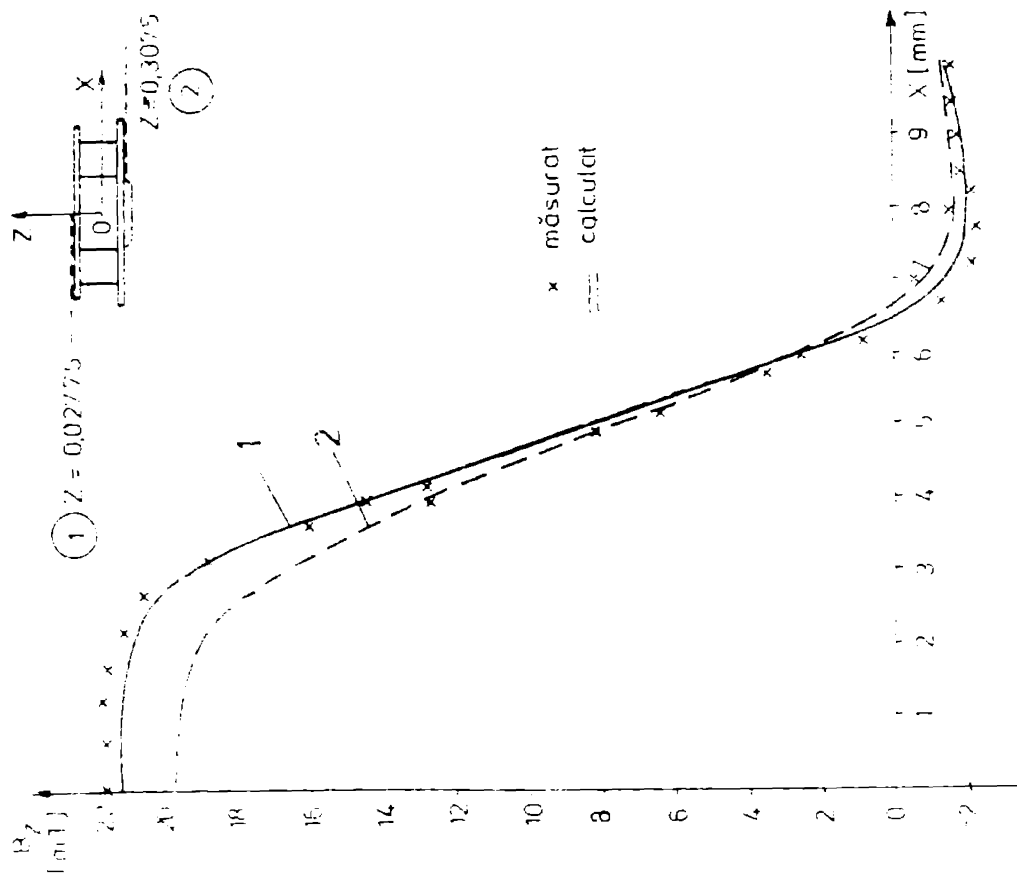


Fig.4.49. Distribuția componentei B_z a inducției magnetice la Z —0.02775 m; Z —0.3075 m.

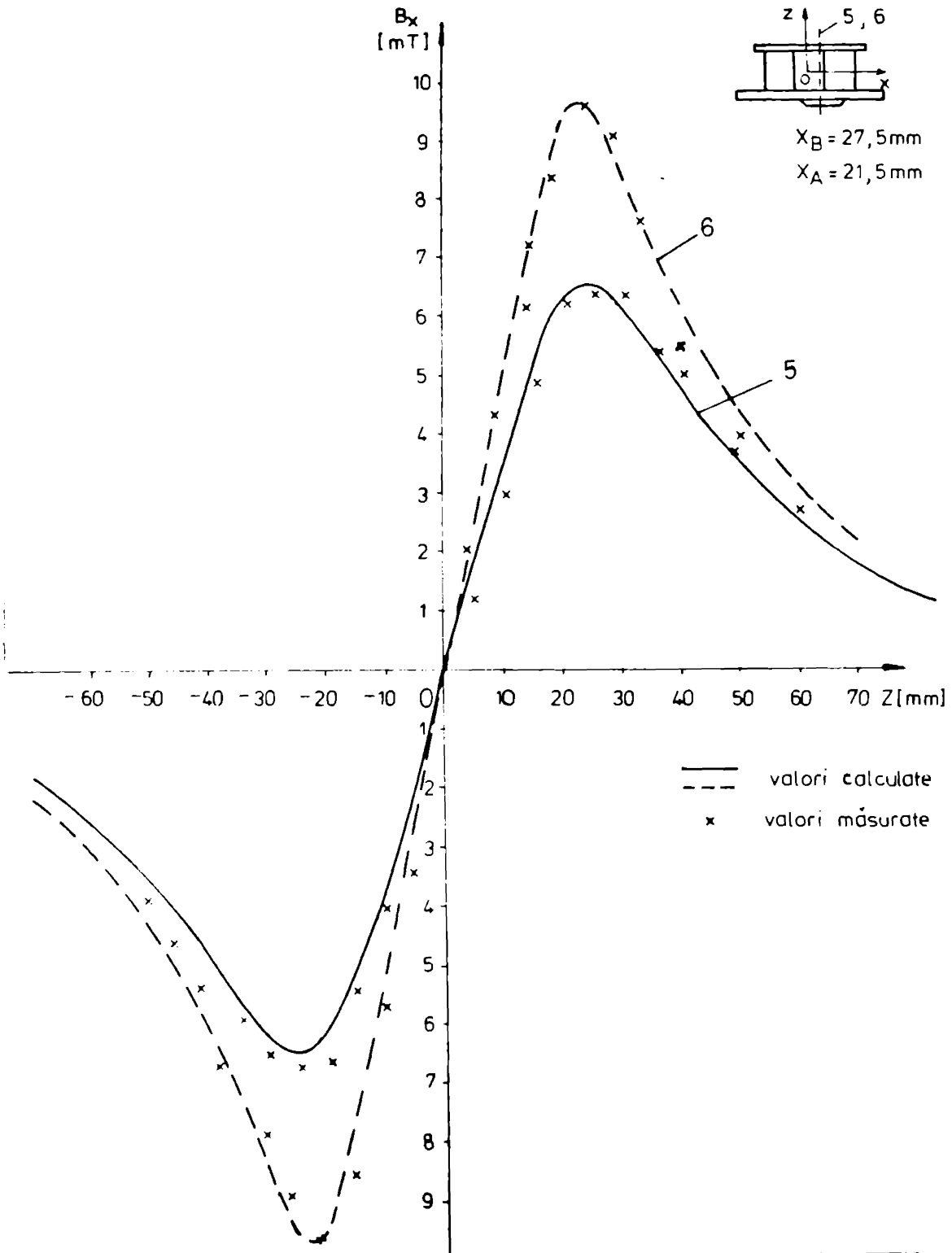


Fig.4.50 Distribuția componentei B_x a inducției magnetice paralel cu axa bobinei circulare, în apropierea suprafeței interioare a bobinajului. Măsurătorile s-au efectuat în canalul practicat în carcasă.

Cazul : 5 : $x = 0.0215$ m,
6 : $x = 0.0275$ m.

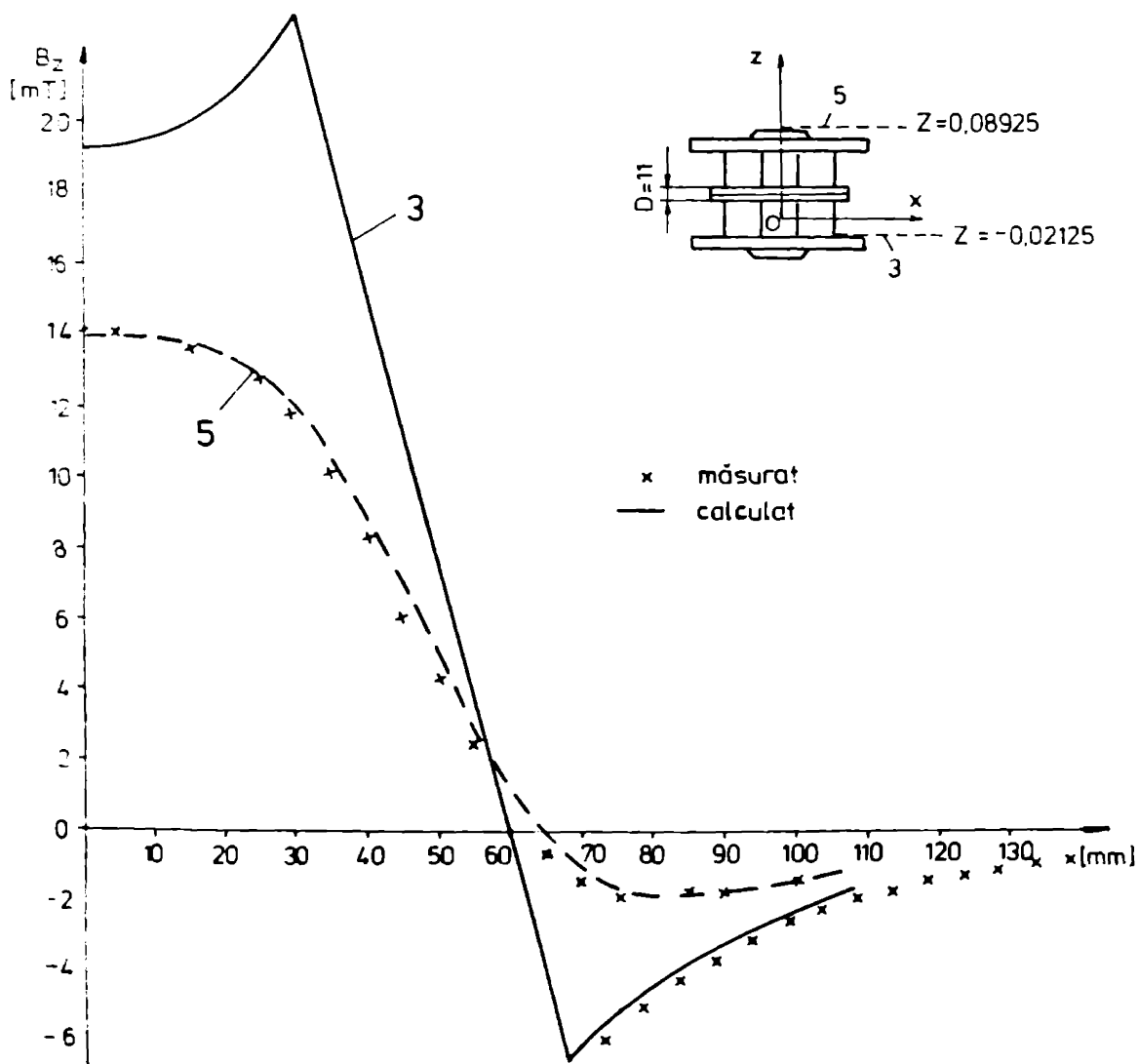
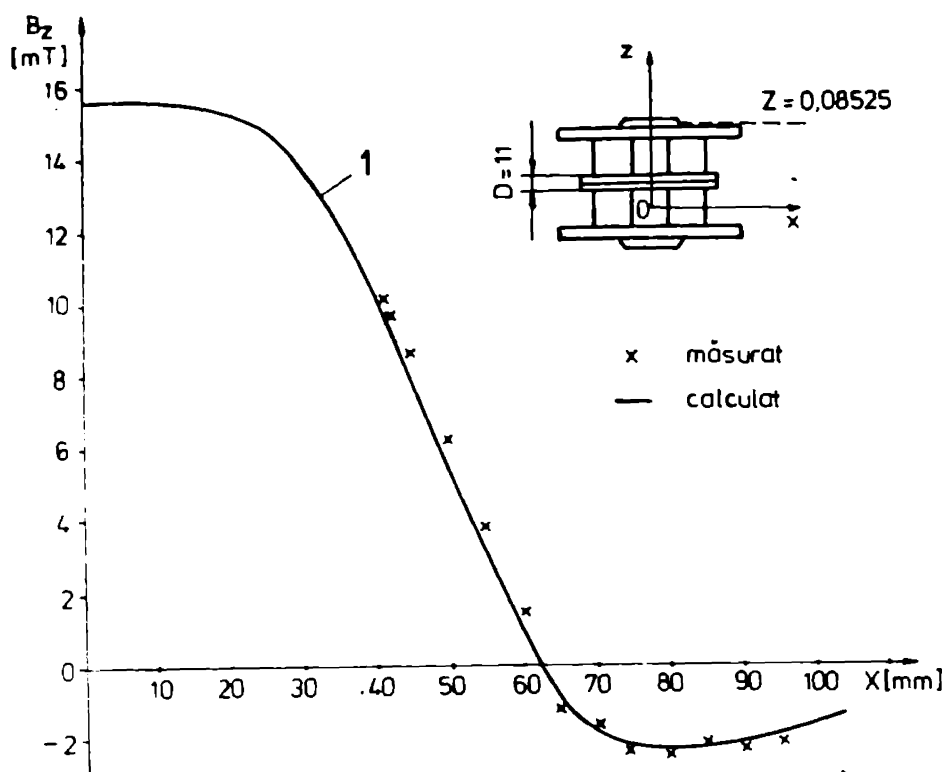


Fig.4.51. Distribuția câmpului magnetic pentru două bobine conectate în opoziție. Cazul $D=11$ mm.
1: $z=0,08525$ m; 3: $z=-0,02125$ m; 5: $z=0,08925$ m.

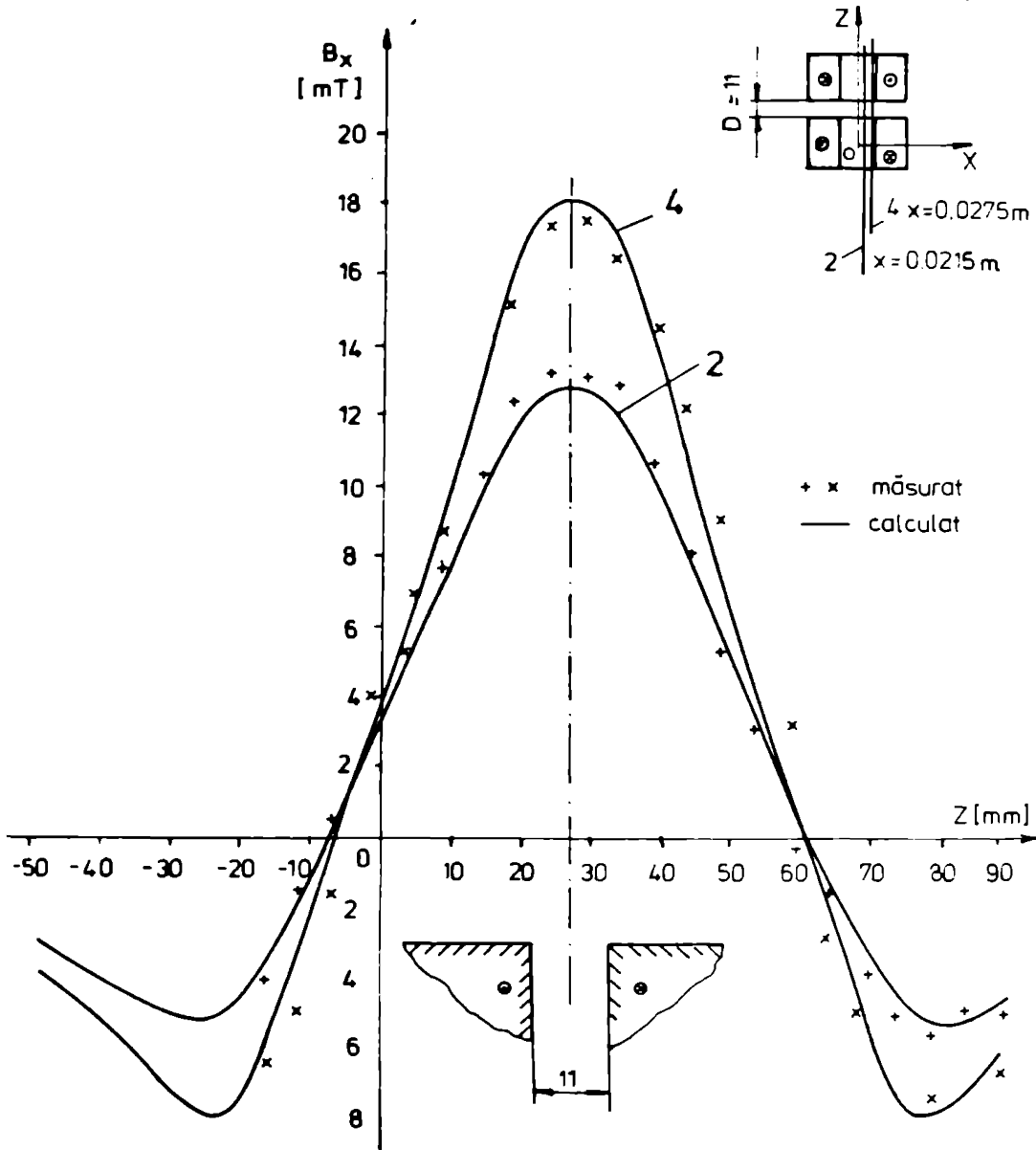


Fig.4.52 Distribuția componentei radiale, B_x , a inducției magnetice, în cazul a două bobine, cu același axă de simetrie, conectate în opoziție, similar cu subsistemul magnetic de la mașinile unipolare tip tambur, în lungul unor drepte paralele cu axa bobinelor, aflate în apropierea suprafeței interioare a bobinajului.

Distanța dintre bobine $D = 11$ mm.

Măsurătorile s-au făcut la

2 : $x = 0.0215$ m

4 : $x = 0.0275$ m .

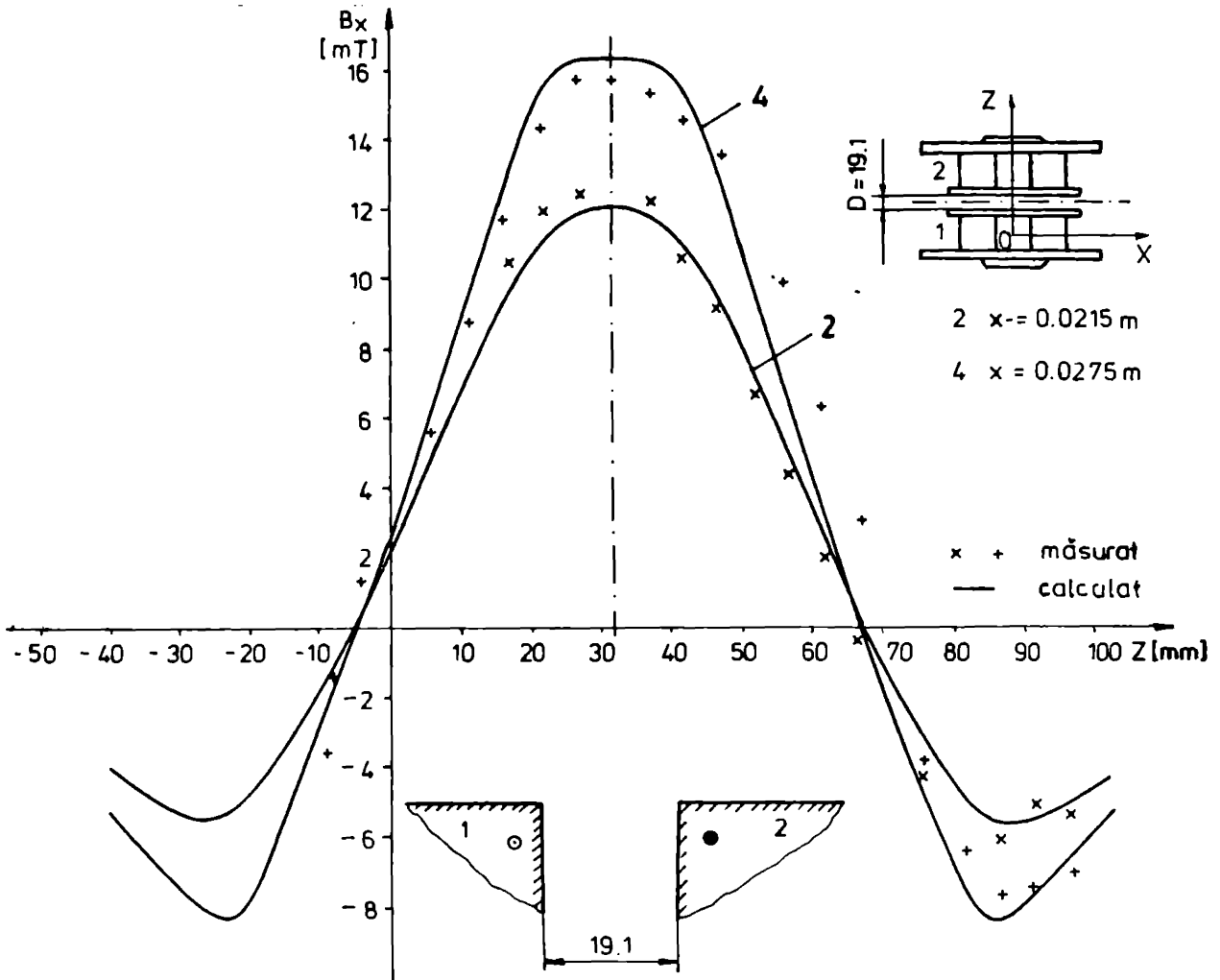


Fig.4.53 Distribuția componentei B_x a inducției magnetice totale pentru două bobine cilindrice conectate în opoziție. Distanța dintre bobine este :

$$D = 19.1 \text{ mm.}$$

Măsurătorile s-au făcut la :

$$2 : x = 0.0215 \text{ m ;}$$

$$4 : x = 0.0275 \text{ m ,}$$

în canalul practicat în carcasa bobinei.

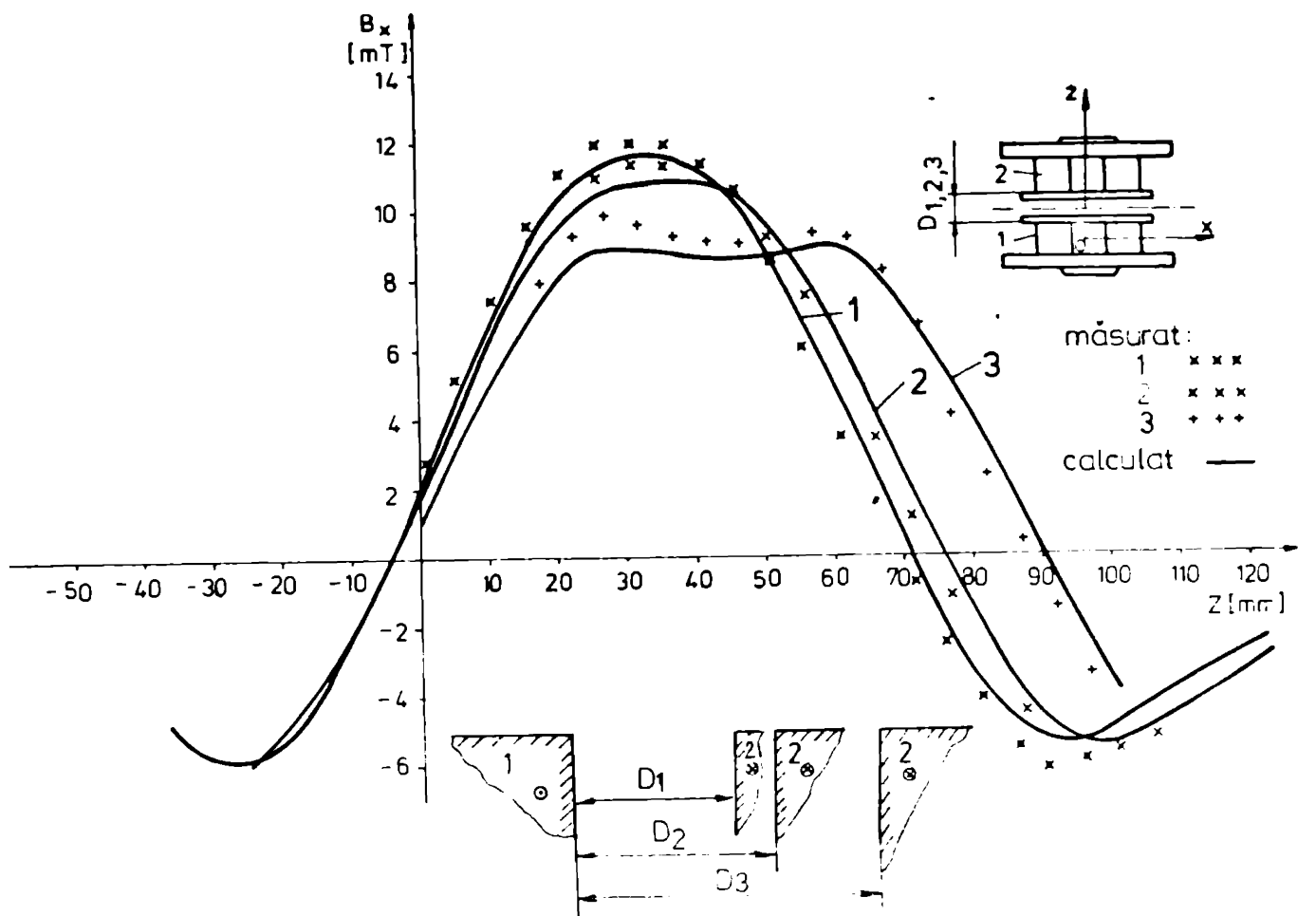


Fig.4.54 Distribuția componentei B_x a inducției magnetice totale, produse de cele două bobine analizate, la distanța $x = 0.0215$ m de axa O_z . Bobinele sînt conectate în opoziție, iar distanța dintre bobine, D , este : 23,1 mm, pentru curba 1
28,6 mm, pentru curba 2,
respectiv 44 mm pentru curba 3.

4.5.4. Instalație experimentală pentru măsurarea forțelor electrodinamice la bobine.

Au fost măsurate forțele axiale totale, exercitate între cele două bobine prezentate în fig.4.42, pentru diferite valori ale distanței dintre bobine și pentru diferite valori ale curentului. Bobinele au fost conectate în opoziție formînd un sistem similar grupului de bobine din mașinile unipolare tip tambur. Bobina superioară 2 în fig.4.55 se sprijină pe un suport nemagnetic și electroizolant iar bobina inferioară, 1, este susținută de o tijă neferomagnetică subțire, fixată mecanic articulat de un traductor tensometric pentru măsurarea forțelor (T). La rîndul său traductorul este fixat articulat de un suport fix.

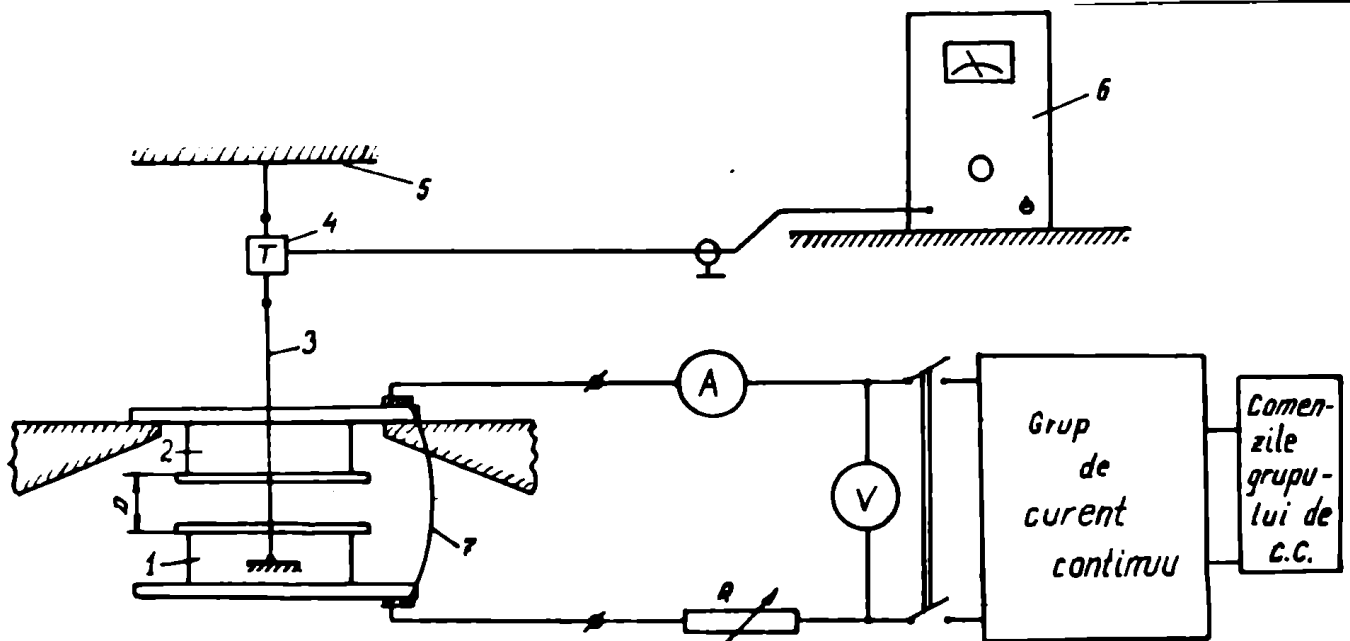


Fig.4.55 Instalație experimentală utilizată pentru măsurarea forțelor axiale între bobine. 1,2-bobine, 3-tija de susținere a bobinei 1,4-traductor de forță, 5-suport, 6-punte de măsură, 7-legătură foarte flexibilă

Schema instalației experimentale realizate, este prezentată în fig.4.55. Ampermetrul folosit, are domeniul maxim 30A, clasa 0,2, traductorul T, clasa 0,1 și puntea 6, clasa 0,1; celelalte aparate sînt de precizie uzuală 1,5 - 2,5%.

În fig.4.56 sînt prezentate fotografiile cu detalii ale instalației utilizate : a - bobinele și modul lor de fixare, b - traductorul de forță și modul de susținere a bobinei inferioare, precum și o vedere de ansamblu a acesteia - fig. 4.56 c.

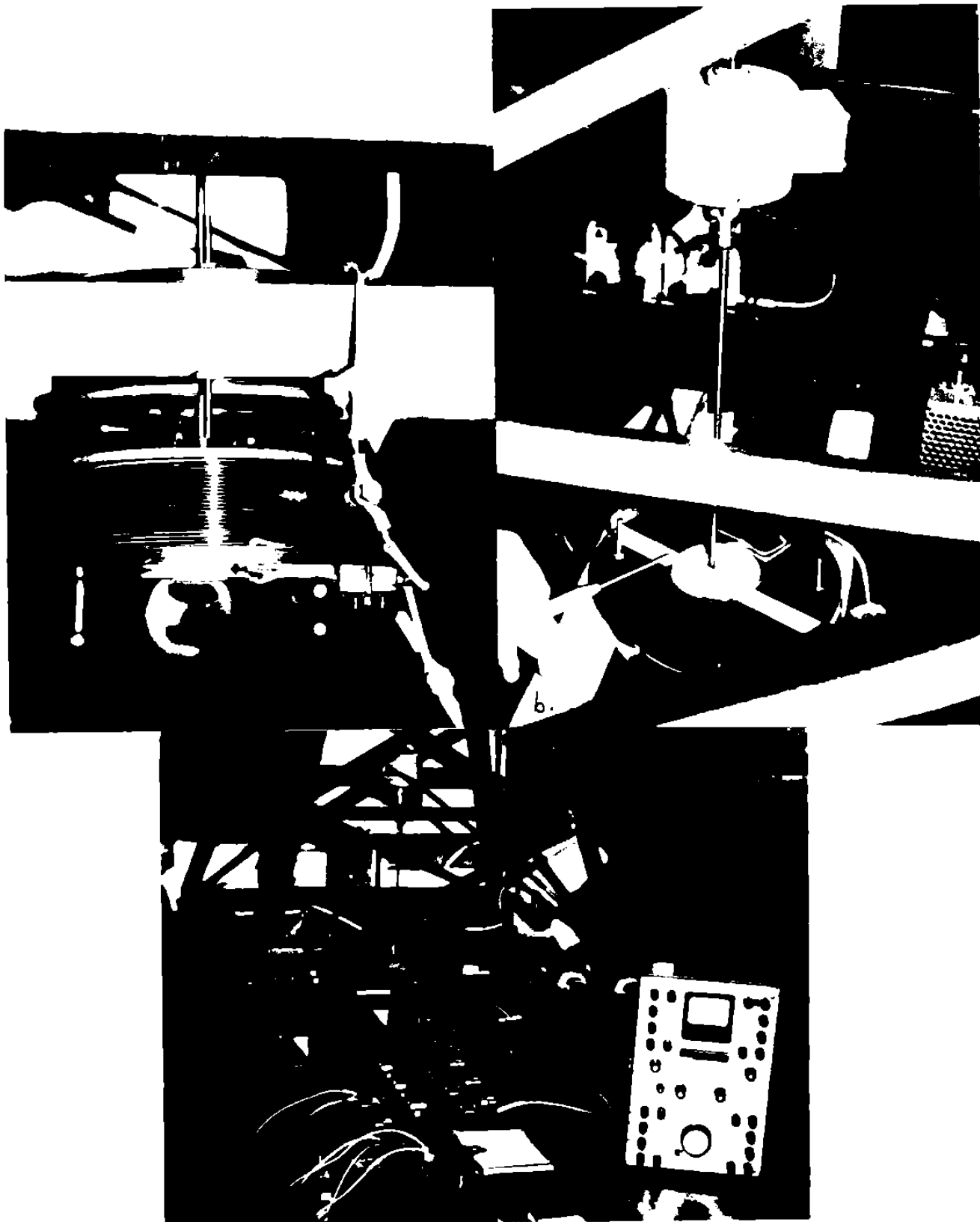
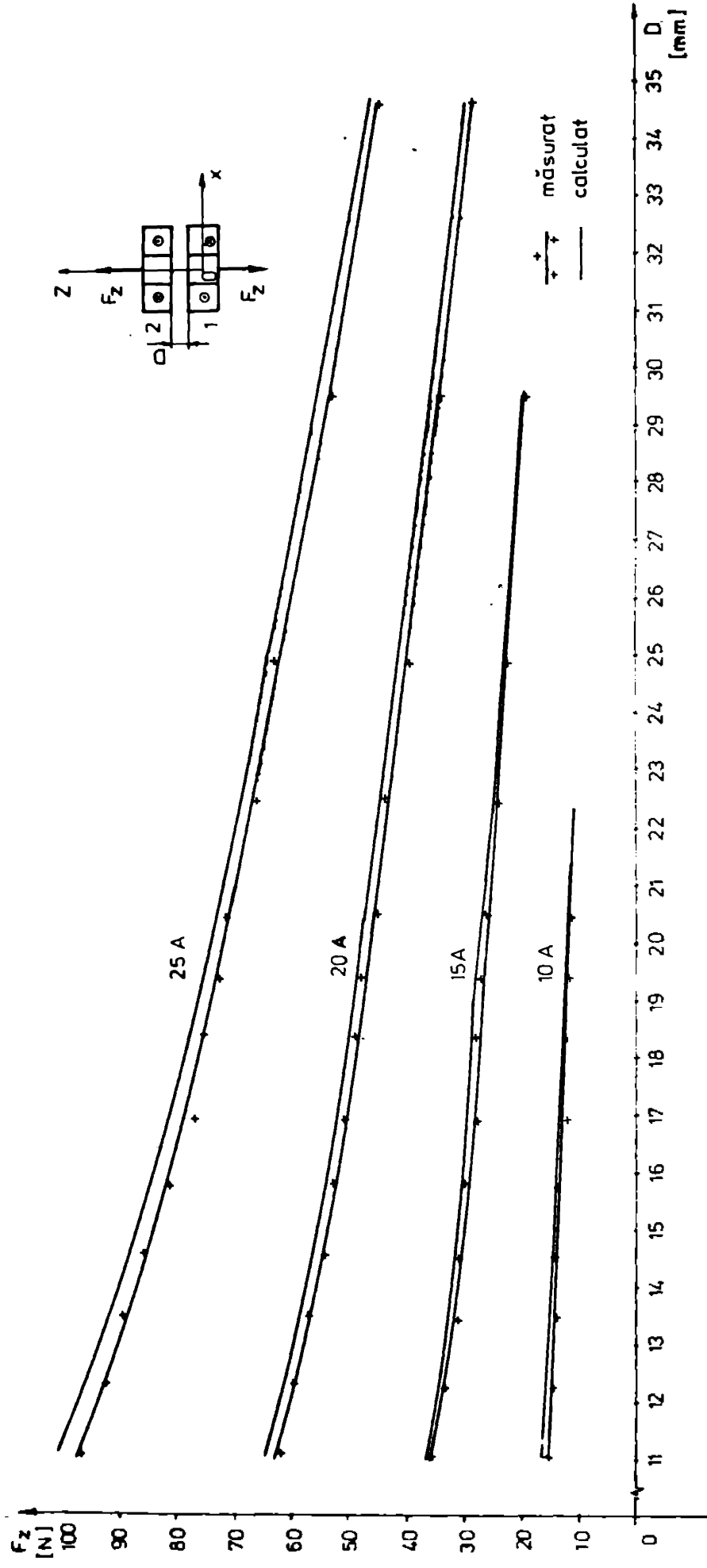


Fig.4.56. Detalii de vedere de ansamblu a instal. fizicii experimentale pentru determinarea forțelor electrodinamice axiale între bobine. a-bobinile, b-traductorul de forță și suportul de fixare a bobinilor, c-vedere de ansamblu a instalației folosite, în urma unei punți tensometrice, în planul îndepărtat traductorul de forță, tija de susținere a bobinei inferioare și suportul mecanic.



**Fig.4.57. Forțele electrodinamice axiale, calculate și măsurate pentru două bobine cu aceiași
 axă de simetrie, conectate în opoziție, corespunzătoare subintervalului magnetic al
 maglilor unipolare tip tambur în circuit feromagnetic, pentru diferite valori
 ale curentului și distanței dintre bobine.**

4.5.5. Măsurări de forțe și compararea cu rezultate calculate

Pentru distanța D între bobine, între 11 și 35 mm și curenți între 5 și 25 A au fost măsurate forțele electrodinamice axiale. Aceste forțe de respingere (bobinele sînt conectate în opoziție), datorită faptului că bobina inferioară este susținută de traductorul de forță, se transformă într-un efort de tracțiune mecanică asupra acestuia.

Alungirile suferite de elementul elastic al traductorului de forță sînt practic neglijabile, măsurătorile făcîndu-se, din acest punct de vedere, practic la distanța dintre bobine stabilită înainte de conectare. Au fost luate măsuri de poziționare a bobinelor și uneori de ghidare laterală a acestora, avînd în vedere faptul că o neconcordanță mică a axelor de simetrie a celor două bobine conduce la forțe laterale, care modifică poziția reciprocă a acestora.

Rezultatele măsurătorilor împreună cu rezultatele calculate ale forțelor axiale sînt prezentate în fig.4.57. Calculele au fost efectuate utilizînd programul FBCAAS descrisă în paragraful 4.4.1. Diferențele procentuale între valorile calculate și cele măsurate sînt sub 5%, fiind considerate corepunzătoare. La curenți mici, cele două curbe, calculată și măsurată, practic se suprapun. Diferențele mai mari la forțe mari, sînt puse pe seama unor eventuale deplasări reciproce a celor două bobine, datorită fixării imperfecte a bobinei 2 și eventuale alte deplasări la tija de susținere, traductor, suport etc. Forțele obținute nu au valori prea mari (≈ 100 N) întrucît s-au utilizat bobine convenționale, cea mai mare densitate medie de curent în secțiunea bobinei depășind 8 A/mm². În cazul cînd aceleași bobine ar fi fost supraconductoare, cu o densitate medie aprox. 110 A/mm², /4.13/, forțele exercitate ar fi în apropiere de 20000 N, deci deosebit de mari.

Cunoașterea forțelor electrodinamice axiale este indispensabilă unei proiectări corepunzătoare a subsistemului magnetic la mag-nile unipolare tambur supraconductoare, fără circuit feromagnetic, dar și în alte situații din echipamente electrice de putere, unde se folosesc bobine avînd formă și poziție similară cu cele considerate.

4.6. Verificări experimentale calitative, privind forțele electrodinamice, la un separator de foarte înaltă tensiune

4.6.1. Precizări privind problema abordată

Separatoarele de înaltă tensiune, montate în sistemele energetice, sînt supuse, în timpul scurtcircuitelor, unor solicitări electrodinamice deosebite. În vederea atestării calității producătorii de echipamente, le supun unor probe de stabilitate termică și dinamică. Încercările în acest sens, prevăzute de norme, au la bază recomandarea C.E.I.-129. Aceasta stabilește condițiile și modul de încercare a echipamentului : schemă de încercare monofazată, modul de montare a separatorului, distanțele între căile de curent etc., astfel încît încercările să fie apropiate de cazul real. Folosind o schemă conform C.E.I.-129 se efectuează încercarea de stabilitate termică și dinamică la separatoare.

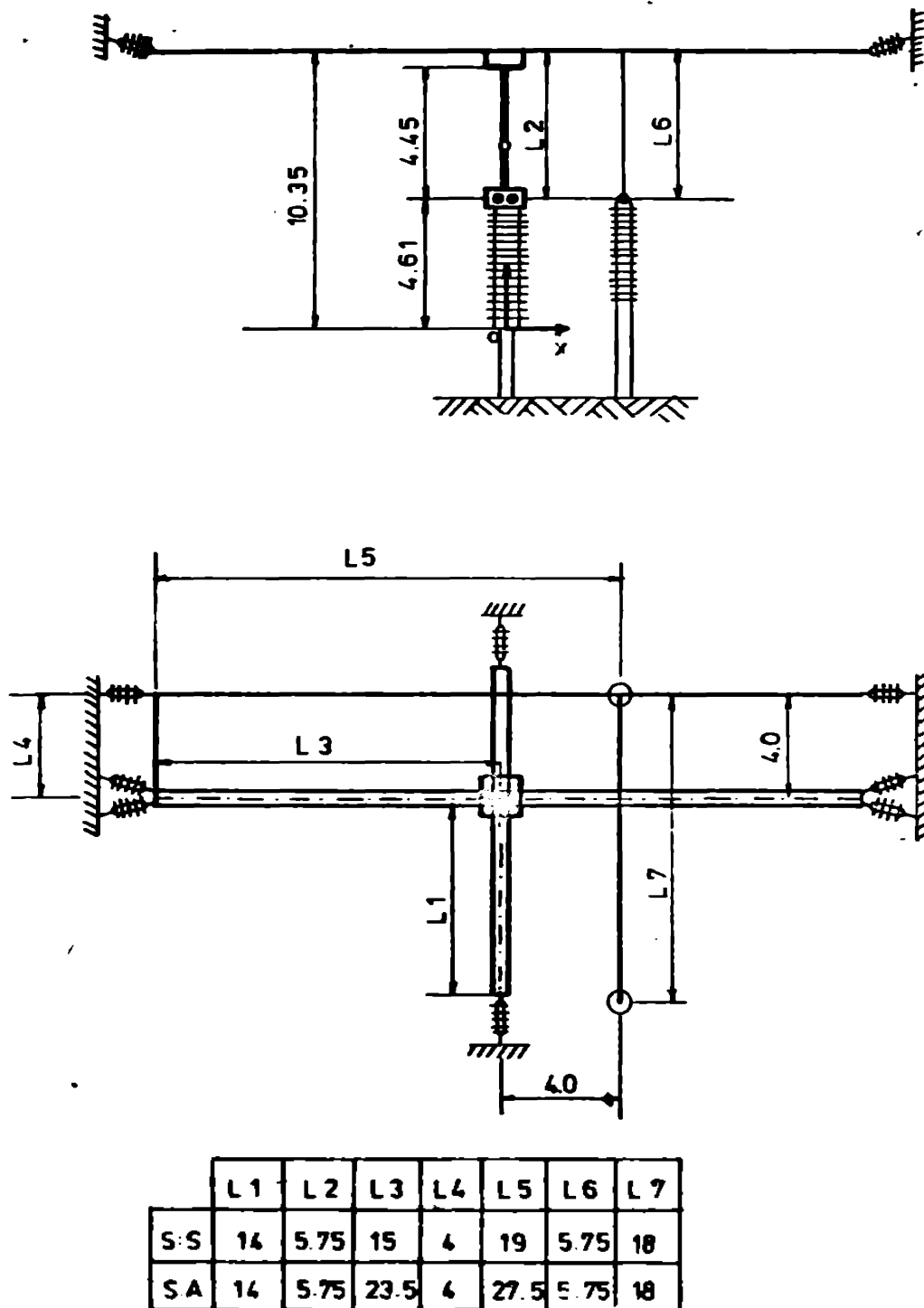
Curentul care parcurge schema este cu componentă aperiodică, avînd o valoare maximă cu un coeficient de șoc (lovitură) $k_g \approx 1.77$.

Cazul analizat în continuare, se referă la un separator tip pantograf. Schema de încercare și dimensiunile diferitelor elemente sînt reprezentate în figura 4.56, C.E.I. permițînd încercarea în cadrul unei scheme cu montarea simetrică (S : S) a separatorului, respectiv cu montare asimetrică a acestuia (S : A).

4.6.2. Instalația experimentală

Încercările au fost realizate în cadrul LMP-Craiova, în cadrul schemei asimetrice (S:A în fig.4.58). Un desen în perspectivă al acesteia cu numerotarea unor bare echivalente, și cu separatorul închis, este prezentat în fig.4.59. În figurile 4.60 și 4.61 sînt prezentate fotografiile ale instalației experimentale, separatorul fiind deschis.

Din punct de vedere electric, schema conținînd separatorul de încercat este o cale de curent tridimensională, conținînd conductoare parcurse de curent cu poziție reciprocă arbitrară, asupra cărora acționează forțe electrodinamice.



DIMENSIUNILE SINT IN METRI

Fig.4.5A Dimensiunile cǎii de curent și modul de montare a separatorului (SEP) în schema de încercare la stabilitate termică și dinamică (C. I-129)

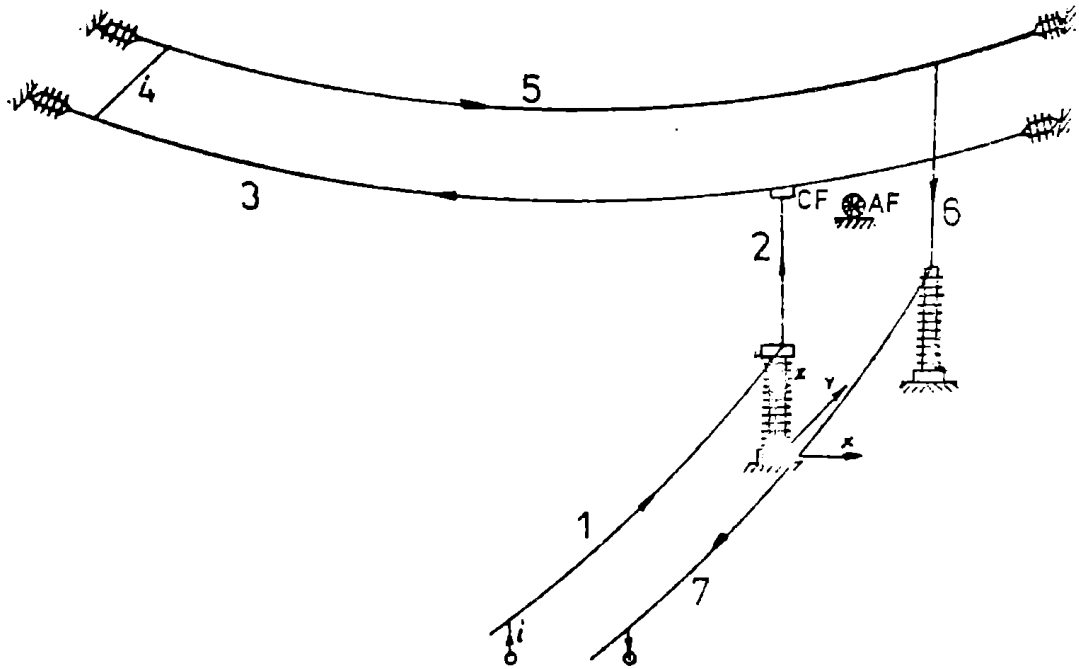


Fig.4.59. Calesa de curent simplificată (perspectivă), notarea conductoarelor (2- pantograful separatorului, CF - contactul fix al separatorului, 1,3,4,5,6,7 conductoare parcurse de curent) și poziția aproximativă a aparatului de filmat (AF) la încercările de stabilitate termică și dinamică conform CBI-129

Din punct de vedere mecanic sistemul este spațial conținând bare articulate, bare cu rezemare, bare incastrate, și fire reale (nu ideale), aflat sub acțiunea unor forțe cu distribuție spațială neuniformă în lungul barelor.

Aceste forțe, având de obicei componente după toate cele trei axe ale unui sistem de referință ales, au și o variație complicată în timp, care poate conduce la vibrații ale întregului sistem mecanic.



Fig.4.60 Vederi ale schemei experimentale conform CBI-129
Separatorul este deschis. Inerotirea barelor
este ca in fig.4.59. CF-contactul fix; BI-bare
din material electroizolant.

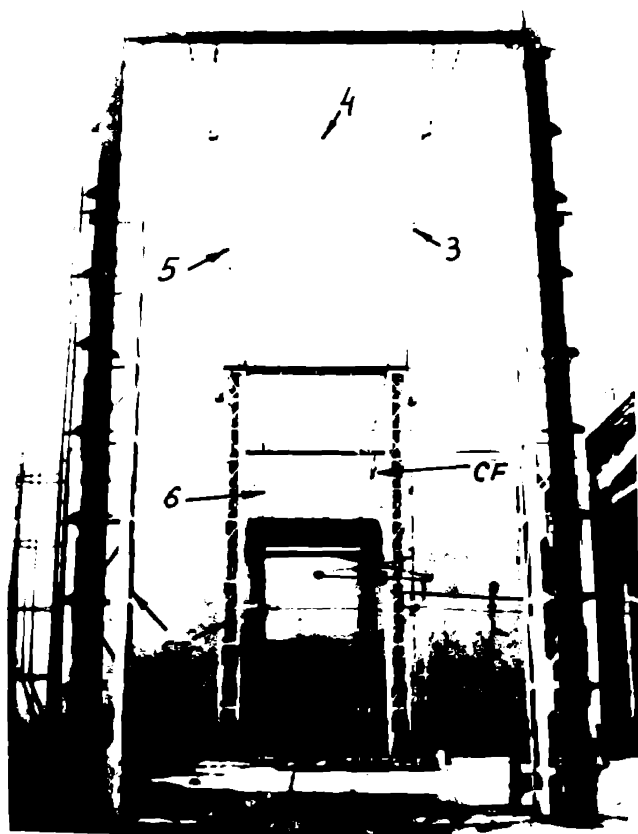


Fig.4.61 Schema experimentală conform CEI-129, vedere dintr-un punct aflat pe sol sub bara 4. Numerotarea barelor - ca în fig. 4.59. ST - stâlpi de susținere a conductoarelor aeriene 3,4 și 5

4.6.3. Determinări experimentale și compararea cu rezultatele calculate

Avînd în vedere distribuția spațială neuniformă a forțelor electrodinamice asupra conductoarelor din schemă, complexitatea deosebită a sistemului mecanic, faptul că forțele electrodinamice totale ar trebui date de măsurători de efecte mecanice cît și de condițiile deosebite de tensiune (kV) și curent (pînă la 100 kA) pentru încercări se consideră o verificare calitativă a forțelor electrodinamice prin filmarea fenomenului.

La scurtcircuit, sub acțiunea forțelor electrodinamice conductoarele din sistem, în special funiile, suferă deplasări importante și direcția forțelor și deci deplasările conductoarelor sînt un indice asupra direcției și orientativ a mărimii forțelor electrodinamice. Datorită faptului că sub acțiunea forțelor, variabile în timp, dar și după încetarea acestora, datorită elasticității elementelor din sistem, barele și funiile oscilează, pentru scopul urmărit, vor fi considerate numai primele cadre ale filmării, cînd, se poate considera, poziția și forma barelor, o urmare imediată a acțiunii forțelor electrodinamice.

În cadrul unor încercări de stabilitate termică și dinamică, la o variantă a unui separator pantograf a fost filmată calea de curent. Încercările conform normelor, au fost făcute la curenți avînd valoarea efectivă, în regim permanent 32 kA și 40 kA și valoarea de vîrf 90 kA respectiv 100 kA.

Cîteva cadre, din primele momente ale scurtcircuitului, filmate (24 c/s) la una din aceste probe sînt prezentate în fig.4.62. În această figură se remarcă elementele căii de curent, vizibile și în fig.4.59, 4.60 și 4.61 pantograful P, izolatorul separatorului I, contactul fix superior CF și conductoarele căii de curent (numerate ca în fig.4.59) și stîlpul portal de susținere a conductoarelor aeriene (vizibili și în fig.4.61).

Modul de deplasare a conductoarelor căii de curent sub acțiunea forțelor electrodinamice este prezentat în fig.4.63. În fig. 4.63 a sînt prezentate fotografii pentru patru cadre ale filmului. Traseul conductoarelor din calea de curent analizată, a fost scos în evidență pe fotografii prin mici puncte, plasate pe traseul conductoarelor. În fig.4.63b au fost evidențiate, prin copiere de pe fotografii, elementele căii de curent și forma acestora. Tăierea și denunțarea

elementelor din fig.4.63b, corespunde celor din fig.4.62 și 4.59.

Analizând comparativ imaginile din fig.4.63, 4.62 cu cele din fig.4.59, 4.60, și 4.61, ținându-se cont de modul în care a fost considerat sistemul de referință $xOyz$ și fig.4.59 și 4.63 și de poziția aparatului de filmat, 4F, fig.4.59, se constată următoarele :

a. Conductoarele flexibile 3,5,6, fig.4.59, suferă deplasări importante, curbându-se în limita lungimii lor, a modului de fixare și dependent de mărimea și sensul forțelor electrodinamice care acționează asupra lor

b. Dintre conductoarele vizibile în fig.4.63 deplasări importante apar la conductoarele notate 6 și respectiv 3, la baza contactului fix superior (CF) și la funiile care leagă acest contact de conductorul superior 3.

c. Conductorul 6, vertical în condiții normale, capătă o formă spațială complexă, evidențiindu-se o umflare în sensul pozitiv al axei Ox , fig.4.63, în treimea superioară și o deplasare mai puțin semnificativă a porțiunii inferioare, din apropierea punctului inferior de fixare, în sensul pozitiv al axei Oy .

În cele patru cadre analizate, conductorul 6 capătă forme ușor diferite, în special în porțiune inferioară, odată cu trecerea timpului, dar alura de bază rămâne aceeași.

d. Conductorul superior 3, care este parcurs de curent pe porțiunea de la contactul fix superior până la conductorul 4, fig.4.59, suferă o mișcare complexă, în plan vertical și orizontal, observându-se în toate cele patru cadre o ridicare a funiei 3, începând de la funiile care susțin contactul fix superior, CF, pe porțiunea negativă a axei Ox , fig.4.63b.

e. Contactul fix superior (CF) suferă o deplasare pe verticală observându-se o ridicare mai pronunțată a părții din spate porțiunea parcursă de curent a barei 3 (partea dreaptă sau în sensul $-Ox$, în fig.4.63b). De asemenea (CF) suferă o deplasare orizontală în sensul $+Ox$, fiind deplasat lateral între contacte.

f. Conductoarele verticale care fac legătura între contactul fix superior (CF) și conductorul 3, punctele A și B, se curbează în sensul pozitiv al axei Ox , fig.4.63b, cadrul 1 și următoarele. Conductoarele se curbează, în mod diferit, observându-se o curbură mai pronunțată la cel din spate porțiunea parcursă de curent a barei 3 (cel din dreapta sau punctul B în fig.4.63b).

Aceleași încercări au fost urmărite cu o cameră de luat vederi și înregistrate magnetic. Analiza pe monitorul TV a imaginilor

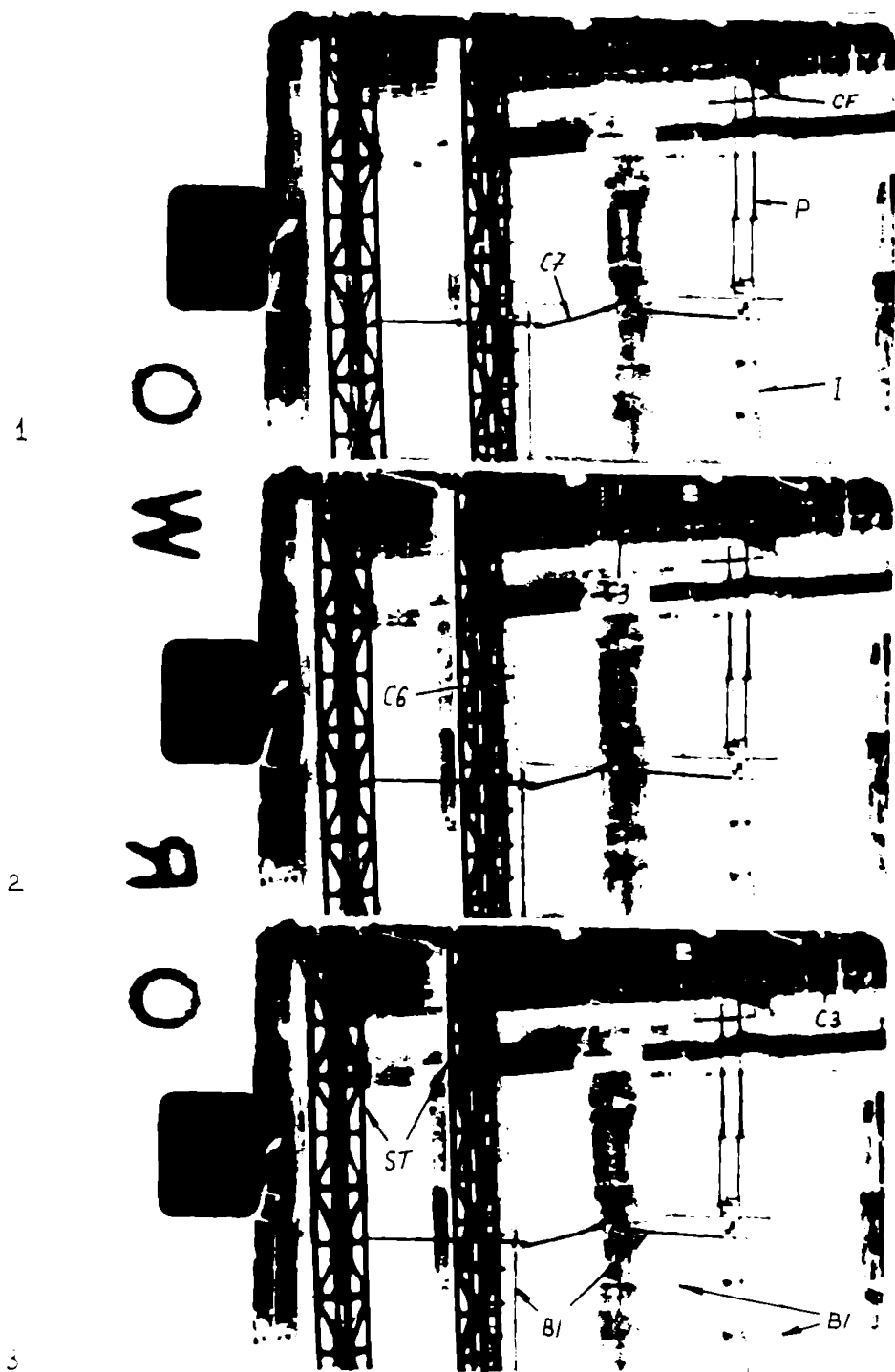
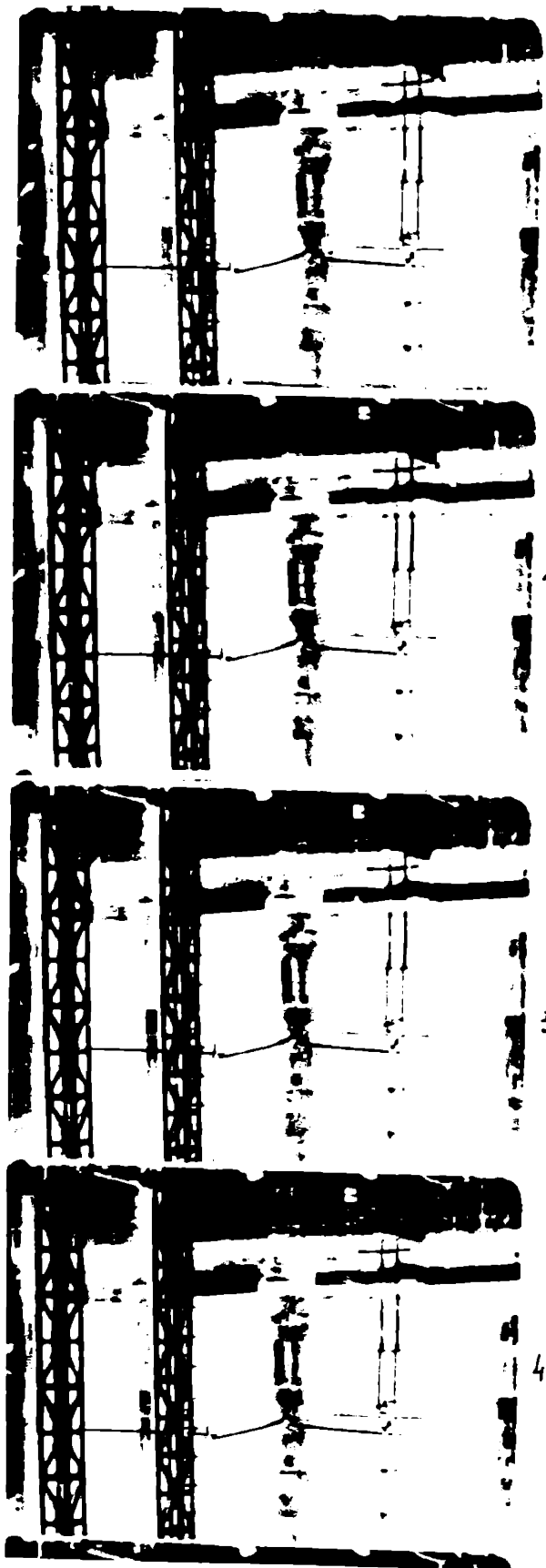
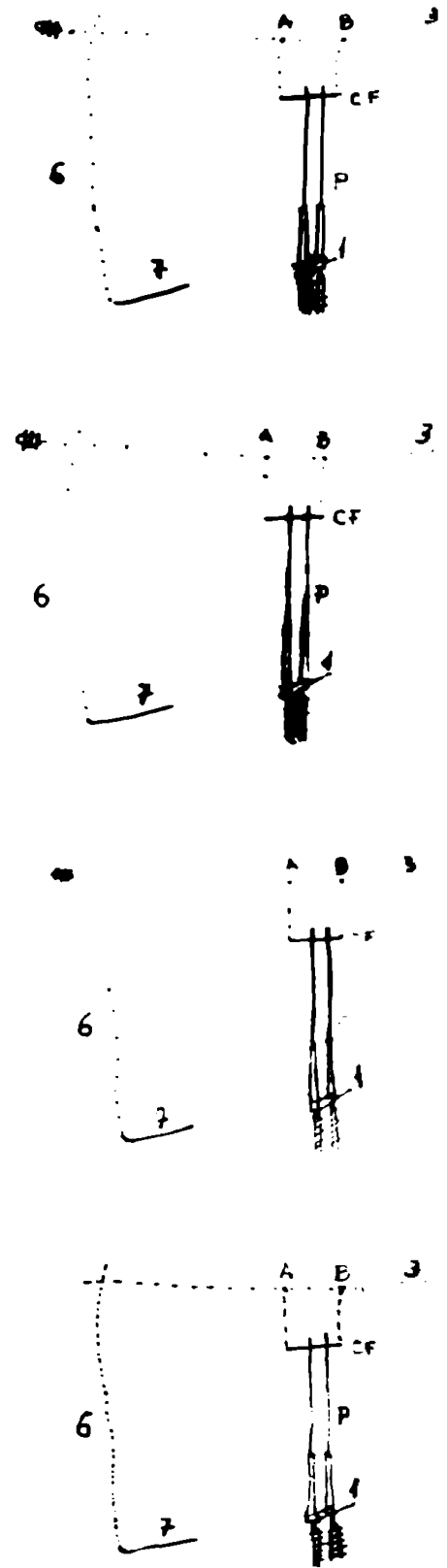


Fig. 4.62 Cadre din filmul realizat la încercarea de stabilitate termică și dinamică a unui separator pantograf montat în schemă conform CMI-123. P-pantograful, CF-contactul fix, I-izolatorul separatorului, C3, C6, C7-conductoarele cu numerele 3,6,7 conform notațiilor din fig. 4.19, ST-stâlpii de susținere a conductoarelor aeriene 3,4,5, BI-bare de material electroizolant. Simpul: 1...3.



a.



b.

Fig. 1.4.63. a. - nivel de deplasare conductoarelor cǎii de curent
 sub acțiunea forțelor electrodinamice
 b. - îngrădiri filmate; c. - traseul și poziția conduc-
 toarelor avi antiste de pe imaginile a. CF - con-
 duct și a; - panto, ref.

foregistrate au condus la aceleași observații ca și cele prezentate mai sus.

Rezultatele experimentale au fost comparate și corelate cu calculele efectuate pentru aceleași dimensiuni ale conductoarelor și valori ale curentului, ca și în schema de încercare.

Pentru calcule, a fost folosită metoda și programul elaborat la studiul conductoarelor cvasimasive, paragraful 3.2.2.2. Rezultate detaliate, au fost prezentate în /4.14/, /4.15/, /4.4/, împreună cu unele considerații privind forța de strângere suplimentară dezvoltată de pantograf asupra contactului fix, precum și un calcul mecanic simplificat al solicitărilor mecanice ale izolatorului. De asemenea unele aspecte privind distribuția forțelor pe conductoarele din stații pentru anumite momente ale scurtcircuitelor, au fost prezentate în /4.16/ și /4.19/, iar considerații privind calculul forțelor electrodinamice și ale solicitărilor mecanice, în /4.19/.

În cazul aproximării grosiere a căii de curent din fig.4.59⁴⁴ șapte conductoare rectilinii cu diametrul 120 mm, forțele electrodinamice au fost prezentate în fig.4.64a.

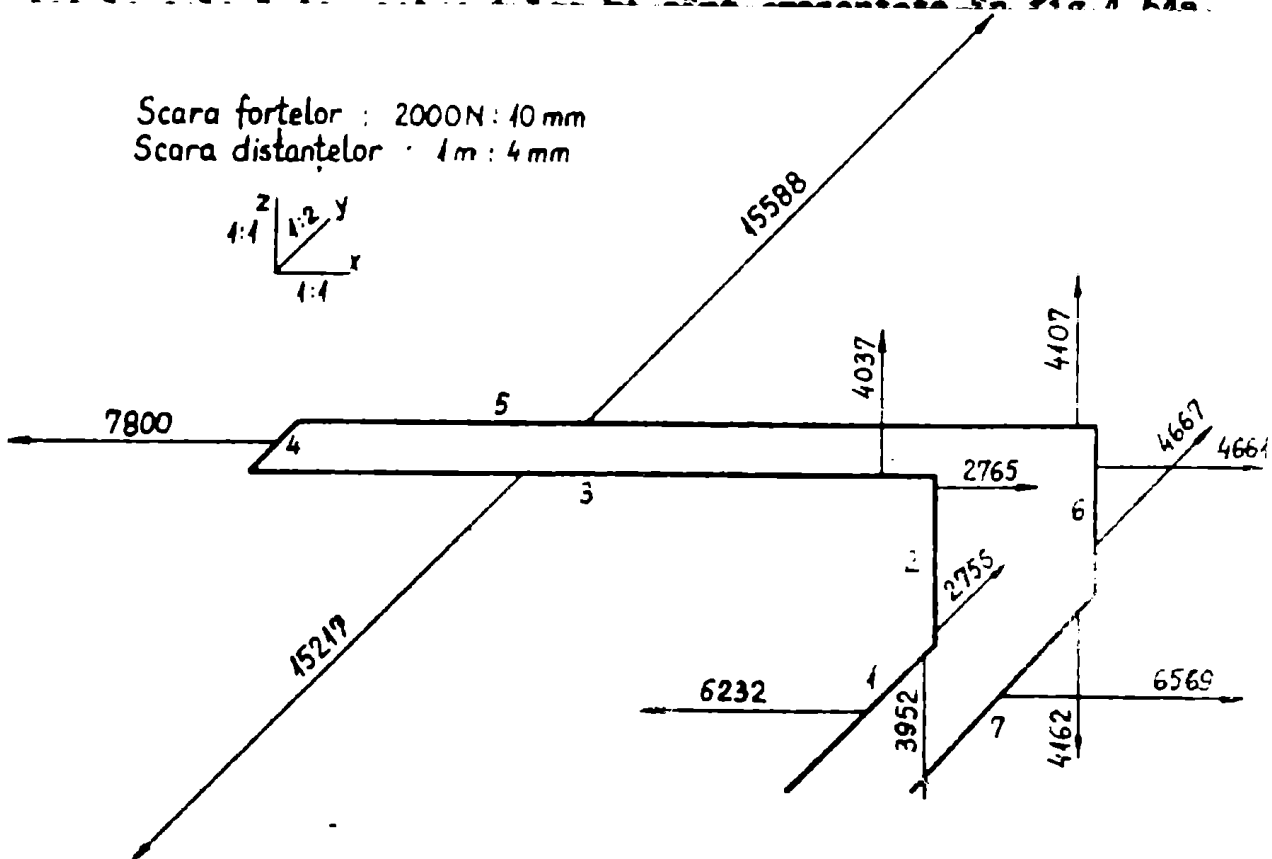


Fig.4.64a Forțele electrodinamice calculate aproximând calea de curent reală cu 7 conductoare rectilinii.
a. Forțele totale /N/ și punctul lor de aplicație pe bare. 1,2,3,4,5,6,7—conductoarele de calcul;
2 - corespunde pantografului.

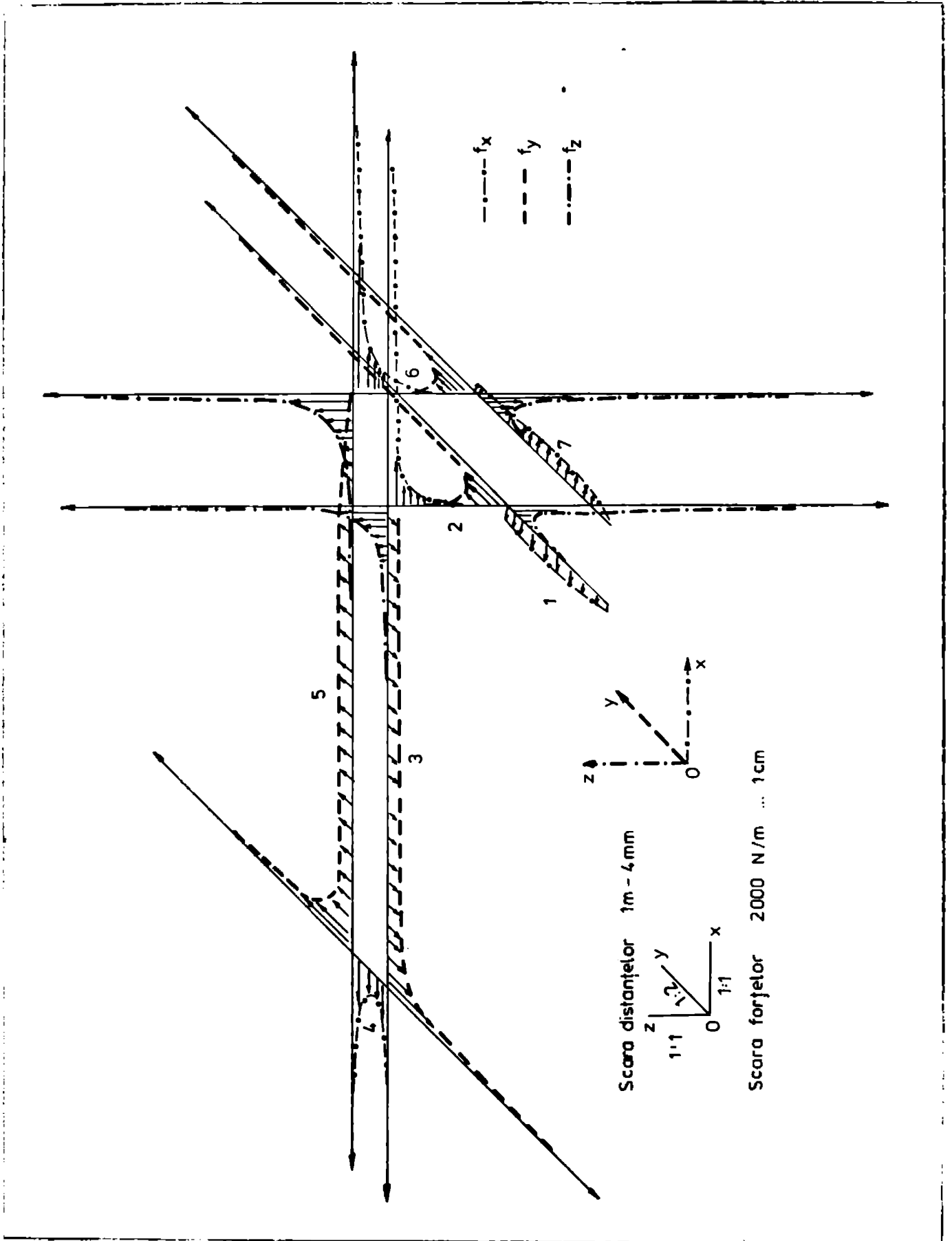


Fig. 4.54b Distribuția forțelor (componentelor) electrodinamice
specifice pentru calea de curent spațială fig.4.64a.

Atît forţele cît şi dimensiunile câii de curent, sînt reprezentate la scară. S-a respectat punctul de aplicaţie ale componentelor^{forţelor} calculat prin program.

Alara distribuţiei forţelor specifice pe unitatea de lungime, în lungul barelor, pentru cazul din fig.4.64a este prezentată în fig. 4.64b.

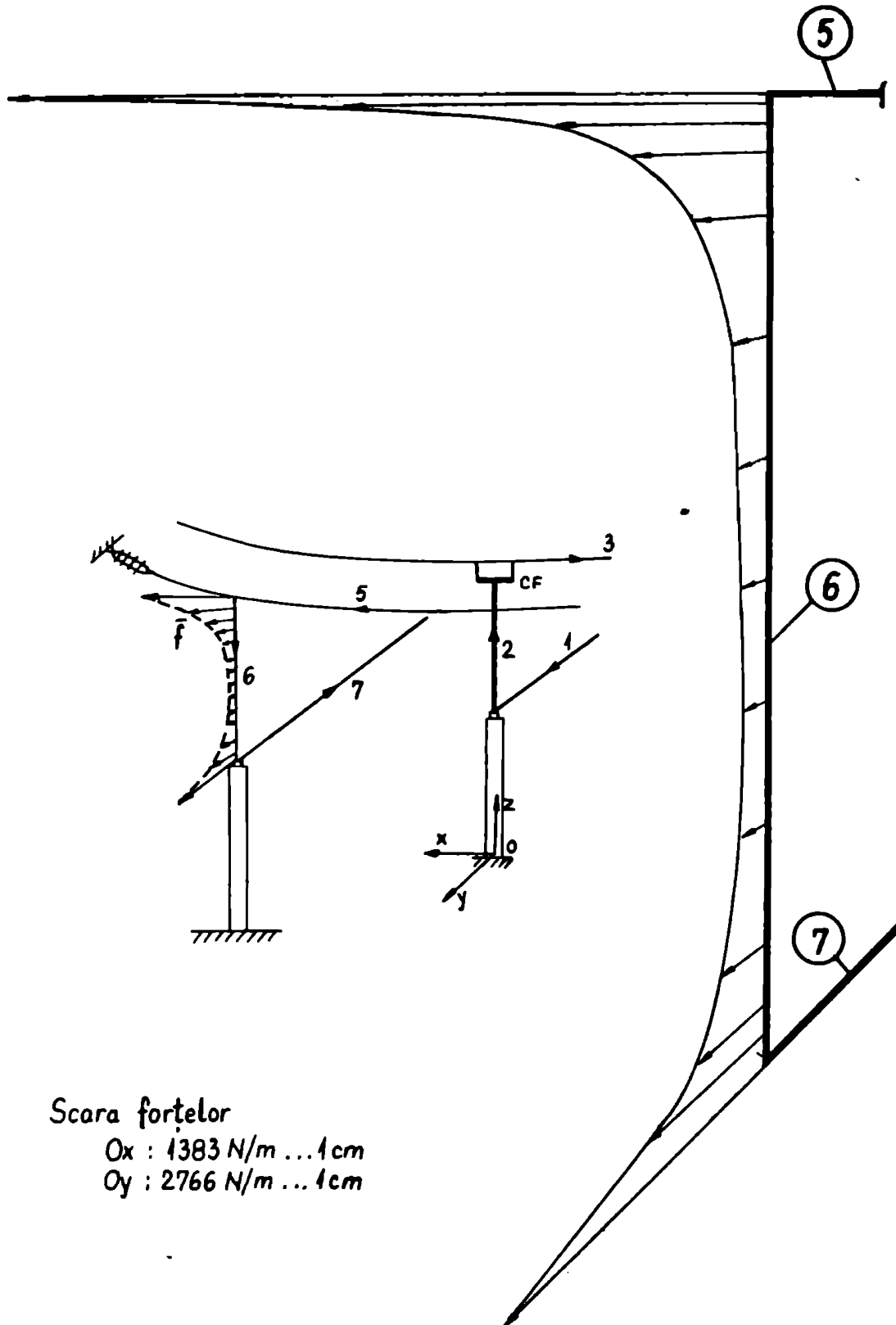
În fig. 4.65, a fost reprezentată pentru bara 6, distribuţia de forţe în lungul acesteia şi pînă cu torsiune de 90° , generată de vectori forţă care acţionează în lungul barei.

Desenul mic din fig.4.65 reprezintă calea de curent dintr-un punct de observaţie similar cu cel de plasare a aparatului de filmat. Fiindcît cont de funia 6 are capătul inferior fixat, iar cel de sus nu poate să se mişte decît în limite relativ restrîmte, şi de faptul cî ea se mişcă în primul moment sub influenţa a două distribuţii de forţe, una în planul XOz , F_x , iar cealaltă în planul YOz , F_y , este de aşteptat ca deplasarea funiei să fie în sensul preponderent $+Ox$, la partea superioară şi preponderent $+Oy$ la partea inferioară. Asupra funiei curbate apar şi forţe după Oz dar sînt mult mai mici decît celelalte. Comparînd fig.4.65 cu fig.4.63 se observă o deplasare a funiei 6 în sensul aşteptat. Forma spaţială complexă a conductorului 6, este pusă pe seama alarii pînsei de forţe acţionînd în lungul lui şi a faptului cî funia nu este un "fir ideal", ea poate să transmită într-o anumită măsură şi momente, diferite părţi ale funiei influenţîndu-se reciproc.

Umflarea mai puţin pronunţată la partea inferioară a funiei 6 este pusă pe seama, pe de o parte a dificultăţii de apreciere a acesteia din unghiul din care s-a făcut filmarea şi pe de altă parte unei forţe electrodinamice ceva mai mici la partea inferioară. Forţa după O_y , la partea inferioară a funiei 6 este produsă în primul rînd de conductorul 7, fig.4.63b. La standul experimental realizat la L.H.P., funia 6 făcea, la punctul de racord cu conductorul 7, o uşoară buclă îndepărtînd-o de conductorul 7, modificînd condiţiile de "cot" ale barelor de un unghi drept, conducînd deci la o forţă electrodinamică ceva mai redusă.

La partea superioară funia 6 este fixată printr-o clemă de conductorul 3, unghiul la "cotul" format fiind mult mai net, aproximativ 90° şi forţa electrodinamică mai importantă.

Pentru a putea compara observaţiile experimentale cu calculele pentru zona contactului fix (CF) şi a conductorului superior 3,



Scara forțelor
 $O_x : 1383 \text{ N/m} \dots 1 \text{ cm}$
 $O_y : 2766 \text{ N/m} \dots 1 \text{ cm}$

Fig.4.65 Distribuția spațială a forțelor electrodinamice rezultante asupra barei 6, formând o suprafață torsionată cu 90° . Desenul mic reprezintă toată calea de curent. 1...7 sînt numerele conductoarelor parcurse de curent.

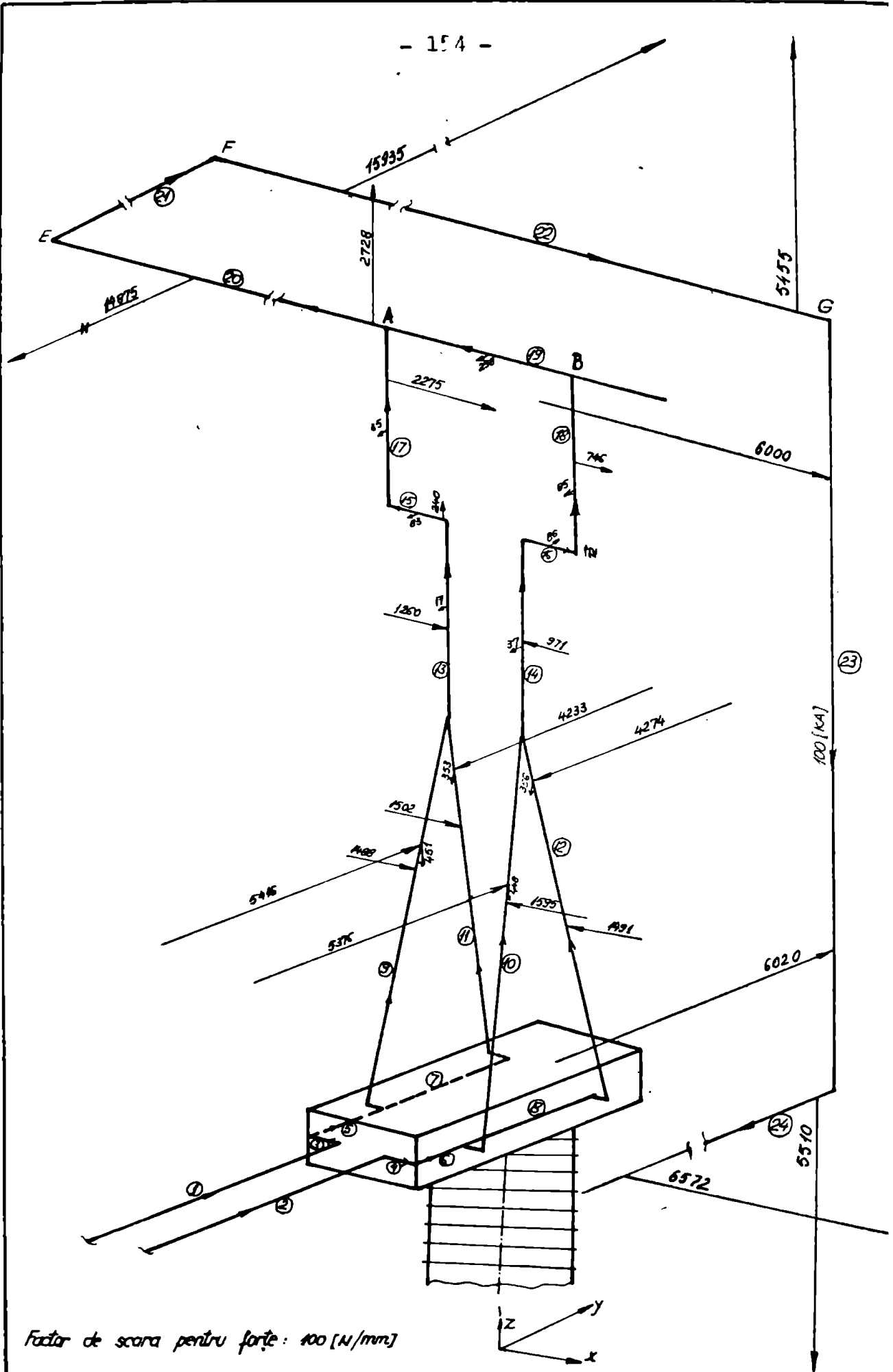
s-a aproximat mult mai fidel calea reală de curent, calculându-se forțele electrodinamice pe porțiunile de conductor arproximând pantograful separatorului, fig.4.66, 4.67.

În fig.4.66 a și b sînt prezentate componentele forțelor electrodinamice rezultante și punctul lor de aplicație pe conductor, pentru cazul aproximării căii de curent prin pantograful separatorului astfel încît pentru porțiunea contactului fix superior practic se respectă configurația reală. Cazurile din fig.4.66 a și b prezintă forțele în zona pantografului, a contactului fix și a funiei superioare, calculate aproximînd funiile din sistem, care au o ușoară săgeată (uzual 4 - 6 %), cu :

Cazul a - un conductor rectiliniu, cazul b - un contur poligonal conținînd între 10 și 20 de laturi. Toate calculele au fost efectuate utilizînd metoda prezentată în paragraful 3.2.2.2 și programul elaborat (PED). În figura 4.66 b forța verticală de 1828 N asupra conductorului notat 38 nu reprezintă forța totală verticală asupra funiei superioare, cum este de ex. cazul pentru funia 20, fig.4.66 a, ci forța verticală asupra primei din cele 20 de porțiuni care aproximează deschiderea cu săgeată, a conductorului real. În fig.4.67 este prezentat cazul aproximării fidele a traseului conductoarelor pentru pantograful separatorului, dar s-a considerat, prinderea contactului fix la conductoarele superioare ca în cazul liniilor de foarte înaltă tensiune cînd se folosesc două conductoare paralele la distanță mică unul de altul (conductoare jumelate).

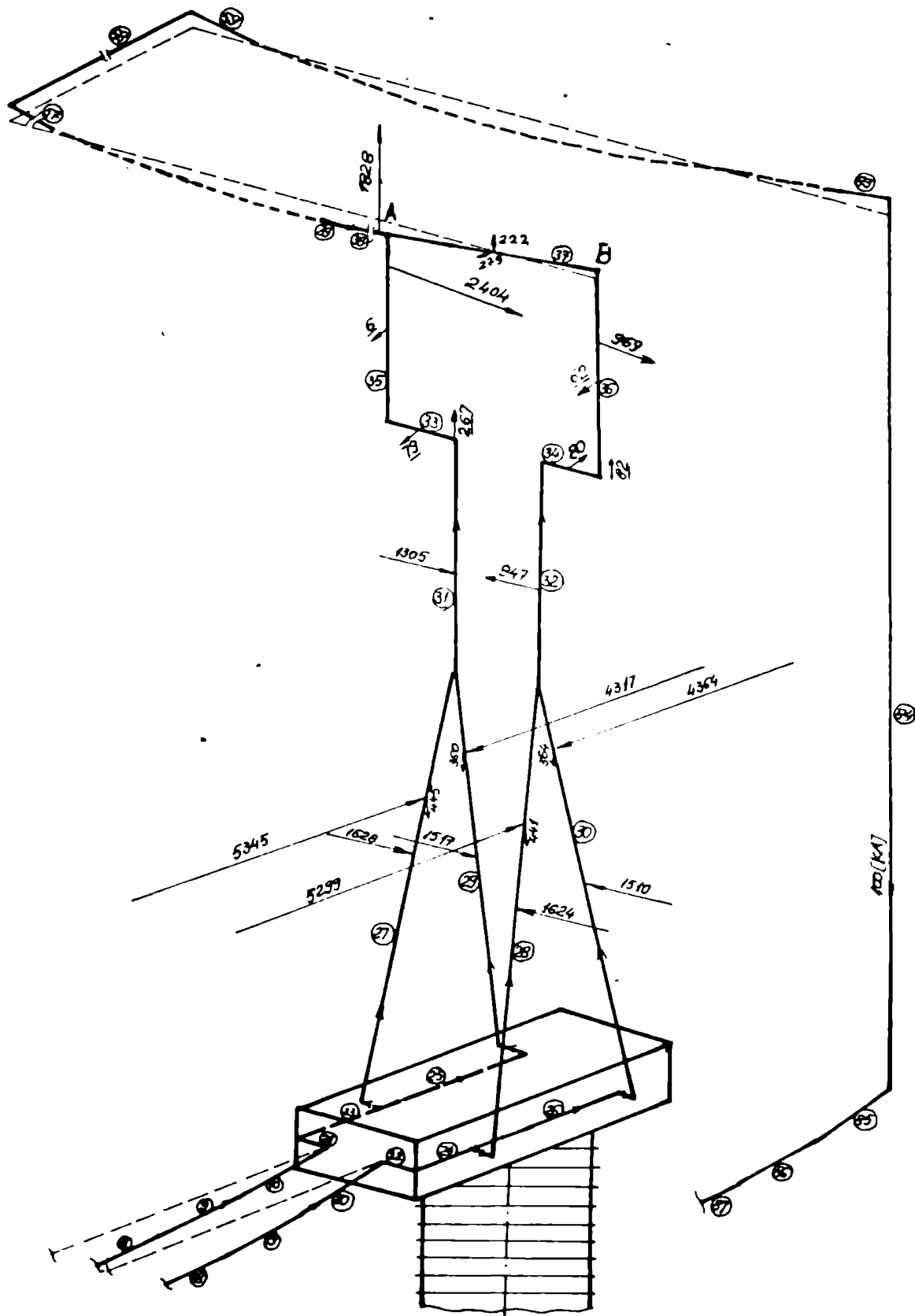
În figurile 4.66 și 4.67, componentele forțelor electrodinamice concentrate, care sînt echivalente forțelor reale distribuite, au fost plasate în punctul de aplicație calculat prin program. Datorită formei schemei de încercare și dorinței de a evidenția porțiunea din jurul separatorului, conductoarele echivalente conductoarelor 1,3,5, 7 din fig.4.59 : 1 și 2, 20, 22, 24, fig.4.66 a și respectiv 1 și 2, 41 și 42, 47, 49, fig.4.67., nu sînt reprezentate proporțional cu lungimea lor adevărată. Proporțiile reale ale acestora rezultă din figurile 4.58 și 4.59.

Asupra conductorului superior echivalent 3 (20 fig.4.66 a) acțiunea o forță verticală de valoare importantă ($2 \cdot 10^3 \dots 3 \cdot 10^3$ N) care determină o mișcare verticală a conductorului așa cum se observă și în fig.4.63, timpul 1...4. Deși forța verticală, după +0z, are valori mari în apropierea punctelor de prindere a contactului fix superior și descrește apoi relativ rapid, fig.4.64 b, deplasarea maximă verticală a conductorului flexibil superior (3, respectiv 20) nu are loc în imediata apropiere a zonei contactului fix întrucît există o



Factor de scara pentru forte: $100 [N/mm]$

Fig. 4.66a Forțele electrodinamice la separator. Cazula.



Factor. de scară pentru forțe: [100 N/mm]

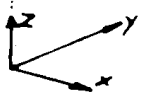


Fig.4.66b Forțele electrodinamice calculate pentru cazul b.

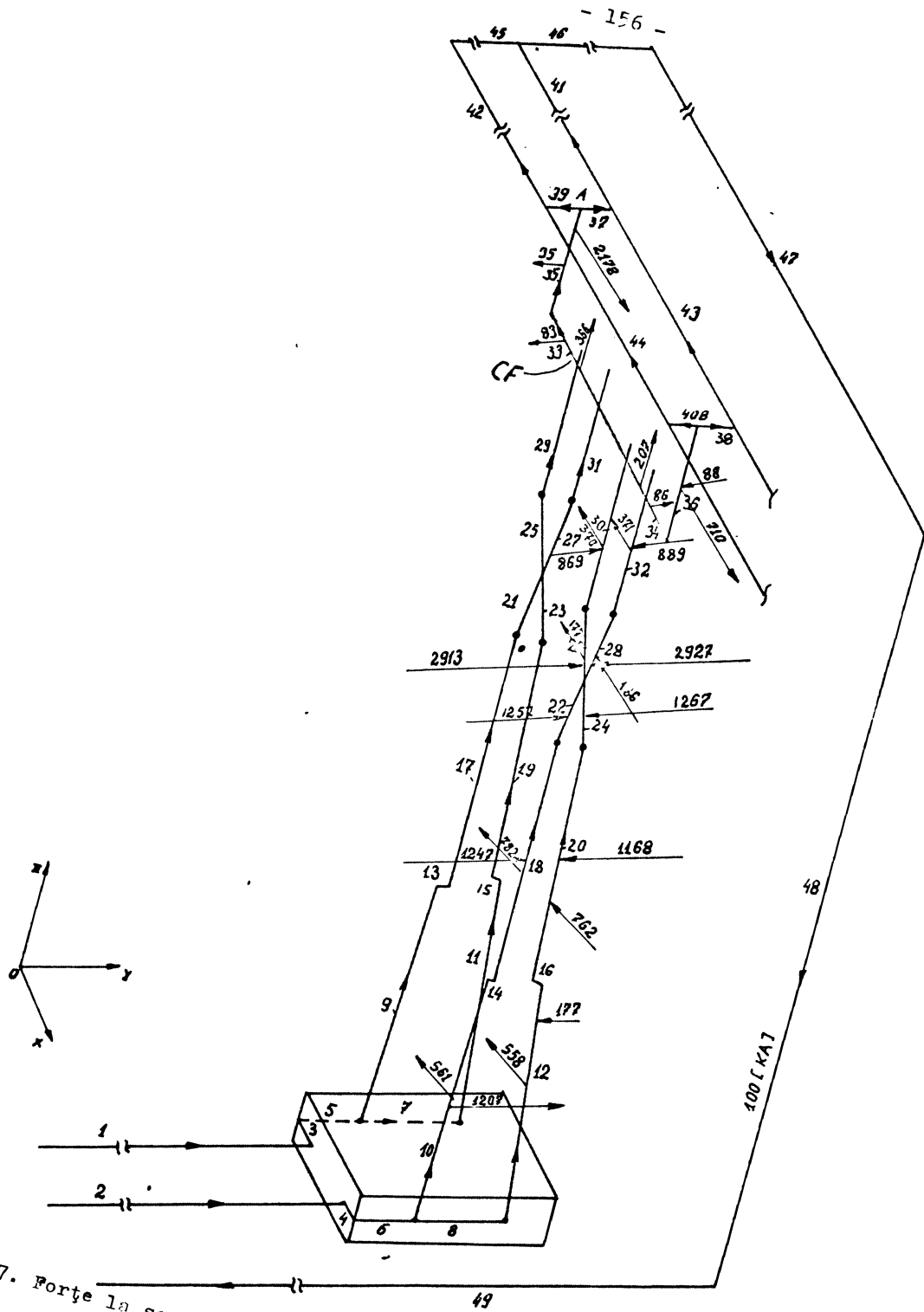


Fig. 4.67. Forțe la separatorul pantograf

legătură a punctului A, fig.4.66a cu contactul fix și pantograful separatorului, deplasarea punctului A nefiind liberă și blocată. Este de așteptat formarea unei bucle (umflări) în plan vertical având A drept nod. De asemenea este de așteptat ca o parte din forța în plan vertical asupra conductorului 3 (20, fig.4.66a) să se transmită ca un efort de smulgere asupra contactului fix și în special a capătului corespunzător punctului A.

Raționamentul de mai sus bazat pe analiza distribuției calculate a forțelor este confirmat de observațiile experimentale fig. 4.63 și 4.62, remarcându-se o ridicare a conductorului superior 3 în timpul încercărilor și umflarea sau buclarea lui în plan vertical. De asemenea capătul contactului fix (CF) corespunzător punctului A, sau partea dreaptă în fig.4.63b este ridicat în sus, CF ocupând o poziție oblică.

Ridicarea oblică a contactului fix trebuie pusă în legătură și cu forțele electrodinamice asupra funiilor care coboară din punctele A și B și cu forțele asupra barei contactului fix propriuzis. Asupra contactului fix acționează forțe de ridicare, mai mari spre capătul dinspre A, dar aproximativ de 10 ori mai mici decât forțele verticale asupra barei 20 (fig.4.66 și 4.67). De asemenea asupra funiilor care susțin contactul fix, coborând din punctele A și B (17 și 18 fig.4.66a) acționează forțe electrodinamice considerabile în sensul pozitiv al axei Ox ($\approx 2 \cdot 10^3 \text{ N}$ respectiv $\approx 1 \cdot 10^3 \text{ N}$). Forța mai mare acționează asupra funiei care coboară din A, care este de așteptat să aibă o curbură, după +Ox mai mare decât funia din B. Acest lucru se observă de asemenea foarte bine în fig.4.63, precum și deplasarea contactului fix și lateral între fâlcile contactelor mobile ale separatorului, deplasare care se datorează acestor forțe orizontale.

Deplasarea contactului fix al separatorului este determinată de deplasare laterală (+Ox) și verticală (+Oz), cu deplasarea mai pronunțată către punctul A și se datorează ansamblului de forțe atât la contactul fix cât și la funiile de susținere (17,18) și funia superioară (20), fig.4.66a.

În concluzie se poate remarca concordanța direcției, sensului și distribuției forțelor electrodinamice calculate cu efectele observate la încercarea în schema conform CEI-129 a unui separator de foarte înaltă tensiune.

Cunoașterea și posibilitățile de calcul ale forțelor electrodinamice la c.c. de curent spațiale oarecare, parcurse de curenți intenși, utilizând metode și programe de calcul adecvate, precum și confirmările

teoretice și experimentale (calitative) ale acestora, constituie un prim, dar indispensabil, pas pentru abordarea completă a problemei solicitărilor electrodinamice și a dimensionării corespunzătoare a echipamentului de mare putere, incluzând și un calcul mecanic riguros. Acesta va trebui să țină seama, pe lângă mărimea, distribuția și variația în timp a forțelor electrodinamice și de parametrii mecanici : mase, dimensiuni constante elastice și de amortizare etc, întrucît sînt de așteptat, -și încercările experimentale au evidențiat - și apariția unor vibrații ale întregului sistem format din calea de curent și izolatorul suport. Abordarea acestei probleme, necesită un program de calcul al solicitărilor mecanice și folosirea unor calculatoare puternice și rapide.

4.7. Bibliografie la capitolul 4

- /4.1/ Melkes F., Magnetické pole skupiny obdelnikových civek, Elektrotechnický časopis, XXIV, 1973, nr. 5, p. 23c
- /4.2/ Sachett St.J., EEFI - users manual, UICD-17621, 1977
- /4.3/ Fântână N.L., Metode de calcul ale cîmpului magnetic și ale forțelor electrodinamice la căi de curent cu configurație spațială complexă din mașini și aparate electrice, Referat 1, I.P.Traian Vuia, Timișoara, 7.12.1983
- /4.4/ Fântână N.L., Aplicații de calcul ale cîmpului magnetic și forțelor electrodinamice la echipamente electrice de mare putere utilizînd calculatorul numeric, Referat 2, I.P.Traian Vuia, Timișoara, 7.12.1983
- /4.5/ Sternin V.G., Karpenskii A.K., Tokoogranicivaiușcie reaktorî, Iz.Energia, Moscova, 1965
- /4.6/ Fawzi T.H., Gohar M.K., Abdelaal F., The accurate computation of forces between circular coils, IEEE Trans. on Magnetics, vol.15 nr.6, nov.1979, p.1491
- /4.7/ Frick C.W., Electromagnetic forces on conductors with bends short lengths and cross overs, Gen.Electric Review, Ed. 36, nr.5, 1933, p.232
- /4.8/ Babikov M.A., Aparate electrice, București, Ed.Tehnică, 1965
- /4.9/ Fântână N.L., Asupra distribuției cîmpului magnetic produs de o bobină circulară, Conf.nat.electrotehnică și electromagnetă, Timișoara 17-18.IX.1982, vol.9. p.91
- /4.10/ Fântână N.L., Zur numerischen Bestimmung des magnetischen Feldes einer Spule ohne Eisenkern, Bul.știi.și tehnic al I.P."Traian Vuia", Timișoara, Tom 28(42), Electro-tehnica, 1983, p.33

- /4.11/ Appleton A., în : Superconducting machines and devices, editor Poner J., Schwarz B., ANSI, 1974
- /4.12/ Arkkio A., Berglund P., Erikson J.T., Loussi J., Savelainen T., A 50 Hp homopolar motor with superconducting field winding, IEEE Trans. on Magnetics, vol.17, nr.1, 1981
- /4.13/ Ackermann R.A., Rhodenizer R.L., Ward C.O., A superconducting field winding subsystem for a 3000 HP homopolar motor. IEEE Trans.on Magnetics,nr.1,vol.13, 1977, p.772
- /4.14/ Suciu I., Pântână N.L., Andea P., Vasilievici Al., Moluovan L., Deleşega I., Luca G., Cercetări în vederea determinării distribuției și mărimii forțelor electrodinamice la separatorul pantograf 420 kV/2000 A, Faza I-a, Con.cerc.știi. 1992
- /4.15/ Suciu I., Pântână N.L., Andea P., Vasilievici Al., Moluovan L., Deleşega I., Luca G., Cercetări în vederea determinării distribuției și mărimii forțelor electrodinamici la separatorul pantograf 420 kV/2000 A, Faza II-a, Con.cerc.știi. 1992
- /4.16/ Pântână N.L., Zur numerischen Bestimmung der elektrodynamischen Kräfte bei Strombahnen mit räumlichen Verlauf, 29. I.W.Kolloquium, T.H.Ulmenau, 24-29 oct.1983, R.D. Germană
- /4.17/ Pântână N.L., Calculul cîmpului magnetic și forțelor electrodinamice la subsistemul magnetic specific mașinilor unipolare tip tambur, Conf.naț.electrotehnică și electroenergetică, 20-21 sept.1984, vol.3, p.61
- /4.18/ Pântână N.L., Luca Gh., Studiul solicitărilor mecanice datorate forțelor electrodinamice care acționează asupra unui separator de înaltă tensiune, A IV-a Conferință de Vibrații în Construcția de Masini. Timișoara, 26-27 noiembrie 1982, p.183
- /4.19/ Pântână N.L., Suciu I., Vasilievici Al., Moluovan L., Andea P., Deleşega I., Luca Gh., Solicitări electrodinamice la încercarea separatorului de foarte înaltă tensiune, Simpozionul naț.de rețele electrice, Timișoara, 25-26 oct.1984, vol.II, p.13
- /4.20/ Băla C., Toqui L., Covrig M., Bobine de reactanță pentru sisteme energetice, Lucrura tehnică, București, 1982

CONCLUZII

În cadrul lucrării s-a abordat problema determinării câmpului magnetic și al forțelor electrodinamice la căi de curent cu traseu spațial oarecare, bobine și grupuri de bobine din mașini și echipamente electrice parcurse de curenți intensi în absența materialelor feromagnetice. Metodele elaborate și relațiile deduse implică utilizarea unor metode numerice de calcul și a ordinatorului electronic.

Principalele rezultate și contribuții originale ale lucrării sînt :

- au fost stabilite relații și metode de calcul ale câmpului magnetic și ale forțelor electrodinamice pentru căi de curent filiforme cu poziție spațială oarecare, implicînd una respectiv două integrări numerice succesive ;

- a fost elaborată metoda și deduse relațiile pentru calculul forțelor electrodinamice în cazul unui grup de "n" conductoare rectilinii și filiforme cu poziție reciprocă oarecare, fără puncte comune, considerate părți ale unor căi de curent ;

- s-a fundamentat o metodă și s-au dedus relațiile de calcul ale câmpului magnetic la bare masive, de lungime finită, avînd secțiunea dreptunghiulară, părți ale unei căi de curent: bară paralelipipedică, bară cu capete oblice plane, bară parcursă de curent, bară cu patru fețe oblice plane;

- a fost elaborată o metodă de calcul al câmpului magnetic pentru bare rectilinii de lungime finită cu forma secțiunii oarecare, respectiv pentru o "bară generalizată", mărginită de suprafețe cilindrice oarecare, avînd generatoarele paralele respectiv perpendiculare pe direcția curentului;

- pornind de la relațiile deduse pentru calculul câmpului magnetic la bare de lungime finită, a fost stabilită o metodă generală de calcul al câmpului magnetic la căi de curent masive, spațiale cu traseu oarecare, detaliată și exemplificată pentru căi de curent cu secțiune dreptunghiulară ;

- s-a propus o metodă de calcul ale forțelor electrodinamice exercitate între bare masive cu poziție spațială oarecare, avînd formă de paralelipiede, bare cu capete oblice, "pene" parcurse de curent sau orice combinație a acestora și

- s-a elaborat o metodă generală de calcul al forțelor electrodinamice pentru căi de curent masive, spațiale, care permite cunoașterea forțelor totale și a distribuției forțelor specifice în lungul barelor analizate;

- s-a introdus noțiunea de cale de curent cvasimativă și s-a stabilit o metodă de calcul al forțelor electrodinamice totale respectiv specifice pentru un grup de căi de curent cu traseu oarecare;

- s-au dedus relațiile pentru calculul cîmpului magnetic la bobine masive cu densitate de curent uniformă și secțiune transversală dreptunghiulară descrise de o curbă plană, $r=r(\theta)$, implicînd o integrare numerică;

- s-a stabilit o metodă de calcul al cîmpului magnetic, pentru bobine masive circulare și grupuri oarecare de bobine cu aceeași axă de simetrie, valabilă pentru toate punctele, interioare și exterioare bobinajului și s-a propus o metodă de calcul pentru bobine cu secțiune transversală oarecare și densitate de curent neuniformă;

- s-au dedus relațiile și s-a elaborat o metodă pentru calculul forțelor totale, axiale și de rupere, acționînd asupra unei bobine, pentru cazul grupurilor de bobine circulare, masive, cu aceeași axă de simetrie ;

- a fost elaborată o metodă de calcul al forțelor electrodinamice în regim tranzitoriu, denumită "metoda coeficienților de forță", detaliată și exemplificată la grupuri de bobine;

- s-a conceput o metodă și o instalație experimentală de măsurare a forțelor electrodinamice la bobine care constituie obiectul unui dosar OSDM.

Verificarea teoretică a relațiilor și metodelor de calcul și a programelor realizate s-a făcut comparînd calculele numerice cu unele rezultate din literatură cit și folosind relații de calcul și legi ale electrotehnicii. Rezultatele obținute prezentate în numeroase tabele și diagrame în subcapitolele 4.1...4.4 confirmă valabilitatea relațiilor și metodelor stabilite.

Determinările experimentale, ale distribuției cîmpului magnetic la bobine și grupuri de bobine corespunzătoare subsistemului magnetic al mașinilor unipolare tip tambur fără circuit feromagnetic, cit și ale forțelor electrodinamice, prezentate în subcapitolul 4.5, au arătat o bună concordanță cu valorile calculate.

De asemenea verificarea experimentală calitativă a distribuției forțelor electrodinamice - la căi de curent spațiale, pentru un

separator pantograf de foarte înaltă tensiune (realizat în țară)- în cadrul unui contract de cercetare științifică cu CCSIT+ELECTRO-PUTERE Craiova, a confirmat rezultatele calculate (subcapitolul 4.6).

Metodele de calcul prezentate au caracter de generalitate permițând o abordare mai eficientă exactă și rapidă a numeroase probleme care apar la proiectare, începând cu câmpul și forțele la mașini unipolare tambur și disc, fără circuit feromagnetic, bobine pentru limitarea curenților de scurtcircuit, alte bobine din fizica energiilor înalte și până la căi de curent cu traseu spațial complicat cum se întâlnesc în stațiile de înaltă tensiune și în instalațiile electrotehnologice.

Metodele elaborate, sînt indispensabile în abordarea, în viitor, două direcții de aprofundare importante : 1. determinarea eforturilor mecanice din instalații electrice cu traseu spațial complex parcurse de curenți intensi, datorate forțelor electrodinamice care le solicită și 2. determinarea câmpului magnetic la căi de curent spațiale, în prezența materialelor feromagnetice, utilizînd metoda ecuațiilor integrale, și totodată a forțelor electrodinamice. De asemenea aceste metode, contribuie la dezvoltarea proiectării asistate de calculator a mașinilor și echipamentelor electrice.

AN. XA 1

Valorile inducției magnetice calculate
pentru exemplul a. din paragraful 4.3.2.

Z_{m} /mm/	Inducția după $Oz, Bz, /T/$		Diferența $B \cdot 10^4$ /T/	Abaterea %
	Metoda propusă	Analitic		
0	.623685	.623711	.259	.00416
10	.617842	.617892	.500	.00809
20	.600853	.600958	.1051	.0175
30	.574436	.574373	.629	.0109
40	.540263	.540270	.0644	.0012
50	.501074	.501084	.1013	.002
100	.299578	.299592	.140	.0047
150	.165697	.165693	.0435	.002
200	.0942428	.0942545	.116	.012
300	.0361081	.0361120	.0473	.013

ANEXA 2

Valorile calculate pentru exemplul b., paragraful 4.3.2.

$x_M/m/$	$y_M/m/$	$z_M/m/$	B_x		ϵ_{B_x}	B_z		ϵ_{B_z}
			CBCAAS	/4.2/		CBCAAS	/4.2/	
.4600	0.	.0375	0.2552	.25569	0.18	.34743	.34733	0.028
.4650	0.	.0375	.29245	.29198	-0.16	.34699	.34686	-0.037
.470	0.	0.0375	.33353	.33302	-0.15	.33980	.33979	0.002
.4750	0.	0.0375	.37716	.37749	0.087	.32329	.32328	-0.003
.480	0.	0.0375	.42218	.42231	0.03	.29470	.29469	-0.003
.490	0.	0.0375	.49405	.49408	0.006	.20030	.20027	-0.015
.500	0.	0.0375	.51805	.51816	0.02	.07524	.07516	-0.106
.460	0.	0.04	.25564	.25606	0.16	.32972	.32955	-0.05
.465	0.	0.04	.28959	.28972	0.045	.32687	.32672	-0.046
.470	0.	0.04	.32656	.32693	0.113	.31778	.31762	-0.05
.475	0.	0.04	.36571	.36632	0.166	.30014	.30010	-0.013
.480	0.	0.04	.40484	.40523	0.096	.27238	.27234	-0.015
.490	0.	0.04	.46713	.46683	-0.064	.18598	.18598	0
.500	0.	0.04	.48791	.48736	-0.112	.07369	.07364	-0.004

ANEXA 3

Valorile inducției magnetice calculate pentru exemplul
c., paragraful 4.3.2

x_M /cm/	z_M /cm/	$B_x/T/$			$B_z/T/$		
		CBCAAS	/3.23/	/3.22/	CBCAAS	/3.23/	/3.22/
0	0	0	0	0	4.3324	4.33	4.333
10	0	0	0	0	4.4430	4.44	4.443
20	0	0	0	0	4.7790	4.77	4.780
30	0	0	0	0	5.31657	5.31	5.315
35	0	0	0	0	1.9934	1.98	1.994
40	0	0	0	0	-1.33742	-1.34	-1.335
60	0	0	0	0	-0.5328	-0.52	-0.533
80	0	0	0	0	-0.2332	-0.23	-0.233
0	13	0	0	0	3.9678	3.96	3.968
10	13	.2815	0.28	0.281	4.0643	4.07	4.065
20	13	.5989	0.60	0.598	4.3906	4.39	4.391
30	13	.8797	0.88	0.883	5.05614	5.05	5.054
35	13	.9065	0.91	0.915	1.8716	1.86	1.872
40	13	.82292	0.82	0.823	-1.32988	-1.32	-1.328
60	13	.2996	.30	.300	-.4579	-.46	-.458
80	13	.1065	.11	.107	-.20815	-.21	-.208
0	26	0.	0.	0.	3.0072	3.00	3.007
10	26	.45123	.45	.451	3.0249	3.02	3.025
20	26	1.05083	1.05	1.050	3.0743	3.07	3.074
30	26	2.5713	2.57	2.576	3.14919	3.12	3.147
35	26	3.26133	3.26	3.275	1.37513	1.31	1.375
40	26	2.3968	2.39	2.392	-0.39684	-0.396	-0.396
60	26	.48621	0.50	0.486	-0.24427	-0.245	-0.244
80	26	.17974	0.18	0.180	-0.14424	-0.144	-0.144

ANEXA 4

Dimensiunile, subbobinelor de la exemplul f., paragraful 4.3.2:
 R_i - raza interioară; R_e - raza exterioară, z_1, z_2 - coordonatele după z a planului suprafeței inferioare respectiv superioare a subbobinei.

z_1 /m/	z_2 /m/	R_i /m/	R_e /m/
-0.2120	+0.2120	0.9049	0.9149
-0.18475	+0.18475	0.960	0.970
-0.1656	+0.1656	1.015	1.025
-0.1506	0.1506	1.070	1.080
-0.1411	0.1411	1.1251	1.1351
-0.13410	0.13410	1.1801	1.1901
-0.12805	0.12805	1.2352	1.2452
-0.12405	0.12405	1.2902	1.3002
-0.12160	0.12160	1.3452	1.3552
-0.1200	0.1200	1.400	1.4103
-0.12120	0.12120	1.4553	1.4653
-0.12405	0.12405	1.5104	1.5204
-0.12910	0.12910	1.5654	1.5754